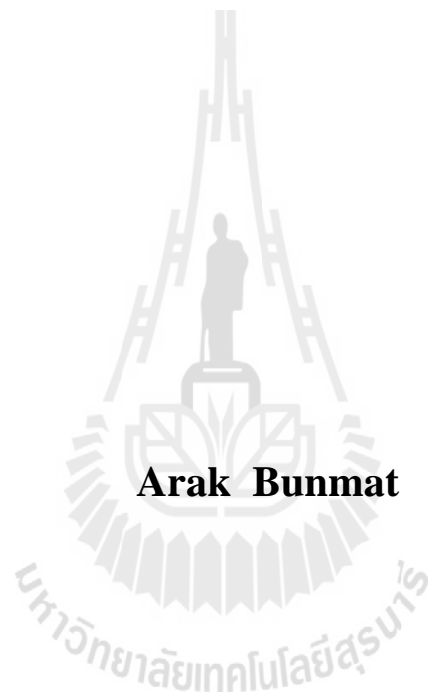


การจำลองสนามแม่เหล็กและการสั่นสะเทือนของมอเตอร์เห็นี่ยวนำเพื่อถอดการ
สั่นสะเทือนอันเป็นผลจากแท่งโรเตอร์เฉียง



วิทยานิพนธ์นี้เป็นส่วนหนึ่งของการศึกษาตามหลักสูตรปริญญาวิศวกรรมศาสตรมหาบัณฑิต
สาขาวิชาวิศวกรรมไฟฟ้า
มหาวิทยาลัยเทคโนโลยีสุรนารี
ปีการศึกษา 2556

**SIMULATION FOR MAGNETIC FIELD AND
VIBRATION OF AN INDUCTION MOTOR
TO REDUCE VIBRATION CAUSED BY
SKEWED ROTOR BAR**



**A Thesis Submitted in Partial Fulfillment of the Requirements for the
Degree of Master of Engineering in Electrical Engineering
Suranaree University of Technology**

Academic Year 2013

การจำลองสนามแม่เหล็กและการสั่นสะเทือนของมอเตอร์เหนี่ยวนำเพื่อลดการ
สั่นสะเทือนอันเป็นผลจากแท่งโรเตอร์เฉียง

มหาวิทยาลัยเทคโนโลยีสุรนารี อนุมัติให้นับวิทยานิพนธ์ฉบับนี้เป็นส่วนหนึ่งของการศึกษา
ตามหลักสูตรปริญญามหาบัณฑิต

คณะกรรมการสอบวิทยานิพนธ์

(ผศ. ดร.อนันนท์ อุ่นศิวิไลย์)

ประธานกรรมการ

(ผศ. ดร.แพ็ค แพ่ละอ) _____

กรรมการ (อาจารย์ที่ปรึกษาวิทยานิพนธ์)

(ผศ. ดร.กีรติ สุลักษณ์)

กรรมการ

(ศ. ดร.ชุกิจ ลิมปีจำนวนค์)

รองอธิการบดีฝ่ายวิชาการและนวัตกรรม

(รศ. ร.อ. ดร.กนต์ธร ชำนิประสาสน์)

คณบดีสำนักวิชาศึกกรรมศาสตร์

ารักษ์ บุญมาตย์ : การจำลองสนามแม่เหล็กและการสั่นสะเทือนของมอเตอร์เหนี่ยวนำ
เพื่อลดการสั่นสะเทือนอันเป็นผลจากแท่งโรเตอร์เฉียง (SIMULATION FOR
MAGNETIC FIELD AND VIBRATION OF AN INDUCTION MOTOR TO REDUCE
VIBRATION CAUSED BY SKEWED ROTOR BAR) อาจารย์ที่ปรึกษา :
ผู้ช่วยศาสตราจารย์ ดร.แพ็คจ แผ่นละอ้อ, 178 หน้า

การสั่นสะเทือน คือ ปรากฏการณ์ของการเคลื่อนที่กลับไปกลับมาของวัตถุภายในตัวโครงสร้าง ที่มีการทำ โดยทั่วไปการสั่นสะเทือนมักเป็นสิ่งที่ไม่ต้องการ แต่หลักเดิมไม่ได้อย่างเดียวที่สุดคือ พยายามจำกัดขนาดของการสั่นสะเทือนให้อยู่ภายในขอบเขตที่ยอมรับได้ สำหรับมอเตอร์เหนี่ยวนำ สามารถสั่นสะเทือนอาจเกิดจากหลายสาเหตุ ได้แก่ ความไม่สมพันธ์กันระหว่างจำนวนร่องของสเตเตอร์และโรเตอร์ การเยื่องศูนย์กลางของโรเตอร์ทั้งแบบสถิตและแบบพลวัต มุมเอียงในการวางตัวของแท่งโรเตอร์ และการนำอินเวอร์เตอร์มาใช้ปรับเปลี่ยนค่าความเร็วรอบแล้วส่งผลให้แหล่งจ่ายไฟที่จ่ายเข้ามอเตอร์เป็นรูปคลื่นไอน์ทบิดเบี้ยว สาเหตุต่างๆ เหล่านี้อาจเกิดขึ้นได้จากการออกแบบและการผลิตที่ไม่ได้มาตรฐาน ความเสื่อมสภาพตามอายุการใช้งาน หรือเกิดจากปัจจัยภายนอกอื่นๆ ที่มีการทำ ซึ่งสาเหตุต่างๆ เหล่านี้ย่อมส่งผลกระทบต่อการกระจายตัวที่ไม่สมดุลของสนามแม่เหล็กในมอเตอร์ แล้วส่งผลให้เกิดเสียงและการสั่นสะเทือนขึ้น ทำให้มีการสูญเสียทางกล สมรรถนะในการทำงานและอายุการใช้งานของมอเตอร์ลดลง อีกทั้งประสิทธิภาพในการทำงานของบุคลากรที่ควบคุมเครื่องจักรก็จะลดลงตามไปด้วย ด้วยเหตุนี้ งานวิจัยชิ้นนี้จึงเกิดขึ้นเพื่อ改善ห้องค้วความรู้ด้านผลกระทบของร่องเฉียง (skewed slot) ในการวางตัวของแท่งโรเตอร์ในมอเตอร์เหนี่ยวนำสามารถเพลิดต่อการกระจายตัวของสนามแม่เหล็กและการสั่นสะเทือนทางกลของมอเตอร์ โดยประยุกต์ใช้วิธีไฟไนท์อิเลมเม้นต์แบบ 3 มิติ (3D-Finite Element Method) ที่พัฒนาขึ้นเอง เพื่อเป็นแนวทางในการศึกษาถึงมุมในการวางตัวของแท่งโรเตอร์ในมอเตอร์เหนี่ยวนำที่มีผลต่อการสั่นสะเทือน

ARAK BUNMAT : SIMULATION FOR MAGNETIC FIELD AND
VIBRATION OF AN INDUCTION MOTOR TO REDUCE VIBRATION
CAUSED BY SKEWED ROTOR BAR. THESIS ADVISOR : ASST. PROF.
PADEJ PAO-LA-OR, Ph.D., 178 PP.

INDUCTION MOTOR/FINITE ELEMENT METHOD/ TIME STEPPING
METHOD/ COMPUTER SIMULATION/ELECTROMAGNETIC FORCE/
VIBRATION

Vibration is phenomenon of object motion back to back, under the force of the action. Normally, vibration is not requirement but inevitable. At best is attempt limit the size of the vibration within acceptable limit. For induction motor three phase the vibration may be due to several reasons. That is, irrelevant between the grooves of the stator and rotor, the eccentricity of the rotor both static and dynamic, angle in the rest of the rotor bars, and use the invertor for change speed of the round effective to input source motor is since wave as distortion. There is happen from design and manufacturing of non-standard, deterioration from used, or due to other factors external that act. Distortion of since wave effective to non-distribution of balance of the magnetic field in the motor. Then, the noise and vibration is occur. Which the noise and vibration effective to mechanical loss, performance and motor life time is down, performance of personnel as machine control will be reduced accordingly. There for, this research is occur for contribution impact of skewed slot the rest of the rotor bars in the induction motor three phase effective to distribution of magnetic field and mechanical vibration of motor use finite element 3-D method (FEM 3-D).

Developed for the way of the study of angle in the rest of the rotor bars of induction motor impact to vibration.



School of Electrical Engineering

Academic Year 2013

Student's Signature _____

Advisor's Signature _____

กิตติกรรมประกาศ

วิทยานิพนธ์นี้สำเร็จลุล่วงด้วยดี เนื่องจากได้รับความช่วยเหลืออย่างดีเยี่ยม ทั้งด้านวิชาการ และด้านดำเนินงานวิจัย จากบุคคล และกลุ่มบุคคลต่างๆ ได้แก่

ผู้ช่วยศาสตราจารย์ ดร.เมศิล แผ่นดิน ผู้ช่วยอธิการบดีฝ่ายบริหาร มหาวิทยาลัยเทคโนโลยีสุรนารี อาจารย์ที่ปรึกษาวิทยานิพนธ์ ที่ให้คำปรึกษา แนะนำ และแนะนำแนวทางอันเป็นประโยชน์แก่ ผู้วิจัยมาโดยตลอด รวมถึงได้ช่วยตรวจสอบ และแก้ไขรายงานวิทยานิพนธ์เล่มนี้จนทำให้มีความสมบูรณ์ยิ่งขึ้น รวมทั้งเป็นกำลังใจ และเป็นแบบอย่างที่ดีในการดำเนินชีวิตหลายๆ ด้าน

ขอขอบคุณ คุณประสาทชัย ดำเนินธิติกิจ ตำแหน่งหัวหน้างานกลุ่มห้องปฏิบัติการ วิศวกรรมการผลิต และ คุณสมภพ มหาโคตร ตำแหน่งนายช่างเทคนิคประจำศูนย์เครื่องมือ วิทยาศาสตร์และเทคโนโลยี มหาวิทยาลัยเทคโนโลยีสุรนารี ที่ให้ความรู้และสนับสนุนทางด้าน เครื่องมือที่ใช้ในการวิจัย และขอบคุณมหาวิทยาลัยเทคโนโลยีสุรนารีที่ให้ทุนสนับสนุน ค่าใช้จ่ายในการศึกษา รวมทั้งการเผยแพร่องค์ความรู้ทางวิชาการ

ขอบคุณ พี่ๆ เพื่อนๆ และน้องๆ บัณฑิตศึกษาทุกท่าน ที่ให้กำลังใจในการทำวิจัยมา โดยตลอด

สุดท้ายนี้ ผู้เขียนขอบคุณอาจารย์ผู้สอนทุกท่านที่ให้ความรู้ทางด้านวิชาการทั้งในอดีต และปัจจุบัน และขอกราบขอบพระคุณบิดา มารดา ที่ให้กำเนิด ความรัก กำลังใจ การอบรมเลี้ยงดู และดูแลส่งเสริมทางด้านการศึกษาอย่างดีมาโดยตลอด จนทำให้ผู้วิจัยประสบความสำเร็จในชีวิต เรื่อยมา

อารักษ์ บุญมาตย์

สารบัญ

หน้า

บทคัดย่อ (ภาษาไทย)	ก
บทคัดย่อ (ภาษาอังกฤษ)	ข
กิตติกรรมประกาศ	ค
สารบัญ	ง
สารบัญตาราง	ญ
สารบัญรูป	ญ
บทที่	
1 บทนำ	1
1.1 ความเป็นมาและความสำคัญของปัญหา	1
1.2 วัตถุประสงค์ของการวิจัย	2
1.3 สมมุติฐานของการวิจัย	2
1.4 ข้อตกลงเบื้องต้น	2
1.5 ขอบเขตของการวิจัย	3
1.6 ประโยชน์ที่คาดว่าจะได้รับ	3
1.7 การจัดรูปเล่มวิทยานิพนธ์	3
2 ปริทัศน์วรรณกรรมและงานวิจัยที่เกี่ยวข้อง	5
2.1 บทนำ	5
2.2 ปริทัศน์วรรณกรรมและงานวิจัยที่เกี่ยวข้อง	5
2.3 สรุป	9
3 ทฤษฎีที่เกี่ยวข้อง	10
3.1 บทนำ	10
3.2 สำนวนแม่เหล็ก	10
3.2.1 พื้นฐานสำหรับสำนวนแม่เหล็ก	10

สารบัญ (ต่อ)

หน้า

3.2.2 สำน้ำมแม่เหล็กและศักย์เชิงเวกเตอร์แม่เหล็ก	16
3.3 มอเตอร์เหนี่ยวน้ำสามเฟส	17
3.3.1 โครงสร้างของมอเตอร์เหนี่ยวน้ำ	18
3.3.2 หลักการทำงานของมอเตอร์เหนี่ยวน้ำ	22
3.3.3 วงจรสมดุลของมอเตอร์เหนี่ยวน้ำ	24
3.3.4 คุณลักษณะของมอเตอร์เหนี่ยวน้ำ	26
3.3.5 คุณสมบัติของร่องโรเตอร์เฉียง	29
3.4 วิธีไฟในท่ออลิเมนต์	34
3.5 สรุป	42
4 การคำนวณสำน้ำมแม่เหล็กของมอเตอร์เหนี่ยวน้ำโดยวิธีไฟในท่ออลิเมนต์แบบ 3 มิติ	43
4.1 บทนำ	43
4.2 แบบจำลองทางคณิตศาสตร์ของสำน้ำมแม่เหล็ก	43
4.3 การคำนวณสำน้ำมแม่เหล็กโดยวิธีไฟในท่ออลิเมนต์แบบ 3 มิติ	45
4.3.1 การแบ่งอลิเมนต์ของพื้นที่ศึกษา	46
4.3.2 ฟังก์ชันการประมาณภายในอลิเมนต์	47
4.3.3 การสร้างสมการของอลิเมนต์	48
4.3.4 การแก้ปัญหาภายในอิเล็กทรอนิกส์	56
4.3.5 การประกอบสมการอลิเมนต์ขึ้นเป็นระบบ	56
4.3.6 การประยุกต์เงื่อนไขเริ่มต้นและเงื่อนไขขอบเขตพร้อมหาผลเฉลย	57
4.3.7 การคำนวณค่าตัวแปรอื่นที่ต้องการ	57
4.4 สรุป	58
5 การคำนวณการสั่นสะเทือนของมอเตอร์เหนี่ยวน้ำโดยวิธีไฟในท่ออลิเมนต์แบบ 3 มิติ	59
5.1 บทนำ	59
5.2 การคำนวณการสั่นสะเทือนโดยวิธีไฟในท่ออลิเมนต์แบบ 3 มิติ	59
5.2.1 การแบ่งอลิเมนต์ของพื้นที่ศึกษา	59

สารบัญ (ต่อ)

หน้า

5.2.2 ฟังก์ชันการประมาณภายในและสมการของอิคลิเมนต์	60
5.3 การหาผลเฉลยสำหรับการสั่นสะเทือน	69
5.4 สรุป	73
6 โปรแกรมจำลองผลงานตามแม่เหล็กและการสั่นสะเทือนของมอเตอร์เหนี่ยวนำ	74
6.1 บทนำ	74
6.2 พารามิเตอร์ของมอเตอร์	74
6.3 การคำนวณกระแสของมอเตอร์เหนี่ยวนำ	78
6.3.1 แบบจำลองทางไฟฟ้าของมอเตอร์เหนี่ยวนำ	78
6.3.2 แบบจำลองทางกลของมอเตอร์เหนี่ยวนำ	83
6.3.3 การคำนวณกระแสของมอเตอร์เหนี่ยวนำ	84
6.4 โครงสร้างของโปรแกรมจำลองผล	87
6.4.1 โปรแกรมคำนวณสนามแม่เหล็ก	87
6.4.2 โปรแกรมคำนวณการสั่นสะเทือน	91
6.5 สรุป	96
7 ผลการจำลองสนามแม่เหล็กและการสั่นสะเทือนของมอเตอร์เหนี่ยวนำเมื่อพิจารณาร่องโรเตอร์เฉียง	98
7.1 บทนำ	98
7.2 ผลการจำลองสนามแม่เหล็กและอภิปรายผล	98
7.2.1 ผลการจำลองสนามแม่เหล็กเมื่อพิจารณาร่องโรเตอร์แบบร่องตรง	98
7.2.2 ผลการจำลองสนามแม่เหล็กเมื่อพิจารณาร่องโรเตอร์แบบเฉียงครึ่งร่อง	116
7.2.3 ผลการจำลองสนามแม่เหล็กเมื่อพิจารณาร่องโรเตอร์แบบเฉียงเต็มร่อง	135
7.3 ผลการจำลองการสั่นสะเทือนและอภิปรายผล	153
7.3.1 ผลการจำลองการสั่นสะเทือนเมื่อพิจารณาร่องโรเตอร์แบบร่องตรง	153
7.3.2 ผลการจำลองการสั่นสะเทือนเมื่อพิจารณาร่องโรเตอร์แบบเฉียงครึ่งร่อง	154
7.3.3 ผลการจำลองการสั่นสะเทือนเมื่อพิจารณาร่องโรเตอร์แบบเฉียงเต็มร่อง	155
7.4 สรุป	156

สารบัญ (ต่อ)

หน้า

8 สรุปและข้อเสนอแนะ	157
8.1 สรุป	157
8.2 ข้อเสนอแนะงานวิจัยในอนาคต	158
รายการอ้างอิง	159
 ภาคผนวก	
ภาคผนวก ก. บทความวิชาการที่ได้รับการตีพิมพ์เผยแพร่ในระหว่างศึกษา	165
ประวัติผู้เขียน	178

สารบัญตาราง

ตารางที่	หน้า
2.1 ผลงานวิจัยที่เกี่ยวข้อง	5
3.1 ลักษณะข้อมูลของอัลกิเมนต์	36
3.2 ลักษณะข้อมูลของจุดต่อ	36
6.1 พารามิเตอร์ทางไฟฟ้าและทางกลของมอเตอร์เหนี่ยวนำสามเฟสขนาด 3 แรงม้า	74

สารบัญ

รูปที่	หน้า
3.1 ความสัมพันธ์ระหว่างพิกัดกลางและพิกัดทรงกระบอก	14
3.2 ความสัมพันธ์ระหว่างพิกัดกลางและพิกัดทรงกลม	15
3.3 โครงสร้างของมอเตอร์เหนี่ยวนำ	19
3.4 การพัฒนาคลอดสเตเตอร์แบบสองชั้น	21
3.5 ลักษณะตัวนำของโรเตอร์กรุงกระรอค	22
3.6 รูปคลื่นของกระแสไฟฟ้าสามเฟส	23
3.7 สนามแม่เหล็กหมุนที่ดำเนินผ่านต่างๆ	23
3.8 วงจรสมมูลต่อเฟสของมอเตอร์เหนี่ยวนำ	25
3.9 คุณลักษณะ แรงบิด-ความเร็ว ของมอเตอร์เหนี่ยวนำ	26
3.10 เส้นแรงแม่เหล็กร้าวของโรเตอร์กรุงกระรอคร่องลึก	27
3.11 โรเตอร์กรุงกระรอคที่มีลวดตัวนำสองชุด	28
3.12 ลักษณะร่องต่างๆ ของโรเตอร์กรุงกระรอค	28
3.13 คุณลักษณะ แรงบิด-ความเร็ว ตามชั้นคุณสมบัติต่างๆ	28
3.14 การวางแผนร่องโรเตอร์แบบร่องตรง	31
3.15 การวางแผนร่องโรเตอร์แบบร่องตรงเมื่อทำการตีกริด	31
3.16 การวางแผนร่องโรเตอร์แบบเนียงครึ่งร่อง	32
3.17 การวางแผนร่องโรเตอร์แบบเนียงครึ่งร่องเมื่อทำการตีกริด	32
3.18 การวางแผนร่องโรเตอร์แบบเนียงเต็มร่อง	33
3.19 การวางแผนร่องโรเตอร์แบบเนียงเต็มร่องเมื่อทำการตีกริด	33
3.20 รูปร่างของปัญหาที่ประกอบด้วย 6 อิลลิเมนต์ 8 โหนด เมื่อพิจารณา อิลลิเมนต์รูปทรงสี่เหลี่ยม	35
3.21 การประมาณภายในแบบเชิงเส้นบนอิลลิเมนต์รูปทรงสี่เหลี่ยม	37
4.1 การแบ่งอิลลิเมนต์และจุดต่อของมอเตอร์เหนี่ยวนำด้วยรูปทรงสี่เหลี่ยม	46

สารบัญรูป (ต่อ)

รูปที่	หน้า
4.2 ภาพข่ายการแบ่งอลลิเมนต์และจุดต่อบนบริเวณที่สำคัญ	47
5.1 การแบ่งอลลิเมนต์และจุดต่อของมอเตอร์เพื่อกำนัณการสั่นสะเทือน	60
5.2 อลลิเมนต์สามเหลี่ยมเมื่อพิจารณาระนาบพิกัดคงกว้าง	61
5.3 อลลิเมนต์สามเหลี่ยมเมื่อพิจารณาระนาบพิกัดเฉพาะถี่น	62
5.4 แผนภูมิการคำนวณการสั่นสะเทือนในมอเตอร์	72
6.1 ภาคตัดส่วนหนึ่งของมอเตอร์เหนี่ยวนำและมิติ (mm)	76
6.2 ภาคตัดของร่องสเตเตอร์และมิติ (mm)	76
6.3 ภาคตัดของร่องโกรเตอร์และมิติ (mm)	76
6.4 การพันขดลวดสเตเตอร์ของกระแสไฟ 3 เฟสใน 36 ร่อง	77
6.5 ทิศทางการไหลของกระแส ณ เวลาขยะหนึ่ง	78
6.6 ขดลวดสเตเตอร์ของมอเตอร์เหนี่ยวนำสามเฟส	79
6.7 ขดลวดโกรเตอร์ของมอเตอร์เหนี่ยวนำสามเฟส	79
6.8 แบบจำลองทางกลของมอเตอร์เหนี่ยวนำ	83
6.9 รูปคลื่นแรงดันไฟฟ้าแต่ละเฟสที่จ่ายให้มอเตอร์	85
6.10 รูปคลื่นกระแสไฟฟ้าแต่ละเฟสที่จ่ายให้มอเตอร์	85
6.11 กราฟความเร็วรอบเปลี่ยนแปลงตามเวลาที่ได้จากการคำนวณ	86
6.12 กราฟมุมที่มอเตอร์หมุนเปลี่ยนแปลงตามเวลาที่ได้จากการคำนวณ	86
6.13 แผนภูมิแสดงการทำงานของโปรแกรมคำนวณสนามแม่เหล็ก	88
6.14 แผนภูมิแสดงการทำงานของโปรแกรมคำนวณการสั่นสะเทือน	92
7.1 การกระจายตัวศักย์เชิงเวกเตอร์แม่เหล็ก (Wb/m) เมื่อพิจารณาร่องโกรเตอร์แบบร่องตรง เมื่อโกรเตอร์หมุนไปเป็นมุม 0 องศา	99
7.2 การกระจายตัวศักย์เชิงเวกเตอร์แม่เหล็ก (Wb/m) เมื่อพิจารณาร่องโกรเตอร์แบบร่องตรง เมื่อโกรเตอร์หมุนไปเป็นมุม 32.7272 องศา	99
7.3 การกระจายตัวศักย์เชิงเวกเตอร์แม่เหล็ก (Wb/m) เมื่อพิจารณาร่องโกรเตอร์แบบร่องตรง เมื่อโกรเตอร์หมุนไปเป็นมุม 65.4544 องศา	100

สารบัญรูป (ต่อ)

สารบัญชุป (ต่อ)

รูปที่		หน้า
7.17 การกระจายตัวสนามแม่เหล็ก (T) เมื่อพิจารณาองโกรเตอร์แบบร่องตรง เมื่อโกรเตอร์หมุนไปเป็นมุม 130.9088 องศา		107
7.18 การกระจายตัวสนามแม่เหล็ก (T) เมื่อพิจารณาองโกรเตอร์แบบร่องตรง เมื่อโกรเตอร์หมุนไปเป็นมุม 163.6360 องศา		108
7.19 การกระจายตัวสนามแม่เหล็ก (T) เมื่อพิจารณาองโกรเตอร์แบบร่องตรง เมื่อโกรเตอร์หมุนไปเป็นมุม 196.3632 องศา		108
7.20 การกระจายตัวสนามแม่เหล็ก (T) เมื่อพิจารณาองโกรเตอร์แบบร่องตรง เมื่อโกรเตอร์หมุนไปเป็นมุม 229.0904 องศา		109
7.21 การกระจายตัวสนามแม่เหล็ก (T) เมื่อพิจารณาองโกรเตอร์แบบร่องตรง เมื่อโกรเตอร์หมุนไปเป็นมุม 261.8176 องศา		109
7.22 การกระจายตัวสนามแม่เหล็ก (T) เมื่อพิจารณาองโกรเตอร์แบบร่องตรง เมื่อโกรเตอร์หมุนไปเป็นมุม 294.5448 องศา		110
7.23 การกระจายตัวสนามแม่เหล็ก (T) เมื่อพิจารณาองโกรเตอร์แบบร่องตรง เมื่อโกรเตอร์หมุนไปเป็นมุม 327.2720 องศา		110
7.24 การกระจายตัวสนามแม่เหล็ก (T) เมื่อพิจารณาองโกรเตอร์แบบร่องตรง เมื่อโกรเตอร์หมุนไปเป็นมุม 359.9992 องศา		111
7.25 สนามแม่เหล็กตามแนวรัศมีที่กระทำกับฟันสเตเตอร์เมื่อพิจารณา ร่องโกรเตอร์แบบร่องตรงเมื่อโกรเตอร์หมุนไป		113
7.26 แรงแม่เหล็กไฟฟ้าที่กระทำกับฟันสเตเตอร์เมื่อพิจารณาองโกรเตอร์แบบร่องตรง		116
7.27 การกระจายตัวศักย์เชิงเวกเตอร์แม่เหล็ก (Wb/m) เมื่อพิจารณาองโกรเตอร์ แบบเลียงครึ่งร่องเมื่อโกรเตอร์หมุนไปเป็นมุม 0 องศา		117
7.28 การกระจายตัวศักย์เชิงเวกเตอร์แม่เหล็ก (Wb/m) เมื่อพิจารณาองโกรเตอร์ แบบเลียงครึ่งร่องเมื่อโกรเตอร์หมุนไปเป็นมุม 32.7272 องศา		117
7.29 การกระจายตัวศักย์เชิงเวกเตอร์แม่เหล็ก (Wb/m) เมื่อพิจารณาองโกรเตอร์ แบบเลียงครึ่งร่องเมื่อโกรเตอร์หมุนไปเป็นมุม 65.4544 องศา		118

สารบัญรูป (ต่อ)

สารบัญรูป (ต่อ)

รูปที่	หน้า
7.43 การกระจายตัวสนามแม่เหล็ก (T) เมื่อพิจารณาร่องโรเตอร์แบบเฉียงครึ่งร่องเมื่อโรเตอร์หมุนไปเป็นมุม 130.9088 องศา	126
7.44 การกระจายตัวสนามแม่เหล็ก (T) เมื่อพิจารณาร่องโรเตอร์แบบเฉียงครึ่งร่องเมื่อโรเตอร์หมุนไปเป็นมุม 163.6360 องศา	126
7.45 การกระจายตัวสนามแม่เหล็ก (T) เมื่อพิจารณาร่องโรเตอร์แบบเฉียงครึ่งร่องเมื่อโรเตอร์หมุนไปเป็นมุม 196.3632 องศา	127
7.46 การกระจายตัวสนามแม่เหล็ก (T) เมื่อพิจารณาร่องโรเตอร์แบบเฉียงครึ่งร่องเมื่อโรเตอร์หมุนไปเป็นมุม 229.0904 องศา	127
7.47 การกระจายตัวสนามแม่เหล็ก (T) เมื่อพิจารณาร่องโรเตอร์แบบเฉียงครึ่งร่องเมื่อโรเตอร์หมุนไปเป็นมุม 261.8176 องศา	128
7.48 การกระจายตัวสนามแม่เหล็ก (T) เมื่อพิจารณาร่องโรเตอร์แบบเฉียงครึ่งร่องเมื่อโรเตอร์หมุนไปเป็นมุม 294.5448 องศา	128
7.49 การกระจายตัวสนามแม่เหล็ก (T) เมื่อพิจารณาร่องโรเตอร์แบบเฉียงครึ่งร่องเมื่อโรเตอร์หมุนไปเป็นมุม 327.2720 องศา	129
7.50 การกระจายตัวสนามแม่เหล็ก (T) เมื่อพิจารณาร่องโรเตอร์แบบเฉียงครึ่งร่องเมื่อโรเตอร์หมุนไปเป็นมุม 359.9992 องศา	129
7.51 สนามแม่เหล็กตามแนวรัศมีที่กระทำกับฟันสเตเตอร์เมื่อพิจารณา ร่องโรเตอร์แบบเฉียงครึ่งร่องเมื่อโรเตอร์หมุนไป	131
7.52 แรงแม่เหล็กไฟฟ้าที่กระทำกับฟันสเตเตอร์เมื่อพิจารณา ร่องโรเตอร์แบบเฉียงครึ่งร่อง	134
7.53 การกระจายตัวศักย์เชิงเวกเตอร์แม่เหล็ก (Wb/m) เมื่อพิจารณาร่องโรเตอร์ แบบเฉียงเต็มร่องเมื่อโรเตอร์หมุนไปเป็นมุม 0 องศา	135
7.54 การกระจายตัวศักย์เชิงเวกเตอร์แม่เหล็ก (Wb/m) เมื่อพิจารณาร่องโรเตอร์ แบบเฉียงเต็มร่องเมื่อโรเตอร์หมุนไปเป็นมุม 32.7272 องศา	135
7.55 การกระจายตัวศักย์เชิงเวกเตอร์แม่เหล็ก (Wb/m) เมื่อพิจารณาร่องโรเตอร์ แบบเฉียงเต็มร่องเมื่อโรเตอร์หมุนไปเป็นมุม 65.4544 องศา	136

สารบัญรูป (ต่อ)

สารบัญรูป (ต่อ)

รูปที่		หน้า
7.69	การกระจายตัวสนามแม่เหล็ก (T) เมื่อพิจารณาร่องโรเตอร์แบบเฉียงเต็มร่องเมื่อโรเตอร์หมุนไปเป็นมุม 130.9088 องศา	144
7.70	การกระจายตัวสนามแม่เหล็ก (T) เมื่อพิจารณาร่องโรเตอร์แบบเฉียงเต็มร่องเมื่อโรเตอร์หมุนไปเป็นมุม 163.6360 องศา	144
7.71	การกระจายตัวสนามแม่เหล็ก (T) เมื่อพิจารณาร่องโรเตอร์แบบเฉียงเต็มร่องเมื่อโรเตอร์หมุนไปเป็นมุม 196.3632 องศา	145
7.72	การกระจายตัวสนามแม่เหล็ก (T) เมื่อพิจารณาร่องโรเตอร์แบบเฉียงเต็มร่องเมื่อโรเตอร์หมุนไปเป็นมุม 229.0904 องศา	145
7.73	การกระจายตัวสนามแม่เหล็ก (T) เมื่อพิจารณาร่องโรเตอร์แบบเฉียงเต็มร่องเมื่อโรเตอร์หมุนไปเป็นมุม 261.8176 องศา	146
7.74	การกระจายตัวสนามแม่เหล็ก (T) เมื่อพิจารณาร่องโรเตอร์แบบเฉียงเต็มร่องเมื่อโรเตอร์หมุนไปเป็นมุม 294.5448 องศา	146
7.75	การกระจายตัวสนามแม่เหล็ก (T) เมื่อพิจารณาร่องโรเตอร์แบบเฉียงเต็มร่องเมื่อโรเตอร์หมุนไปเป็นมุม 327.2720 องศา	147
7.76	การกระจายตัวสนามแม่เหล็ก (T) เมื่อพิจารณาร่องโรเตอร์แบบเฉียงเต็มร่องเมื่อโรเตอร์หมุนไปเป็นมุม 359.9992 องศา	147
7.77	สนามแม่เหล็กตามแนวรัศมีที่กระทำกับฟันสเตเตอร์เมื่อพิจารณา ร่องโรเตอร์แบบเฉียงเต็มร่องเมื่อโรเตอร์หมุนไป	149
7.78	แรงแม่เหล็กไฟฟ้าที่กระทำกับฟันสเตเตอร์เมื่อพิจารณา ร่องโรเตอร์แบบเฉียงเต็มร่อง	152
7.79	การกระจายตามแนวแกนรัศมีของมอเตอร์เมื่อพิจารณา ร่องโรเตอร์แบบบ่องตรง	153
7.80	การกระจายตามแนวแกนรัศมีของมอเตอร์เมื่อพิจารณา ร่องโรเตอร์แบบเฉียงครึ่งร่อง	154
7.81	การกระจายตามแนวแกนรัศมีของมอเตอร์เมื่อพิจารณา ร่องโรเตอร์แบบเฉียงเต็มร่อง	155

บทที่ 1

บทนำ

1.1 ความเป็นมาและความสำคัญของปัญหา

การสั่นสะเทือน คือ ปรากฏการณ์ของการเคลื่อนที่กลับไปกลับมาของวัตถุภายในตัวที่กระทำ ซึ่งอาจเป็นแรงกระทำจากภายในที่ก่อให้เกิดการสั่นสะเทือนแบบอิสระ (free vibration) โดยสั่นด้วยความถี่ธรรมชาติ (natural frequency) ซึ่งอาจมีความถี่เดียวหรือหลายความถี่ได้ ทั้งนี้ขึ้นอยู่กับธรรมชาติของระบบ หรือเป็นแรงกระทำจากภายนอกที่ก่อให้เกิดการสั่นสะเทือนแบบบังคับ (forced vibration) โดยสั่นด้วยความถี่ที่เท่ากับความถี่ของแรงภายนอกที่มากกระทำ และถ้าความถี่ที่มากระทำเท่ากับความถี่ธรรมชาติ จะทำให้เกิดปรากฏการณ์เรโซแนนซ์ (resonance) นั่นคือขนาดของการสั่นสะเทือนจะถูกขยายขึ้นจนทำให้เกิดความเสียหายแก่ระบบได้ โดยทั่วไปการสั่นสะเทือนมักเป็นสิ่งไม่ต้องการ แต่หลีกเลี่ยงไม่ได้ อย่างตัวที่สุดคือพยายามจำกัดขนาดของการสั่นสะเทือนให้อยู่ภายในขอบเขตที่ยอมรับได้ สำหรับมอเตอร์เนินบาน้ำสารเฟสการสั่นสะเทือนอาจเกิดจากหลายสาเหตุได้แก่ ความไม่สมพันธ์กันระหว่างจำนวนร่องสเตเตเตอร์และโรเตอร์ การเขียงศูนย์กลางของโรเตอร์ทั้งแบบสถิต (static eccentricity) และแบบพลวัต (dynamic eccentricity) และการนำอินเวอร์เตอร์มาใช้ปรับเปลี่ยนค่าความเร็วรอบแล้วส่งผลให้แหล่งจ่ายไฟฟ้าที่จ่ายเข้ามอเตอร์เป็นรูปคลื่นไส้น์ที่บิดเบี้ยว สาเหตุต่างๆเหล่านี้อาจเกิดขึ้นได้จากการออกแบบและการผลิตที่ไม่ได้มาตรฐาน ความเสื่อมสภาพตามอายุการใช้งาน หรือเกิดจากปัจจัยภายนอกอื่นๆ ที่มากระทำ ซึ่งสาเหตุต่างๆเหล่านี้ย่อมส่งผลต่อการกระหายตัวที่ไม่สมดุลของสนามแม่เหล็กในมอเตอร์แล้วส่งผลให้เกิดเสียงและการสั่นสะเทือนขึ้น ทำให้มีการสูญเสียทางกล สมรรถนะในการทำงานและอายุการใช้งานของมอเตอร์ลดลง อีกทั้งประสิทธิภาพในการทำงานของบุคลากรที่ควบคุมเครื่องจักรก็จะลดลงตามไปด้วย(เมดี้จ พ่อละอ,2548) อย่างไรก็ตาม ณ ปัจจุบันสำหรับประเทศไทย ปัญหาระดับ เสียงและการสั่นสะเทือนที่เกิดขึ้นในมอเตอร์เนินบาน้ำซึ่งเป็นที่นิยมใช้กันอย่างแพร่หลาย ก็ยังถูกมองข้ามและขาดการเอาใจใส่อย่างจริงจัง

ปัญหาทางด้านวิศวกรรมศาสตร์ส่วนใหญ่สามารถใช้การอธิบายด้วยสมการอนุพันธ์ (differential equation) หรือสมการอินทิกรัล (integral equation) สมการอนุพันธ์บางรูปแบบอาจหาผลเฉลยแม่นตรงได้ยากหรือทำไม่ได้จึงจำเป็นต้องใช้วิธีการหาผลเฉลยโดยประมาณซึ่งวิธีการหาผลเฉลยโดยประมาณนั้นมีหลายวิธีที่ได้รับความนิยมกันอย่างกว้างขวางในอดีตที่ผ่านมาคือ วิธี

ผลต่างสี่เหลี่ยม (finite difference method) ซึ่งเป็นวิธีการที่ง่ายแก่การศึกษาและการทำความเข้าใจ รวมไปถึงความสะดวกในการเขียนโปรแกรมคอมพิวเตอร์ ส่วนข้อเสียของการใช้วิธีผลต่างสี่เหลี่ยม มีやはりประการเช่น ความไม่สะดวกในการกำหนดเงื่อนไขขอบเขต และที่สำคัญที่สุดคือ ความยากลำบากในการประยุกต์วิธีการนี้เพื่อใช้กับปัญหาที่มีรูปร่างลักษณะที่ซับซ้อนอย่างเช่น โครงสร้าง หรือชิ้นส่วนต่างๆ ของเครื่องจักรกลไฟฟ้า สาเหตุของความยากลำบากดังกล่าวมีส่วนก่อให้เกิด วิธีการหาผลเฉลยโดยประมาณวิธีใหม่ที่เรียกว่า วิธีไฟในท่ออลิเมนต์ (finite element method: FEM) ซึ่งวิธีนี้สามารถนำมาใช้กับปัญหาที่มีรูปร่างลักษณะซับซ้อนได้ ก็ได้โดยสามารถจำลองรูปร่าง ลักษณะดังเดิมที่แท้จริงได้ใกล้เคียงและเที่ยงตรงกว่า

1.2 วัตถุประสงค์ของการวิจัย

- 1.2.1 เพื่อพัฒนาองค์ความรู้ด้านการสั่นสะเทือนทางกลของมอเตอร์เหนี่ยวนำสามเฟส
- 1.2.2 เพื่อพัฒนาโปรแกรมไฟในท่ออลิเมนต์แบบ 3 มิติ สำหรับคำนวณค่าสนามแม่เหล็ก ของมอเตอร์เหนี่ยวนำและการแปลงพลังงานไปอยู่ในรูปทางกล ให้สามารถคำนวณได้อย่างถูกต้อง
- 1.2.3 เพื่อแสดงทางขององค์ความรู้ด้านผลกระบวนการของร่องโรเตอร์เนี้ยง (skewed slot) ในการ วางแผนของแท่งโรเตอร์ในมอเตอร์เหนี่ยวน้ำที่มีผลต่อการสั่นสะเทือนทางกลของตัวมอเตอร์ โดย ประยุกต์ใช้วิธีไฟในท่ออลิเมนต์แบบ 3 มิติ

1.3 สมมุติฐานของการวิจัย

การวางแผนของร่องเนี้ยงของแท่งโรเตอร์มีผลต่อการเปลี่ยนแปลงของสนามแม่เหล็กและ การสั่นสะเทือนของมอเตอร์เหนี่ยวนำ

1.4 ข้อตกลงเบื้องต้น

- 1.4.1 มอเตอร์อยู่ในสภาพสมบูรณ์ ไม่มีการเขี้ยวศูนย์กลางของโรเตอร์ และแหล่งจ่ายไฟฟ้าเป็นรูปคลื่นไซน์ที่สมบูรณ์

1.4.2 กำหนดให้การวางแผนของร่องของขดลวดสเตเตอเรต์เต็มร่องตลอดทั้งชั้นบนและชั้นล่างของ ร่องสเตเตอเรต์เมื่อพิจารณาการพันขดลวดเป็นแบบสองชั้น (double layer winding)

- 1.4.3 ไม่พิจารณาบริเวณตัวนำรูปวงแหวน (end ring) ที่ยึดอยู่ที่ปลายทั้งสองด้านของแท่ง ตัวนำ (rotor bar)

1.4.4 วัสดุที่ใช้ทำมอเตอร์มีคุณสมบัติเป็นไอโซทรอกิก (isotropic) และความเป็นเนื้อ เดียวกัน (homogeneous)

1.5 ขอบเขตของการวิจัย

1.5.1 ใช้ MATLABTM เพื่อพัฒนาโปรแกรมไฟฟ้าในท่ออลูมิเนียมต์สำหรับวิเคราะห์ปัญหา
สนามแม่เหล็กที่ทำให้เกิดการสั่นสะเทือนในมอเตอร์เหนี่ยวนำ

1.5.2 พิจารณาถอดรหัส 3 เฟส 4 ขั้ว ชนิดกรงกระอก (squirrel cage)

1.5.3 ดำเนินการคำนวณเพื่อพัฒนาองค์ความรู้ด้านผลของแท่งโรเตอร์เคลื่อนที่มีผลต่อการ
สั่นสะเทือนทางกล

1.5.4 วิธีไฟฟ้าในท่ออลูมิเนียมต์ที่ใช้ในการวิเคราะห์การสั่นสะเทือนเป็นแบบ 3 มิติ

1.6 ประโยชน์ที่คาดว่าจะได้รับ

1.6.1 ได้โปรแกรมจำลองผลที่เกิดจากการพัฒนาโปรแกรมไฟฟ้าในท่ออลูมิเนียมแบบ 3 มิติ ที่
สามารถนำไปประยุกต์ใช้กับปัญหาจริงในการออกแบบและวิเคราะห์การสั่นสะเทือนในมอเตอร์
เหนี่ยวน้ำสามเฟส

1.6.2 ได้ข้อสรุปอันเป็นผลประโยชน์เกี่ยวกับมุมในการวางตัวของแท่งโรเตอร์ที่ส่งผลต่อ²
การสั่นสะเทือนทางกลของมอเตอร์เหนี่ยวน้ำ

1.7 การจัดรูปเล่มวิทยานิพนธ์

วิทยานิพนธ์นี้ประกอบด้วย 8 บท ภาคผนวก ซึ่งมีรายละเอียดโดยย่อดังนี้

บทที่ 1 เป็นบทนำซึ่งจะกล่าวถึงความสำคัญของปัญหาวัตถุประสงค์และเป้าหมายของ
งานวิจัยวิทยานิพนธ์ตลอดจนขอบเขตและประโยชน์ที่คาดว่าจะได้รับจากการวิจัยนี้

บทที่ 2 กล่าวถึงการสำรวจปริทัศน์วรรณกรรมและงานวิจัยที่เกี่ยวข้อง เพื่อให้ทราบถึง
แนวทางและระเบียบวิธีการวิจัยที่เกี่ยวข้อง โดยผลจากการสำรวจลึกซึ้ง จะใช้เป็นแนวทางสำหรับ
การประยุกต์และพัฒนาเข้ากับงานวิจัยวิทยานิพนธ์นี้

บทที่ 3 นำเสนอทฤษฎีต่างๆที่เกี่ยวข้องกับงานวิจัยวิทยานิพนธ์ซึ่งประกอบไปด้วย 3
หัวข้อหลักๆ ได้แก่ สนามแม่เหล็กมอเตอร์เหนี่ยวน้ำสามเฟสและวิธีไฟฟ้าในท่ออลูมิเนียมต์

บทที่ 4 มีเนื้อหาว่าด้วยแบบจำลองทางคณิตศาสตร์ของสนามแม่เหล็กในมอเตอร์และ
ขั้นตอนต่างๆในการประยุกต์ใช้วิธีไฟฟ้าในท่ออลูมิเนียมต์เพื่อคำนวณหาค่าสนามแม่เหล็กดังกล่าว

บทที่ 5 มีเนื้อหาว่าด้วยแบบจำลองทางคณิตศาสตร์ของการสั่นสะเทือนในมอเตอร์และ
ขั้นตอนต่างๆในการประยุกต์ใช้วิธีไฟฟ้าในท่ออลูมิเนียมต์เพื่อคำนวณหาค่าการสั่นสะเทือนดังกล่าว

บทที่ 6 อธิบายถึงโปรแกรมจำลองผลสนามแม่เหล็กและการสั่นสะเทือนของมอเตอร์เห็นี่ยวนำแบบ 3 มิติ โดยกล่าวถึงพารามิเตอร์ที่ประยุกต์ใช้ในการจำลองผล รวมถึงอธิบายโครงสร้างของโปรแกรมจำลอง

บทที่ 7 กล่าวถึงผลลัพธ์ของการคำนวณค่าสนามแม่เหล็กและขนาดของการสั่นสะเทือนในมอเตอร์ขนาดเล็กจากโปรแกรมที่พัฒนาขึ้นเมื่อพิจารณาปัจจัยร่วงของร่องโรเตอร์แบบดั้งเดิมเทียบกับปัจจัยร่วงของร่องโรเตอร์แบบเฉียง พร้อมทั้งอธิบายเหตุผลทางกายภาพของร่องโรเตอร์แบบเฉียงว่าส่งผลต่อการสั่นสะเทือนในมอเตอร์อย่างไร

บทที่ 8 เป็นบทสรุปและข้อเสนอแนะพร้อมงานวิจัยที่จะดำเนินการต่อ

ภาคผนวก ก. เป็นการรวบรวมผลงานที่ได้รับการเผยแพร่ของงานวิจัยวิทยานิพนธ์ในขณะดำเนินการศึกษา



บทที่ 2

ปริทัศน์วรรณกรรมและงานวิจัยที่เกี่ยวข้อง

2.1 บทนำ

ดังที่ได้กล่าวมาแล้วในบทที่ 1 ว่าวัตถุประสงค์หลักของงานวิจัยนี้คือศึกษาการวางแผนตัวของร่องโรเตอร์เรียงที่มุ่งต่างๆ ที่มีผลต่อการสั่นสะเทือนทางกล (ซึ่งต่อจากนี้อาจเรียกโดยย่อว่า การสั่นสะเทือน) ในมอเตอร์เห็นได้ชัดเจน สำหรับการใช้ชิปไฟฟ้าที่อิลลิเมนต์มาเป็นเครื่องมือในการแก้ปัญหาดังนั้นจึงมีความจำเป็นอย่างยิ่งที่ต้องดำเนินการสำรวจปริทัศน์วรรณกรรมและงานวิจัยที่เกี่ยวข้องเพื่อให้ทราบถึงแนวทางการวิจัยระเบียบวิธีที่เคยมีการใช้งานมาก่อนผลการดำเนินงานข้อเสนอแนะต่างๆ จากคณะนักวิจัยตั้งแต่อดีตเป็นต้นมาโดยใช้ฐานข้อมูลที่เป็นแหล่งสะสมรายงานวิจัยและวรรณกรรมที่เกี่ยวข้องทางด้านวิทยาศาสตร์และเทคโนโลยีอันได้แก่ฐานข้อมูลจาก IEEE, IEE และ ScienceDirect เป็นต้นผลการสำรวจสืบค้นงานวิจัยดังกล่าวจะใช้เป็นแนวทางสำหรับการประยุกต์และพัฒนาเข้ากับงานวิจัยวิทยานิพนธ์นี้

2.2 ปริทัศน์วรรณกรรมและงานวิจัยที่เกี่ยวข้อง

การนำเสนอปริทัศน์วรรณกรรมและงานวิจัยที่เกี่ยวข้องในเรื่องการสั่นสะเทือนของมอเตอร์เห็นได้ชัดเจน สำหรับการใช้ชิปไฟฟ้าที่อิลลิเมนต์มาเป็นตารางได้ดังตารางที่ 2.1 โดยจัดลำดับการเรียบเรียงจากงานที่มีผู้ได้ดำเนินการก่อนไปสู่งานที่ใหม่กว่าได้ดังต่อไปนี้

ตารางที่ 2.1 ผลงานวิจัยที่เกี่ยวข้อง

ค.ศ.	คณะผู้ทำวิจัย	การดำเนินงานวิจัย
1991	Belmans, Verdyck, Geysen, and Findlay	อธิบายถึงเสียงที่เกิดขึ้นในมอเตอร์เห็นได้ชัดเจน มีสาเหตุมาจากการนำอินเวอร์เตอร์มาใช้ในการปรับเปลี่ยนค่าความเร็วของมอเตอร์และนำชิปไฟฟ้าที่อิลลิเมนต์มาคำนวณหาความถี่ธรรมชาติเพื่อป้องกันการเกิดเรโซแนนซ์

ตารางที่ 2.1 ผลงานวิจัยที่เกี่ยวข้อง (ต่อ)

ค.ศ.	คณะผู้ทำวิจัย	การดำเนินงานวิจัย
1993	Berman	ดำเนินการศึกษาการเยื่องศูนย์กลางของโรเตอร์ทั้งแบบสติต และแบบพลวัต ที่ส่งผลต่อการเกิดเสียงและการสั่นสะเทือน ขึ้นในมอเตอร์เหนี่ยวนำ ซึ่งการแก้ไขการเยื่องศูนย์กลาง ดำเนินการโดยติดตั้งตัวปรับเท่าเข้าไปในบดลวดสเตเตอร์ ของมอเตอร์
1994	Munoz, and Araya	พิจารณาถึงการสั่นสะเทือนที่เกิดจากแรงแม่เหล็กไฟฟ้าของ มอเตอร์เหนี่ยวนำ เนื่องจากแหล่งจ่ายไฟที่จ่ายเข้ามอเตอร์เป็น รูปคลื่นไอน์ที่บิดเบี้ยว
1995	Dorrell, Thomson, and Roach	ศึกษาการเยื่องศูนย์กลางของโรเตอร์ทั้งแบบสติตและแบบ พลวัต ที่ส่งผลต่อการสั่นสะเทือนในมอเตอร์เหนี่ยวนำ
1995	Yacamini, and Chang	อธิบายถึงการเกิดเสียงและการสั่นสะเทือนที่เกิดจากแรง แม่เหล็กไฟฟ้าของมอเตอร์เหนี่ยวนำอันมีสาเหตุมาจากการ แหล่งจ่ายไฟที่จ่ายเข้ามอเตอร์ไม่เป็นรูปคลื่นไอน์อย่าง บริสุทธิ์ซึ่งการกระจายตัวของฟลักซ์แม่เหล็กสามารถคำนวณ ได้โดยใช้ทฤษฎีคลื่นความนำแม่เหล็ก
1996	Dorrell	ศึกษาการฉุดของฟลักซ์แม่เหล็กเนื่องจากความไม่สมดุลเมื่อ ออกแบบให้โรเตอร์ของมอเตอร์เหนี่ยวนำมีร่องเฉียง ประกอบกับมีการเยื่องศูนย์กลางแบบพลวัตของโรเตอร์ เกิดขึ้นโดยการกระจายตัวของฟลักซ์แม่เหล็กดำเนินการโดย ใช้ทฤษฎีคลื่นความนำแม่เหล็ก
1997	Nau	ศึกษาร่องเฉียงของโรเตอร์ในสภาพว่า ไร้โลหดที่มีผลต่อแรง แม่เหล็กไฟฟ้าแล้วก่อให้เกิดเสียงขึ้นในมอเตอร์เหนี่ยวนำ เมื่อ มอเตอร์ไม่มีโลหดอันเป็นผลเนื่องมาจากการสัมพันธ์ ระหว่างจำนวนร่องของสเตเตอร์และจำนวนร่องของโรเตอร์ โดยนำวิธีไฟโนทอิลิเมนต์และการวิเคราะห์ฟริเยร์มาใช้เป็น เครื่องมือในการวิเคราะห์
1997	Kobayashi, Tajima, Ito, and Shibukawa	พิจารณาผลลัพธ์ของการเกิดเสียงดังในมอเตอร์เหนี่ยวนำเมื่อ มอเตอร์ไม่มีโลหดอันเป็นผลเนื่องมาจากการสัมพันธ์ ระหว่างจำนวนร่องของสเตเตอร์และจำนวนร่องของโรเตอร์ โดยนำวิธีไฟโนทอิลิเมนต์และการวิเคราะห์ฟริเยร์มาใช้เป็น เครื่องมือในการวิเคราะห์

ตารางที่ 2.1ผลงานวิจัยที่เกี่ยวข้อง (ต่อ)

ค.ศ.	คณะผู้ทำวิจัย	การดำเนินงานวิจัย
1997	Hirotsuka, Tsuboi, and Ishibashi	พิจารณาขนาดของการสั่นสะเทือนในมอเตอร์เหนี่ยวนำเมื่อ มอเตอร์ขับ荷重 อันเป็นผลเนื่องมาจากการความสัมพันธ์ ระหว่างจำนวนร่องของสเตเตอร์และจำนวนร่องของโรเตอร์ อธิบายถึงเสียงที่เกิดจากการกระทำของแรงแม่เหล็กไฟฟ้าใน มอเตอร์เหนี่ยวน้ำที่มีสาเหตุมาจากแหล่งจ่ายไฟไม่เป็น ^{รูปคลื่น} ใช้นั่งชั่งการกระจายตัวของฟลักซ์แม่เหล็กสามารถ คำนวณได้โดยใช้วิธีไฟฟ้าที่อัลลิเมนต์และการวิเคราะห์ฟูร์ เยร์
1999	Mikami, Ide, Takahashi, and Kajiwara	อธิบายถึงเสียงที่เกิดจากการกระทำของแรงแม่เหล็กไฟฟ้าใน มอเตอร์เหนี่ยวน้ำที่มีสาเหตุมาจากแหล่งจ่ายไฟไม่เป็น ^{รูปคลื่น} ใช้นั่งชั่งการกระจายตัวของฟลักซ์แม่เหล็กสามารถ คำนวณได้โดยใช้วิธีไฟฟ้าที่อัลลิเมนต์และการวิเคราะห์ฟูร์ เยร์
1999	Sakamoto, Hirata, Kobayashi, and Kajiwara	นำไฟฟ้าที่อัลลิเมนต์มาใช้ในการแก้ปัญหาทั้งทางด้านฟลักซ์ แม่เหล็กซึ่งพิจารณาปัญหาเป็นแบบสองมิติในสถานะชั่วครู่ และปัญหาด้านกลศาสตร์เพื่อนำมาวิเคราะห์สัญญาณการ สั่นสะเทือนที่เกิดขึ้นในมอเตอร์เหนี่ยวน้ำ
1999	Wang, and Lai	วิเคราะห์เสียงและการสั่นสะเทือนของมอเตอร์เหนี่ยวน้ำที่ เกิดจากชาร์มอนิกที่ผลิตได้จากอินเวอร์เตอร์โดยใช้วิธีไฟ ฟ้าที่อัลลิเมนต์
1999	Fu	ได้พิจารณาผลกระทบของการสั่นสะเทือนในมอเตอร์ เหนี่ยวน้ำ อันเป็นผลเนื่องมาจากการออกแบบร่องเนียง (skewed slot) ของโรเตอร์ ซึ่งเป็นการพิจารณาแบบ 2 มิติ โดย ใช้เทคนิคการแบ่งปริมาตรของมอเตอร์ให้เป็นพื้นที่แผ่น บางๆ หลายๆ แผ่น

จากการรวมรวมและงานวิจัยที่ได้สรุปผ่านมาสามารถช่วยให้ผู้ที่จะดำเนินการศึกษาหรือ
พัฒนาเกี่ยวกับงานวิจัยนี้พอมองภาพออกอย่างกว้างๆ ว่ามีคณานักวิจัยได้ศึกษาสิ่งใดไปแล้วบ้าง
แต่ยังไม่สามารถแยกเป็นหมวดหมู่ตามวิธีการดำเนินงานศึกษาได้อย่างชัดเจนดังนั้นในส่วนถัดไปนี้
จึงได้ทำการเรียบเรียงและคัดสรรงานวิจัยหลักๆ ที่สำคัญและมีความแตกต่างกันอย่างเด่นชัดจาก
หลากหลายผลงานที่ได้สรุปไว้ในตารางที่ 2.1 โดยจะได้กล่าวถึงการนำทฤษฎีหลักการและวิธีการ

ดำเนินงานวิจัยต่างๆที่ใช้วิเคราะห์และลดปัญหาของการสั่นสะเทือนในมอเตอร์เห็นได้ว่านำและยังมีการเตรียมถึงผลลัพธ์ที่ได้จากการวิจัยนั้นๆโดยย่อ

เริ่มต้นจากBelmans, Verdyck, Geysen, and Findlay (1991), Munoz, and Araya (1994), Yacamini, and Chang (1995), Mikami, Ide, Takahashi, and Kajiwara (1999) และ Wang, and Lai (1999) ได้อธิบายถึงการเกิดเสียงและการสั่นสะเทือนซึ่งเกิดจากแรงแม่เหล็กไฟฟ้า (electromagnetic force) ของมอเตอร์เห็นได้ว่านมีสาเหตุมาจากการแคลงจ่ายไฟฟ้าที่จ่ายเข้ามอเตอร์ไม่เป็นรูปคลื่นไซน์ (nonsinusoidal waveform) อย่างบริสุทธิ์ จึงส่งผลกระทบต่อการกระจายตัวของฟลักซ์แม่เหล็ก ซึ่งฟลักซ์แม่เหล็กสามารถคำนวณได้โดยใช้ทฤษฎีคลื่นความนำแม่เหล็ก (permeance wave theory) หรือวิธีไฟในท่ออลิเมนต์ งานวิจัยของ Berman (1993) และ Dorrell, Thomson, and Roach (1995) ได้ดำเนินการศึกษาการเยื่องศูนย์กลางของโรเตอร์ในมอเตอร์เห็นได้ว่าน่า ซึ่งส่งผลกระทบต่อฟลักซ์แม่เหล็กที่ตัดกันร่องอากาศ (air gap) โดยจะเกิดการฉุดของฟลักซ์แม่เหล็กเนื่องจากความไม่สมดุล จึงส่งผลให้เกิดเสียงและการสั่นสะเทือนขึ้นในมอเตอร์ การแก้ไขการเยื่องศูนย์กลางทำได้โดยการติดตั้งตัวปรับเท่า (equalizing connections) เข้าไปในชุดลวดสเตเตอร์ของมอเตอร์เห็นได้ว่าเพื่อผลิตแรงเคลื่อนแม่เหล็ก (magnetomotive force: mmf) ไปปรับแก้การกระจายตัวที่ไม่สมดุลของฟลักซ์แม่เหล็ก ส่วน Kobayashi, Tajima, Ito, and Shibukawa (1997), Hirosuka, Tsuboi, and Ishibashi (1997) และ Sakamoto, Hirata, Kobayashi, and Kajiwara (1999) ได้พิจารณาผลลัพธ์ของการเกิดเสียงและการสั่นสะเทือนในมอเตอร์เห็นได้ว่าน่า อันเป็นผลเนื่องมาจากความสัมพันธ์กันระหว่างจำนวนร่องของสเตเตอร์และจำนวนร่องของโรเตอร์ โดยดำเนินการออกแบบจำนวนร่องของสเตเตอร์และโรเตอร์ให้เหมาะสม และ Dorrell (1996), Nau (1997) และ Fu (1999) ได้พิจารณาผลกระทบของการสั่นสะเทือนในมอเตอร์เห็นได้ว่าน่า อันเป็นผลเนื่องมาจากการออกแบบร่องเฉียง (skewed slot) ของโรเตอร์ ซึ่งเป็นการพิจารณาเพียง 2 มิติ โดยใช้เทคนิคการแบ่งปริมาตรของมอเตอร์ให้เป็นพื้นที่แผ่นบางๆ หลายๆ แผ่น (2-D multi-slice) เพื่อเลี้ยงการพิจารณาแบบ 3 มิติ ที่ค่อนข้างซุ่มยากและซับซ้อน ซึ่งเป็นเรื่องที่ยากที่จะหาหมุนที่ดีที่สุดของแท่งโรเตอร์ที่ส่งผลให้การสั่นสะเทือนในมอเตอร์น้อยที่สุด โดยส่วนใหญ่จะพิจารณาหมุนเป็นช่วงๆตามระยะของร่อง(Yoshihiro Kawase, Tadashi Yamaguchi, Zhipeng Tu, Naotaka Toida, NorimotoMinoshima, and Kou Hashimoto, 2009) จากการทบทวนวรรณกรรม / สารสนเทศที่เกี่ยวข้องทั้งหมดจะเห็นว่า มีปริมาณการวิจัยอยู่น้อยมากที่พิจารณาผลกระทบในการวางแผนแท่งโรเตอร์ในมอเตอร์เห็นได้ว่ามีมีต่อการสั่นสะเทือนด้วยการพิจารณาเป็นแบบ 3 มิติ ซึ่งการจำลองผลเพียงแค่ 2 มิติ ผลลัพธ์ที่ได้อาจยังคงมีความแตกต่างกับสภาพความเป็นจริงอยู่มาก และถึงแม้จะพิจารณาแบบ 3 มิติ ก็ตาม งานวิจัยที่ผ่านมาในอดีตจะใช้โปรแกรมสำเร็จรูปที่มีราคาค่อนข้างสูง ทั้งข้างขาดความยืดหยุ่นในการโปรแกรม ด้วยเหตุนี้ งานวิจัยชิ้นนี้เกิดขึ้นเพื่อสร้างทางคิดความรู้ด้าน

ผลกระทบของร่องเฉียง (skewed slot) ในการวางแผนตัวของแท่งโรเตอร์ในมอเตอร์เห็นได้ยาน้ำที่มีต่อการสั่นสะเทือนทางกลของตัวมอเตอร์ โดยประยุกต์ใช้วิธีไฟไนท์อิเล็กทรอนิกส์แบบ 3 มิติเพื่อเป็นแนวทางในการศึกษาการวางแผนตัวของแท่งโรเตอร์ (skewed rotor bar) ในมอเตอร์เห็นได้ยาน้ำ เพื่อบรรลุวัตถุประสงค์ของการสั่นสะเทือนในมอเตอร์ให้มีค่าน้อยลง

2.3 สรุป

บทที่ 2 นี้ ได้นำเสนอรายงานผลการสืบค้นวรรณกรรมวิจัยข้อนหลังที่เกี่ยวข้องกับงานวิจัยที่จะดำเนินการ จากฐานข้อมูล IEEE, IEE, ScienceDirect และอื่นๆ ซึ่งทำให้ทราบถึงแนวทางการวิจัยที่เกี่ยวข้อง ระเบียบวิธีที่ผู้วิจัยอื่นๆ ได้นำมาใช้ ผลการดำเนินงาน ข้อเสนอแนะต่างๆ จากคณะกรรมการวิจัยตั้งแต่อดีตจนถึงปัจจุบัน จากการสืบค้นปริพันธ์วรรณกรรมและงานวิจัยที่เกี่ยวข้อง ไม่เคยปรากฏงานวิจัยที่มุ่งเน้นการออกแบบมอเตอร์เห็นได้ยาน้ำโดยพิจารณาฐานรากปร่างของร่องโรเตอร์ เพื่อลดการสั่นสะเทือนทางกล โดยเฉพาะมาก่อน โดยทั่วไปการออกแบบร่องโรเตอร์ของมอเตอร์เห็นได้ยาน้ำแบบดั้งเดิมมุ่งเน้นที่ลักษณะสมบัติทางแรงบิดอาจต่ำ ที่เกิดขึ้นซึ่งเป็นแรงบิดที่จะนำไปใช้งานเป็นหลัก การออกแบบด้วยหลักการนี้อาจจะไม่ได้คำนึงถึงผลของการสั่นสะเทือนที่อาจจะเกิดขึ้นอย่างมีนัยสำคัญต่อมอเตอร์ ทำให้อาจการใช้งาน สมรรถนะ และประสิทธิภาพการทำงานของมอเตอร์ลดลง ตลอดจนมลภาวะทางไฟฟ้าที่อาจจะเกิดขึ้นอีกด้วย

บทที่ 3

ทฤษฎีเกี่ยวกับ

3.1 บทนำ

การศึกษาทฤษฎีต่างๆ ที่เกี่ยวข้องกับงานวิจัยมีความสำคัญมากในการดำเนินงาน เพื่อเป็นพื้นฐานความรู้และความเข้าใจ ในส่วนนี้จะกล่าวถึงทฤษฎีที่เกี่ยวข้องกับงานวิจัยนี้ ซึ่งประกอบไปด้วย 3 หัวข้อหลักได้แก่ สาระแม่เหล็ก โมเตอร์เหนี่ยวนำไฟฟ้าสามเฟส และวิธีไฟไนท์อิลิเมนต์ 3 มิติ โดยจะกล่าวถึงส่วนที่เป็นประโยชน์หรือสูญเสียของล่า吒อังต่อการดำเนินงานวิจัยนี้ เพื่อความกระชับ และชัดเจนของเนื้อหา

3.2 สาระแม่เหล็ก

3.2.1 พื้นฐานสำหรับสาระแม่เหล็ก

การบวกถึงปริมาณอย่างหนึ่งอย่างใดของสรรพสิ่งในธรรมชาติอาจกระทำได้โดยการบวกถึงขนาดแต่เพียงอย่างเดียวซึ่งรู้จักกันในนามของปริมาณเชิงสเกลาร์หรืออาจบวกทั้งขนาดและทิศทางควบคู่กันซึ่งรู้จักกันในนามของปริมาณเชิงเวกเตอร์พื้นฐานสำคัญในการศึกษาสาระแม่เหล็กจะเริ่มต้นจากทฤษฎีของเวกเตอร์โดยจะเริ่มต้นด้วยพิชณิตของเวกเตอร์ดังนี้ถ้าให้ \mathbf{A} เป็นเวกเตอร์ใดๆ ในระบบ xyz จะเขียนเวกเตอร์ \mathbf{A} ภายในปริภูมิซึ่งแสดงอยู่ในรูปของพิกัด直角 หรือพิกัดคาร์ทีเซียน(cartesian coordinate) ได้ในลักษณะ

$$\mathbf{A} = A_x \mathbf{i} + A_y \mathbf{j} + A_z \mathbf{k} \quad (3.1)$$

เมื่อ \mathbf{i} , \mathbf{j} และ \mathbf{k} เป็นเวกเตอร์หนึ่งหน่วยที่ชี้ไปในทิศทางบวกของแนวแกน x , y และ z ตามลำดับโดยมี A_x , A_y และ A_z เป็นส่วนประกอบพิกัดของ \mathbf{A} ในปริภูมิ

ถ้าให้ \mathbf{A} และ \mathbf{B} คือเวกเตอร์แล้ว $\mathbf{A} \cdot \mathbf{B}$ คือการคูณกันแบบดอท (dot product) เรียกการคูณแบบนี้ว่าการคูณเชิงสเกลาร์ (scalar product) นิยามโดย

$$\mathbf{A} \cdot \mathbf{B} = |\mathbf{A}| |\mathbf{B}| \cos \theta = A_x B_x + A_y B_y + A_z B_z \quad (3.2)$$

เมื่อ θ คือมุมระหว่างเวกเตอร์ \mathbf{A} กับ \mathbf{B} และ $0 \leq \theta \leq \pi$

ส่วน $\mathbf{A} \times \mathbf{B}$ คือการคูณกันแบบครอส (cross product) เรียกการคูณแบบนี้ว่าการคูณเชิงเวกเตอร์ (vector product) นิยามโดย

$$\mathbf{A} \times \mathbf{B} = |\mathbf{A}| |\mathbf{B}| \sin \theta (\pm \mathbf{n}) \quad (3.3)$$

เมื่อ \mathbf{n} นิยามให้เป็นเวกเตอร์ตั้งจากกับเวกเตอร์ \mathbf{A} และ \mathbf{B} โดยเครื่องหมาย ± ใช้กำหนดทิศทางของผลคูณเวกเตอร์แบบครอส โดยถ้าเวกเตอร์ \mathbf{A} หมุนตามเข็มนาฬิกาเป็นมุม ± เข้าหาเวกเตอร์ \mathbf{B} จะกำหนดให้ \mathbf{n} เป็นบวกในทางตรงกันข้ามกับกำหนดให้เป็นลบหรือขัดหลักการของสกรู โดยถ้าขันสกรูให้เคลื่อนที่เข้าไปในเนื้อวัตถุจะกำหนดให้ \mathbf{n} เป็นบวกและถ้าคลายสกรูออกจากเนื้อวัตถุจะกำหนดให้เป็นลบซึ่งเทียบได้กับกฎมือขวาด้านสอง

$$\mathbf{A} \times \mathbf{B} = (A_y B_z - A_z B_y) \mathbf{i} + (A_z B_x - A_x B_z) \mathbf{j} + (A_x B_y - A_y B_x) \mathbf{k} \quad (3.4)$$

หรือเขียนในรูปของคีทอร์มิแวนต์ได้ดังนี้

$$\mathbf{A} \times \mathbf{B} = \begin{vmatrix} \mathbf{i} & \mathbf{j} & \mathbf{k} \\ A_x & A_y & A_z \\ B_x & B_y & B_z \end{vmatrix} \quad (3.5)$$

เมื่อทราบวิธีคำนวณผลคูณเชิงสเกลาร์และผลคูณเชิงเวกเตอร์ซึ่งเป็นพื้นฐานเบื้องต้นแล้ว จากนั้นจึงดำเนินการศึกษาถึงการหาค่าเชิงอนุพันธ์ของฟังก์ชันสเกลาร์และฟังก์ชันเวกเตอร์ (ขั้นตอนรุ่นที่วิเศษศักดิ์วิชัย, 2545)

ซึ่งจะกล่าวต่อไปดังนี้ถ้าให้เป็นฟังก์ชันสเกลาร์ 3 ตัวแปร $f(x,y,z)$ แล้วค่าเชิงอนุพันธ์ของฟังก์ชัน/สามารถเขียนได้ดังนี้

$$df = \frac{\partial f}{\partial x} dx + \frac{\partial f}{\partial y} dy + \frac{\partial f}{\partial z} dz \quad (3.6)$$

และจากการกำหนดตัวดำเนินการอนุพันธ์ที่เรียกว่าเดล(del: ∇) ดังนี้

$$\nabla = \mathbf{i} \frac{\partial}{\partial x} + \mathbf{j} \frac{\partial}{\partial y} + \mathbf{k} \frac{\partial}{\partial z} \quad (3.7)$$

ดังนั้นมีอนามัย ∇ กระทำต่อฟังก์ชัน f จะได้ ∇f ซึ่งเรียกว่าเกรเดียนต์ (gradient) ของฟังก์ชัน f โดยจะมีความหมายในลักษณะ

$$\nabla f = \frac{\partial f}{\partial x} \mathbf{i} + \frac{\partial f}{\partial y} \mathbf{j} + \frac{\partial f}{\partial z} \mathbf{k} \quad (3.8)$$

และถ้ากำหนดให้ \mathbf{A} คือเวกเตอร์แล้ว $\nabla \cdot \mathbf{A}$ ซึ่งเป็นการคูณกันแบบคothจะเรียกว่าไควอร์เจนซ์ (divergence) ของ \mathbf{A} นิยามโดย

$$\nabla \cdot \mathbf{A} = \frac{\partial A_x}{\partial x} + \frac{\partial A_y}{\partial y} + \frac{\partial A_z}{\partial z} \quad (3.9)$$

ส่วน $\nabla \times \mathbf{A}$ ซึ่งเป็นการคูณกันแบบครอสจะเรียกว่าเคิร์ล (curl) ของ \mathbf{A} นิยามโดย

$$\nabla \times \mathbf{A} = \left(\frac{\partial A_z}{\partial y} - \frac{\partial A_y}{\partial z} \right) \mathbf{i} + \left(\frac{\partial A_x}{\partial z} - \frac{\partial A_z}{\partial x} \right) \mathbf{j} + \left(\frac{\partial A_y}{\partial x} - \frac{\partial A_x}{\partial y} \right) \mathbf{k} \quad (3.10)$$

หรือเขียนในรูปของคีทอร์มิแนนต์ได้ดังนี้

$$\nabla \times \mathbf{A} = \begin{vmatrix} \mathbf{i} & \mathbf{j} & \mathbf{k} \\ \frac{\partial}{\partial x} & \frac{\partial}{\partial y} & \frac{\partial}{\partial z} \\ A_x & A_y & A_z \end{vmatrix} \quad (3.11)$$

ไกวอร์เจนซ์และเคิร์ลเป็นเพียงอนุพันธ์อันดับหนึ่งความสามารถใช้เดลดำเนินการสองครั้งเพื่อให้อันพันธ์อันดับสองซึ่งเรียกว่าลาปลาเซียน (laplacian: ∇^2) ซึ่งแสดงได้ดังนี้

$$\nabla^2 = \frac{\partial^2}{\partial x^2} + \frac{\partial^2}{\partial y^2} + \frac{\partial^2}{\partial z^2} \quad (3.12)$$

ให้ \mathbf{A} คือเวกเตอร์จะได้ลากลาเซียนของ \mathbf{A} คือ

$$\nabla^2 \mathbf{A} = \frac{\partial^2 A_x}{\partial x^2} \mathbf{i} + \frac{\partial^2 A_y}{\partial y^2} \mathbf{j} + \frac{\partial^2 A_z}{\partial z^2} \mathbf{k} \quad (3.13)$$

เอกสารนี้ของเวกเตอร์ที่สำคัญต่อการดำเนินการอนุพันธ์อันดับสองมีอยู่ 2 เอกลักษณ์ดังแสดงด้วยสมการที่ (3.14) และ (3.15) ดังนี้คือ

$$\nabla \cdot (\nabla \times \mathbf{A}) = 0 \quad (3.14)$$

$$\nabla \times (\nabla \times \mathbf{A}) = \nabla(\nabla \cdot \mathbf{A}) - \nabla^2 \mathbf{A} \quad (3.15)$$

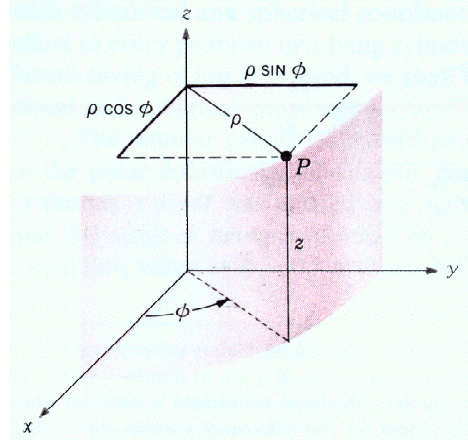
การแปลงระบบพิกัดที่มีพิกัดตั้งฉากซึ่งกันและกัน (William, 1989) จากพิกัด直角ไปเป็นพิกัดทรงกระบอก (cylindrical coordinate) ดังแสดงด้วยรูปที่ 3.1 สามารถแสดงได้โดยถ้าให้ \mathbf{A} เป็นเวกเตอร์ใดๆ ก็ตามในปริภูมิซึ่งแสดงอยู่ในรูปของพิกัด直角คือ

$$\mathbf{A} = A_x \mathbf{a}_x + A_y \mathbf{a}_y + A_z \mathbf{a}_z \quad (3.16)$$

เมื่อ \mathbf{a}_x , \mathbf{a}_y และ \mathbf{a}_z เป็นเวกเตอร์หนึ่งหน่วยโดยมี A_x , A_y และ A_z เป็นส่วนประกอบพิกัด直角ซึ่งจะต้องถูกเปลี่ยนไปอยู่ในรูปส่วนประกอบพิกัดทรงกระบอกโดยถ้าให้ \mathbf{A} เป็นเวกเตอร์ใดๆ ก็ตามในปริภูมิซึ่งแสดงอยู่ในรูปของพิกัดทรงกระบอกคือ

$$\mathbf{A} = A_\rho \mathbf{a}_\rho + A_\phi \mathbf{a}_\phi + A_z \mathbf{a}_z \quad (3.17)$$

เมื่อ \mathbf{a}_ρ , \mathbf{a}_ϕ และ \mathbf{a}_z เป็นเวกเตอร์หนึ่งหน่วยโดยมี A_ρ , A_ϕ และ A_z เป็นส่วนประกอบพิกัดทรงกระบอก



รูปที่ 3.1 ความสัมพันธ์ระหว่างพิกัด直角และพิกัดทรงกระบอก

จากรูปที่ 3.1 จะเห็นว่า ณ จุด $P(x, y, z)$ หรือ $P(\rho, \phi, z)$ จะได้ว่า

$$x = \rho \cos \phi, \quad y = \rho \sin \phi, \quad z = z$$

จะเห็นว่าตัวแปร x, y, z อยู่ในเทอมของตัวแปร ρ, ϕ, z และในทำนองเดียวกันจะได้ว่า

$$\rho = \sqrt{x^2 + y^2}, \quad \phi = \tan^{-1} \frac{y}{x}, \quad z = z$$

ซึ่งจะเห็นว่าตัวแปร ρ, ϕ, z อยู่ในเทอมของตัวแปร x, y, z

ในการเปลี่ยนจากระบบพิกัดหนึ่งไปเป็นอีกระบบพิกัดหนึ่งจะใช้หลักการคูณกันของเวกเตอร์แบบดอทการเปลี่ยนพิกัด直角ไปเป็นพิกัดทรงกระบอกจะต้องหาค่า A_ρ, A_ϕ ที่อยู่ในเทอมของ A_x, A_y โดยที่ $A_z = A_z$ ซึ่งแสดงได้ดังนี้

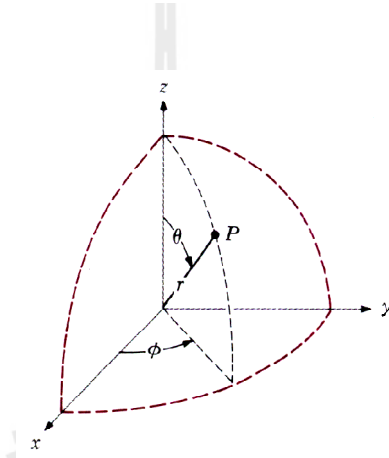
$$\begin{aligned} A_\rho &= \mathbf{A} \cdot \mathbf{a}_\rho = (A_x \mathbf{a}_x + A_y \mathbf{a}_y + A_z \mathbf{a}_z) \cdot \mathbf{a}_\rho = A_x \mathbf{a}_x \cdot \mathbf{a}_\rho + A_y \mathbf{a}_y \cdot \mathbf{a}_\rho \\ A_\rho &= A_x \cos \phi + A_y \sin \phi \end{aligned} \tag{3.18}$$

$$\begin{aligned} A_\phi &= \mathbf{A} \cdot \mathbf{a}_\phi = (A_x \mathbf{a}_x + A_y \mathbf{a}_y + A_z \mathbf{a}_z) \cdot \mathbf{a}_\phi = A_x \mathbf{a}_x \cdot \mathbf{a}_\phi + A_y \mathbf{a}_y \cdot \mathbf{a}_\phi \\ A_\phi &= -A_x \sin \phi + A_y \cos \phi \end{aligned} \tag{3.19}$$

ส่วนการแปลงจากพิกัดลากไปเป็นพิกัดทรงกลม (spherical coordinate) ดังแสดงด้วยรูปที่ 3.2 สามารถแสดงได้โดยถ้าให้ \mathbf{A} เป็นเวกเตอร์ใดๆ ก็ตามในปริภูมิซึ่งแสดงอยู่ในรูปของพิกัดทรงกลม คือ

$$\mathbf{A} = A_r \mathbf{a}_r + A_\theta \mathbf{a}_\theta + A_\phi \mathbf{a}_\phi \quad (3.20)$$

เมื่อ \mathbf{a}_r , \mathbf{a}_θ และ \mathbf{a}_ϕ เป็นเวกเตอร์หนึ่งหน่วยโดยมี A_r , A_θ และ A_ϕ เป็นส่วนประกอบพิกัดทรงกลม



รูปที่ 3.2 ความสัมพันธ์ระหว่างพิกัดลากและพิกัดทรงกลม

จากรูปที่ 3.2 จะเห็นว่าจุด $P(x, y, z)$ หรือ $P(r, \theta, \phi)$ จะได้ว่า

$$x = r \sin \theta \cos \phi, \quad \theta = \cos^{-1} \frac{z}{\sqrt{x^2 + y^2 + z^2}}, \quad \phi = \tan^{-1} \frac{y}{x}$$

ซึ่งจะเห็นว่าตัวแปร r , θ , ϕ อยู่ในเทอมของตัวแปร x , y , z

การเปลี่ยนพิกัดลากไปเป็นพิกัดทรงกลมจะต้องหาค่า A_r , A_θ , A_ϕ ที่อยู่ในเทอมของ Ax , Ay , Az ซึ่งแสดงได้ดังนี้

$$\begin{aligned} A_r &= \mathbf{A} \cdot \mathbf{a}_r = (A_x \mathbf{a}_x + A_y \mathbf{a}_y + A_z \mathbf{a}_z) \cdot \mathbf{a}_r \\ &= A_x \mathbf{a}_x \cdot \mathbf{a}_r + A_y \mathbf{a}_y \cdot \mathbf{a}_r + A_z \mathbf{a}_z \cdot \mathbf{a}_r \\ A_r &= A_x \sin \theta \cos \phi + A_y \sin \theta \cos \phi + A_z \sin \theta \end{aligned} \quad (3.21)$$

$$\begin{aligned}
A_\theta &= \mathbf{A} \cdot \mathbf{a}_\theta = (A_x \mathbf{a}_x + A_y \mathbf{a}_y + A_z \mathbf{a}_z) \cdot \mathbf{a}_\theta \\
&= A_x \mathbf{a}_x \cdot \mathbf{a}_\theta + A_y \mathbf{a}_y \cdot \mathbf{a}_\theta + A_z \mathbf{a}_z \cdot \mathbf{a}_\theta \\
A_\theta &= A_x \cos \theta \cos \phi + A_y \cos \theta \sin \phi + A_z \sin \theta
\end{aligned} \tag{3.22}$$

$$\begin{aligned}
A_\phi &= \mathbf{A} \cdot \mathbf{a}_\phi = (A_x \mathbf{a}_x + A_y \mathbf{a}_y + A_z \mathbf{a}_z) \cdot \mathbf{a}_\phi \\
&= A_x \mathbf{a}_x \cdot \mathbf{a}_\phi + A_y \mathbf{a}_y \cdot \mathbf{a}_\phi + A_z \mathbf{a}_z \cdot \mathbf{a}_\phi \\
A_\phi &= -A_x \sin \phi + A_y \cos \phi
\end{aligned} \tag{3.23}$$

3.2.2 สนามแม่เหล็กและศักย์เชิงเวกเตอร์แม่เหล็ก

เมื่อทราบทฤษฎีและคุณสมบัติของเวกเตอร์ที่จำเป็นแล้วต่อไปจะได้กล่าวถึงทฤษฎีที่เกี่ยวข้องกับสนามแม่เหล็กและศักย์เชิงเวกเตอร์แม่เหล็ก (เคลิมพลน้ำค้าง, 2538) ซึ่งต้องอาศัยความรู้ของระบบเวกเตอร์จากข้างต้น

ประจุไฟฟ้า (electric charge) คือปริมาณของความเป็นไฟฟ้าที่สถิตอยู่ในสสารนั้นๆ ซึ่งแรงปฏิสัมพันธ์ระหว่างประจุไฟฟ้าจะเรียกว่าแรงไฟฟ้า (electric force) และถ้าหากประจุไฟฟ้ามีการเคลื่อนที่ด้วย จะเกิดแรงที่เรียกว่าแรงแม่เหล็ก (magnetic force) ด้วยเหตุที่ทั้งแรงไฟฟ้าและแรงแม่เหล็กมีแหล่งกำเนิดเดียวกันคือประจุไฟฟ้า การจัดจำแนกกลุ่มของแรงจึงได้จัดให้ทั้งสองแรงนี้อยู่ในกลุ่มเดียวกันที่เรียกว่าแรงแม่เหล็กไฟฟ้า (electromagnetic force) ทุกๆ ประจุในสสารจะมีความเข้มสนามไฟฟ้า (electric field intensity) หรืออาจเรียกว่าสนามไฟฟ้า (electric field: E) อยู่ปริมาณหนึ่ง ส่วนความหนาแน่นของฟลักซ์แม่เหล็ก (magnetic flux density) หรืออาจเรียกว่าสนามแม่เหล็ก (magnetic field: B) จะเป็นตัวกำหนดให้ออกแรงกระทำเฉพาะประจุไฟฟ้าที่เคลื่อนที่ ซึ่งสนามแม่เหล็กนี้เองที่เป็นรากฐานของการพันแปรลงพลังงานจากรูปแบบหนึ่งไปสู่รูปแบบอื่นๆ โดยใช้เป็นพื้นฐานสำคัญในการพัฒนาอุปกรณ์ที่เกิดขึ้นในมอเตอร์ เครื่องกำเนิดไฟฟ้าและหม้อแปลงซึ่งการผันแปรลงพลังงานที่เกิดขึ้นในอุปกรณ์เหล่านี้จะประกอบด้วยกฎพื้นฐานอยู่ 4 กฎ (Chapman, 1998) คือ

- 1) เมื่อกระแสไฟ流ในเส้นลวดตัวนำจะเกิดสนามแม่เหล็กล้อมรอบเส้นลวดนั้น
- 2) เมื่อสนามแม่เหล็กมีการเปลี่ยนแปลงตามเวลาจะเกิดแรงดันเหนี่ยวนำขึ้นในคลอดที่เกิดจากการพันของเส้นลวดตัวนำ (พื้นฐานปราภกภารณ์หม้อแปลง)
- 3) เมื่อกระแสไฟ流ในเส้นลวดตัวนำที่วางอยู่ในสนามแม่เหล็กจะเกิดแรงทางกลขึ้น (พื้นฐานปราภกภารณ์มอเตอร์)

4) เมื่อสืบสอดตัวนำเคลื่อนที่ผ่านสนามแม่เหล็กจะเกิดแรงดันเหนี่ยวนำขึ้น

(พื้นฐานประภากลการณ์เครื่องกำเนิดไฟฟ้า)

ซึ่งปริมาณของสนามแม่เหล็กจะขึ้นอยู่กับวัสดุตัวกลางสามารถแสดงได้โดย

$$\mathbf{B} = \mu \mathbf{H} \quad (3.24)$$

เมื่อ μ คือความชาบชีม ได้ของแม่เหล็ก (magnetic permeability) มีค่าเท่ากับ $\mu_0 \mu_r$ โดยที่ μ_0 คือความชาบชีม ได้ของสูญญากาศ มีค่าเท่ากับ $4\pi \times 10^{-7} \text{ H/m}$ และ μ_r คือความชาบชีม ได้สัมพัทธ์ (relative permeability) โดยจะขึ้นอยู่กับวัสดุตัวกลาง ส่วน \mathbf{H} คือความเข้มสนามแม่เหล็ก (magnetic field intensity) และจากคุณสมบัติของ \mathbf{B} พนว่า

$$\nabla \cdot \mathbf{B} = 0 \quad (3.25)$$

ซึ่งสมการที่ (3.25) นี้คือกฎของเกาส์ (Gauss's law) ในรูปอนุพันธ์ของสนามแม่เหล็ก โดยที่น้ำไปประกอบกับการใช้เอกลักษณ์ในสมการที่ (3.14) จะสรุปได้ว่าหากได้เวอร์เจนของ \mathbf{B} เท่ากับศูนย์แล้ว ย่อมมีเวกเตอร์หนึ่งที่เมื่อกระทำเครื่องแล้วได้ผลเป็นเวกเตอร์ \mathbf{B} เวกเตอร์ใดๆที่กระทำเครื่องแล้วเท่ากับ \mathbf{B} จะเรียกว่าศักย์เชิงเวกเตอร์แม่เหล็ก (magnetic vector potential: \mathbf{A}) ดังนี้

$$\mathbf{B} = \nabla \times \mathbf{A} \quad (3.26)$$

ดังนั้นเมื่อต้องการคำนวณหาสนามแม่เหล็ก \mathbf{B} จึงเลี่ยงโดยการไปคำนวณหาศักย์เชิงเวกเตอร์แม่เหล็ก \mathbf{A} ก่อน ซึ่งสามารถคำนวณได้ง่ายกว่า โดยสนามแม่เหล็ก \mathbf{B} สามารถคำนวณได้ด้วยการเครื่องศักย์เชิงเวกเตอร์แม่เหล็ก \mathbf{A} เท่านั้น (เพดีจ เพ่าละอ, 2548)

3.3 มอเตอร์เหนี่ยวนำสามเฟส

มอเตอร์เป็นเครื่องดันกำลังที่ใช้ในอุตสาหกรรมทั่วไป เพราะสามารถแปลงผันพลังงานไฟฟ้าเป็นพลังงานกลได้ เราสามารถแบ่งมอเตอร์ไฟฟ้าออกตามความสำคัญและลักษณะการใช้งานได้เป็น 2 ชนิด ได้แก่ มอเตอร์เหนี่ยวนำ และ มอเตอร์ชนิดอื่นๆที่เหลือ

มอเตอร์เหนี่ยวนำเป็นมอเตอร์ที่นิยมใช้งานกันอย่างแพร่หลาย เนื่องจากมีการใช้งานที่ไม่ยุ่งยาก ราคาถูก ทนทาน และ ไม่ต้องดูแลบำรุงรักษามากนัก อีกทั้งยังให้ความเร็วเกือบคงที่ตลอด

ย่านการทำงาน ซึ่งหมายความกับการใช้งานในอุตสาหกรรมและอื่นๆ แทนทุกประเภท จนอาจกล่าวได้ว่ามีการใช้งานมอเตอร์เหนี่ยวจำนวนมากกว่าร้อยละ 90 ของเครื่องดันกำลังทั้งหมด

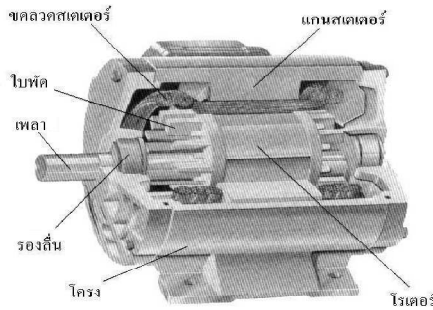
นิโคลา เทสลา (Nikola Tesla) ได้เสนอแนวคิดการทำให้เกิดสนามแม่เหล็กหมุนที่สเตเตอร์ เพื่อทำให้โรเตอร์หมุนได้โดยไม่ต้องอาศัยไฟฟ้ากระแสตรงสำหรับคลอดกระตุน โดยกระแสในคลอด โรเตอร์ได้จากการเหนี่ยวนำไฟฟ้าจากคลอดสเตเตอร์ เทสลาได้จดสิทธิบัตรสิ่งประดิษฐ์นี้เมื่อ ค.ศ. 1888 และสิ่งประดิษฐ์นี้ได้รับการปรับปรุงทั้งทางด้านโครงสร้างและคุณสมบัติต่างๆ ให้พัฒนาขึ้นเรื่อยๆ หรือที่เราเรียกวันว่า มอเตอร์เหนี่ยวนำ

มอเตอร์ไฟฟ้าเหนี่ยวนำที่ผลิตออกมายังบันมีหลายชนิด ตั้งแต่ขนาดเล็กใช้ไฟฟ้ากระแสสลับเฟสเดียวขนาดไม่ถึง 1 แรงม้า จนถึงขนาดใหญ่ใช้ไฟฟ้ากระแสสลับ 3 เฟส ขนาด 10,000 แรงม้า โดยในส่วนนี้จะกล่าวถึงเฉพาะมอเตอร์เหนี่ยวนำที่ใช้กับไฟฟ้ากระแสสลับ 3 เฟส ซึ่งนิยมใช้กันมากเท่านั้น

3.3.1 โครงสร้างของมอเตอร์เหนี่ยวนำ

มอเตอร์เหนี่ยวนำมีโครงสร้างแบ่งออกเป็น 2 ส่วนหลักๆ ได้แก่ สเตเตอร์และโรเตอร์ ดังนี้

1) สเตเตอร์ จะประกอบด้วยโครงมอเตอร์ (frame or yoke) และแกนสเตเตอร์ (stator core) และคลอดสเตเตอร์ (stator winding) โครงมอเตอร์ทำด้วยเหล็กหล่อรูปทรงกระบอกกลวง ฐานส่วนล่างมีลักษณะเป็นขาตั้ง มีกล่องสำหรับต่อสายไฟออกสู่วงจรภายนอกอยู่ด้านข้าง โดยโครงจะมีหน้าที่จับยึดแกนคลอด ให้แน่นอยู่กับที่ ผิวด้านนอกโครงรอบของโครงมอเตอร์บางตัวจะออกแบบให้มีลักษณะเป็นครีบ เพื่อช่วยระบายความร้อน ส่วนแกนสเตเตอร์ทำจากแผ่นลมิเนตให้ความซานซึ่งได้ขึ้นแม่เหล็กมีค่าสูง ซึ่งจะมีความสูญเสียเนื่องจากไฮสเตอริซีส (hysteresis) และกระแสไฟลวน (eddy current) ดำเนินแกนสเตเตอร์ถูกเจาะตรงกลางให้มีลักษณะเป็นรูปวงแหวน โดยผิวด้านในถูกเชาะเป็นร่องคันด้วยพื้นของสเตเตอร์โดยรอบ เพื่อใช้เป็นที่วางสำหรับการพันคลอดสเตเตอร์ แผ่นลมิเนตเหล่านี้จะถูกอัดเข้าด้วยกันเรียกว่าแกนสเตเตอร์ ซึ่งทำหน้าที่เป็นทางเดินของเส้นแรงแม่เหล็กดังแสดงด้วยรูปที่ 3.3 (Kenjo, 1991)



รูปที่ 3.3 โครงสร้างของมอเตอร์เนินยาน้ำ

ส่วนขดลวดสเตเตอร์ จะเป็นลวดทองแดงเส้นเล็กๆ ที่ใช้พันเป็นขดลวด เคลือบด้วยน้ำมันวาร์นิชที่เป็นนวนวนไฟฟ้าอย่างดี โดยแบ่งจำนวนขดลวดออกเป็นสามชุด ซึ่งแต่ละชุดจะเรียกว่าเฟส ขดลวดสเตเตอร์ทั้งสามเฟส จะนำมาต่อ กันแบบสตาร์ (Y) หรือเดลตา (Δ) แล้วต่อออกสู่วงจรภายนอก การสร้างขี้วแม่เหล็กของแต่ละเฟส เกิดจากการพันต่อ กันของขดลวดเฟสนั้นๆ ในลักษณะพันตรงและพันย้อนกลับสลับกันไป เพื่อให้เกิดขี้วแม่เหล็ก N และ S สลับกันไปเรื่อยๆ เป็นคู่ๆ โดยปัจจัยที่มีผลต่อแรงดันเนินยาน้ำของขดลวดในเครื่องจักรกลไฟฟ้ากระแสสลับ แบ่งออกได้เป็น 2 ประเภท คือ การวางแผนตัวของขดลวดสเตเตอร์ที่ใช้พัน และระยะพิทช์ของขดลวด (coil pitch) ที่ใช้พัน

การวางแผนตัวของขดลวดสเตเตอร์ในร่องมีอยู่สองลักษณะ คือการวางแผนตัวแบบรวม (concentrate) หมายถึงกลุ่มของขดลวดที่ใช้พันวางแผนตัวอยู่ในร่องเดียวกันและการวางแผนตัวแบบกระจาย (distribution) หมายถึงกลุ่มของขดลวดที่ใช้พันวางแผนตัวในแต่ละร่องแยกกันซึ่งการวางแผนตัวของขดลวดในมอเตอร์สามเฟสส่วนใหญ่จะเป็นแบบกระจายทั้งนี้เพื่อเป็นการลดผลกระทบของสาร์มอนิกจากวางแผนตัวของขดลวดแบบรวมแต่เนื่องจากในการวางแผนตัวของขดลวดแบบรวมกลุ่มของขดลวดจะตัดกับเส้นแรงแม่เหล็กได้พร้อมกันแต่การวางแผนตัวของขดลวดแบบกระจายซึ่งมีขดลวดอยู่ในร่องที่แยกกันแรงดันเนินยาน้ำของขดลวดจึงเกิดขึ้นไม่พร้อมกันดังนั้นแรงดันเนินยาน้ำที่เกิดจากการวางแผนตัวของขดลวดแบบกระจายจึงมีค่าน้อยกว่าการวางแผนตัวของขดลวดแบบ รวมซึ่งแรงดันเนินยาน้ำที่น้อยลงนี้จะอยู่ในรูปของตัวประกอบการกระจาย (distribution factor or breadth factor: k_d)

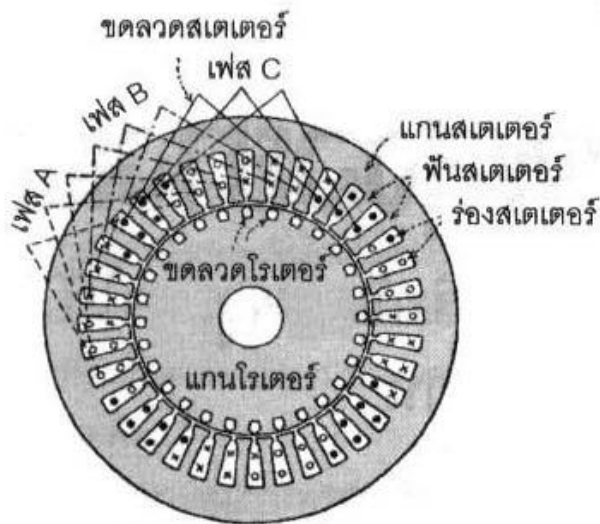
การพันขดลวดยังต้องคำนึงถึงระยะพิทช์ของขดลวดที่ใช้พัน ซึ่งเป็นระยะห่างระหว่างด้านข้างทั้งสองของขดลวดเดียวกัน จะแบ่งออกเป็น 2 แบบ คือ ระยะพิทช์เต็ม (full pitch) และระยะพิทช์เศษส่วน (fractional pitch) ซึ่งระยะพิทช์เต็มหมายถึง เมื่อด้านข้างของขดลวดด้านหนึ่งอยู่ตรงกับด้านข้างขี้วแม่เหล็ก N แล้ว จะมีอีกด้านข้างหนึ่งของขดลวดนี้ อยู่ตรงกับด้าน

ข้าแม่เหล็ก S ที่อยู่ตัดไป ซึ่งมีระยะเทียบได้กับ 1 พิตช์ข้าแม่เหล็ก หรือ 180° ทางไฟฟ้า ความสัมพันธ์ระหว่างมุมทางไฟฟ้า (θ_e) และมุมทางกล (θ_m) จะขึ้นอยู่กับจำนวนข้าแม่เหล็ก (P) ซึ่งสามารถแสดงได้ดังสมการที่ (3.27)

$$\theta_e = \frac{P}{2} \theta_m \quad (3.27)$$

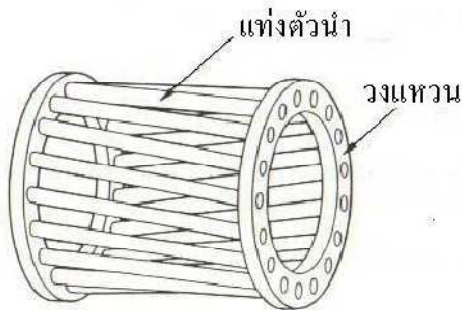
ส่วนระบบพิตช์เศษส่วนคือด้านข้างทั้งสองของขดลวดเดียวกันจะอยู่ห่างกันไม่ถึง 1 พิตช์ ข้าแม่เหล็กซึ่งระบบพิตช์ของขดลวดในมอเตอร์สามารถเพสส่วนใหญ่จะเป็นแบบระบบพิตช์เศษส่วน ทั้งนี้เพื่อเป็นการจัดการกับอนิกติที่มีผลผลกระทบต่อแรงดันเหนี่ยวนำของขดลวดแต่ข้อเสียของการพันขดลวดแบบระบบพิตช์เศษส่วนคือค่าแรงดันเหนี่ยวนำจะมีค่าลดลงเล็กน้อยเมื่อเทียบกับแบบระบบพิตช์เดิมซึ่งแรงดันเหนี่ยวนำที่ลดลงนี้จะอยู่ในรูปของตัวประกอบพิตช์ (pitch factor: k_p) และผลคูณระหว่าง k_d และ k_p จะเรียกว่าตัวประกอบชุดขดลวด (winding factor: k_w)

การพันขดลวดสเตเตเตอร์ของเครื่องจักรกลไฟฟ้ากระแสสลับแบ่งออกเป็นสองแบบ คือ การพันขดลวดชั้นเดียว (single layer winding) ซึ่งจำนวนขดลวดที่ใช้ในการพันจะเท่ากับครึ่งหนึ่งของจำนวนร่องเพาะในแต่ละร่องจะมีด้านข้างของขดลวดเพียงด้านเดียวและการพันขดลวดสองชั้น (double layer winding) ซึ่งเป็นที่นิยมในมอเตอร์เนื่องจากได้รูปคลื่นแรงดันไฟฟ้าเหนี่ยวนำมีลักษณะใกล้เคียงกับรูปคลื่นไอน์มาเกกว่าทั้งนี้ เพราะสามารถกำจัดสาร์มอนิกได้โดยการเลือกช่วงของการพันขดลวดที่เหมาะสมส่วนข้อเสียคือการพันขดลวดร่องและการซ่อมแซมทำได้ยากกว่าการพันขดลวดชั้นเดียว โดยในหนึ่งร่องจะมีด้านข้างของขดลวดบรรจบอยู่สองด้านถ้าด้านหนึ่งของขดลวดวางตัวอยู่ชั้นบนของร่องแล้วอีกด้านหนึ่งของขดลวดจะวางตัวอยู่ชั้นล่างของร่อง อันอื่นโดยจะมีจำนวนก้นระหว่างขดลวดส่วนบนและขดลวดส่วนล่างการพันแบบขดลวดสองชั้นนี้สามารถแสดงด้วยรูปที่ 3.4 (ภาครุ่มศักดิ์, 2545) ซึ่งประกอบด้วยร่องสเตเตเตอร์ทั้งหมด 36 ร่องและระบบพิตช์ของขดลวดเท่ากับ 9



รูปที่ 3.4 การพันขดลวดสเตเตอร์แบบสองชั้น

2) โรเตอร์ โดยโครงสร้างของโรเตอร์จะเป็นแบบกรงกระอก (squirrel cage) หรือเป็นแบบขดลวดพันรอบโรเตอร์ (wound rotor) อย่างใดอย่างหนึ่ง ในที่นี้จะกล่าวเฉพาะแบบกรงกระอกเท่านั้น เนื่องจากเป็นที่ใช้งานกันแพร่หลายที่สุด แสดงได้ดังรูปที่ 3.5 ซึ่งเป็นโครงสร้างของมอเตอร์เหนี่ยวนำแบบกรงกระอก ลักษณะโครงสร้างของโรเตอร์แบบกรงกระอกจะประกอบไปด้วย แกนโรเตอร์ ขดลวดโรเตอร์ ใบพัดระบายความร้อน และเพลา แกนโรเตอร์จะทำด้วยแผ่นลามิเนต มีลักษณะกลม เช่าจะผิวภายนอกให้เป็นร่อง โดยรอบ ตรงกลางแผ่นจะเจาะรูสำหรับสอดเพลา บริเวณระหว่างร่องรอบๆ ขอบกับฐานตรงกลางแผ่น จะถูกเจาะเป็นรูไว้เพื่อช่วยในการระบายความร้อนและให้โรเตอร์มีน้ำหนักเบา แผ่นลามิเนตเหล่านี้จะถูกอัดเข้าด้วยกันเรียกว่า แกนโรเตอร์ ส่วนขดลวดโรเตอร์ที่จะถูกฝังในร่องของแกนโรเตอร์ จะไม่เป็นเส้นลวดเด็กๆ เหมือนกับลักษณะของขดลวดสเตเตอร์ แต่จะมีลักษณะเป็นแท่งตัวนำ (rotor bar) ที่ฝังเข้าไปในร่องให้แน่นซึ่งอาจจะเป็นทองแดง โลหะผสมหรืออะลูมิเนียมที่ปลายทั้งสองด้านของแท่งตัวนำจะถูกยึดด้วยตัวนำรูปวงแหวน (end ring) เพื่อลดจังหวะไฟฟ้าและมีใบพัดระบายความร้อนลักษณะเป็นครีบขึ้นออกมากดังนั้นจึงทำให้ได้ตัวนำที่มีโครงสร้างเหมือนกับกรงกระอกดังแสดงด้วยรูปที่ 3.5 (Kenjo, 1991)

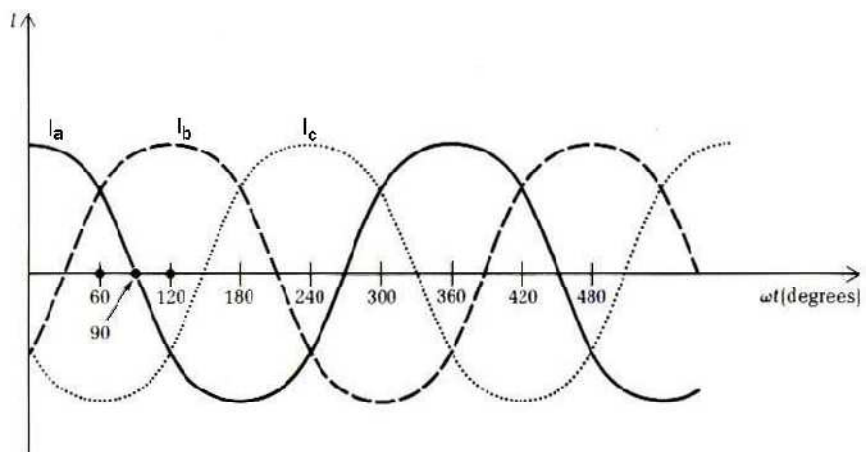


รูปที่ 3.5 ลักษณะตัวนำของโรเตอร์กรุงกระrog

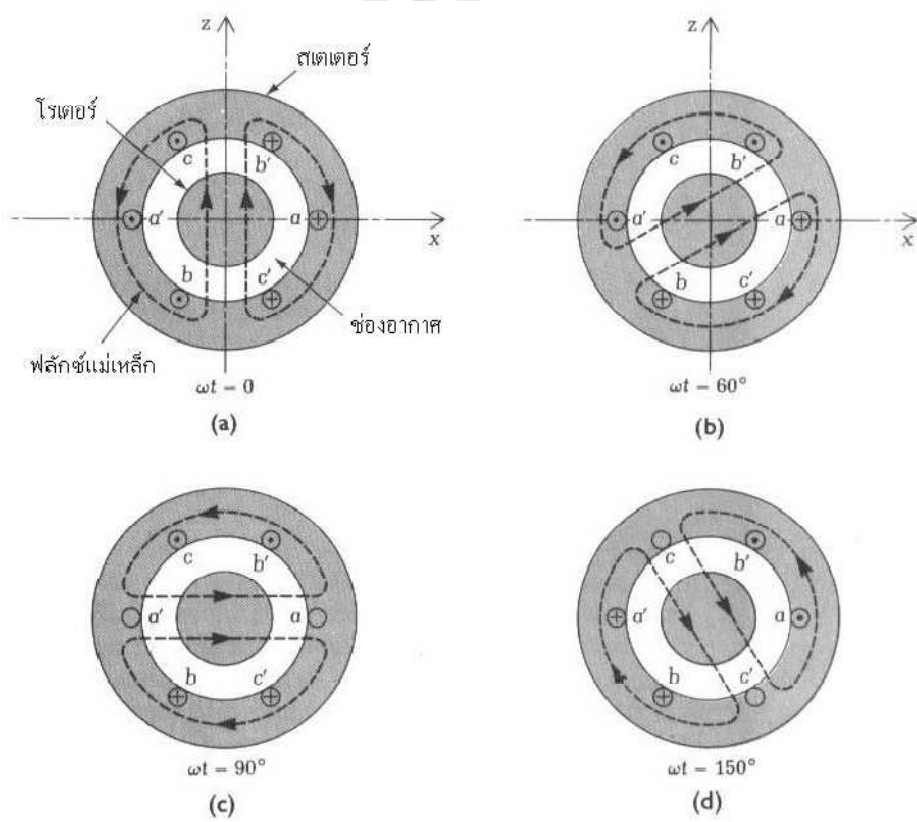
ร่องของโรเตอร์ที่ใช้ฟังแท่งตัวนำมักออกแบบให้มีลักษณะเป็นแนวเฉียงไม่ขนานกับเพลา และจำนวนร่องของโรเตอร์จะออกแบบให้มีจำนวนแตกต่างจากร่องของสเตเตอร์ทั้งนี้เพื่อลดแรงอันเกิดจากการดูดติดกันระหว่างฟันของสเตเตอร์และโรเตอร์เมื่อนำโรเตอร์เข้าประกอบกับสเตเตอร์แล้วจะมีช่องอากาศ (air gap) ระหว่างส่วนทึ้งสองเกิดขึ้นในส่วนของฝาครอบจะทำด้วยเหล็กหล่อเจาะรูตรงกลางเพื่ออัดรองลื่น (bearing) รองรับเพลาของโรเตอร์ซึ่งที่ฝาครอบนี้บางที่จะเจาะรูไว้ด้วยเพื่อช่วยในการถ่ายเทอากาศ

3.3.2 หลักการทำงานของมอเตอร์เหนี่ยวนำ

เมื่อป้อนไฟกระแสสลับสามเฟส ที่มีขนาดเท่ากันแต่มีมุมต่างเพสกัน 120° ดังแสดงด้วยรูปที่ 4 ให้กับชุดคลวคสเตเตอร์ของมอเตอร์เหนี่ยวนำทั้งสามชุด ซึ่งประกอบด้วยชุดคลวค $a-a'$, $b-b'$ และ $c-c'$ ที่วางตัวไปตามร่องโดยรอบแกนของสเตเตอร์ โดยแกนของชุดคลวคทั้ง 3 จะมีมุมห่างกัน 120° ไฟฟ้ากระแสที่ไหลเข้าชุดคลวคจะสร้างสนามแม่เหล็กหมุนขึ้นที่สเตเตอร์ ซึ่งคือค่าความหนาแน่นของฟลักซ์แม่เหล็กที่หมุนตามการเปลี่ยนแปลงของรูปคลื่นกระแสไฟฟ้าสามเฟส ดังแสดงด้วยรูปที่ 3.6 (Shen and Kong, 1995) ซึ่งสามารถอธิบายผลที่เกิดขึ้นได้ดังนี้



รูปที่ 3.6 รูปคลื่นของกระแสไฟฟ้าสามเฟส



รูปที่ 3.7 สนามแม่เหล็กหมุนที่ดำเนินต่อๆ กัน

สนามแม่เหล็กหมุนจะหมุนด้วยความเร็วซิงโกรนัส (synchronous speed: N_s) ซึ่งจะขึ้นอยู่กับความถี่ของระบบที่จ่ายให้มอเตอร์ (f) และจำนวนขั้วแม่เหล็กของมอเตอร์ (P) ซึ่งสามารถแสดงได้ดังนี้

$$N_s = \frac{120f}{P} \quad (3.28)$$

ขณะที่โรเตอร์หยุดอยู่กับที่สนามแม่เหล็กหมุนดังกล่าวจะเคลื่อนที่ตัดด้านนำที่ฟังอยู่ในโรเตอร์มีผลทำให้เกิดแรงดันหนึ่งขึ้นในวงจรของโรเตอร์และเนื่องจากวงจรของโรเตอร์ถูกทำให้ลัดวงจรโดยวงแหวนทั้งส่วนหัวและท้ายจึงทำให้เกิดกระแสไฟลั่นและเกิดแรงบิดขึ้นที่โรเตอร์ส่งผลทำให้โรเตอร์หมุนด้วยความเร็วที่ต่ำกว่าความเร็วซิงโกรนัสไปในทิศทางเดียวกันกับสนามแม่เหล็กหมุนถ้าความเร็วของโรเตอร์ (N_r) เท่ากับความเร็วซิงโกรนัสจะไม่เกิดการเหนี่ยวนำแม่เหล็กไฟฟ้าขึ้นที่โรเตอร์แรงบิดที่โรเตอร์จะเท่ากับศูนย์ดังนั้นการเร่งความเร็วของมอเตอร์หนึ่งนำจึงไม่สามารถทำให้ความเร็วของโรเตอร์เท่ากับความเร็วซิงโกรนัสได้ค่าความแตกต่างระหว่างความเร็วซิงโกรนัสและความเร็วของโรเตอร์ จะเรียกว่าความเร็วสลิป และค่าของอัตราส่วนระหว่างความเร็วสลิปต่อความเร็วซิงโกรนัสจะเรียกว่าสลิป (slip: s) ซึ่งแสดงได้ดังนี้

$$s = \frac{N_s - N_r}{N_s} \quad (3.29)$$

ซึ่งจะเห็นได้ว่าหากค่าสลิปเป็น 0 จะหมายถึงความเร็วของโรเตอร์จะมีค่าเท่ากับความเร็วซิงโกรนัส ส่วนกรณีที่สลิปมีค่าเป็น 1 จะหมายถึงมอเตอร์ไม่ได้หมุนนั่นเองและ

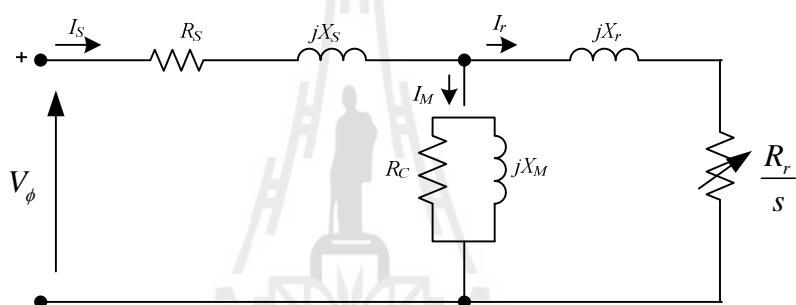
$$f_r = s \cdot f \quad (3.30)$$

เมื่อ f_r คือความถี่ของกระแสที่โรเตอร์ดังนั้นในขณะเริ่มเดินเครื่องค่าสลิปเป็น 1 ความถี่ของกระแสที่โรเตอร์จะมีค่าเท่ากับความถี่ของระบบไฟฟ้าที่จ่าย

3.3.3 วงจรสมมูลของมอเตอร์หนึ่ยวนำ

จากการพิจารณาโครงสร้างและหลักการทำงานของมอเตอร์หนึ่ยวนำดังที่กล่าวมาจะเห็นว่ามีหลักการพื้นฐานเช่นเดียวกับหลักการของหม้อแปลงไฟฟ้าคือแรงดันในวงจรของโร

เตอร์เกิดขึ้นจากการเหนี่ยวนำของวงจรสเตเตอร์นั่นคือถ้าเปรียบชุด漉ของโรเตอร์เป็นชุด漉ทุติยภูมิ(secondary winding) ชุด漉ของสเตเตอร์ในมอเตอร์เหนี่ยวนำคือชุด漉ปฐมภูมิ(primary winding) ของหม้อแปลงนั่นเองซึ่งการเปลี่ยนแปลงใดๆที่เกิดขึ้นทางวงจรของโรเตอร์จะมีผลให้เกิดการเปลี่ยนแปลงทางด้านวงจรสเตเตอร์ด้วยการคิดค่าพารามิเตอร์ต่างๆในวงจรสมมูลของมอเตอร์เหนี่ยวนำจะพิจารณาค่าทุกค่าเทียบมาทางด้านของสเตเตอร์ดังนี้ค่าพารามิเตอร์ของสเตเตอร์จะไม่เปลี่ยนแปลงแต่ค่าพารามิเตอร์ทางวงจรของโรเตอร์จะมีการเปลี่ยนแปลงเกิดขึ้นซึ่งเป็นหลักการเดียวกันกับการทางวงจรสมมูลของหม้อแปลงไฟฟ้าโดยวงจรสมมูลของมอเตอร์เหนี่ยวน้ำสามเฟสเมื่อพิจารณาค่าพารามิเตอร์ต่อเฟสและคิดเทียบมาทางด้านสเตเตอร์สามารถแสดงได้ดังรูปที่ 3.8(Chapman, 1998)



รูปที่ 3.8 วงจรสมมูลต่อเฟสของมอเตอร์เหนี่ยวน้ำ

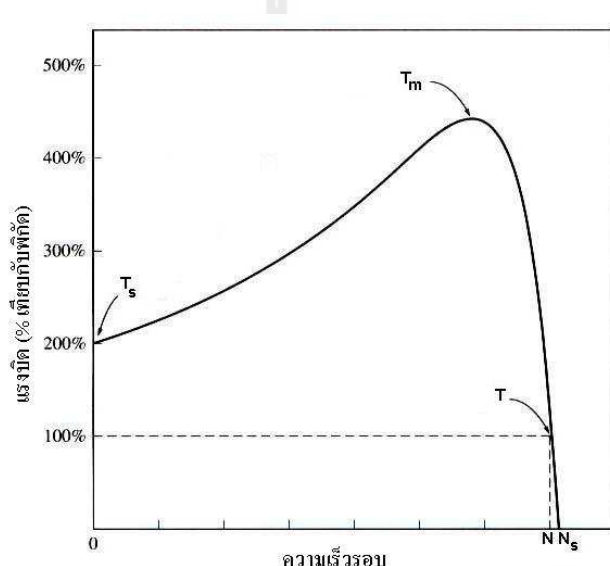
โดยที่ V_ϕ	คือ แรงดันที่จ่ายให้ชุด漉สเตเตอร์
I_s, I_r	คือ กระแสที่ไหลในชุด漉สเตเตอร์และโรเตอร์ตามลำดับ
I_M	คือ กระแสสร้างสนามแม่เหล็ก
s	ค่าสลิปของมอเตอร์
R_s, R_r	ค่าความต้านทานของชุด漉สเตเตอร์และโรเตอร์ตามลำดับ
R_C	ค่าความต้านทานของแกนเหล็ก
X_s, X_r	ค่ารีแอคเคนซ์ของชุด漉สเตเตอร์และโรเตอร์ตามลำดับ
X_M	ค่ารีแอคเคนซ์ที่เกิดจากสนามแม่เหล็ก

โดยส่วนใหญ่เพื่อจ่ายต่อการคำนวณค่าความต้านทานของแกนเหล็ก R_C ซึ่งแสดงในรูปที่ 3.8 มักจะถูกลดทิ้งเนื่องจากมีค่ามากกว่าค่ารีแอคเคนซ์ที่เกิดจากสนามแม่เหล็ก X_M อญญาวงจรสมมูลของมอเตอร์เหนี่ยวน้ำจะช่วยในการอธิบายการทำงานและพิจารณาถึงคุณลักษณะต่างๆใน

สถานะอยู่ตัวของมอเตอร์ให้เข้าใจและชัดเจนมากยิ่งขึ้นอีกทั้งยังช่วยในการอธิบายค่ากำลังงานและกำลังสูญเสียต่างๆที่เกิดขึ้นในมอเตอร์ได้โดยง่าย

3.3.4 คุณลักษณะของมอเตอร์เหนี่ยวหนาน

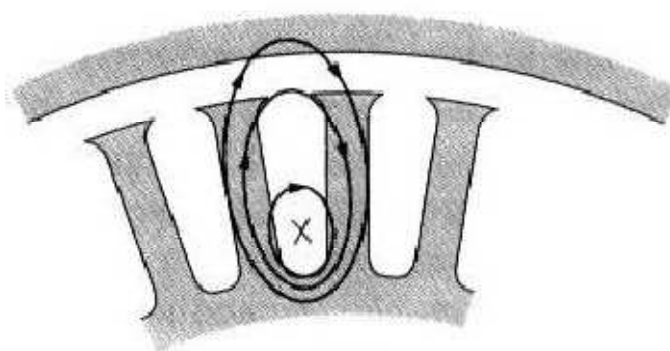
คุณลักษณะระหว่างแรงบิดและความเร็วของมอเตอร์เหนี่ยวหนานสามารถแสดงได้ดังรูปที่ 3.9 ซึ่งเป็นการอธิบายลักษณะของแรงบิดที่ความเร็วรอบต่างๆของมอเตอร์เหนี่ยวหนาน (พิรศักดิ์รสมุตโกรสกและมนูชิมาการิชา瓦, 2538) โดยเริ่มต้นจากความเร็วขณะที่มอเตอร์หยุดนิ่งไปจนถึงความเร็วซึ่งโกรนัส (N_s)



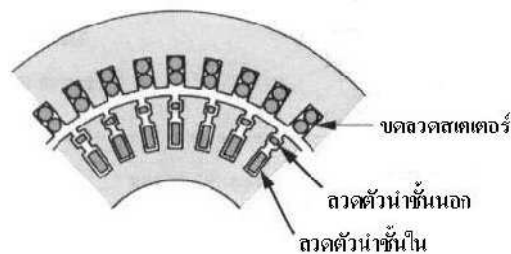
รูปที่ 3.9 คุณลักษณะแรงบิด-ความเร็วของมอเตอร์เหนี่ยวหนาน

แรงบิดพิกัด (full-load torque: T) คือแรงบิดขณะที่มอเตอร์ใช้งานเต็มพิกัดกำลังและความเร็วที่แรงบิดนี้จะเรียกว่าความเร็วพิกัด (N) โดยแรงบิดที่โหลดจะต้องมีค่าน้อยกว่าแรงบิดนี้ส่วนแรงบิดขณะเริ่มเดินเครื่อง (starting torque: T_s) คือแรงบิดขณะที่มอเตอร์เริ่มหมุนจากลักษณะหยุดนิ่งซึ่งจะมีค่ามากกว่าแรงบิดพิกัดดังนั้นมอเตอร์จึงเริ่มต้นขึ้นโหลดหรือต่อ กับโหลดขณะเริ่มเดินเครื่องได้ทันทีและแรงบิดสูงสุด (maximum torque or pullout torque: T_m) คือแรงบิดสูงสุดที่มอเตอร์รับได้โดยจะมีค่าประมาณ 2-3 เท่าของแรงบิดพิกัดซึ่งถ้าโหลดเพิ่มขึ้นเกินกว่าแรงบิดค่านี้มอเตอร์จะหยุดหมุนโดยค่าแรงบิดต่างๆที่กล่าวถึงนี้สามารถคำนวณได้เมื่อทราบค่าพารามิเตอร์ต่างๆในวงจรสมมูลของมอเตอร์เหนี่ยวหนาน

ความต้านทานของโรเตอร์กรงกระรอกของมอเตอร์เหนี่ยวนำสามารถเปลี่ยนแปลงได้โดยการเปลี่ยนแปลงขนาดของตัวนำในกรงกระรอกให้ใหญ่หรือเล็กลงหรืออาจทำได้โดยการเลือกร่องให้ลึกหรือดันขึ้นในการออกแบบให้รองของโรเตอร์ลึกเพื่อใช้วางตัวนำหรือที่เรียกว่าแท่งโรเตอร์ฟังลึก (deep-bar rotor) (Chapman, 1998) ดังแสดงด้วยรูปที่ 3.10 จะทำให้เกิดเส้นแรงแม่เหล็กรั่วสูงเพื่อจะได้รีแอคแทนซ์สูงและจากผลเส้นแรงแม่เหล็กรั่วสูงนี้ในขณะที่มอเตอร์เริ่มเดินเครื่องจะทำให้กระแสไฟลุกหนาแน่นที่บริเวณผิwtัวนำ (skin effect) แต่หลังจากที่มอเตอร์เริ่มหมุนแล้วความถี่ของกระแสที่โรเตอร์จะลดลงดังแสดงด้วยสมการที่ (3.8) จึงทำให้กระแสไฟลุกหนาแน่นบริเวณผิwtัวนำลดลงด้วยจากผลที่เกิดขึ้นนี้จึงทำให้ความต้านทานของดูโรเตอร์มีค่ามากในขณะที่มอเตอร์เริ่มเดินเครื่องและลดลงเมื่อมอเตอร์เริ่มหมุนผ่านไปอีกทั้งยังมีการพัฒนาการทำงานให้ดีขึ้นโดยการใช้ลวดตัวนำในโรเตอร์เป็นสองชุด (double-cage rotor) ดังแสดงด้วยรูปที่ 3.11 (ถาวรอมติกต์, 2545) ซึ่งลวดตัวนำชั้นในจะมีขนาดใหญ่กว่าลวดตัวนำชั้นนอกดังนั้nlวดตัวนำชั้นในจึงมีความต้านทานต่ำและมีความหนาแน่นยานำสูงกว่าลวดตัวนำชั้นนอกเมื่อเกิดสนามแม่เหล็กหมุนในสเตเตอร์ข้างไปยังลวดตัวนำทั้งสองทำให้แรงเคลื่อนแม่เหล็ก(magnetomotive force: mmf) ในลวดตัวนำทั้งสองเท่ากันซึ่งในภาวะเริ่มเดินเครื่องนั้นความถี่ของกระแสที่โรเตอร์จะเท่ากับความถี่ของระบบไฟฟ้าที่จ่ายทำให้รีแอคแทนซ์ของลวดตัวนำชั้นในมีค่ามากกว่าลวดตัวนำชั้นนอกดังนั้นจึงเกิดกระแสไฟฟ้าไฟลุกในลวดตัวนำชั้นนอกมากขึ้นส่งผลให้แรงบิดขณะเริ่มเดินเครื่องมีค่าสูงจากนั้นเมื่อความเร็วใกล้กับความเร็วซึ่งโกรนัสความถี่ของกระแสที่โรเตอร์จะลดลงอย่างรวดเร็วและกระแสไฟฟ้าจะขึ้นอยู่กับความต้านทานของลวดตัวนำทั้งสองเองดังนั้นจึงทำให้เกิดกระแสไฟฟ้าไฟลุกมากในลวดตัวนำชั้นในการสูญเสียจากความต้านทานจึงลดลงและมอเตอร์จะทำงานได้เหมือนกับมอเตอร์ที่มีโรเตอร์กรงกระรอกทั่วๆไป

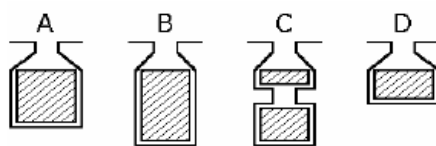


รูปที่ 3.10 เส้นแรงแม่เหล็กรั่วของโรเตอร์กรงกระรอกร่องลึก

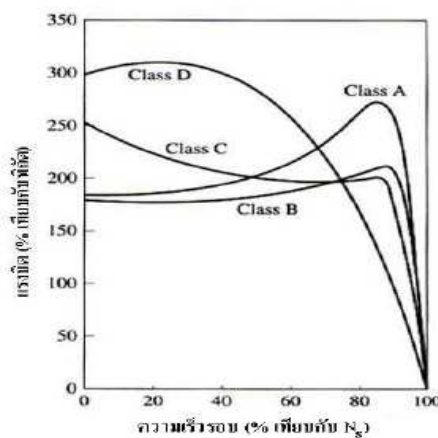


รูปที่ 3.11 โรเตอร์กรงกระอกที่มีลวดตัวนำสองชุด

NEMA (national electrical manufacturers association) ได้แบ่งประเภทของมอเตอร์ เนื่องจากความสามารถเป็น 4 ประเภท (Chapman, 1998) คือชั้นคุณสมบัติ (class) A, B, C และ D โดยจะมีความแตกต่างกันไปตามลักษณะร่องของโรเตอร์ดังแสดงด้วยรูปที่ 3.12 และมีคุณลักษณะ ระหว่างแรงบิดและความเร็วดังแสดงด้วยรูปที่ 3.13 โดยแต่ละชั้นคุณสมบัติจะมีรายละเอียดที่แตกต่างกันดังนี้



รูปที่ 3.12 ลักษณะร่องต่างๆ ของโรเตอร์กรงกระอก



รูปที่ 3.13 คุณลักษณะแรงบิด-ความเร็วตามชั้นคุณสมบัติต่างๆ

1) ชั้นคุณสมบัติ A ไม่ต่อร์ประเกคนี้มีพื้นที่หน้าตัดของตัวนำขนาดใหญ่เพื่อลดความต้านทานแต่ร่องตัวนำจะไม่ลึกลงไปในแกนเหล็กมากเพื่อลดความต้านทานจากค่าเส้นแรงแม่เหล็กรักษาและเริ่มเดินเครื่องจึงค่อนข้างสูงอาจสูงถึงประมาณ 5-6 เท่าของกระแสไฟกัดส่วนแรงบิดขณะเริ่มเดินเครื่องอยู่ในระดับปกติซึ่งมีค่าประมาณ 200% ของแรงบิดพิกัดความต่อร์ชั้นคุณสมบัติ A มักจะนำไปใช้กับเครื่องจักรทั่วไป เช่น พัดลมเครื่องเปลี่ยนปั๊มลมและปั๊มน้ำ

2) ชั้นคุณสมบัติ B มองต่อร์ประเภทนี้ตัวนำถูกวางในร่องลึกเพื่อเพิ่มความต้านทานจากค่าเสื่อมแรงแม่เหล็กร่วมกระแสไฟฟ้าและเริ่มเดินเครื่องจึงมีค่าลดลงเหลือประมาณ 3-4 เท่าของกระแสไฟฟ้าก็ดังที่ส่วนแรกกล่าวไป แต่เมื่อเวลาผ่านไป ค่าเสื่อมแรงจะลดลงอย่างต่อเนื่องจนกว่าจะเหลือประมาณ 10% ของค่าเริ่มเดินเครื่อง ซึ่งเป็นผลจากการลักษณะร่องที่ลึกขึ้นและค่าแรงบิดสูงสุดจะมีค่าลดต่ำลงเมื่อเทียบกับชั้นคุณสมบัติ A มองต่อร์ชั้นคุณสมบัติ B จะนำไปใช้งาน เช่นเดียวกับชั้นคุณสมบัติ A

3) ชั้นคุณสมบัติ C มอเตอร์ประเภทนี้มีตัวนำสองชั้นเพื่อให้แรงบิดขณะเริ่มเดินเครื่องมีค่าสูงซึ่งจะมีค่าประมาณ 250% ของแรงบิดพิกัดส่วนกระแสงขณะเริ่มเดินเครื่องจะมีค่าประมาณ 3-4 เท่าของกระแสงพิกัดมอเตอร์ชั้นคุณสมบัติ C มากจะนำไปใช้กับเครื่องจักรที่เกี่ยวกับการส่งผ่านกำลัง และมีความฝืดเช่นสายพานเครื่องกดและเครื่องบรรทุก

4) ชั้นคุณสมบัติ D มองเตอร์ประภานี้ใช้ตัวนำที่มีความต้านทานสูงกระแสไฟฟ้าเริ่มเดินเครื่องจึงมีค่าประมาณ 3-4 เท่าของกระแสพิกัดและติดตั้งตัวนำนี้ในตำแหน่งที่ใกล้กับผิวนอกของโรเตอร์เพื่อลดความต้านทานจากค่าเส้นแรงแม่เหล็กร่วงและให้แรงบิดขณะเริ่มเดินเครื่องมีค่าสูงซึ่งจะมีค่าประมาณ 300% ของแรงบิดพิกัดคอมเตอร์ชั้นคุณสมบัติ D มักจะนำไปใช้กับเครื่องจักรที่มีโหลดเพิ่มและลดอัตราการเปลี่ยนเวลาเช่นเครื่องและเครื่องปั๊มโลหะเป็นต้น

3.3.5 คุณสมบัติร่องโรเตอร์เนี่ยง

การสั่นสะเทือน กือ ปรากฏการณ์ของการเคลื่อนที่กลับไปกลับมาของวัตถุภายในได้แรงที่มากกระทำ โดยทั่วไปการสั่นสะเทือนมักเป็นสิ่งที่ไม่ต้องการ แต่หลีกเลี่ยงไม่ได้ อีกอย่างคือที่สุดคือพยายามจำกัดขนาดของการสั่นสะเทือนให้อยู่ภายนอกขอบเขตที่ยอมรับได้ สำหรับมอเตอร์เนนี่ยังสามารถใช้ส่วนที่กันระหัวงจำนวนร่องของสเตเตอร์และโรเตอร์ การเย็บศูนย์กลางของโรเตอร์ทั้งแบบสติกและแบบพลวัต มุ่งเอียงในการวางตัวของแท่งโรเตอร์ และการนำอินเเวอร์เตอร์มาใช้ปรับเปลี่ยนค่าความเร็วรอบแล้วส่งผลให้แหล่งจ่ายไฟที่จ่ายเข้ามอเตอร์เป็นรูปคลื่นไอน์ที่บิดเบี้ยวสาเหตุต่างๆ เหล่านี้อาจเกิดขึ้นได้จากการออกแบบและการผลิตที่ไม่ได้มาตรฐาน ความเสื่อมสภาพตามอายุการใช้งาน หรือเกิดจากปัจจัยภายนอกอื่นๆ ที่มีกระทำซึ่งสาเหตุต่างๆ เหล่านี้ย่อมส่งผลกระทบต่อการกระจายตัวที่ไม่สมดุลของสนามแม่เหล็กในมอเตอร์ แล้วส่งผลให้เกิดเสียงและการสั่นสะเทือนขึ้น ทำให้มีการ

สูญเสียทางกล สมรรถนะในการทำงานและอายุการใช้งานของมอเตอร์คลอง อีกทั้งประสิทธิภาพในการทำงานของบุคคลากรที่ควบคุมเครื่องจักรก็จะลดลงตามไปด้วย ด้วยเหตุนี้ งานวิจัยชิ้นนี้จึงเกิดขึ้นเพื่อสำรวจห้องค์ความรู้ด้านผลกระบวนการของร่องเนี้ยบ (skewed slot) ในการวางแผนของแท่งโรเตอร์ในมอเตอร์เหนี่ยวนำสามเฟสที่มีผลต่อการกระจายตัวของสนามแม่เหล็กและการสั่นสะเทือนทางกลของมอเตอร์ โดยประยุกต์ใช้วิธีไฟโนห์อิลลิเมนต์แบบ 3 มิติ (3D-Finite Element Method) ที่พัฒนาขึ้นเอง เพื่อเป็นแนวทางในการศึกษาถึงมุมในการวางแผนตัวของแท่งโรเตอร์ในมอเตอร์เหนี่ยวนำที่มีผลต่อการสั่นสะเทือน ซึ่งผลการปรับร่องโรเตอร์ตามที่ได้ศึกษาจากการณกรรมต่างๆ ที่ผ่านมาดังแสดงด้วยสมการที่ (3.31)

$$\xi_s = \frac{\sin(\mu\phi b/D)}{\mu\phi b/D} \quad (3.31)$$

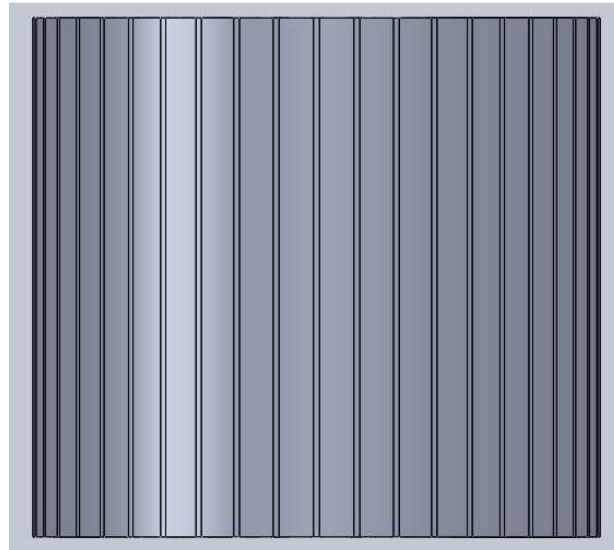
โดยที่	ξ_s	คือ มุมในการวางแผนแท่งโรเตอร์
	B	คือ ระยะการเนี้ยบรอบเส้นรอบวงของโรเตอร์
	D	คือ เส้นผ่าศูนย์กลางด้านนอกของโรเตอร์
	P	คือ จำนวนขั้วของมอเตอร์
	μ	คือ ความหนาแน่นของฟลักซ์าร์มอนิกส์

ในการปรับร่องโรเตอร์เนี้ยบเพื่อให้ได้การกระจัดในแนวรัศมีโดยจะขึ้นอยู่กับแฟกเตอร์ ξ_s ในมอเตอร์เหนี่ยวนำขนาดกลางและขนาดใหญ่เร่งบิดและการสั่นสะเทือนจะมีผลอย่างมากเนื่องจากมีแรงบิดที่สูงและมีขนาดการสั่นสะเทือนที่มาก ซึ่งผลของการสั่นสะเทือนจะอยู่ในรูปการกระจัดในแนวรัศมี $Y_{r,res}$ ดังแสดงด้วยสมการที่ (3.32)

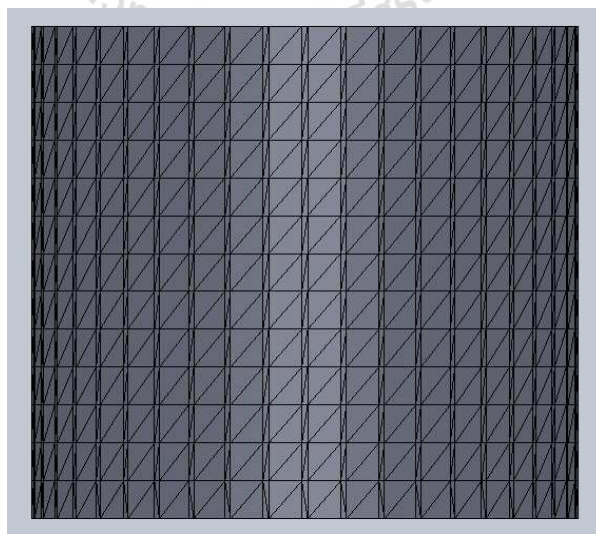
$$Y_{r,res} = \sqrt{Y_{r,s}^2 + \frac{\phi_{r,\tau}^2 l_i^2}{12}} \quad (3.32)$$

โดยที่	$Y_{r,s} = \xi_s Y_r$
	Y_r คือ การกระจัดเชิงรัศมีของแท่งโรเตอร์
	$\phi_{r,\tau}$ คือ มุมการสั่นสะเทือนแรงบิด
	l_i คือ ความยาวของแท่งโรเตอร์

ในงานวิจัยนี้ได้นำเสนอถักย网ะการวางแผนตัวของร่องโรเตอร์ออกเป็น 3 ลักษณะคือ ร่องโรเตอร์แบบดึงเดิม, ร่องโรเตอร์แบบเฉียงครึ่งร่อง และร่องโรเตอร์แบบเฉียงเต็มร่อง สามารถทำการวางแผนด้วยโปรแกรมสำเร็จรูปชื่อว่า Solid Work การวางแผนตัวของร่องโรเตอร์ของแต่ละประเภทที่กล่าวมาข้างต้นแสดงด้วยรูปที่ 3.14-3.19



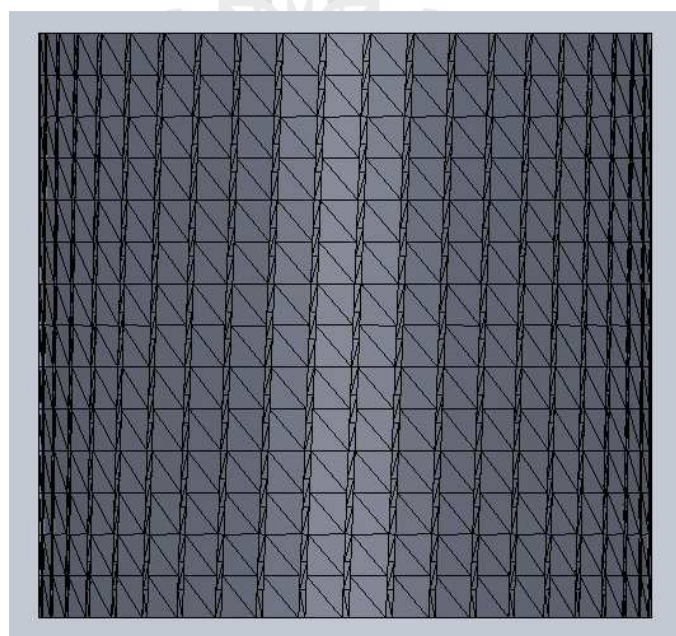
รูปที่ 3.14 การวางแผนตัวของร่องโรเตอร์แบบร่องตรง



รูปที่ 3.15 การวางแผนตัวของร่องโรเตอร์แบบร่องตรงเมื่อทำการตีกกริด



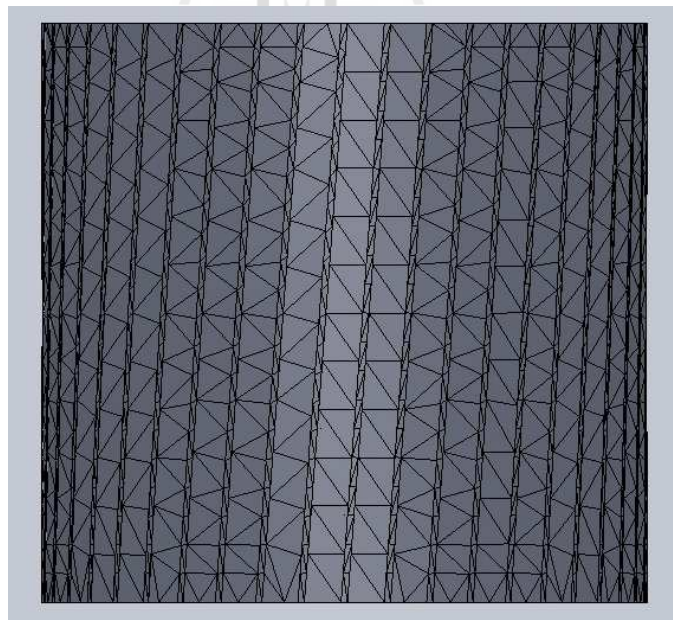
รูปที่ 3.16 การวางแผนตัวของร่องโรเตอร์แบบเฉียงครึ่งร่อง



รูปที่ 3.17 การวางแผนตัวของร่องโรเตอร์แบบเฉียงครึ่งร่องเมื่อทำการตีกritic



รูปที่ 3.18 การวางตัวของร่องโรเตอร์แบบเนียงเต็มร่อง



รูปที่ 3.19 การวางตัวของร่องโรเตอร์แบบเนียงเต็มร่องเมื่อทำการตีกริด

3.4 วิธีไฟไนท์อิลิเมนต์

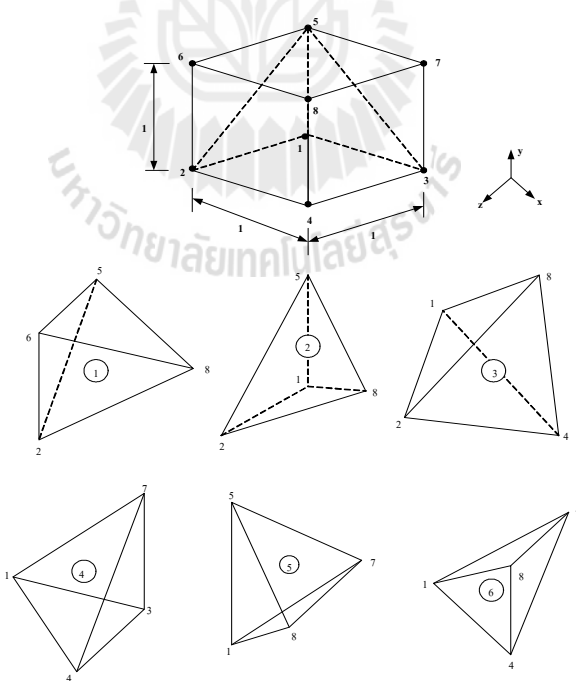
ปัญหาทางวิศวกรรมศาสตร์ส่วนใหญ่อาศัยแบบจำลองทางคอมพิวเตอร์ที่อยู่ในรูปสมการเชิงอนุพันธ์หรือสมการอินทิกรัล ในกรณีที่เป็นสมการเชิงอนุพันธ์ย่อย ส่วนใหญ่แล้วมักจะต้องหาผลเฉลยด้วยวิธีประมาณ เนื่องจากความซับซ้อนของสมการ วิธีการหาผลเฉลยโดยประมาณนั้นมีหลายวิธี วิธีที่ได้รับความนิยมกันอย่างกว้างขวางในอดีตที่ผ่านมาคือ วิธีผลต่างสีบเนื่อง โดยแบ่งวัตถุของปัญหาที่สนใจออกเป็นช่องตารางสี่เหลี่ยม ช่องตารางสี่เหลี่ยมเหล่านี้ต่อ กันที่จุดต่อตามหัว มุมของสี่เหลี่ยมต่างๆ และขนาดของปัญหาหรือจำนวนตัวไม้รู้ค่าจะขึ้นอยู่กับจำนวนของจุดต่อนี้ เองหากใช้ขนาดตารางสี่เหลี่ยมให้มีขนาดเล็กลง ช่องหมายถึงต้องเพิ่มจำนวนตารางสี่เหลี่ยมให้มาก ขึ้นจะสามารถจำลองรูปร่างลักษณะดังเดิมของวัตถุดังกล่าวได้ใกล้เคียงมากยิ่งขึ้น แต่ในขณะเดียวกันจำนวนจุดต่อที่เพิ่มมากขึ้นจะทำให้จำนวนสมการผลต่างสีบเนื่องมากขึ้นด้วย และกระบวนการในการแก้ปัญหาจำเป็นต้องการหน่วยความจำบนเครื่องคอมพิวเตอร์เพิ่มขึ้นรวมถึงเวลาที่ใช้ในการคำนวณจะสูงมากขึ้นตามไปด้วย ข้อดีของวิธีผลต่างสีบเนื่องคือ เป็นวิธีการที่ง่ายแก่ การศึกษาและการทำความเข้าใจ รวมไปถึงความสะดวกในการเขียนโปรแกรมคอมพิวเตอร์เพื่อใช้ในการคำนวณหาผลเฉลยของปัญหานั้นๆ ส่วนข้อเสียของการใช้วิธีผลต่างสีบเนื่องมีหลายประการ เช่นความไม่สะดวกในการกำหนดเงื่อนไขขอบเขต และที่สำคัญที่สุดคือ ความยากลำบากในการประยุกต์วิธีการนี้เพื่อใช้กับปัญหาที่เกี่ยวข้องกับวัตถุซึ่งมีรูปร่างลักษณะซับซ้อน อย่างเช่น โครงสร้างหรือชิ้นส่วนต่างๆ ของเครื่องจักรกลไฟฟ้า สาเหตุของความยากลำบากดังกล่าวมีส่วน ก่อให้เกิดวิธีการหาผลเฉลยโดยประมาณอีกวิธีหนึ่งที่เรียกว่า วิธีไฟไนท์อิลิเมนต์ ซึ่งวิธีนี้สามารถ นำมาใช้กับปัญหาที่มีรูปร่างลักษณะซับซ้อนใดๆ ก็ได้ โดยสามารถจำลองรูปร่างลักษณะดังเดิมที่แท้จริงได้ใกล้เคียงกว่า

ระเบียบวิธีไฟไนท์อิลิเมนต์เป็นระเบียบวิธีเชิงตัวเลขเพื่อใช้คำนวณหาผลเฉลย โดยประมาณของปัญหาที่อยู่ในรูปสมการเชิงอนุพันธ์ย่อย โดยการแบ่งรูปร่างของเขตของปัญหา ออกเป็นอิลิเมนต์ แล้วสร้างสมการของแต่ละอิลิเมนต์ให้สอดคล้องกับสมการเชิงอนุพันธ์ และ อิลิเมนต์ต่างๆ จะเชื่อมต่อกันด้วยจุดต่อซึ่งเป็นตำแหน่งที่คำนวณหาค่าผลเฉลย สำหรับระเบียบวิธีไฟไนท์อิลิเมนต์ในงานวิจัยนี้จะดำเนินการคำนวณแบบ 3 มิติ

หลักการณ์ของระเบียบวิธีไฟไนท์อิลิเมนต์ คือ เริ่มจากการแบ่งรูปร่างของปัญหา ออกเป็นพื้นที่หลายๆ ส่วนที่เรียกว่าอิลิเมนต์ โดยที่การกระจัด และแรงภายในแต่ละอิลิเมนต์ ณ จุดที่อิลิเมนต์ต่อไปกันจะต้องเข้ากันได้และสมดุล ซึ่งอิลิเมนต์ต่างๆ นี้จะขึ้นอยู่กับความละเอียด ของแต่ละงานว่าต้องการรูปร่างลักษณะไกล์เคียงกับของจริงดังเดิมมากเท่าใด ซึ่งถ้าพิจารณาแบบ 3 มิติอาจอยู่ในรูปลักษณะของรูปทรงสี่หน้า (tetrahedral) รูปทรงหกหน้า (hexahedron) รูปทรงแปด

หน้า (octahedron) หรือ รูปทรงพีรามิด (pyramids) ก็ได้ ซึ่งในที่นี่จะใช้อิลลิเมนต์รูปทรงสี่หน้า (tetrahedral) เนื่องจากเป็นรูปทรงที่มีจำนวนโนดหรือจุดเชื่อมต่อน้อยที่สุด อีกทั้งรูปทรงสี่หน้านี้สามารถประกอบกันได้เป็นรูปทรงอื่นๆ ที่กล่าวมาได้ง่าย โดยค่าผลเฉลยโดยประมาณที่มีจำนวนนับที่จะคำนวณออกแบบนั้นจะมีความแม่นยำขึ้นอยู่กับขนาด และจำนวนอิลลิเมนต์ที่ใช้ในการแก้ปัญหา นั้น ซึ่งขั้นตอนโดยทั่วไปของวิธีไฟน์อิลลิเมนต์ประกอบด้วยขั้นตอนใหญ่ๆ 6 ขั้นตอน (ปราโมท์ เดชะอ่าไฟ, 2542)

1. แบ่งอิลลิเมนต์ย่อยให้กับระบบ แบ่งขอบเขตปร่างของระบบปัญหาที่ต้องการหาผลลัพธ์ออกเป็นอิลลิเมนต์ย่อย ๆ โดยแต่ละอิลลิเมนต์จะมีความเป็นปริมาตร ดังแสดงในรูปที่ 3.20 ซึ่งเป็นรูปแสดงการแบ่งอิลลิเมนต์ของรูปร่างปัญหาแบบ 3 มิติ (ระบบ xyz) โดยใช้อิลลิเมนต์รูปทรงสี่หน้า (tetrahedral) และเพื่อเป็นแนวทางในการสร้างโปรแกรมการคำนวณสำหรับการป้อนข้อมูลของทุก ๆ อิลลิเมนต์ จึงยกตัวอย่างรูปร่างของปัญหาที่ประกอบด้วยอิลลิเมนต์ รูปทรงสี่หน้าทั้งหมด 6 อิลลิเมนต์ 8 โหนด ซึ่งข้อมูลเบื้องต้นสำหรับโปรแกรมคอมพิวเตอร์ที่ต้องการ คือ หมายเลขของอิลลิเมนต์และหมายเลขของโหนด พร้อมทั้งค่าพิกัดของแต่ละโหนด ซึ่งสรุปเป็นตารางได้ดังตารางที่ 3.1 และ 3.2 ตามลำดับ



รูปที่ 3.20 รูปร่างของปัญหาที่ประกอบด้วย 6 อิลลิเมนต์ 8 โหนด เมื่อพิจารณาอิลลิเมนต์รูปทรงสี่หน้า

ตารางที่ 3.1 ลักษณะข้อมูลของอิอลิเมนต์

หมายเลข อิอลิเมนต์	หมายเลขโหนด			
	โหนด i	โหนด j	โหนด k	โหนด l
1	2	8	5	6
2	1	2	8	5
3	1	2	4	8
4	1	3	4	7
5	1	7	8	5
6	1	8	4	7

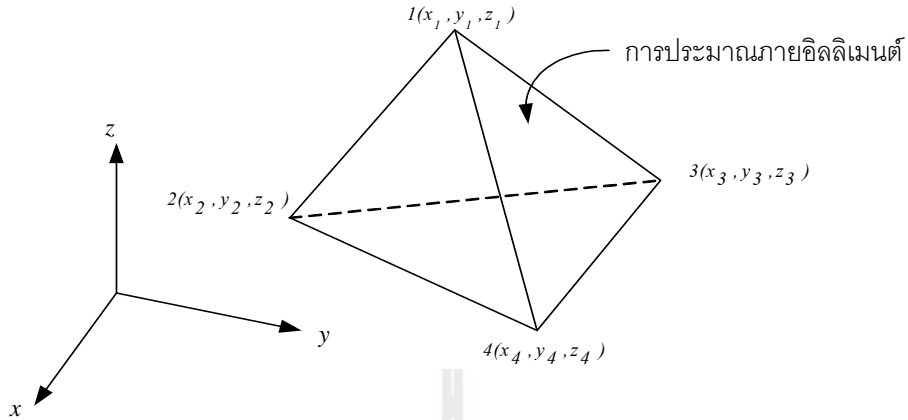
ตารางที่ 3.2 ลักษณะข้อมูลของชุดต่อ

หมายเลขโหนด	พิกัดแกน x	พิกัดแกน y	พิกัดแกน z
1	0	0	0
2	0	0	1
3	1	0	0
4	1	0	1
5	0	1	0
6	0	1	1
7	1	1	0
8	1	1	1

2. เลือกรูปแบบของฟังก์ชันการประมาณภายในอิอลิเมนต์ อย่างในการผังอิอลิเมนต์รูปทรงสี่เหลี่ยมจะประกอบด้วย 4 โหนดที่มีตัวห้ออย 1 2 3 และ 4 ซึ่งเป็นการประมาณค่าภายในอิอลิเมนต์แบบเชิงเส้นดังแสดงในรูป 3.21 ตำแหน่งของโหนด (x_n, y_n, z_n) , $i = 1, 2, 3, 4$ เป็นตำแหน่งของตัวที่ไม่ทราบค่า A_i โดยสมมติลักษณะการกระจายของผลลัพธ์โดยประมาณ ณ ตำแหน่งใด ๆ บนอิอลิเมนต์ $A(x, y, z)$ เป็นแบบเชิงเส้น ดังนี้

$$A_e(x, y, z) = a + bx + cy + dz \quad (3.33)$$

โดยที่ $a b c d$ เป็นค่าคงที่ ซึ่งสามารถหาได้จากโหนดทั้งสี่ดังนี้



รูปที่ 3.21 การประมาณภาระในแบบเชิงเส้นบนอิลลิเมนต์รูปทรงสี่เหลี่ยม

$$A_e(x_1, y_1, z_1) = A_1 = a + bx_1 + cy_1 + dz_1$$

$$A_e(x_2, y_2, z_2) = A_2 = a + bx_2 + cy_2 + dz_2$$

$$A_e(x_3, y_3, z_3) = A_3 = a + bx_3 + cy_3 + dz_3$$

$$A_e(x_4, y_4, z_4) = A_4 = a + bx_4 + cy_4 + dz_4$$

นำค่า $a b c d$ ที่ได้จากการแก้สมการทั้งสี่ข้างต้น แทนค่ากลับลงไปในสมการที่ (3.33) จะได้ลักษณะการกระจายของผลเฉลยโดยประมาณ ณ ตำแหน่งใด ๆ บนอิลลิเมนต์เป็น

$$A_e(x, y, z) = A_1 N_1 + A_2 N_2 + A_3 N_3 + A_4 N_4 \quad (3.34)$$

ซึ่ง N_i , $i = 1 \ 2 \ 3 \ 4$ คือ พิกัดการประมาณภาระในอิลลิเมนต์

$$N_i = \frac{1}{6V} (a_i + b_i x + c_i y + d_i z) \quad (3.35)$$

$$\text{โดยที่ } a_1 = x_4(y_2z_3 - y_3z_2) + x_3(y_4z_2 - y_2z_4) + x_2(y_3z_4 - y_4z_3)$$

$$a_2 = x_4(y_3z_1 - y_1z_3) + x_3(y_1z_4 - y_4z_1) + x_1(y_4z_3 - y_3z_4)$$

$$a_3 = x_4(y_1z_2 - y_2z_1) + x_2(y_4z_1 - y_1z_4) + x_1(y_2z_3 - y_3z_2)$$

$$a_4 = x_3(y_2z_1 - y_1z_2) + x_2(y_1z_3 - y_3z_1) + x_1(y_3z_2 - y_2z_3)$$

$$\begin{aligned}
b_1 &= y_4(z_3 - z_2) + y_3(z_2 - z_4) + y_2(z_4 - z_3) \\
b_2 &= y_4(z_1 - z_3) + y_1(z_3 - z_4) + y_3(z_4 - z_1) \\
b_3 &= y_4(z_2 - z_1) + y_2(z_1 - z_4) + y_1(z_4 - z_2) \\
b_4 &= y_3(z_1 - z_2) + y_1(z_2 - z_3) + y_2(z_3 - z_1) \\
c_1 &= x_4(z_2 - z_3) + x_2(z_3 - z_4) + x_3(z_4 - z_2) \\
c_2 &= x_4(z_3 - z_1) + x_3(z_1 - z_4) + x_1(z_4 - z_3) \\
c_3 &= x_4(z_1 - z_2) + x_1(z_2 - z_4) + x_2(z_4 - z_1) \\
c_4 &= x_3(z_2 - z_1) + x_2(z_1 - z_3) + x_1(z_3 - z_2) \\
d_1 &= x_4(y_3 - y_2) + x_3(y_2 - y_4) + x_2(y_4 - y_3) \\
d_2 &= x_4(y_1 - y_3) + x_1(y_3 - y_4) + x_3(y_4 - y_1) \\
d_3 &= x_4(y_2 - y_1) + x_2(y_1 - y_4) + x_1(y_4 - y_2) \\
d_4 &= x_3(y_1 - y_2) + x_1(y_2 - y_3) + x_2(y_3 - y_1)
\end{aligned}$$

และ V คือปริมาตรของแต่ละอิลลิเมนต์ หากได้จากดีเทอร์มิเนนต์ของสัมประสิทธิ์ดังนี้

$$6V = \det \begin{bmatrix} 1 & x_1 & y_1 & z_1 \\ 1 & x_2 & y_2 & z_2 \\ 1 & x_3 & y_3 & z_3 \\ 1 & x_4 & y_4 & z_4 \end{bmatrix} \quad (3.36)$$

ความแม่นยำของผลเฉลยจะขึ้นอยู่กับพัฟก์ชันการประมาณภายในที่สมมติขึ้นมา นี่มีความใกล้เคียงกับผลเฉลยเมื่อตรงของปัญหามากน้อยเพียงใดด้วย

3. สร้างสมการของอิลลิเมนต์ (Element formulation) ให้สอดคล้องกับสมการเชิงอนุพันธ์ของปัญหา ซึ่งขั้นตอนนี้ถือว่าเป็นขั้นตอนที่สำคัญของวิธีไฟไนท์อิลลิเมนต์ อย่างเช่นกรณีสมการของอิลลิเมนต์รูปทรงลี่หน้าที่ได้ยกมาเป็นตัวอย่างดังแสดงในรูปที่ 3.20 จะอยู่ในรูปแบบดังนี้

$$\begin{bmatrix} K_{11} & K_{12} & K_{13} & K_{14} \\ K_{21} & K_{22} & K_{23} & K_{24} \\ K_{31} & K_{32} & K_{33} & K_{34} \\ K_{41} & K_{42} & K_{43} & K_{44} \end{bmatrix}_e \begin{bmatrix} A_i \\ A_j \\ A_k \\ A_l \end{bmatrix}_e = \begin{bmatrix} f_i \\ f_j \\ f_k \\ f_l \end{bmatrix}_e \quad (3.37)$$

ซึ่งเขียนโดยย่อได้ว่า $[K]_e [A]_e = [f]_e$ โดย $[A]_e$ คือ เมทริกซ์ตัวไม่ทราบค่าที่โหนด และตัวห้อย e แสดงให้ทราบว่าเป็นเมตริกซ์ระดับอิลลิเมนต์ ซึ่งสมการของอิลลิเมนต์ดังกล่าว จำเป็นต้องลูกสร้างขึ้นมา

ให้สอดคล้องกับสมการเชิงอนุพันธ์ของปัญหานี้ ๆ การสร้างสมการของอิลลิเมนต์ซึ่งอยู่ในรูปแบบของสมการที่ (3.37) สามารถทำได้โดย

- วิธีการโดยตรง (Direct approach) วิธีนี้สามารถใช้ได้เฉพาะกับปัญหาที่เข้าใจได้ง่าย ๆ อย่างเช่น ปัญหาต่าง ๆ ในรูปทรง 1 มิติ เท่านั้น ซึ่งไม่สามารถขับขยายเปลี่ยนแปลงเพื่อนำไปใช้กับปัญหาใน 2 หรือ 3 มิติโดยทั่วไปได้

- วิธีการแปรผัน (Variational approach) หลักการสำคัญของวิธีการนี้คือ จำเป็นจะต้องทำการหาหรือสร้างฟังก์ชัน ซึ่งเมื่อทำการหาค่าต่ำสุดของฟังก์ชันนั้นแล้ว จะเป็นผลให้เกิดสมการเชิงอนุพันธ์และเงื่อนไขขอบเขตที่สอดคล้องกับปัญหาที่กำลังสนใจอยู่ อย่างไรก็ตามวิธีการแปรผันเป็นวิธีการดั้งเดิมที่ใช้กันในช่วงต้น ๆ ของการพัฒนาวิชีไฟฟ้าในท่ออิลลิเมนต์ ซึ่งส่วนใหญ่จะเป็นปัญหาที่เกี่ยวกับทางด้านโครงสร้าง และยังมีจุดอ่อนอีกคือ จำเป็นต้องทราบฟังก์ชันแปรผันที่สอดคล้องกับสมการเชิงอนุพันธ์ของปัญหานี้ ๆ ซึ่งปัญหาหลาย ๆ ชนิดในทางปฏิบัติสามารถสร้างสมการอนุพันธ์ขึ้นมาได้ แต่ไม่สามารถหาฟังก์ชันแปรผันที่สอดคล้องกันนั้นได้

- วิธีการถ่วงน้ำหนักเศษตกค้าง (Method of weighted residuals) วิธีนี้จะใช้วิธีการสร้างสมการไฟฟ้าในท่ออิลลิเมนต์จากสมการเชิงอนุพันธ์โดยตรง โดยไม่จำเป็นต้องทราบฟังก์ชันแปรผันที่สอดคล้อง ซึ่งสามารถนำไปใช้ในการสร้างสมการไฟฟ้าในท่ออิลลิเมนต์สำหรับปัญหาโดยทั่ว ๆ ไป และถูกจัดให้เป็นวิธีที่นิยมที่สุดในการประยุกต์ใช้กับปัญหาต่าง ๆ ในปัจจุบัน

4. นำสมการของแต่ละอิลลิเมนต์ที่ได้มาประกอบกัน (Assembly) เป็นสมการรวมของระบบจากขั้นตอนที่ 1 หากแบ่งลักษณะรูปร่างของปัญหาออกเป็นอิลลิเมนต์ย่อยซึ่งประกอบด้วย n โหนด จะก่อให้เกิดระบบสมการรวมซึ่งประกอบด้วยสมการย่อยจำนวนทั้งสิ้น n สมการ โดยแสดงได้ดังนี้

$$\begin{bmatrix} K_{11} & K_{12} & K_{13} & \dots & K_{1n} \\ K_{21} & K_{22} & K_{23} & \dots & K_{2n} \\ K_{31} & K_{32} & K_{33} & \dots & K_{3n} \\ \vdots & \vdots & \vdots & \ddots & \vdots \\ K_{n1} & K_{n2} & K_{n3} & \dots & K_{nn} \end{bmatrix}_{sys(n \times n)} \begin{bmatrix} u_1 \\ u_2 \\ u_3 \\ \vdots \\ u_n \end{bmatrix}_{sys(n \times 1)} = \begin{bmatrix} f_1 \\ f_2 \\ f_3 \\ \vdots \\ f_n \end{bmatrix}_{sys(n \times 1)} \quad (3.38)$$

หรือเขียนโดยย่อได้ดังนี้ $[K]_{sys}[A]_{sys} = [f]_{sys}$ จากสมการที่ (3.38) เมทริกซ์ $[K]_{sys}$ จะมีคุณสมบัติของความเป็นเมทริกซ์สมมาตร กล่าวคือ $[K]_{sys} = [K]_{sys}^T$ และมีคุณสมบัติของการจับกลุ่มกันของค่า

ที่ไม่เท่ากับศูนย์บริเวณแนวภาพและมุมของเมตริกซ์ ซึ่งจะมีลักษณะอยู่ร่วมกันเป็นแถบ (Banded matrix) จากคุณสมบัติถังกล่าวนี้ จะก่อให้เกิดประโยชน์อย่างมากในการพัฒนาโปรแกรมคอมพิวเตอร์ โดยเฉพาะอย่างยิ่งในทางปฏิบัติที่จำเป็นต้องใช้จำนวนโหนดเป็นจำนวนมากเพื่อที่จะก่อให้เกิดผลเฉลยที่เที่ยงตรง โดยสามารถพัฒนาให้เก็บเฉพาะค่าที่ไม่เท่ากับศูนย์ไว้ในหน่วยความจำเพื่อใช้ในการคำนวณเท่านั้น

การนำสมการอย่างของแต่ละอิลิเมนต์มาประกอบกันเข้าเป็นสมการรวมของระบบจำเป็นต้องมีหลักการซึ่งหลักการที่จะกล่าวนี้เป็นหลักการที่ง่าย สามารถทำได้โดยสะดวก หมายถันรูปประจำของปัญหาที่มีอิลิเมนต์อย่างจำนวนมาก ๆ และหลักการนี้จะถูกนำไปใช้ในการพัฒนาคอมพิวเตอร์โปรแกรมด้วย โดยสามารถทำความเข้าใจได้จากตัวอย่างรูปประจำของปัญหาดังรูปที่ 3.12 กล่าวคือทำการสร้างสมการรวมของระบบซึ่งประกอบด้วย 6 อิลิเมนต์ 8 โหนด โดยจะแสดงการรวมของเมตริกซ์ $[K]_{sys}$ เพื่อเป็นตัวอย่าง

วิธีการนี้ทำได้โดยเปลี่ยนสมการของอิลิเมนต์ต่าง ๆ พื้นทั้งกำกับหมายเลขของโหนดทางแวดล้อมและแวดตั้งของแต่ละอิลิเมนต์ให้ถูกต้อง โดยจากรูปที่ 3.12 $[K]_e$ ของอิลิเมนต์ที่ 1 ประกอบด้วยโหนดหมายเลข 2 8 5 และ 6 ส่วน $[K]_e$ ของอิลิเมนต์ที่ 2 ประกอบด้วยโหนดหมายเลข 12 8 และ 5 ส่วน $[K]_e$ ของอิลิเมนต์ที่ 3 ประกอบด้วยโหนดหมายเลข 1 2 4 และ 8 ส่วน $[K]_e$ ของอิลิเมนต์ที่ 4 ประกอบด้วยโหนดหมายเลข 1 3 4 และ 7 ส่วน $[K]_e$ ของอิลิเมนต์ที่ 5 ประกอบด้วยโหนดหมายเลข 1 7 8 และ 5 ส่วน $[K]_e$ ของอิลิเมนต์ที่ 6 ซึ่งเป็นอิลิเมนต์สุดท้ายประกอบด้วยโหนดหมายเลข 1 8 4 และ 7 โดยสามารถเขียนแสดงให้เห็นได้ดังนี้

$$[K]_{e1} = \begin{pmatrix} (2) & (8) & (5) & (6) \\ (2) a_1 & b_1 & c_1 & d_1 \\ (8) a_2 & b_2 & c_2 & d_2 \\ (5) a_3 & b_3 & c_3 & d_3 \\ (6) a_4 & b_4 & c_4 & d_4 \end{pmatrix}$$

$$[K]_{e2} = \begin{pmatrix} (1) & (2) & (8) & (5) \\ (1) e_1 & f_1 & g_1 & h_1 \\ (2) e_2 & f_2 & g_2 & h_2 \\ (8) e_3 & f_3 & g_3 & h_3 \\ (5) e_4 & f_4 & g_4 & h_4 \end{pmatrix}$$

$$[K]_{e3} = (2) \begin{bmatrix} (1) & (2) & (4) & (8) \\ i_1 & j_1 & k_1 & l_1 \\ i_2 & j_2 & k_2 & l_2 \\ i_3 & j_3 & k_3 & l_3 \\ i_4 & j_4 & k_4 & l_4 \end{bmatrix}$$

$$[K]_{e4} = (3) \begin{bmatrix} (1) & (3) & (4) & (7) \\ m_1 & n_1 & o_1 & p_1 \\ m_2 & n_2 & o_2 & p_2 \\ m_3 & n_3 & o_3 & p_3 \\ m_4 & n_4 & o_4 & p_4 \end{bmatrix}$$

$$[K]_{e5} = (7) \begin{bmatrix} (1) & (7) & (8) & (5) \\ q_1 & r_1 & s_1 & t_1 \\ q_2 & r_2 & s_2 & t_2 \\ q_3 & r_3 & s_3 & t_3 \\ q_4 & r_4 & s_4 & t_4 \end{bmatrix}$$

$$[K]_{e6} = (8) \begin{bmatrix} (1) & (8) & (4) & (7) \\ u_1 & v_1 & w_1 & x_1 \\ u_2 & v_2 & w_2 & x_2 \\ u_3 & v_3 & w_3 & x_3 \\ u_4 & v_4 & w_4 & x_4 \end{bmatrix}$$

เมื่อมีหมายเลขกำกับทั้งทางแ眷อนและแຄต์ที่ตั้งกำกับสัมประสิทธิ์ทุกตัวของ เมทริกซ์ของทุกอิลิเมนต์แล้ว จากนั้นนำสัมประสิทธิ์ต่าง ๆ เหล่านี้มาใส่ลงในเมทริกซ์ระบบรวม $[K]_{sys}$ เช่น ค่าสัมประสิทธิ์ b_3 ซึ่งอยู่ในแ眷อนที่ 5 และตั้งที่ 8 ของอิลิเมนต์ข่ายที่ 1 จะไปปรากฏอยู่ในแ眷อนที่ 5 และตั้งที่ 8 ของเมทริกซ์ระบบรวมดังแสดงในสมการ เป็นดังนี้

$$[K]_{sys} = \begin{bmatrix} (1) & (1) & (2) & (3) & (4) & (5) & (6) & (7) & (8) \\ e_1 + i_1 + m_1 + q_1 + u_1 & f_1 + j_1 & n_1 & k_1 + o_1 + w_1 & h_1 + t_1 & 0 & p_1 + r_1 + x_1 & g_1 + l_1 + s_1 + v_1 \\ (2) & c_2 + i_2 & a_1 + f_2 + j_2 & 0 & k_2 & c_1 + h_2 & d_1 & 0 & b_1 + g_2 + l_2 \\ (3) & m_2 & 0 & n_2 & o_2 & 0 & 0 & p_2 & 0 \\ (4) & i_3 + m_3 + u_3 & j_3 & n_3 & k_3 + o_3 + w_3 & 0 & 0 & p_3 + x_3 & l_3 + v_3 \\ (5) & e_4 + q_4 & a_3 + f_4 & 0 & 0 & c_3 + h_4 + t_4 & d_3 & r_4 & b_3 + g_4 + s_4 \\ (6) & 0 & a_4 & 0 & 0 & c_4 & d_4 & 0 & b_4 \\ (7) & m_4 + q_2 + u_4 & 0 & n_4 & o_4 + w_4 & t_2 & 0 & p_4 + r_2 + x_4 & s_2 + v_4 \\ (8) & c_3 + i_4 + q_3 + u_2 & a_2 + f_3 + j_4 & 0 & k_4 + w_2 & c_2 + h_3 + t_3 & d_2 & r_3 + x_2 & b_2 + g_3 + l_4 + s_3 + v_2 \end{bmatrix}$$

5. ประยุกต์เงื่อนไขขอบเขตและเงื่อนไขเริ่มต้น (Boundary conditions) ที่สอดคล้องกับปัญหางานในสมการรวมของระบบเพื่อหาค่าผลเฉลย โดยการแก้สมการรวมของระบบเพื่อหาตัวไม่ทราบค่าที่โอนด

6. คำนวณหาค่าตัวแปรต่าง ๆ ที่ต้องการต่อไป เมื่อทราบค่าผลลัพธ์ที่โอนดต่าง ๆ แล้วสามารถคำนวณหาค่าตัวแปรต่าง ๆ ที่สมพันธ์กับผลลัพธ์นี้ต่อไปได้

จากขั้นตอนทั้ง 6 ขั้นตอน จะเห็นได้ว่าระเบียบวิธีไฟไนท์อิคลิเมนต์เป็นวิธีที่มีแบบแผนเป็นขั้นเป็นตอน โดยมีส่วนที่สำคัญที่สุดคือการสร้างสมการของอิคลิเมนต์ในขั้นตอนที่ 3 ให้สอดคล้องกับสมการเชิงอนุพันธ์ของปัญหาที่กำหนด และในขั้นตอนทั้ง 6 ขั้นตอนนี้จะนำไปพัฒนาขึ้นเป็นโปรแกรมคอมพิวเตอร์เพื่อช่วยในการคำนวณต่อไป

3.5 สรุป

ในบทนี้ได้นำเสนอทฤษฎีและหลักการต่างๆ ที่เกี่ยวข้องกับงานวิจัยอันได้แก่ทฤษฎีของสนามแม่เหล็กที่ได้กล่าวถึงวิธีการคำนวณหาค่าของสนามแม่เหล็กทฤษฎีของมอเตอร์เหนี่ยวนำสามเฟสที่ว่าด้วยหลักการทำงานและคุณลักษณะของมอเตอร์และวิธีไฟไนท์อิคลิเมนต์ที่อธิบายถึงขั้นตอนต่างๆ ในการคำนวณด้วยวิธีไฟไนท์อิคลิเมนต์โดยได้กล่าวเฉพาะส่วนที่จะนำมาใช้หรือส่วนที่จะถูกกล่าวอ้างถึงในบทต่อๆ ไปทั้งนี้เพื่อเป็นประโยชน์และเป็นแนวทางในการนำไปประยุกต์ใช้แก่ผู้ดำเนินงานวิจัย

บทที่ 4

การคำนวณสนามแม่เหล็กของมอเตอร์เหนี่ยวนำโดยวิธี ไฟไนท์อิลิเมนต์แบบ 3 มิติ

4.1 บทนำ

วิธีไฟไนท์อิลิเมนต์เป็นวิธีการคำนวณเชิงตัวเลขวิธีหนึ่งที่ได้รับความนิยมมากเนื่องจากปัจจุบันคอมพิวเตอร์มีความเร็วสูงและมีหน่วยความจำขนาดใหญ่ทำให้สามารถคำนวณงานต่างๆ ด้วยวิธีไฟไนท์อิลิเมนต์ได้ง่ายและรวดเร็วขึ้น การคำนวณสนามแม่เหล็กในมอเตอร์เหนี่ยวนำที่มีความซับซ้อนจึงมีความจำเป็นอย่างยิ่งที่ต้องนำวิธีไฟไนท์อิลิเมนต์มาใช้ในการแก้ปัญหาดังนั้นในบทนี้จึงได้นำเสนอแบบจำลองทางคณิตศาสตร์ของสนามแม่เหล็กในมอเตอร์เหนี่ยวนำและประยุกต์วิธีไฟไนท์อิลิเมนต์เพื่อใช้ในการคำนวณหาสนามแม่เหล็กนี้

4.2 แบบจำลองทางคณิตศาสตร์ของสนามแม่เหล็ก

ในการคำนวณหาสนามแม่เหล็ก \mathbf{B} สามารถดำเนินการได้โดยเด่นไปคำนวณห้าสกัดเชิงเวกเตอร์แม่เหล็ก \mathbf{A} ก่อนนีองจากสามารถคำนวณได้ง่ายกว่าโดยสนามแม่เหล็ก \mathbf{B} สามารถคำนวณได้ด้วยการครีลสกัดเชิงเวกเตอร์แม่เหล็ก \mathbf{A} เท่านั้นดังที่ได้กล่าวไว้แล้วในบทที่ 3 ซึ่งสามารถแสดงได้ดังนี้

$$\mathbf{B} = \nabla \times \mathbf{A} \quad (4.1)$$

การคำนวณสนามแม่เหล็กในมอเตอร์เหนี่ยวนำจึงเริ่มจากการหาแบบจำลองทางคณิตศาสตร์ของสนามแม่เหล็กซึ่งตั้งต้นจากการศึกษาสนามแม่เหล็กไฟฟ้าที่เปลี่ยนแปลงค่าตามเวลา (William, 1989) โดยศึกษาได้จากกฎของฟาราเดย์ (Faraday's law) ที่กล่าวว่าสนามแม่เหล็กที่แปรผันตามเวลาจะเหนี่ยวนำให้เกิดสนามไฟฟ้า \mathbf{E} ซึ่งแสดงได้ดังนี้

$$\nabla \times \mathbf{E} = -\frac{\partial \mathbf{B}}{\partial t} \quad (4.2)$$

แทนสมการที่ (4.1) ลงในสมการที่ (4.2) จะได้

$$\nabla \times \mathbf{E} = -\frac{\partial}{\partial t} \nabla \times \mathbf{A} \quad (4.3)$$

และจากกฎของแอมเปร (Ampere's law) ที่ใช้กับสนามที่แปรตามเวลาเมื่อสมมติให้ความหนาแน่นกระแสกระจัด (displacement current density) มีค่าเป็นศูนย์ (Demerdash and Gillott, 1974) และ (Fu, 1999) เนื่องจากแหล่งจ่ายมีค่าความถี่ต่ำสามารถแสดงได้ดังนี้

$$\nabla \times \mathbf{H} = \mathbf{J}_0 + \mathbf{J}_e \quad (4.4)$$

เมื่อ \mathbf{H} คือความเข้มสนามแม่เหล็ก, \mathbf{J}_0 คือความหนาแน่นของกระแสภายนอก (external current density) และ \mathbf{J}_e คือความหนาแน่นของกระแสสวน (eddy current density) ซึ่งได้จากกฎของโอล์ม โดยที่

$$\mathbf{J}_e = \sigma \mathbf{E} \quad (4.5)$$

เมื่อ σ คือสภาพนำทางไฟฟ้า (electrical conductivity) และจากความสัมพันธ์ของสมการที่ (4.3) จึงได้

$$\mathbf{J}_e = -\sigma \frac{\partial \mathbf{A}}{\partial t} \quad (4.6)$$

นำสมการที่ (3.24), (4.1) และ (4.6) แทนค่าลงไปในสมการที่ (4.4) จะได้

$$\nabla \times \left(\frac{1}{\mu} \nabla \times \mathbf{A} \right) + \sigma \frac{\partial \mathbf{A}}{\partial t} = \mathbf{J}_0 \quad (4.7)$$

จากการศึกษาคุณสมบัติของ \mathbf{A} พบว่า ประกอบกับการใช้เอกลักษณ์ในสมการที่ (3.15) จึงได้สมการของหักเบี้ย เชิงเวลาเดอร์แม่เหล็กดังสมการที่ (4.8)

$$\nabla^2 \mathbf{A} + \mu\sigma \frac{\partial \mathbf{A}}{\partial t} = -\mu \mathbf{J}_0 \quad (4.8)$$

ดังนั้นแบบจำลองทางคณิตศาสตร์ของสนามแม่เหล็กในมอเตอร์เห็นได้ว่าสามเฟสซึ่งกระแสเห็นได้ว่าในวงจร เอ็มอเตอร์จะขึ้นอยู่กับค่าสลิป s ของมอเตอร์ด้วยเมื่อพิจารณาความต้องการในสามมิติตามระบบพิกัด xyz ซึ่งแบร์แต่ละเฟสจะมีสมการที่ต่างกัน ได้จากสมการโดยสมการจะปรากฏอยู่ในรูปสมการอนุพันธ์ย่อย (partial differential equation: PDE) อันดับสอง สามารถแสดงด้วยสมการที่ (4.9) (Vassent, Meunier, and Foggia, 1991), (Nagwa, Anthony, and Graham, 1992) และ (Fu, 1999) ดังนี้

$$\frac{\partial}{\partial x} \left(\frac{1}{\mu} \frac{\partial \mathbf{A}}{\partial x} \right) + \frac{\partial}{\partial y} \left(\frac{1}{\mu} \frac{\partial \mathbf{A}}{\partial y} \right) + \frac{\partial}{\partial z} \left(\frac{1}{\mu} \frac{\partial \mathbf{A}}{\partial z} \right) - s\sigma \frac{\partial \mathbf{A}}{\partial t} + \mathbf{J}_0 = 0 \quad (4.9)$$

โดยที่

μ คือ ความชื้บซึมไฟฟ้า (magnetic permeability)

σ คือ สภาพนำทางไฟฟ้า (electrical conductivity)

s คือ ค่าสลิป (slip) ของมอเตอร์

\mathbf{J}_0 คือ ความหนาแน่นของกระแสภายนอก (external current density)

จากสมการที่ (4.9) ซึ่งเป็นการสมมติให้สนามแม่เหล็กวางตัวตามพื้นที่หน้าตัดในระบบพิกัด xy ของมอเตอร์ ดังนั้นการพิจารณาเทอมของ \mathbf{A} และ \mathbf{J}_0 จะปรากฏเฉพาะส่วนประกอบแกน z เท่านั้น

4.3 การคำนวณสนามแม่เหล็กโดยวิธีไฟฟ้าที่อิเล็กเมนต์แบบ 3 มิติ

สืบเนื่องจากการเชิงอนุพันธ์เพื่อใช้ในการคำนวณหาสนามแม่เหล็กของมอเตอร์เห็นได้ว่าดังแสดงในสมการที่ (4.9) หากเฉลยแม่นตรงได้ยากดังนั้นการหาค่าเฉลยโดยประมาณด้วยวิธีไฟฟ้าที่อิเล็กเมนต์ซึ่งถูกนำมาใช้ในการนี้ซึ่งประกอบไปด้วยขั้นตอนการดำเนินงานต่างๆดังนี้

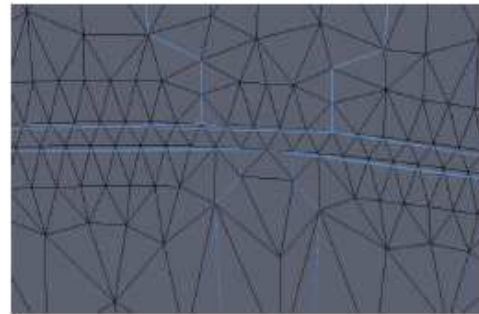
4.3.1 การแบ่งอิลลิเมนต์ของพื้นที่ศึกษา

ขั้นตอนแรกเริ่มจากการแบ่งพื้นที่ย่อยของปัญหาออกเป็นอิลลิเมนต์ซึ่งในที่นี้จะใช้อิลลิเมนต์รูปทรงสี่เหลี่ยม (tetrahedral) โดยสมมติลักษณะการกระจายของผลลัพธ์โดยประมาณ ณ ตำแหน่งใด ๆ บนอิลลิเมนต์เป็นแบบเชิงเส้นซึ่งงานวิจัยนี้จะดำเนินการแบ่งพื้นที่ย่อย โดยอาศัยโปรแกรมสำเร็จรูป Solid Work และได้ผลลัพธ์ออกมาดังรูปที่ 4.1 ซึ่งเป็นตัวอย่างการแบ่งอิลลิเมนต์และจุดต่อหนึ่งพื้นที่ของมอเตอร์โดยมอเตอร์มีจำนวนร่องของสเตเตเตอร์และโรเตอร์ทั้งหมดเท่ากับ 36 และ 44 ร่องตามลำดับและการพันขดลวดสเตเตเตอร์เป็นแบบสองชั้นส่วนรูปที่ 4.2 เป็นการขยายให้เห็นถึงความละเอียดในการแบ่งอิลลิเมนต์และจุดต่อหนึ่งบริเวณพื้นที่ที่สำคัญ

ในงานวิจัยนี้การแบ่งพื้นที่หน้าตัดของมอเตอร์ออกเป็นอิลลิเมนต์จะพิจารณาแยกพื้นที่กันออกเป็น 3 ส่วนได้แก่ ส่วนของพื้นที่สเตเตเตอร์ ส่วนของพื้นที่โรเตอร์ และ ส่วนของพื้นที่ช่องอากาศระหว่างสเตเตเตอร์และโรเตอร์ โดยส่วนของพื้นที่สเตเตเตอร์ การแบ่งอิลลิเมนต์จะกระทำเพียงครั้งเดียวทั้งนี้ เพราะ ส่วนของสเตเตเตอร์ ถูกบีบอยู่กับที่ใน ส่วนของพื้นที่โรเตอร์ การแบ่งอิลลิเมนต์ ดำเนินการเพียงครั้งเดียว เช่น กัน แต่เมื่อพิจารณาถึงตำแหน่งพิกัดของจุดต่อหนึ่งพื้นที่แล้ว จะต้องดำเนินถึงมุมของโรเตอร์ที่หมุนเปลี่ยนแปลงไปด้วย



รูปที่ 4.1 การแบ่งอิลลิเมนต์และจุดต่อของมอเตอร์ เหนี่ยวนำด้วยรูปทรงสี่เหลี่ยม



รูปที่ 4.2 ภาพขยายการแบ่งอิลลิเมนต์และจุดต่อบนบริเวณที่สำคัญ

4.3.2 ฟังก์ชันการประมาณภายในอิลลิเมนต์

ขั้นตอนนี้เป็นการเดือกรูปแบบของฟังก์ชันการประมาณภายในอิลลิเมนต์(element interpolation function) โดยเมื่อสมมติลักษณะการกระจายของผลเฉลยบนอิลลิเมนต์เป็นแบบเชิงเส้นจึงได้

$$A(x, y, z) = A_1 N_1 + A_2 N_2 + A_3 N_3 + A_4 N_4 \quad (4.10)$$

โดยที่ $N_n, n = 1, 2, 3, 4$ คือฟังก์ชันการประมาณภายในอิลลิเมนต์และ $A_n, n = 1, 2, 3, 4$ คือผลลัพธ์ของศักย์ใช้เวลาเตอร์แม่เหล็กในแต่ละจุดต่อ $(1, 2, 3, 4)$ ของอิลลิเมนต์ซึ่ง

$$N_n = \frac{1}{6V} (a_n + b_n x + c_n y + d_n z) \quad (4.11)$$

V คือปริมาตรของรูปทรงลีทันของแต่ละอิลลิเมนต์ซึ่งหาได้จากค่าทอร์มิเนนต์ของสามประสิทท์ดังนี้

$$V = \frac{1}{6} \begin{vmatrix} 1 & x_1 & y_1 & z_1 \\ 1 & x_2 & y_2 & z_2 \\ 1 & x_3 & y_3 & z_3 \\ 1 & x_4 & y_4 & z_4 \end{vmatrix} \quad (4.12)$$

โดยที่

$$\begin{aligned}
 a_1 &= x_4(y_2z_3 - y_3z_2) + x_3(y_4z_2 - y_2z_4) + x_2(y_3z_4 - y_4z_3) \\
 a_2 &= x_4(y_3z_1 - y_1z_3) + x_3(y_1z_4 - y_4z_1) + x_1(y_4z_3 - y_3z_4) \\
 a_3 &= x_4(y_1z_2 - y_2z_1) + x_2(y_4z_1 - y_1z_4) + x_1(y_2z_4 - y_4z_2) \\
 a_4 &= x_3(y_2z_1 - y_1z_2) + x_2(y_1z_3 - y_3z_1) + x_1(y_3z_2 - y_2z_3) \\
 b_1 &= y_4(z_3 - z_2) + y_3(z_2 - z_4) + y_2(z_4 - z_3) \\
 b_2 &= y_4(z_1 - z_3) + y_1(z_3 - z_4) + y_3(z_4 - z_1) \\
 b_3 &= y_4(z_2 - z_1) + y_2(z_1 - z_4) + y_1(z_4 - z_2) \\
 b_4 &= y_3(z_1 - z_2) + y_1(z_2 - z_3) + y_2(z_3 - z_1) \\
 c_1 &= x_4(z_2 - z_3) + x_2(z_3 - z_4) + x_3(z_4 - z_2) \\
 c_2 &= x_4(z_3 - z_1) + x_3(z_1 - z_4) + x_1(z_4 - z_3) \\
 c_3 &= x_4(z_1 - z_2) + x_1(z_2 - z_4) + x_2(z_4 - z_1) \\
 c_4 &= x_3(z_2 - z_1) + x_2(z_1 - z_3) + x_1(z_3 - z_2) \\
 d_1 &= x_4(y_3 - y_2) + x_3(y_2 - y_4) + x_2(y_4 - y_3) \\
 d_2 &= x_4(y_1 - y_3) + x_1(y_3 - y_4) + x_3(y_4 - y_1) \\
 d_3 &= x_4(y_2 - y_1) + x_2(y_1 - y_4) + x_1(y_4 - y_2) \\
 d_4 &= x_3(y_1 - y_2) + x_1(y_2 - y_3) + x_2(y_3 - y_1)
 \end{aligned} \tag{4.13}$$

4.3.3 การสร้างสมการของอิลลิเมนต์

ขั้นตอนนี้เป็นการสร้างสมการอิลลิเมนต์(element formulation) ให้สอดคล้องกับสมการเชิงอนุพันธ์ดังสมการที่ (3.16) ซึ่งขั้นตอนนี้ถือว่าเป็นขั้นตอนที่สำคัญที่สุดของวิธีไฟไนท์อิลลิเมนต์ อย่างในกรณีอิลลิเมนต์รูปทรงลี่หน้า รูปแบบทั่วไปของสมการของอิลลิเมนต์สำหรับปัญหาที่มีการเปลี่ยนแปลงตามเวลา สามารถแสดงได้ดังนี้ (Huebner, Dewhirst, Smith, and Byrom, 2001)

$$[M]\{A\} + [K]\{A\} = \{F\} \tag{4.14}$$

โดย $\{A\}$ คือเวกเตอร์ของศักย์เชิงเวกเตอร์แม่เหล็กซึ่งเป็นตัวไม่ทราบค่าที่จุดต่อและคือเวกเตอร์ของอนุพันธ์อันดับหนึ่งของศักย์เชิงเวกเตอร์แม่เหล็กสมการที่ (4.14) นี้สามารถประยุกต์ใช้ได้โดยตรงจากสมการเชิงอนุพันธ์โดยการประยุกต์วิธีการถ่วงน้ำหนักเศษตกค้างซึ่งถูกจัดให้เป็นวิธีที่นิยมที่สุดในการประยุกต์ใช้กับปัญหาต่างๆ ในปัจจุบันและวิธีนี้ยังสามารถจำแนกแยกย่อยออกໄປได้อีกช่นวิธีของกากเลอร์คิน (Galerkin) ซึ่งมีทริกซ์ที่เกิดขึ้นจากการนี้ปกติแล้วจะมีความ

สมมัติรังส์ก่อให้เกิดประโภชน์อย่างมากในการประดิษฐ์โปรแกรมคอมพิวเตอร์เพื่อใช้กับปัญหาขนาดใหญ่อย่างเช่นปัญหาในงานวิจัยนี้

การสร้างสมการของอิลลิเมนต์ด้วยการถ่วงน้ำหนักเศษตกค้างมีหลักการดังนี้คือหากแทนผลเฉลยโดยประมาณลงในสมการที่ (4.9) จะไม่ได้ค่าเท่ากับศูนย์แต่จะมีค่าเท่ากับ R ดังแสดงด้วยสมการที่ (4.15)

$$\frac{\partial}{\partial x}\left(\frac{1}{\mu} \frac{\partial \mathbf{A}}{\partial x}\right)+\frac{\partial}{\partial y}\left(\frac{1}{\mu} \frac{\partial \mathbf{A}}{\partial y}\right)+\frac{\partial}{\partial z}\left(\frac{1}{\mu} \frac{\partial \mathbf{A}}{\partial z}\right)-s\sigma \frac{\partial \mathbf{A}}{\partial t}+\mathbf{J}_0=R \quad (4.15)$$

ซึ่ง R เรียกว่าเศษตกค้าง (residual) เป็นค่าผิดพลาดที่เกิดขึ้นจากการใช้ผลเฉลยโดยประมาณซึ่งไม่ใช่ผลเฉลยแม่นตรงของปัญหาเศษตกค้าง R ที่เกิดขึ้นควรมีค่าต่ำที่สุดเพื่อผลเฉลยโดยประมาณที่เกิดขึ้นจะมีค่าเที่ยงตรงมากที่สุดและในงานวิจัยนี้วิธีการถ่วงน้ำหนักเศษตกค้างได้ใช้วิธีของกาเลอร์คิน (Preston, Reece, and Sangha, 1988) และ (Kim, Kwon, and Park, 1999) ซึ่งวิธีนี้สามารถกระทำได้โดยการคูณเศษตกค้าง R ด้วยฟังก์ชันน้ำหนัก (weighting function: W) แล้วอนิพิกรครอบปริมาตร(V)และกำหนดผลที่ได้ให้เท่ากับศูนย์ นั่นคือ

$$\int_V W_n R dV = 0 \quad , \quad n = 1, 2, 3, 4 \quad (4.16)$$

งานวิจัยนี้เลือกอิลลิเมนต์รูปทรงสี่เหลี่ยมสี่จุดต่อในการคำนวณ ดังนั้นจุดที่ไม่ทราบค่าจะมี 4 จุด ซึ่งได้แก่จุดต่อทั้งสี่ ดังนั้นจึงต้องการ 4 สมการในการแก้ปัญหาจุดที่ไม่ทราบค่า ดังสมการที่ (4.16) จะต้องมีค่า $n = 1, 2, 3, 4$ และโดยปกติเราจะเลือก $W_n = N_n$ ซึ่งเรียกว่าบันโนฟ-กาเลอร์คิน (Bubnov-Galerkin) ดังนั้นเมื่อแทน R ด้วยสมการที่ (4.15) ลงในสมการที่ (4.16) จึงได้

$$\int_V N_n \left(\frac{\partial}{\partial x}\left(\frac{1}{\mu} \frac{\partial \mathbf{A}}{\partial x}\right)+\frac{\partial}{\partial y}\left(\frac{1}{\mu} \frac{\partial \mathbf{A}}{\partial y}\right)+\frac{\partial}{\partial z}\left(\frac{1}{\mu} \frac{\partial \mathbf{A}}{\partial z}\right)-s\sigma \frac{\partial \mathbf{A}}{\partial t}+\mathbf{J}_0 \right) dV = 0 \quad (4.17)$$

$$\int_V N_n \left(\frac{\partial}{\partial x}\left(\frac{1}{\mu} \frac{\partial \mathbf{A}}{\partial x}\right)+\frac{\partial}{\partial y}\left(\frac{1}{\mu} \frac{\partial \mathbf{A}}{\partial y}\right)+\frac{\partial}{\partial z}\left(\frac{1}{\mu} \frac{\partial \mathbf{A}}{\partial z}\right) \right) dV - \int_V N_n s\sigma \left(\frac{\partial \mathbf{A}}{\partial t} \right) dV + \int_V (N_n \mathbf{J}_0) dV = 0 \quad (4.18)$$

พิจารณาการอินทิเกรตที่ลักษณะของสมการที่ (4.18) สำหรับพจน์แรกซึ่งเป็นพจน์อนุพันธ์อันดับสองใช้วิธีการอินทิเกรตที่ลักษณะ (integrate by parts) โดยจะใช้ทฤษฎีบทองเกาส์ (Gauss's theorem) ซึ่งมีรูปแบบดังนี้

$$\int_V u(\nabla \cdot \mathbf{V}) dV = \int_{\Gamma} u(\mathbf{V} \cdot \mathbf{n}) d\Gamma - \int_V (\nabla u \cdot \mathbf{V}) dV \quad (4.19)$$

Γ คือขอบเขตของอิลลิเมนต์เมื่อเปรียบเทียบสมการที่ (4.19) กับพจน์แรกของสมการที่ (4.18) จะได้

$$u = N_n$$

$$\nabla \cdot \mathbf{V} = \frac{\partial}{\partial x} \left(\frac{1}{\mu} \frac{\partial \mathbf{A}}{\partial x} \right) + \frac{\partial}{\partial y} \left(\frac{1}{\mu} \frac{\partial \mathbf{A}}{\partial y} \right) + \frac{\partial}{\partial z} \left(\frac{1}{\mu} \frac{\partial \mathbf{A}}{\partial z} \right)$$

$$\nabla = \frac{\partial}{\partial x} \mathbf{i} + \frac{\partial}{\partial y} \mathbf{j} + \frac{\partial}{\partial z} \mathbf{k}$$

$$\mathbf{V} = \frac{1}{\mu} \frac{\partial \mathbf{A}}{\partial x} \mathbf{i} + \frac{1}{\mu} \frac{\partial \mathbf{A}}{\partial y} \mathbf{j} + \frac{1}{\mu} \frac{\partial \mathbf{A}}{\partial z} \mathbf{k}$$

และเนื่องจาก \mathbf{n} คือเวกเตอร์หนึ่งหน่วยที่ตั้งฉากกับขอบเขตของอิลลิเมนต์ Γ

$$\mathbf{n} = n_x \mathbf{i} + n_y \mathbf{j} + n_z \mathbf{k}$$

$$\mathbf{V} \cdot \mathbf{n} = \frac{1}{\mu} \frac{\partial \mathbf{A}}{\partial x} n_x + \frac{1}{\mu} \frac{\partial \mathbf{A}}{\partial y} n_y + \frac{1}{\mu} \frac{\partial \mathbf{A}}{\partial z} n_z$$

$$u(\mathbf{V} \cdot \mathbf{n}) = N_n \left(\frac{1}{\mu} \frac{\partial \mathbf{A}}{\partial x} n_x + \frac{1}{\mu} \frac{\partial \mathbf{A}}{\partial y} n_y + \frac{1}{\mu} \frac{\partial \mathbf{A}}{\partial z} n_z \right)$$

$$\nabla u = \frac{\partial N_n}{\partial x} \mathbf{i} + \frac{\partial N_n}{\partial y} \mathbf{j} + \frac{\partial N_n}{\partial z} \mathbf{k}$$

$$\nabla u \cdot \mathbf{V} = \frac{\partial N_n}{\partial x} \frac{1}{\mu} \frac{\partial \mathbf{A}}{\partial x} + \frac{\partial N_n}{\partial y} \frac{1}{\mu} \frac{\partial \mathbf{A}}{\partial y} + \frac{\partial N_n}{\partial z} \frac{1}{\mu} \frac{\partial \mathbf{A}}{\partial z}$$

ดังนั้นจากสมการที่ (4.18) เมื่อ $n = 1, 2, 3, 4$ จึงสามารถเขียนได้เป็น

$$\int_{\Gamma} N_n \left(\frac{1}{\mu} \frac{\partial \mathbf{A}}{\partial x} n_x + \frac{1}{\mu} \frac{\partial \mathbf{A}}{\partial y} n_y + \frac{1}{\mu} \frac{\partial \mathbf{A}}{\partial z} n_z \right) d\Gamma - \int_v \left(\frac{\partial N_n}{\partial x} \frac{1}{\mu} \frac{\partial \mathbf{A}}{\partial x} + \frac{\partial N_n}{\partial y} \frac{1}{\mu} \frac{\partial \mathbf{A}}{\partial y} + \frac{\partial N_n}{\partial z} \frac{1}{\mu} \frac{\partial \mathbf{A}}{\partial z} \right) dv - \int_v N_n s \sigma \left(\frac{\partial \mathbf{A}}{\partial t} \right) dv + \int_v (N_n \mathbf{J}_0) dv = 0 \quad (4.20)$$

พิจารณาพจน์แรกทางด้านซ้ายมือของสมการที่ (4.20) ซึ่งเป็นพจน์ที่เกี่ยวข้องกับขอบเขตของอิลลิเมนต์ Γ ที่มีคุณสมบัติทางกายภาพคือปริมาณกระแสตลอดขอบนอกของอิลลิเมนต์นั้นๆ อนึ่งอิลลิเมนต์นั้นๆ อาจวางตัวอยู่ภายในหรืออยู่ติดขอบนอกของพื้นที่ศึกษาหากอิลลิเมนต์ที่พิจารณาอยู่ตรงตำแหน่งของขอบนอกของพื้นที่ศึกษาเงื่อนไขแบบนอยมันน์ (Neumann condition) จะถูกนำมาใช้ในงานวิจัยนี้เพื่อเป็นเงื่อนไขตรงขอบนอกของพื้นที่ศึกษาเงื่อนไขนี้เป็นการกำหนดค่าอนุพันธ์อันดับหนึ่งของตัวแปรตามที่ขอบเขตนั้นซึ่งในปัญหาของงานวิจัยนี้มีเงื่อนไขขอบเขตแสดงได้ดังสมการที่ (4.21) (Nagwa, Anthony, and Graham, 1992) นั่นคือศักย์เชิงเวกเตอร์แม่เหล็ก \mathbf{A} มีค่าคงที่ตลอดตามขอบของพื้นที่ศึกษาหรือหมายถึงไม่มีการไหลของกระแสไฟฟ้าผ่านบริเวณขอบนอกของมอเตอร์เหนี่ยวนำ (ปริมาณกระแสที่ไหลผ่านขอบเท่ากับศูนย์) และหากอิลลิเมนต์ที่พิจารณาอยู่ร่วงตัวอยู่ภายในพื้นที่ศึกษาโดยมีอิลลิเมนต์อื่นๆ ล้อมรอบค่าปริมาณกระแสที่ไหลผ่านจุดต่อภายในจุดต่อหนึ่งของอิลลิเมนต์นี้ต้องอยู่ในสภาพะสมดุลกับปริมาณกระแสจากอิลลิเมนต์ที่อยู่ล้อมรอบดังนั้นปริมาณกระแสที่ไหลเข้าและออกจุดต่อจึงได้สมการไฟฟ้าในที่อิลลิเมนต์ดังแสดงด้วยสมการที่ (4.22) และเนื่องจากสมการที่ (4.22) มีทั้งหมด 4 สมการเราสามารถเขียนสมการไฟฟ้าในที่อิลลิเมนต์นี้ให้อยู่ในรูปเมทริกซ์ได้ดังสมการที่ (4.23)

$$\frac{\partial \mathbf{A}}{\partial \mathbf{n}} = 0 \quad (4.21)$$

$$\int_v \left(\frac{\partial N_n}{\partial x} \frac{1}{\mu} \frac{\partial \mathbf{A}}{\partial x} + \frac{\partial N_n}{\partial y} \frac{1}{\mu} \frac{\partial \mathbf{A}}{\partial y} + \frac{\partial N_n}{\partial z} \frac{1}{\mu} \frac{\partial \mathbf{A}}{\partial z} \right) dv + \int_v N_n s \sigma \left(\frac{\partial \mathbf{A}}{\partial t} \right) dv = \int_v (N_n \mathbf{J}_0) dv \quad (4.22)$$

$$\int_v \left(\left[\frac{\partial N_n}{\partial x} \right]_{4 \times 1} \frac{1}{\mu} \frac{\partial \mathbf{A}}{\partial x} + \left[\frac{\partial N_n}{\partial y} \right]_{4 \times 1} \frac{1}{\mu} \frac{\partial \mathbf{A}}{\partial y} + \left[\frac{\partial N_n}{\partial z} \right]_{4 \times 1} \frac{1}{\mu} \frac{\partial \mathbf{A}}{\partial z} \right) dv + \int_v [N_n]_{4 \times 1} s \sigma \left(\frac{\partial \mathbf{A}}{\partial t} \right) dv = \int_v [N_n]_{4 \times 1} \mathbf{J}_0 dv \quad (4.23)$$

และจากสมการที่ (4.10) จึงได้ลักษณะการกระจายของศักย์เชิงเวกเตอร์แม่เหล็ก \mathbf{A} โดยประมาณในแต่ละอิลลิเมนต์เป็น

$$A(x, y, z) = [N]_{1 \times 4} [A]_{4 \times 1}$$

ดังนั้น

$$\frac{\partial A}{\partial x} = \left[\frac{\partial N}{\partial x} \right]_{1 \times 4} [A]_{4 \times 1} \quad \frac{\partial A}{\partial y} = \left[\frac{\partial N}{\partial y} \right]_{1 \times 4} [A]_{4 \times 1} \quad \frac{\partial A}{\partial z} = \left[\frac{\partial N}{\partial z} \right]_{1 \times 4} [A]_{4 \times 1}$$

และสมการไฟฟ้าในท่อส่งน้ำเป็น

$$\begin{aligned} & \int_v \left(\left[\frac{\partial N}{\partial x} \right]_{4 \times 1} \frac{1}{\mu} \left[\frac{\partial N}{\partial x} \right]_{1 \times 4} + \left[\frac{\partial N}{\partial y} \right]_{4 \times 1} \frac{1}{\mu} \left[\frac{\partial N}{\partial y} \right]_{1 \times 4} + \left[\frac{\partial N}{\partial z} \right]_{4 \times 1} \frac{1}{\mu} \left[\frac{\partial A}{\partial z} \right]_{1 \times 4} \right) dv [A]_{4 \times 1} + \\ & \int_v [N]_{4 \times 1} s \sigma [N]_{1 \times 4} dv [\dot{\mathbf{A}}] = \int_v [N]_{4 \times 1} \mathbf{J}_0 dv \end{aligned} \quad (4.24)$$

หรือเขียนสมการไฟฟ้าในท่อส่งน้ำเป็น

$$[M]_{4 \times 4} \{\dot{\mathbf{A}}\}_{4 \times 1} + [K]_{4 \times 4} \{\mathbf{A}\}_{4 \times 1} = \{F\}_{4 \times 1} \quad (4.25)$$

โดยที่	$[M]_{4 \times 4}$	= เมทริกซ์การนำไฟฟ้า
	$[K]_{4 \times 4}$	= เมทริกซ์ความชามชีม ได้ของแม่เหล็ก
	$\{F\}_{4 \times 1}$	= โหลดเวกเตอร์กระแสที่ผลิตขึ้นของ

เมทริกซ์การนำทางไฟฟ้า: $[M]_{4 \times 4}$

$$[M]_{4 \times 4} = \int_v [N]_{4 \times 1} s\sigma [N]_{1 \times 4} dv \quad (4.26)$$

จากสมการที่ (4.11) พึงกշันการประมาณภายในแสดงได้ดังนี้

$$N_n = \frac{1}{6V} (a_n + b_n x + c_n y + d_n z) \quad n=1,2,3,4 \quad (4.27)$$

จากสมการที่ (4.27) และหากค่าสภาพนำทางไฟฟ้า σ มีค่าคงที่ดังนี้ สมการที่ (4.26) จึงกลายเป็น

$$[M]_{4 \times 4} = s\sigma \int_v [N]_{4 \times 1} [N]_{1 \times 4} dv \quad n,m=1,2,3,4 \quad (4.28)$$

สมการที่ (4.28) นี้สามารถคำนวณได้ง่ายโดยใช้สูตรการอินทิเกรตตลอดปริมาตรรูปทรงลี่หน้า (อันนท์ อิศรอมคตรักษ์, 2552) ดังแสดงได้ด้วยสมการที่ (4.29)

$$\int_v N_1^a N_2^b N_3^c N_4^d dv = \frac{a!b!c!d!}{(a+b+c+d+3)!} 6V \quad (4.29)$$

สมการที่ (4.28) สามารถแบ่งการพิจารณาออกเป็น 2 กรณีคือ $N_n = N_m$ และ $N_n \neq N_m$ ในกรณีที่ $N_n = N_m$ และยกตัวอย่างการพิจารณาจุดต่อที่ 1 ของรูปทรงลี่หน้าจึงได้ $a = 2, b = 0, c = 0, d = 0$ ดังนั้น

จากสมการที่ (4.29) จะได้

$$\int_v N_1^2 dv = \frac{2!0!0!0!}{(2+0+0+0+3)!} 6V = \frac{2V}{20}$$

ในกรณีที่ $N_n \neq N_m$ และยกตัวอย่างการพิจารณาจุดต่อที่ 1 และ 2 จึงได้ $a = 1, b = 1, c = 0, d = 0$ ดังนั้นจากสมการที่ (4.29) จะได้

$$\int_v N_1^1 N_2^1 dv = \frac{1!1!0!0!}{(1+1+0+0+3)!} 6V = \frac{V}{20}$$

ที่จุดต่ออื่น ๆ ของรูปทรงสี่เหลี่ยมได้รับการพิจารณาในลักษณะนี้ เช่นกันดังนั้นจากสมการที่ (4.29) จึงได้เมทริกซ์การนำทางไฟฟ้า $[M]_{4 \times 4}$ ดังแสดงด้วยสมการที่ (4.30) ซึ่งจะสังเกตเห็นว่าเมทริกซ์ $[M]_{4 \times 4}$ จะมีค่าคงที่ที่ขึ้นอยู่กับรูปร่างของอลลิเมนต์

$$[M]_{4 \times 4} = \frac{s\sigma V}{20} \begin{bmatrix} 2 & 1 & 1 & 1 \\ 1 & 2 & 1 & 1 \\ 1 & 1 & 2 & 1 \\ 1 & 1 & 1 & 2 \end{bmatrix} \quad (4.30)$$

เมทริกซ์ความซับซ้อนได้ของแม่เหล็ก: $[K]_{4 \times 4}$

$$[K]_{4 \times 4} = \int_V \left(\left[\frac{\partial N}{\partial x} \right]_{4 \times 1} \frac{1}{\mu} \left[\frac{\partial N}{\partial x} \right]_{1 \times 4} + \left[\frac{\partial N}{\partial y} \right]_{4 \times 1} \frac{1}{\mu} \left[\frac{\partial N}{\partial y} \right]_{1 \times 4} + \left[\frac{\partial N}{\partial z} \right]_{4 \times 1} \frac{1}{\mu} \left[\frac{\partial A}{\partial z} \right]_{1 \times 4} \right) dV \quad (4.31)$$

และจากฟังก์ชันการประมาณภายในในสมการที่ (4.27) จึงได้

$$\frac{\partial N}{\partial x} = \frac{b_n}{6V}, \frac{\partial N}{\partial y} = \frac{c_n}{6V} \text{ และ } \frac{\partial N}{\partial z} = \frac{d_n}{6V} \quad n = 1, 2, 3, 4 \quad (4.32)$$

แทนความสัมพันธ์ของสมการที่ (4.32) ลงในสมการที่ (4.31) จะได้

$$\begin{aligned} [K]_{4 \times 4} &= \frac{1}{\mu} \int \left(\frac{b_n}{6V} \frac{b_m}{6V} + \frac{c_n}{6V} \frac{c_m}{6V} + \frac{d_n}{6V} \frac{d_m}{6V} \right) dx dy dz \quad n, m = 1, 2, 3, 4 \\ &= \frac{1}{36\mu V^2} (b_n b_m + c_n c_m + d_n d_m) \int dx dy dz \\ &= \frac{1}{36\mu V} (b_n b_m + c_n c_m + d_n d_m) \end{aligned} \quad (4.33)$$

$$[K]_{4 \times 4} = \frac{1}{36\mu V} \begin{bmatrix} b_1 b_1 + c_1 c_1 + d_1 d_1 & b_1 b_2 + c_1 c_2 + d_1 d_2 & b_1 b_3 + c_1 c_3 + d_1 d_3 & b_1 b_4 + c_1 c_4 + d_1 d_4 \\ b_2 b_1 + c_2 c_1 + d_2 d_1 & b_2 b_2 + c_2 c_2 + d_2 d_2 & b_2 b_3 + c_2 c_3 + d_2 d_3 & b_2 b_4 + c_2 c_4 + d_2 d_4 \\ b_3 b_1 + c_3 c_1 + d_3 d_1 & b_3 b_2 + c_3 c_2 + d_3 d_2 & b_3 b_3 + c_3 c_3 + d_3 d_3 & b_3 b_4 + c_3 c_4 + d_3 d_4 \\ b_4 b_1 + c_4 c_1 + d_4 d_1 & b_4 b_2 + c_4 c_2 + d_4 d_2 & b_4 b_3 + c_4 c_3 + d_4 d_3 & b_4 b_4 + c_4 c_4 + d_4 d_4 \end{bmatrix}_{Sym} \quad (4.34)$$

ให้ลูกเวกเตอร์กระแสที่ผลิตขึ้นเอง: $\{F\}_{4 \times 1}$

$$\{F\}_{4 \times 1} = \int_v [N]_{4 \times 1} \mathbf{J}_0 dv \quad (4.35)$$

และจากฟังก์ชันการประมาณภายในดังสมการที่ (4.27) ดังนั้นสมการที่ (4.35) จึงกลายเป็น

$$\{F\}_{4 \times 1} = \mathbf{J}_0 \int_v N_n dv \quad n, m = 1, 2, 3, 4 \quad (4.36)$$

สมการที่ (4.36) นี้สามารถคำนวณได้โดยใช้สูตรดังสมการ (4.29) โดยยกตัวอย่างการพิจารณาจุดต่อที่ 1 ของรูปทรงสี่เหลี่ยม จึงได้ $a = 1, b = 0, c = 0, d = 0$ ดังนั้นจากสมการที่ (4.29) จะได้

$$\int_v N_1^1 dv = \frac{1!0!0!0!}{(1+0+0+0+3)!} 6V = \frac{V}{4}$$

ซึ่งจุดที่เหลือของรูปทรงสี่เหลี่ยมได้รับการพิจารณาเช่นเดียวกันนี้ ดังนั้นจากสมการที่ (4.36) จึงได้ให้ลูกเวกเตอร์กระแสที่ผลิตขึ้นเองแสดงดังนี้

$$\{F\}_{4 \times 1} = \frac{\mathbf{J}_0 V}{4} \begin{bmatrix} 1 \\ 1 \\ 1 \\ 1 \end{bmatrix} \quad (4.37)$$

ซึ่งการคำนวณค่าความหนาแน่นของกระแสภายใน \mathbf{J}_0 ของมอเตอร์เห็นได้ว่าในแต่ละเฟสจะแสดงรายละเอียดต่างๆ ให้ปรากฏในบทต่อไป

4.3.4 การแก้ปัญหาภายในสถานะชั่วครู่

ปัญหาในงานวิจัยนี้เป็นปัญหาแบบเชิงเส้นในสถานะชั่วครู่ (linear transient problem) โดยที่ค่าศักย์เชิงเวกเตอร์แม่เหล็ก \mathbf{A} จะเปลี่ยนแปลงไปตามเวลาเนื่องจากเวกเตอร์ $\{F\}$ เปลี่ยนแปลงไปตามเวลาเนื่องจากแหล่งจ่ายไฟฟ้ากระแสสลับ ซึ่งการแก้สมการที่ (4.25) จะต้องอาศัยวิธีการแก้ภายในสถานะชั่วครู่ที่เรียกว่าวิธีความสัมพันธ์เวียนบังเกิด (recurrence relations)

การแก้ปัญหาภายในสถานะชั่วครู่จะใช้วิธีความสัมพันธ์เวียนบังเกิด โดยจะมีลักษณะของผลลัพธ์ขึ้นอยู่กับค่า β ที่เลือกใช้ดังแสดงในสมการที่ (4.38) โดย Δt คือค่าของช่วงเวลา (time step) โดยถ้าเลือกใช้ $\beta = 0$ จะเป็นวิธีของออยเลอร์ (Euler) ถ้า $\beta = 1/2$ เป็นวิธีของแครงก์-นิโคลสัน (Crank-Nicolson) ถ้า $\beta = 2/3$ เป็นวิธีของกาเลอร์คิน (Galerkin) และถ้า $\beta = 1$ จะเรียกว่าวิธีผลต่าง สืบเนื่องย้อนหลัง (backward difference) ในงานวิจัยนี้เลือกใช้วิธีผลต่างสืบเนื่องย้อนหลังดังสมการที่ (4.39) เนื่องจากวิธีนี้รับประกันการถูกเข้าของผลลัพธ์และผลลัพธ์จะมีการเปลี่ยนแปลงอย่างต่อเนื่อง

$$\beta \dot{\{A\}}^{t+\Delta t} + (1-\beta) \dot{\{A\}} = \frac{\{A\}^{t+\Delta t} - \{A\}^t}{\Delta t} \quad (4.38)$$

$$\dot{\{A\}}^{t+\Delta t} = \frac{\{A\}^{t+\Delta t} - \{A\}^t}{\Delta t} \quad (4.39)$$

จากการเลือกใช้วิธีผลต่างสืบเนื่องย้อนหลังสมการที่ (4.25) จึงพัฒนามาเป็นสมการที่ (4.40) จากนั้นแทนค่าสมการที่ (4.39) ลงในสมการที่ (4.40) จึงได้ผลลัพธ์ของสมการไฟฟ้าโนลลิเมนต์เมื่อพิจารณาปัญหาในสถานะชั่วครู่ดังสมการที่ (4.41)

$$[M] \dot{\{A\}}^{t+\Delta t} + [K] \{A\}^{t+\Delta t} = \{F\}^{t+\Delta t} \quad (4.40)$$

$$\left(\frac{1}{\Delta t} [M] + [K] \right) \{A\}^{t+\Delta t} = \frac{1}{\Delta t} [M] \{A\}^t + \{F\}^{t+\Delta t} \quad (4.41)$$

4.3.5 การประกอบสมการอลลิเมนต์ขึ้นเป็นระบบ

ขั้นตอนนี้เป็นการนำสมการของแต่ละอลลิเมนต์ที่ได้มาประกอบกันเป็นสมการรวมของระบบโดยจากขั้นตอนในหัวข้อที่ 4.3.1 หากเราแบ่งลักษณะรูปร่างของปัญหาออกเป็นอลลิเมนต์ย่อยซึ่งประกอบด้วย n จุดต่อจึงก่อให้เกิดระบบสมการรวมซึ่งประกอบด้วยสมการย่อยจำนวนทั้งสิ้น n สมการดังนั้นจึงได้สมการรวมของงานวิจัยนี้เมื่อพิจารณาปัญหาแบบเชิงเส้นในสถานะชั่วครู่คือ

$$[J]_{n \times n} [A]_{n \times 1} = [f]_{n \times 1} \quad (4.42)$$

4.3.6 การประยุกต์เงื่อนไขเริ่มต้นและเงื่อนไขขอบเขตพร้อมหาผลเฉลย

ประยุกต์เงื่อนไขเริ่มต้นและเงื่อนไขขอบเขต (initial and boundary condition) ที่สอดคล้องกับปัญหาลงในสมการรวมของระบบ (constraints) ซึ่งงานวิจัยนี้มีค่าเงื่อนไขเริ่มต้นในรูบแรกที่พิจารณาการหมุนของมอเตอร์คือ $\mathbf{A}(t=0) = 0$ ส่วนการหมุนรอบแกนไปจะใช้คำตอบจากรอบที่แล้วเป็นเงื่อนไขเริ่มต้นเพื่อประหัดเวลาในการถูเข้าหากำตอบที่ถูกต้องส่วนค่าเงื่อนไขขอบเขตจะกำหนดให้ขอบในที่ติดกับเพลาและขอบนอกของมอเตอร์มีค่า $\mathbf{A} = 0$ (Brunelli, Casadei, Reggiani and Serra, 1983) และ (Fu, 1999)

4.3.7 การคำนวณค่าตัวแปรอื่นที่ต้องการ

เมื่อทราบค่าศักย์ชิงเวกเตอร์แม่เหล็ก \mathbf{A} ที่จุดต่อต่างๆแล้วจึงสามารถคำนวณหาค่าต่างๆที่สัมพันธ์กันต่อไปได้โดยสามารถแม่เหล็ก \mathbf{B} ที่กระจายตัวในระบบพิกัดนากร (ระบบ xyz) ของมอเตอร์สามารถคำนวณได้จาก $\mathbf{B} = \nabla \times \mathbf{A}$ ดังนี้เมื่อพิจารณาใน 3 มิติตามระบบพิกัด xyz จึงได้ค่าสนามแม่เหล็กในแนวแกน x (B_x) และค่าสนามแม่เหล็กในแนวแกน y (B_y) ดังแสดงด้วยสมการที่ (4.43) และ (4.44) ตามลำดับ

$$B_x = \frac{\partial A_z}{\partial y} = \frac{c_1 A_1 + c_2 A_2 + c_3 A_3 + c_4 A_4}{6V} \quad (4.43)$$

$$B_y = -\frac{\partial A_z}{\partial x} = -\frac{b_1 A_1 + b_2 A_2 + b_3 A_3 + b_4 A_4}{6V} \quad (4.44)$$

จากนั้นแปลงระบบจากพิกัดจากไปเป็นพิกัดทรงกระบอกเพื่อใช้คำนวณหาค่าสนามแม่เหล็กในแนวรัศมี (radial flux density, B_r) และสนามแม่เหล็กในแนวสัมผัส (tangential flux density, B_t) ที่กระทำกับช่องอากาศของมอเตอร์ตรงส่วนของฟันสเตเตอร์ในแต่ละชีที่มีมุม ϕ เปลี่ยนแปลงไปสามารถแสดงได้ดังนี้

$$B_r = B_x \cos \phi + B_y \sin \phi \quad (4.45)$$

$$B_t = -B_x \sin \phi + B_y \cos \phi \quad (4.46)$$

เมื่อกำนวนหาค่า B_r และ B_t แล้วจากนั้นจึงใช้สมการความเกินของแม่กซ์เวลล์หาค่าแรงแม่เหล็กไฟฟ้าที่กระทำกับช่องอากาศซึ่งจะมีผลต่อการสั่นสะเทือนในมอเตอร์เห็นได้ชัดเจน (Ishibashi, Noda, and Mochizuki, 1998) และ (Sakamoto, Hirata, Kobayashi, and Kajiwara, 1999) โดยที่

$$F_r = \frac{1}{2\mu_0} (B_r^2 - B_t^2) \quad (4.47)$$

$$F_t = \frac{1}{\mu_0} (B_r B_t) \quad (4.48)$$

ซึ่ง F_r และ F_t คือแรงแม่เหล็กไฟฟ้าในแนวรัศมีและแนวสัมผัสตามลำดับ โดยขนาดของ การสั่นสะเทือนที่เกิดจากแรงแม่เหล็กไฟฟ้าในแนวสัมผัสจะมีค่ามากเมื่อเทียบกับแนวรัศมี ดังนั้นการพิจารณาแรงแม่เหล็กไฟฟ้าที่กระทำกับช่องอากาศของมอเตอร์ในงานวิจัยที่ยานนิพนธ์นี้ จึงพิจารณาเฉพาะในแนวรัศมีเท่านั้น (Tarnhuvud, and Reichert, 1988) และ (Neves, Carlson, Sadowski, and Bastos, 1998) แต่เมื่อพิจารณาแรงบิดของมอเตอร์ที่ทำให้โรเตอร์หมุนแรง แม่เหล็กไฟฟ้าในแนวสัมผัสจะเป็นแรงหลักที่ต้องคำนึงพิจารณาถึง

4.4 สรุป

ในบทนี้ได้นำเสนอแบบจำลองทางคณิตศาสตร์ของสนามแม่เหล็กในมอเตอร์เห็นได้ชัดเจน สามเฟสเมื่อพิจารณาอเดอร์ในสถานะชั่วครู่ซึ่งแบบจำลองทางคณิตศาสตร์จะปรากฏอยู่ในรูปของ สมการอนุพันธ์ย่อยอันดับสองของการประยุกต์วิธีไฟฟ้าที่อิคลิมอนต์เพื่อกำนวนหาค่าฟลักซ์แม่เหล็กได้ ใช้วิธีการถ่วงน้ำหนักเศษตกค้างของกาเลอร์คินรายละเอียดต่างๆ ในบทนี้จะนำไปสู่การประดิษฐ์ โปรแกรมไฟฟ้าที่อิคลิมอนต์เพื่อใช้เป็นโปรแกรมจำลองผลกระทบที่จะได้กล่าวถึงในบทที่ 6 ต่อไป

บทที่ 5

การคำนวณการสั่นสะเทือนของมอเตอร์เห็นได้ยินโดยวิธีไฟฟ้าในท่ออลิเมนต์ แบบ 3 มิติ

5.1 บทนำ

การคำนวณขนาดของการสั่นสะเทือนของมอเตอร์เห็นได้ยินสำหรับในขณะที่ไม่ได้ใช้งาน โดยแสดงผลของการสั่นสะเทือนในรูปของการกระจายที่มีความซับซ้อนสูง ซึ่งปัจจุบันคอมพิวเตอร์มีสมรรถนะสูงและมีหน่วยความจำขนาดใหญ่ จึงสามารถคำนวณการสั่นสะเทือนของมอเตอร์ในทุกๆ ตำแหน่งด้วยวิธีไฟฟ้าในท่ออลิเมนต์ได้ ดังนั้นในบทนี้จึงได้ระบุถึงวิธีไฟฟ้าในท่ออลิเมนต์เพื่อใช้ในการคำนวณขนาดของการสั่นสะเทือน

5.2 การคำนวณการสั่นสะเทือนโดยวิธีไฟฟ้าในท่ออลิเมนต์แบบ 3 มิติ

การคำนวณขนาดของการสั่นสะเทือนในมอเตอร์ จะอาศัยวิธีไฟฟ้าในท่ออลิเมนต์เพื่อสร้างสมการการเคลื่อนที่ โดยพิจารณาการสั่นในรูปของฟังก์ชันการกระจาย ซึ่งการคำนวณจะมีขั้นตอนคล้ายคลึงกับการคำนวณค่าสานมาแม่เหล็กด้วยวิธีไฟฟ้าในท่ออลิเมนต์จากบทที่ 4 ที่ผ่านมา โดยมีขั้นตอนการดำเนินงานดังนี้

5.2.1 การแบ่งอิลิเมนต์ของพื้นที่ศึกษา

เริ่มจากการแบ่งปริมาตรของมอเตอร์ออกเป็นอิลิเมนต์รูปทรงสี่เหลี่ยมต่อ โดยสมมติลักษณะการกระจายผลลัพธ์โดยประมาณ ณ ตำแหน่งใดๆ บนอิลิเมนต์เป็นแบบเชิงเส้น การแบ่งอิลิเมนต์และจุดต่อของมอเตอร์ขนาดเล็กพิกัด 3 แรงม้า ได้ใช้โปรแกรม Solid Work โดยมีจำนวนจุดต่อและอิลิเมนต์เท่ากับ 5,448 จุด และ 28,059 อิลิเมนต์ ตามลำดับ ดังแสดงด้วยรูปที่ 5.1 ซึ่งจากรูป การคำนวณการสั่นสะเทือนได้แบ่งพื้นที่การพิจารณาเฉพาะส่วนของแกนสเตเตอร์ เท่านั้น เนื่องจากพิจารณาผลของแรงที่มากระทำเฉพาะส่วนของแกนสเตเตอร์ (Henneberger, Sattler, and Shen, 1992), (Durantay, Laurent, Messin, and Kromer, 1999) และ (Ishibashi, Kamimoyo, Noda, and Itomi, 2003)



รูปที่ 5.1 การแบ่งอิลลิเมนต์และจุดต่อของมอเตอร์เพื่อกำหนดการสั่นสะเทือน

5.2.2 พังก์ชันการประมวลภายในและสมการของอิลลิเมนต์

การสร้างสมการการเคลื่อนที่ของอิลลิเมนต์เมื่อพิจารณาการสั่นของมอเตอร์ในพังก์ชันของการกระจำดสมการการเคลื่อนที่ของอิลลิเมนต์สามารถแสดงได้ดังสมการที่ (5.1) ซึ่งเป็นสมการไฟฟ้าในที่อิลลิเมนต์สำหรับแต่ละอิลลิเมนต์ที่มี 12 สมการประกอบรวมกัน

$$[M]_{12 \times 12} \frac{\partial^2 \{x\}_{12 \times 1}}{\partial t^2} + [D]_{12 \times 12} \frac{\partial \{x\}_{12 \times 1}}{\partial t} + [K]_{12 \times 12} \{x\}_{12 \times 1} = \{F\}_{12 \times 1} \quad (5.1)$$

โดย $[M]_{12 \times 12}$ = เมทริกซ์มวล (mass matrix)

$[D]_{12 \times 12}$ = เมทริกซ์ความหน่วง (dampling matrix)

$[K]_{12 \times 12}$ = เมทริกซ์ความแข็งของสปริง (stiffness matrix)

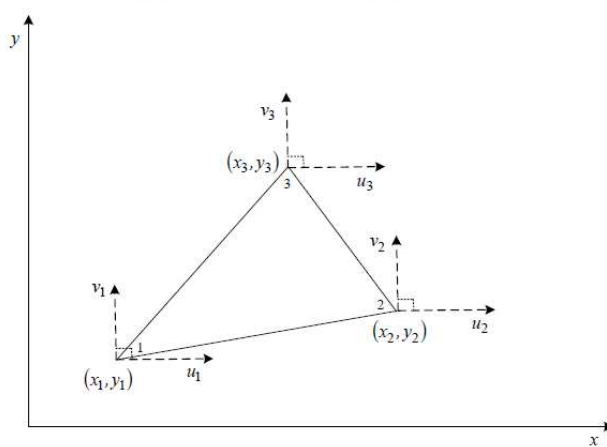
$\{F\}_{12 \times 1}$ = เวกเตอร์ของแรงหรือโมเมนต์ที่มีผลกระทบ

$\{x\}_{12 \times 1}$ = เวกเตอร์การกระจำดเพื่อใช้หาอนุพันธ์อันดับหนึ่ง $\frac{\partial \{x\}_{12 \times 1}}{\partial t}$ และสอง $\frac{\partial^2 \{x\}_{12 \times 1}}{\partial t^2}$

เทียบกับเวลาหรืออีกนัยหนึ่งคือเวกเตอร์ความสัมพันธ์ของความเร็วและความเร่งตามลำดับ

ซึ่งแรงที่กระทำกับช่องอากาศของมอเตอร์เกิดจากการนำแรงแม่เหล็กไฟฟ้าตรงกลางซี่ในแต่ละซี่ของสเตเตอโรที่ติดกับช่องอากาศซึ่งแรงแม่เหล็กไฟฟ้าดังกล่าวเป็นผลลัพธ์จากการคำนวณดังที่ได้อธิบายไว้ในบทที่ 4 ส่วนเวกเตอร์การกระจัดที่แสดงในสมการที่ (5.2) เป็นการแสดงระเบยกระจัดบนจุดต่อหมายเลข 1, 2, 3 และ 4 ในทิศทางทวนเข็มนาฬิกาต่อหนึ่งอิลลิเมนต์โดย n, v และ w แทนระเบยกระจัดในแนวแกน x, y และ z ตามลำดับดังแสดงในรูปที่ 5.2 ซึ่งการแสดงระนาบพิกัดในลักษณะเช่นนี้จะเรียกว่าระนาบพิกัดวงกว้าง (global coordinate)

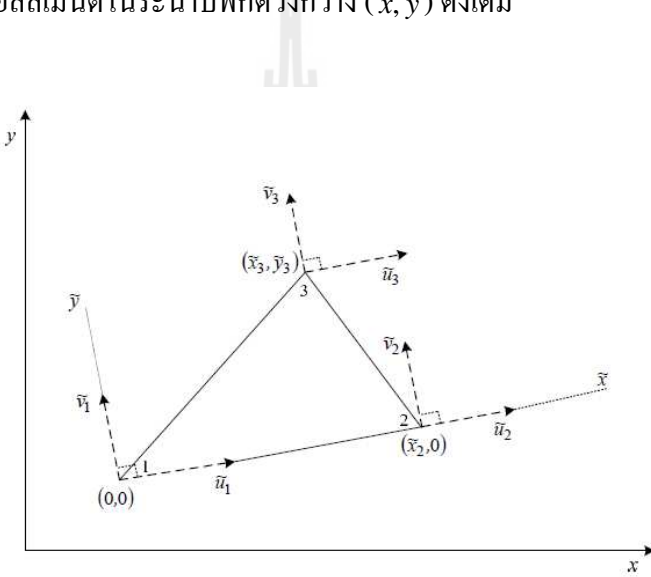
$$\{d\} = \begin{bmatrix} u_1 \\ v_1 \\ w_1 \\ u_2 \\ v_2 \\ w_2 \\ u_3 \\ v_3 \\ w_3 \\ u_4 \\ v_4 \\ w_4 \end{bmatrix} \quad (5.2)$$



รูปที่ 5.2 อิลลิเมนต์สามเหลี่ยมเมื่อพิจารณาระนาบพิกัดวงกว้าง

การพิจารณาการกระจัดของแต่ละอิลลิเมนต์ที่มีลักษณะการวางตัวในแต่ละอิลลิเมนต์ที่แตกต่างกันจะต้องพิจารณาการวางตัวของทุกๆ อิลลิเมนต์ให้อยู่ในรูปแบบเดียวกันเสียก่อนซึ่ง

ดำเนินการได้โดยแปลงระบบพิกัดคงว้างให้เป็นระบบพิกัดเฉพาะถิ่น (local coordinate) (Rao, 1999) ดังแสดงด้วยรูปที่ 5.3 ซึ่งดำเนินการได้โดยกำหนดให้ที่จุดต่อหมายเลข 1 ของทุกๆ อิลลิเมนต์ มีพิกัดเฉพาะถิ่น $(\tilde{x}_1, \tilde{y}_1, \tilde{z}_1)$ อยู่ที่จุดกำเนิด $(0,0,0)$ โดยที่แกน \tilde{x} ของทุกๆ อิลลิเมนต์บนระบบพิกัด เนพำะถิ่นจะวางตัวตามฐานของสามเหลี่ยมระหว่างจุดต่อหมายเลข 1 และ 2 และแกน \tilde{y} จะตั้งฉาก กับแกน \tilde{x} ดังนั้นจุดต่อหมายเลข 2 ของทุกๆ อิลลิเมนต์จึงมีพิกัดเฉพาะถิ่น $(\tilde{x}_2, \tilde{y}_2, \tilde{z})$ เป็น $(\tilde{x}_2, 0, \tilde{z})$ และ $(\tilde{x}_3, \tilde{y}_3, \tilde{z}_3)$ คือจุดต่อหมายเลข 3 ของพิกัดเฉพาะถิ่น โดยมี \tilde{z} และ \tilde{y} ที่จุดต่อ หมายเลขต่างๆ แทนระยะกระชับในแนวแกน \tilde{x} และ \tilde{y} ตามลำดับเมื่อสร้างสมการอิลลิเมนต์ใน ระบบพิกัดเฉพาะถิ่นเพื่อพิจารณาฟังก์ชันการประมาณภายในอิลลิเมนต์แล้วจากนั้นจึงแปลง กลับไปเป็นสมการอิลลิเมนต์ในระบบพิกัดคงว้าง (x, y) ดังเดิม



รูปที่ 5.3 อิลลิเมนต์สามเหลี่ยมเมื่อพิจารณาระบบพิกัดเฉพาะถิ่น

การพิจารณาฟังก์ชันการประมาณภายในอิลลิเมนต์ยังคงพิจารณาลักษณะการกระจายของผลเฉลย บนอิลลิเมนต์เป็นแบบเชิงเส้น เช่นเดียวกับที่เคยกล่าวมาแล้วในบทที่ 4 ซึ่งลักษณะการกระจายของ ผลเฉลยบนอิลลิเมนต์เมื่อพิจารณาระบบพิกัดเฉพาะถิ่นสามารถแสดงได้ดังสมการที่ (5.3), (5.4) และ (5.5)

$$u(\tilde{x}, \tilde{y}, \tilde{z}) = \tilde{u}_1 N_1 + \tilde{u}_2 N_2 + \tilde{u}_3 N_3 + \tilde{u}_4 N_4 \quad (5.3)$$

$$v(\tilde{x}, \tilde{y}, \tilde{z}) = \tilde{v}_1 N_1 + \tilde{v}_2 N_2 + \tilde{v}_3 N_3 + \tilde{v}_4 N_4 \quad (5.4)$$

$$w(\tilde{x}, \tilde{y}, \tilde{z}) = \tilde{w}_1 N_1 + \tilde{w}_2 N_2 + \tilde{w}_3 N_3 + \tilde{w}_4 N_4 \quad (5.5)$$

โดยที่ N_n , $n=1, 2, 3, 4$ คือพังก์ชันการประมวลผลภายในอิลลิเมนต์และ \tilde{u}_n , \tilde{v}_n และ \tilde{W}_n เมื่อ $n=1, 2, 3, 4$ คือผลลัพธ์ของการกระจายในแนวแกน \tilde{x} , \tilde{y} และ \tilde{z} ในแต่ละจุดต่อ ($1, 2, 3, 4$) ของอิลลิเมนต์ตามลำดับซึ่ง

$$N_n = \frac{a_n + b_n \tilde{x} + c_n \tilde{y} + d_n \tilde{z}}{6V} \quad (5.6)$$

โดยที่

$$\begin{aligned} a_1 &= \tilde{x}_4(\tilde{y}_2\tilde{z}_3 - \tilde{y}_3\tilde{z}_2) + \tilde{x}_3(\tilde{y}_4\tilde{z}_2 - \tilde{y}_2\tilde{z}_4) + \tilde{x}_2(\tilde{y}_3\tilde{z}_4 - \tilde{y}_4\tilde{z}_3) \\ a_2 &= \tilde{x}_4(\tilde{y}_3\tilde{z}_1 - \tilde{y}_1\tilde{z}_3) + \tilde{x}_3(\tilde{y}_1\tilde{z}_4 - \tilde{y}_4\tilde{z}_1) + \tilde{x}_1(\tilde{y}_4\tilde{z}_3 - \tilde{y}_3\tilde{z}_4) \\ a_3 &= \tilde{x}_4(\tilde{y}_1\tilde{z}_2 - \tilde{y}_2\tilde{z}_1) + \tilde{x}_2(\tilde{y}_4\tilde{z}_1 - \tilde{y}_1\tilde{z}_4) + \tilde{x}_1(\tilde{y}_3\tilde{z}_2 - \tilde{y}_2\tilde{z}_3) \\ a_4 &= \tilde{x}_3(\tilde{y}_2\tilde{z}_1 - \tilde{y}_1\tilde{z}_2) + \tilde{x}_2(\tilde{y}_1\tilde{z}_3 - \tilde{y}_3\tilde{z}_1) + \tilde{x}_1(\tilde{y}_3\tilde{z}_2 - \tilde{y}_2\tilde{z}_3) \\ b_1 &= \tilde{y}_4(\tilde{z}_3 - \tilde{z}_2) + \tilde{y}_3(\tilde{z}_2 - \tilde{z}_4) + \tilde{y}_2(\tilde{z}_4 - \tilde{z}_3) \\ b_2 &= \tilde{y}_4(\tilde{z}_1 - \tilde{z}_3) + \tilde{y}_1(\tilde{z}_3 - \tilde{z}_4) + \tilde{y}_3(\tilde{z}_4 - \tilde{z}_1) \\ b_3 &= \tilde{y}_4(\tilde{z}_2 - \tilde{z}_1) + \tilde{y}_2(\tilde{z}_1 - \tilde{z}_4) + \tilde{y}_1(\tilde{z}_4 - \tilde{z}_2) \\ b_4 &= \tilde{y}_3(\tilde{z}_1 - \tilde{z}_2) + \tilde{y}_1(\tilde{z}_2 - \tilde{z}_3) + \tilde{y}_2(\tilde{z}_3 - \tilde{z}_1) \\ c_1 &= \tilde{x}_4(\tilde{z}_2 - \tilde{z}_3) + \tilde{x}_2(\tilde{z}_3 - \tilde{z}_4) + \tilde{x}_3(\tilde{z}_4 - \tilde{z}_2) \\ c_2 &= \tilde{x}_4(\tilde{z}_3 - \tilde{z}_1) + \tilde{x}_3(\tilde{z}_1 - \tilde{z}_4) + \tilde{x}_1(\tilde{z}_4 - \tilde{z}_3) \\ c_3 &= \tilde{x}_4(\tilde{z}_1 - \tilde{z}_2) + \tilde{x}_1(\tilde{z}_2 - \tilde{z}_4) + \tilde{x}_2(\tilde{z}_3 - \tilde{z}_2) \\ c_4 &= \tilde{x}_3(\tilde{z}_2 - \tilde{z}_1) + \tilde{x}_2(\tilde{z}_1 - \tilde{z}_3) + \tilde{x}_1(\tilde{z}_3 - \tilde{z}_2) \\ d_1 &= \tilde{x}_4(\tilde{y}_3 - \tilde{y}_2) + \tilde{x}_3(\tilde{y}_2 - \tilde{y}_4) + \tilde{x}_2(\tilde{y}_4 - \tilde{y}_3) \\ d_2 &= \tilde{x}_4(\tilde{y}_1 - \tilde{y}_3) + \tilde{x}_1(\tilde{y}_3 - \tilde{y}_4) + \tilde{x}_3(\tilde{y}_4 - \tilde{y}_1) \\ d_3 &= \tilde{x}_4(\tilde{y}_2 - \tilde{y}_1) + \tilde{x}_2(\tilde{y}_1 - \tilde{y}_4) + \tilde{x}_1(\tilde{y}_4 - \tilde{y}_2) \\ d_4 &= \tilde{x}_3(\tilde{y}_1 - \tilde{y}_2) + \tilde{x}_1(\tilde{y}_2 - \tilde{y}_3) + \tilde{x}_2(\tilde{y}_3 - \tilde{y}_1) \end{aligned} \quad (5.7)$$

และ V คือปริมาตรของแต่ละอิลลิเมนต์ซึ่งคำนวณได้ดังนี้

$$V = \frac{1}{6} \begin{vmatrix} 1 & \tilde{x}_1 & \tilde{y}_1 & \tilde{z}_1 \\ 1 & \tilde{x}_2 & \tilde{y}_2 & \tilde{z}_2 \\ 1 & \tilde{x}_3 & \tilde{y}_3 & \tilde{z}_3 \\ 1 & \tilde{x}_4 & \tilde{y}_4 & \tilde{z}_4 \end{vmatrix} \quad (5.8)$$

จากสมการ ไฟไนท์อิลลิเมนต์ในสมการที่ (5.1) สามารถคำนวณอิลลิเมนต์เมทริกซ์ความแข็งของสปริงและอิลลิเมนต์เมทริกซ์มวลได้ดังที่จะอธิบายต่อจากนี้ไปซึ่งในงานวิจัยวิทยานิพนธ์นี้จะไม่พิจารณาถึงอิลลิเมนต์เมทริกซ์ความหน่วงเนื่องจากมีผลต่อการสั่นสะเทือนของมอเตอร์ค่อนข้างน้อย ประกอบกับการคำนวณมีความยุ่งยาก (Henneberger, Sattler, Hadrys, and Shen, 1992)

เมทริกซ์ความแข็งของสปริง: $[K]_{12 \times 12}$

ดำเนินการโดยพิจารณาการวางแผนตัวของอิลลิเมนต์ในระบบพิกัดเฉพาะกิ่นเพื่อให้ทุกๆ อิลลิเมนต์มีการวางแผนตัวอยู่ในรูปแบบเดียวกันก่อนจะได้เมทริกซ์ส่วนประกอบความแข็งของสปริง(constitutive matrix, $[\tilde{D}]$) ดังแสดงด้วยสมการที่ (5.9)

$$[\tilde{D}] = \frac{E}{(1+\nu)(1-2\nu)} \begin{bmatrix} 1-\nu & \nu & \nu & 0 & 0 & 0 \\ \nu & 1-\nu & \nu & 0 & 0 & 0 \\ \nu & \nu & 1-\nu & 0 & 0 & 0 \\ 0 & 0 & 0 & \frac{1-2\nu}{2} & 0 & 0 \\ 0 & 0 & 0 & 0 & \frac{1-2\nu}{2} & 0 \\ 0 & 0 & 0 & 0 & 0 & \frac{1-2\nu}{2} \end{bmatrix} \quad (5.9)$$

ซึ่ง E และ ν คือค่ามอดูลัส (modulus) และอัตราส่วนของปัวซอง (Poisson's ratio) ตามลำดับ

เมทริกซ์ความเครียดของสปริง (strain relationship, $[\tilde{B}]$) ดังแสดงได้ในสมการที่ (5.10), (5.11), (5.12), (5.13), และ (5.14)

$$[\tilde{B}] = [\tilde{B}_1 \ \tilde{B}_2 \ \tilde{B}_3 \ \tilde{B}_4] \quad (5.10)$$

โดยที่

$$[\tilde{B}_1] = \begin{bmatrix} \frac{\partial N_1}{\partial x} & 0 & 0 \\ 0 & \frac{\partial N_1}{\partial y} & 0 \\ 0 & 0 & \frac{\partial N_1}{\partial z} \\ \frac{\partial N_1}{\partial y} & \frac{\partial N_1}{\partial x} & 0 \\ 0 & \frac{\partial N_1}{\partial z} & \frac{\partial N_1}{\partial y} \\ \frac{\partial N_1}{\partial z} & 0 & \frac{\partial N_1}{\partial x} \end{bmatrix} = \frac{1}{6V} \begin{bmatrix} b_1 & 0 & 0 \\ 0 & c_1 & 0 \\ 0 & 0 & d_1 \\ c_1 & b_1 & 0 \\ 0 & d_1 & c_1 \\ d_1 & 0 & b_1 \end{bmatrix} \quad (5.11)$$

$$[\tilde{B}_2] = \begin{bmatrix} \frac{\partial N_2}{\partial x} & 0 & 0 \\ 0 & \frac{\partial N_2}{\partial y} & 0 \\ 0 & 0 & \frac{\partial N_2}{\partial z} \\ \frac{\partial N_2}{\partial y} & \frac{\partial N_2}{\partial x} & 0 \\ 0 & \frac{\partial N_2}{\partial z} & \frac{\partial N_2}{\partial y} \\ \frac{\partial N_2}{\partial z} & 0 & \frac{\partial N_2}{\partial x} \end{bmatrix} = \frac{1}{6V} \begin{bmatrix} b_2 & 0 & 0 \\ 0 & c_2 & 0 \\ 0 & 0 & d_2 \\ c_2 & b_2 & 0 \\ 0 & d_2 & c_2 \\ d_2 & 0 & b_2 \end{bmatrix} \quad (5.12)$$

$$[\tilde{B}_3] = \begin{bmatrix} \frac{\partial N_3}{\partial x} & 0 & 0 \\ 0 & \frac{\partial N_3}{\partial y} & 0 \\ 0 & 0 & \frac{\partial N_3}{\partial z} \\ \frac{\partial N_3}{\partial y} & \frac{\partial N_3}{\partial x} & 0 \\ 0 & \frac{\partial N_3}{\partial z} & \frac{\partial N_3}{\partial y} \\ \frac{\partial N_3}{\partial z} & 0 & \frac{\partial N_3}{\partial x} \end{bmatrix} = \frac{1}{6V} \begin{bmatrix} b_3 & 0 & 0 \\ 0 & c_3 & 0 \\ 0 & 0 & d_3 \\ c_3 & b_3 & 0 \\ 0 & d_3 & c_3 \\ d_3 & 0 & b_3 \end{bmatrix} \quad (5.13)$$

$$[\tilde{B}_4] = \begin{bmatrix} \frac{\partial N_4}{\partial x} & 0 & 0 \\ 0 & \frac{\partial N_4}{\partial y} & 0 \\ 0 & 0 & \frac{\partial N_4}{\partial z} \\ \frac{\partial N_4}{\partial y} & \frac{\partial N_4}{\partial x} & 0 \\ 0 & \frac{\partial N_4}{\partial z} & \frac{\partial N_4}{\partial y} \\ \frac{\partial N_4}{\partial z} & 0 & \frac{\partial N_4}{\partial x} \end{bmatrix} = \frac{1}{6V} \begin{bmatrix} b_4 & 0 & 0 \\ 0 & c_4 & 0 \\ 0 & 0 & d_4 \\ c_4 & b_4 & 0 \\ 0 & d_4 & c_4 \\ d_4 & 0 & b_4 \end{bmatrix} \quad (5.14)$$

เมื่อนำค่า $[\tilde{B}]$ รวมระบบจะได้ดังสมการที่ (5.15)

$$[\tilde{B}] = \frac{1}{6V} \begin{bmatrix} b_1 & 0 & 0 & b_2 & 0 & 0 & b_3 & 0 & 0 & b_4 & 0 & 0 \\ 0 & c_1 & 0 & 0 & c_2 & 0 & 0 & c_3 & 0 & 0 & c_4 & 0 \\ 0 & 0 & d_1 & 0 & 0 & d_2 & 0 & 0 & d_3 & 0 & 0 & d_4 \\ c_1 & b_1 & 0 & c_2 & b_2 & 0 & c_3 & b_3 & 0 & c_4 & b_4 & 0 \\ 0 & d_1 & c_1 & 0 & d_2 & c_2 & 0 & d_3 & c_3 & 0 & d_4 & c_4 \\ d_1 & 0 & b_1 & d_2 & 0 & b_2 & d_3 & 0 & b_3 & d_4 & 0 & b_4 \end{bmatrix} \quad (5.15)$$

ชิ้นเมทริกซ์ความแข็งของสปริงเฉพาะถี่ (local stiffness matrix, $[\tilde{K}]$) เกิดจากผลของเมทริกซ์ส่วนประกอบความแข็งของสปริงและเมทริกซ์ความเครียดของสปริงดังแสดงด้วยสมการที่ (5.16) และ (5.17) ตามลำดับ

$$[\tilde{K}] = \iiint_V [\tilde{B}]^T [\tilde{D}] [\tilde{B}] dV \quad (5.16)$$

$$[\tilde{K}] = [\tilde{B}]^T [\tilde{D}] [\tilde{B}] V \quad (5.17)$$

เมื่อคำนวณเมทริกซ์ความแข็งของสปริงเฉพาะถี่ ได้แล้วจากนั้นแปลงกลับเป็นเมทริกซ์ความแข็งของสปริงที่แท้จริง ได้ในสมการที่ (5.18)

$$[K] = [R]^T [\tilde{K}] [R] \quad (5.18)$$

ໄຊທີ່

จากสมการที่ (5.19) สมาชิกในเมตริกซ์ $[R]$ จะประกอบไปด้วยพิงค์ชันโคลูน์ระนาบพิเศษ (directional cosine) ซึ่งเป็นค่าที่ใช้สำหรับถ่ายโอนจากระนาบพิกัดเฉพาะถิ่นสู่ระนาบพิกัดคงกว้าง ดังแสดงด้วยความสัมพันธ์ดังสมการที่ (5.20) - (5.30)

$$\cos(\tilde{x}, x) = \frac{x_2 - x_1}{L} = l \quad (5.20)$$

$$\cos(\tilde{x}, y) = \frac{y_2 - y_1}{L} = m \quad (5.21)$$

$$\cos(\tilde{x}, z) = \frac{z_2 - z_1}{L} = n \quad (5.22)$$

$$\cos(\tilde{y}, x) = -\frac{m}{P} \quad (5.23)$$

$$\cos(\tilde{y}, y) = \frac{l}{P} \quad (5.24)$$

$$\cos(\tilde{y}, z) = 0 \quad (5.25)$$

$$\cos(\tilde{z}, x) = -\frac{(l)(n)}{P} \quad (5.26)$$

$$\cos(\tilde{z}, y) = -\frac{(m)(n)}{P} \quad (5.27)$$

$$\cos(\tilde{z}, z) = P \quad (5.28)$$

โดยที่

$$L = \sqrt{(x_2 - x_1)^2 + (y_2 - y_1)^2 + (z_2 - z_1)^2} \quad (5.29)$$

$$P = \sqrt{l^2 + m^2} \quad (5.30)$$

เมทริกซ์มวล: $[M]_{12 \times 12}$

ดำเนินการโดยพิจารณาการวางตัวของอิลลิเมนต์ในระบบพิกัดเนพาะถี่นก่อน
เช่นกัน ดังแสดงได้ในสมการที่ (5.31)

$$[\tilde{M}] = \frac{\rho V_e}{20} \begin{bmatrix} 2 & 0 & 0 & 1 & 0 & 0 & 1 & 0 & 0 & 1 & 0 & 0 \\ 0 & 2 & 0 & 0 & 1 & 0 & 0 & 1 & 0 & 0 & 1 & 0 \\ 0 & 0 & 2 & 0 & 0 & 1 & 0 & 0 & 1 & 0 & 0 & 1 \\ 1 & 0 & 0 & 2 & 0 & 0 & 1 & 0 & 0 & 1 & 0 & 0 \\ 0 & 1 & 0 & 0 & 2 & 0 & 0 & 1 & 0 & 0 & 1 & 0 \\ 0 & 0 & 1 & 0 & 0 & 2 & 0 & 0 & 1 & 0 & 0 & 1 \\ 1 & 0 & 0 & 1 & 0 & 0 & 2 & 0 & 0 & 1 & 0 & 0 \\ 0 & 1 & 0 & 0 & 1 & 0 & 0 & 2 & 0 & 0 & 1 & 0 \\ 0 & 0 & 1 & 0 & 0 & 1 & 0 & 0 & 2 & 0 & 0 & 1 \\ 1 & 0 & 0 & 1 & 0 & 0 & 1 & 0 & 0 & 2 & 0 & 0 \\ 0 & 1 & 0 & 0 & 1 & 0 & 0 & 1 & 0 & 0 & 2 & 0 \\ 0 & 0 & 1 & 0 & 0 & 1 & 0 & 0 & 1 & 0 & 0 & 2 \end{bmatrix} \quad (5.31)$$

ซึ่ง ρ คือค่าความหนาแน่นมวล (mass density) ในแต่ละอิลลิเมนต์จากนั้นแปลงกลับเป็นเมตริกซ์มวลที่แท้จริงได้ในสมการที่ (5.32)

$$[M] = [R]^T [\tilde{M}] [R] \quad (5.32)$$

การนำสมการการเคลื่อนที่ของแต่ละอิลลิเมนต์ที่ได้มาประกอบกันเป็นสมการรวมสำหรับการเคลื่อนที่ของระบบโดยหากเราแบ่งลักษณะรูปร่างของปัญหาออกเป็นอิลลิเมนต์ย่อยซึ่งประกอบด้วย n จุดต่อจึงก่อให้เกิดระบบสมการรวมสำหรับการเคลื่อนที่ของระบบซึ่งประกอบด้วยสมการย่อยจำนวนทั้งสิ้น $3n$ สมการดังแสดงด้วยสมการที่ (5.33) ทั้งนี้เนื่องจากการพิจารณาการกระจัดจะพิจารณาทั้งแนวแกน x , y และแกน z ร่วมกัน

$$[M]_{3n \times 3n} \frac{\partial^2 \{x\}_{3n \times 1}}{\partial t^2} + [D]_{3n \times 3n} \frac{\partial \{x\}_{3n \times 1}}{\partial t} + [K]_{3n \times 3n} \{x\}_{3n \times 1} = \{F\}_{3n \times 1} \quad (5.33)$$

5.3 การหาผลเฉลยสำหรับการสั่นสะเทือน

ในการวิเคราะห์สถานะชั่วครู่ในขณะที่มอเตอร์หมุนไปดังสมการการเคลื่อนที่ที่เวลา t ไดๆ ที่แสดงด้วยสมการที่ (5.34)

$$[M] \frac{\partial^2 \{x\}^t}{\partial t^2} + [D] \frac{\partial \{x\}^t}{\partial t} + [K] \{x\}^t = \{F\}^t \quad (5.34)$$

ซึ่งตัวยก t หมายถึงค่าที่มีการเปลี่ยนแปลงตามเวลาจะสังเกตเห็นว่า เมทริกซ์ $[M]$, $[D]$ และ $[K]$ จะไม่มีการเปลี่ยนแปลงตามเวลาเมื่อมอเตอร์หมุนไป การแก้สมการสถานะชั่วคราวในงานวิจัย วิทยานิพนธ์นี้จะใช้วิธีผลต่างกลาง (central difference) เพราะเป็นวิธีที่นิยมใช้กันแพร่หลายสำหรับ การแก้สมการการเคลื่อนที่ในสถานะชั่วคราว (Kwon and Bang, 2000) โดยเมื่อพิจารณาวิธีผลต่าง กลางจะได้

$$\frac{\partial^2 \{x\}^t}{\partial t^2} = \frac{1}{\Delta t^2} [\{x\}^{t+\Delta t} - 2\{x\} + \{x\}^{t-\Delta t}] \quad (5.35)$$

$$\frac{\partial \{x\}^t}{\partial t} = \frac{1}{2\Delta t} [\{x\}^{t+\Delta t} - \{x\}^{t-\Delta t}] \quad (5.36)$$

แทนค่าสมการที่ (5.35) และ (5.36) ลงในสมการที่ (5.34) จะได้

$$[M_{eff}] \{x\}^{t+\Delta t} = \{F_{eff}\} \quad (5.37)$$

โดยที่

$$[M_{eff}] = \left[\frac{1}{\Delta t^2} [M] + \frac{1}{2\Delta t} [D] \right] \quad (5.38)$$

$$\{F_{eff}\} = \{F\}^t - \left[[K] - \frac{2}{\Delta t^2} [M] \right] \{x\}^t - \left[\frac{1}{\Delta t^2} [M] - \frac{1}{2\Delta t} [D] \right] \{x\}^{t-\Delta t} \quad (5.39)$$

ซึ่ง $[M_{eff}]$ และ $\{F_{eff}\}$ คือ เมทริกซ์มวลประสิทธิผล (effective mass matrix) และ เวกเตอร์แรง ประสีทธิผล (effective force matrix) ตามลำดับดังนั้น จึงสรุปเป็นขั้นตอนในการคำนวณหาการ สั่นสะเทือนเป็นระบบกระฉับเมื่อมอเตอร์หมุนไปได้ดังรายละเอียดต่อไปนี้

ขั้นตอนที่ 1 : คำนวณหาเมทริกซ์ระบบสมการรวม $[M]$, $[D]$ และ $[K]$

ขั้นตอนที่ 2 : กำหนดค่าเริ่มต้นที่ $t = 0$ ซึ่งประกอบด้วยเวกเตอร์การกระฉับ $\{x\}^0$

และ เวกเตอร์ความเร็ว $\frac{\partial \{x\}^0}{\partial t}$ พร้อมทั้งรับค่าเวกเตอร์ของแรงที่กระทำกับมอเตอร์ $\{F\}^0$

ขั้นตอนที่ 3 : คำนวณค่าเวกเตอร์ความเร่ง $\frac{\partial^2 \{x\}^0}{\partial t^2}$ ในสมการที่ (5.34) ซึ่งสามารถแสดงได้ ดังนี้

$$[M] \frac{\partial^2 \{x\}^0}{\partial t^2} = \{F\}^0 - [D] \frac{\partial \{x\}^0}{\partial t} - [K] \{x\}^0 \quad (5.40)$$

ขั้นตอนที่ 4 : คำนวณค่าเวกเตอร์การกระชับที่เวลา $- \Delta t$ โดยใช้ความสัมพันธ์ของสมการที่ (5.35) และ (5.36) ซึ่งสามารถแสดงได้ดังนี้

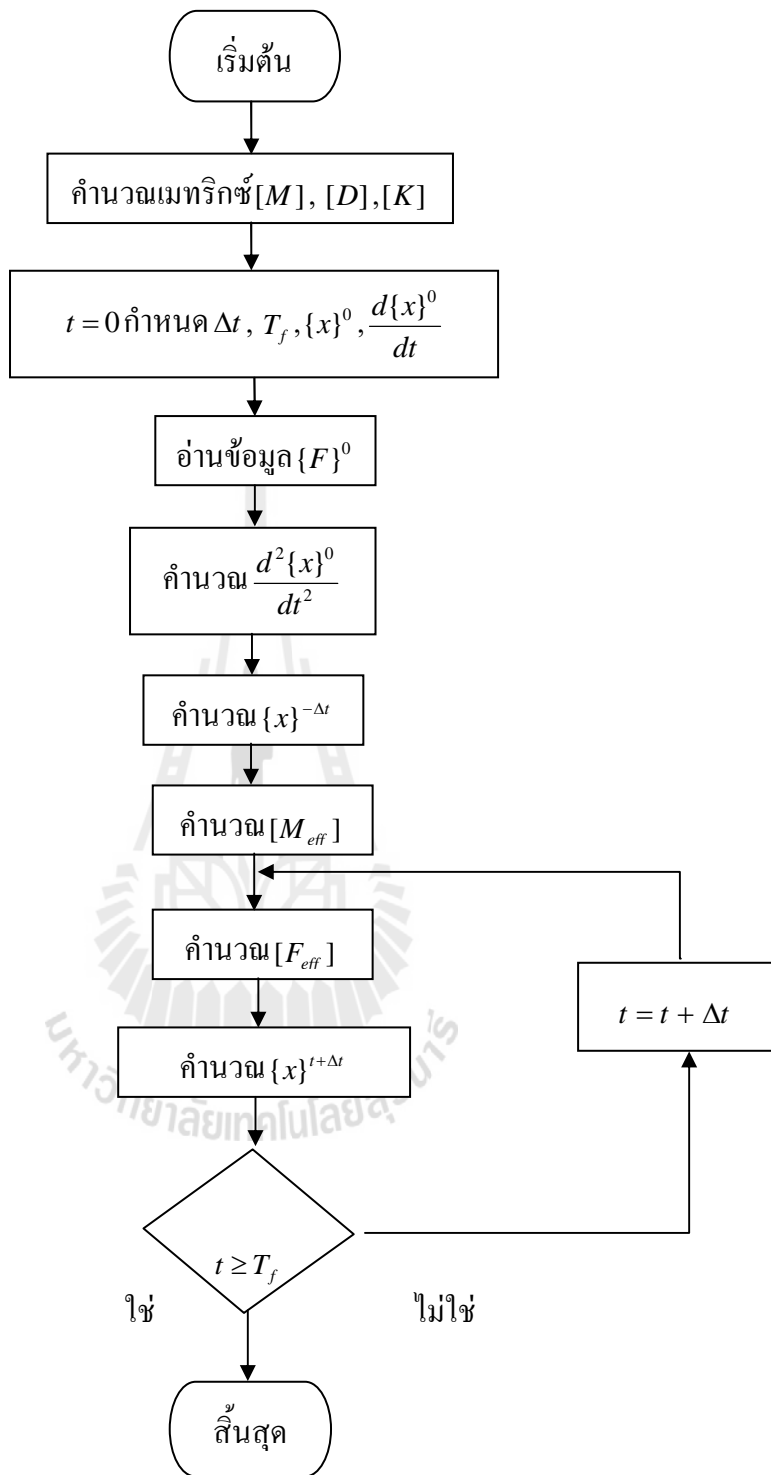
$$\{x\}^{-\Delta t} = \{x\}^0 - \Delta t \frac{\partial \{x\}^0}{\partial t} + \frac{\Delta t^2}{2} \frac{\partial^2 \{x\}^0}{\partial t^2} \quad (5.41)$$

ขั้นตอนที่ 5 : คำนวณเมทริกซ์มวลประสีทชิพล $[M_{eff}]$ โดยใช้สมการที่ (5.38)

ขั้นตอนที่ 6 : คำนวณเวกเตอร์แรงประสีทชิพล $\{F_{eff}\}$ โดยใช้สมการที่ (5.39)

ขั้นตอนที่ 7 : คำนวณค่าเวกเตอร์การกระชับที่เวลาถัดไป $\{x\}^{t+\Delta t}$ ในสมการที่ (5.37) จากนั้นที่เวลาถัดไป $t + \Delta t$ ดำเนินการทำซ้ำในขั้นตอนที่ 6-7 จนถึงเวลาสุด T_f

ขั้นตอนต่างๆ ที่ได้อธิบายผ่านมาอาจสรุปรวมในรูปของแผนภูมิได้ดังรูปที่ 5.4



รูปที่ 5.4 แผนภูมิการคำนวณการสั่นสะเทือนในมอเตอร์

5.4 สรุป

บทที่ 5 นี้ได้อธิบายการประยุกต์วิธีไฟน์ทอัลลิเมนต์เพื่อกำหนดขาดของ การสั่นสะเทือนของมอเตอร์เห็นได้ชัดเจนตามเฟสเมื่อโรเตอร์หมุนโดยพิจารณาในรูปแบบของฟังก์ชันการ กระจายซึ่งอาศัยสมการการเคลื่อนที่ในรูปของสมการอนุพันธ์สามัญอันดับสองรายละเอียดต่างๆ ใน บทนี้จะนำไปสู่การประดิษฐ์โปรแกรมไฟน์ทอัลลิเมนต์เพื่อใช้เป็นโปรแกรมจำลองผลการ สั่นสะเทือนที่จะได้กล่าวถึงในบทที่ 6 ต่อไป



บทที่ 6

โปรแกรมจำลองผลสนามแม่เหล็กและการสั่นสะเทือนของมอเตอร์เห็นี่ยวนำ

6.1 บทนำ

การจำลองผลเพื่อกำหนดหาค่าสนามแม่เหล็กและการสั่นสะเทือนของมอเตอร์เห็นี่ยวนำขนาดเล็กพิกัด 3 แรงม้า ในงานวิจัยนี้ได้ใช้คอมพิวเตอร์ Intel CORE™ i5 2.3 GHz, 4 GB SD-RAM สำหรับประมวลผลโดยได้ประดิษฐ์ไฟในท่ออลูминัมตื้นเป็นโปรแกรมคอมพิวเตอร์ที่พัฒนาขึ้นด้วยโปรแกรม MATLAB บันรากฐานของแบบจำลองทางคณิตศาสตร์ของสนามแม่เหล็ก และสมการการเคลื่อนที่ที่ถูกต้องโดยรับค่าอินพุตซึ่งเป็นคุณลักษณะของจุดต่อและอลูминัมจากการสร้างกริดอัตโนมัติโดยใช้โปรแกรมสำเร็จรูปชื่อ Solid Work การจำลองผลนี้มีวัตถุประสงค์เพื่อศึกษาถึงการกระจายตัวของฟลักซ์แม่เหล็กตามตำแหน่งต่างๆ ในแต่ละปริมาตรของมอเตอร์เมื่อไรเตอร์หมุนไปและวิเคราะห์ถึงขนาดของการสั่นสะเทือนในมอเตอร์ดังนั้นในบทที่ 6นี้จึงได้กล่าวถึงค่าพารามิเตอร์ต่างๆ ของมอเตอร์ที่ใช้ในการจำลองผลและอธิบายถึงโครงสร้างของโปรแกรมจำลองผลสนามแม่เหล็กและโปรแกรมคำนวณการสั่นสะเทือนในมอเตอร์

6.2 พารามิเตอร์ของมอเตอร์

การจำลองผลสนามแม่เหล็กและการสั่นสะเทือนของมอเตอร์ในบทนี้ได้พิจารณาขนาดเล็กพิกัด 3 แรงม้า โดยค่าพารามิเตอร์ต่างๆ ทั้งทางไฟฟ้าและทางกลของมอเตอร์ได้รับการรวบรวมไว้ในตารางที่ 6.1 ส่วนรายละเอียดและมิติต่างๆ ของมอเตอร์ ร่องสเตเตอร์และไรเตอร์ ได้แสดงไว้ในรูปที่ 6.1, 6.2, และ 6.3 ตามลำดับ

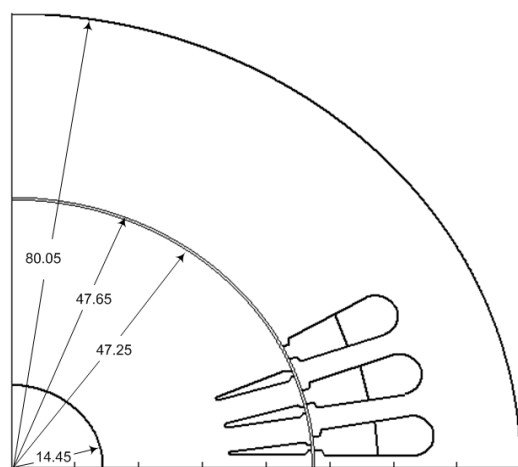
ตารางที่ 6.1 พารามิเตอร์ทางไฟฟ้าและทางกลของมอเตอร์เห็นี่ยวน้ำสามเฟสขนาด 3 แรงม้า

พารามิเตอร์	ค่า
กำลังงานขาออก	3 HP
แรงดันแหล่งจ่าย	380 V (ต่อแบบสตาร์)
จำนวนขั้ว	4 P
ความถี่แหล่งจ่าย	50 Hz
ความเร็วพิกัด	1455 rpm

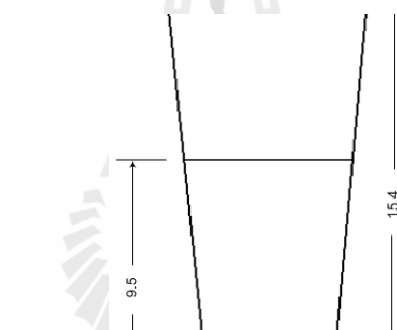
ตารางที่ 6.1 พารามิเตอร์ทางไฟฟ้าและทางกลของมอเตอร์เห็นี่ยวน้ำสามเฟสขนาด 3 แรงม้า (ต่อ)

พารามิเตอร์	ค่า
ความต้านทานของขดลวดสเตเตอร์	$1.11 \Omega/\phi$
ความต้านทานของขดลวดโรเตอร์	$0.47 \Omega/\phi$
รีแอคเคนซ์ของขดลวดสเตเตอร์	$1.05 \Omega/\phi$
รีแอคเคนซ์ของขดลวดโรเตอร์	$1.05 \Omega/\phi$
รีแอคเคนซ์ที่เกิดจากสนามแม่เหล็ก	$22.09 \Omega/\phi$
โฉมแม่ต์ความเรื้อรังของมอเตอร์	0.089 Kg.m^2
มอดุลัสของแกนสเตเตอร์	$1.2 \times 10^{11} \text{ N/m}^2$
มอดุลัสของเฟรม (อคูมิเนียม)	$7.1 \times 10^{10} \text{ N/m}^2$
ความหนาแน่นมวลของแกนสเตเตอร์	$7.8 \times 10^3 \text{ N/m}^3$
ความหนาแน่นมวลของเฟรม	$0.9 \times 10^3 \text{ N/m}^3$
อัตรส่วนของปั๊วของ	0.25
ชนิดการพันของขดลวดสเตเตอร์	แบบสองชั้น
จำนวนร่องของสเตเตอร์	36 ร่อง
จำนวนร่องของโรเตอร์	44 ร่อง
ความกว้างช่องอากาศ	0.4 mm
ระยะพิเศษ	7/9
จำนวนรอบการพัน/ขดลวด	15 รอบ
เส้นผ่าศูนย์กลางของขดลวดสเตเตอร์	1.8 mm
สภาพการนำไฟฟ้าของแท่งตัวนำโรเตอร์	$4.9 \times 10^7 \Omega^{-1}/\text{m}$
ความต้านทานของขดลวดสเตเตอร์	$1.11 \Omega/\phi$
ความต้านทานของขดลวดโรเตอร์	$0.47 \Omega/\phi$

หมายเหตุ แหล่งที่มาของพารามิเตอร์เหล่านี้ได้จากการรวบรวมข้อมูลจากหนังสือและบทความทางวิชาการจำนวนมากที่มีการดำเนินงานกับมอเตอร์ขนาดพิกัดใกล้เคียงกันกับงานวิจัยวิทยานิพนธ์นี้เพื่อให้ได้มาซึ่งค่าพารามิเตอร์ของมอเตอร์ที่สมบูรณ์และเพียงพอต่อการจำลองผล



รูปที่ 6.1 ภาคตัดส่วนหนึ่งของมอเตอร์เหนียวน้ำและมิติ (mm)



รูปที่ 6.2 ภาคตัดของร่องสแตเตอร์และมิติ (mm)

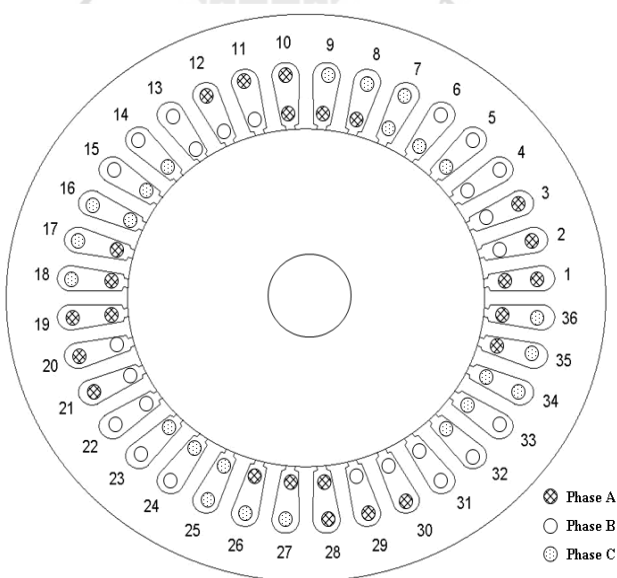


รูปที่ 6.3 ภาคตัดของร่องโรเตอร์และมิติ (mm)

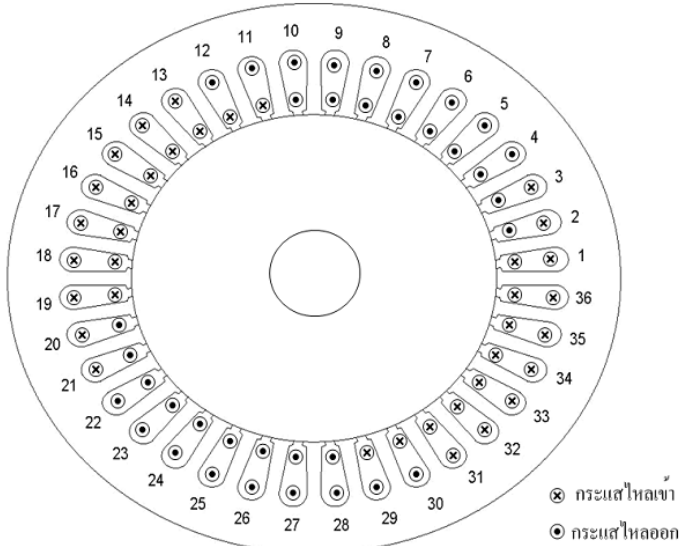
ลักษณะการพันของขดลวดสเตเตเตอร์ทั้งสามเฟส (A , B และ C) แสดงไว้ในรูปที่ 6.4 ซึ่งเป็นการพันแบบสองชั้น มีระยะพิต 7/9 ร่องกระแสในแต่ละเฟสที่ไอลอยู่ในขดลวดที่พันอยู่ในแต่ละร่องของสเตเตอร์เปลี่ยนแปลงเป็นฟังก์ชันของเวลาโดยจะขึ้นอยู่กับขนาดของเหล็กจ่ายและค่าพารามิเตอร์ของมอเตอร์เห็นได้ว่านามเมื่อทราบกระแส I ในแต่ละเฟสจึงสามารถคำนวณหาค่าความหนาแน่นของกระแสภายใน J_0 ที่ป้อนเป็นอินพุตให้แก่โปรแกรมไฟฟ้าในท่อคอมพิวเตอร์ได้ดังสมการที่ (6.1) โดยรายละเอียดการคำนวณค่าของกระแสที่จ่ายให้แก่มอเตอร์จะได้กล่าวถึงในหัวข้อถัดไป

$$J_0 = \frac{n \cdot I}{a_l} \quad (6.1)$$

เมื่อ n คือจำนวนรอบการพันของขดลวด และ a_l คือพื้นที่หน้าตัดของขดลวด โดยการป้อนค่า J_0 ให้แก่โปรแกรมจะต้องคำนึงถึงทิศทางการไอลของกระแสด้วยดังแสดงด้วยรูปที่ 6.5 ซึ่งเป็นการแสดงทิศทางการไอลของกระแสในแต่ละเฟส ณ เวลาขณะนี้กรณีที่พิจารณาอยู่ใน 2 มิติ (ระบบ xy) J_0 จะมีทิศทางวิงเข้าหรือวิงออกจากหน้ากระดาษ ซึ่งในการคำนวณจะกำหนดให้กระแสที่มีทิศทางวิงเข้ากระดาษมีเครื่องหมายบวก และกระแสที่มีทิศทางวิงออกจากกระดาษมีเครื่องหมายลบ สำหรับการคำนวณแล้วสามารถจัดได้โดยง่ายเพรากระแสในแต่ละจังหวะเวลาหนึ่งๆ จะประกอบด้วยค่ากระแสที่มีค่าเป็นบวก, ลบ และศูนย์ ดังนั้นในแต่ละจังหวะที่มอเตอร์หมุนจะมีทั้งกระแสไอลเข้า, ออก และ ไม่มีกระแสไอลตามลำดับ



รูปที่ 6.4 การพันขดลวดสเตเตอร์ของกระแสไฟ 3 เฟสใน 36 ร่อง



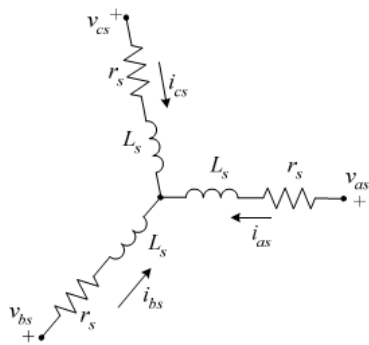
รูปที่ 6.5 ทิศทางการไล่ของกระเบื้องเวลาขั้วนิ่ง

6.3 การคำนวณกระเบื้องมอเตอร์เหนี่ยวนำ

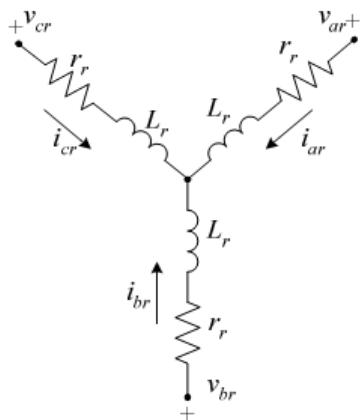
การคำนวณกระเบื้องมอเตอร์เหนี่ยวนำสามเฟสจะต้องอาศัยแบบจำลองทางคณิตศาสตร์ของมอเตอร์เพื่อศึกษาถึงพฤติกรรมทางไฟฟ้าและพฤติกรรมทางกลของมอเตอร์ดังรายละเอียดที่อธิบายต่อไปนี้ (Novotny and Lipo, 1996)

6.3.1 แบบจำลองทางไฟฟ้าของมอเตอร์เหนี่ยวนำ

ขาด漉ดสเตเตอร์ของมอเตอร์เหนี่ยวนำสามเฟสมีรูปแบบเป็นอินพีเดนซ์ (RL อนุกรม) ต่อแบบวายอินพีเดนซ์แต่ละกันเป็นลิ่งแทนแกนขาด漉ดสเตเตอร์และเป็นการต่ออินพีเดนซ์แบบสามเฟสสมดุลที่ให้ยกดอยู่กับที่ดังแสดงด้วยรูปที่ 6.6 ส่วนขาด漉ดโรเตอร์ดังแสดงด้วยรูปที่ 6.7 มีลักษณะคล้ายกับขาด漉ดสเตเตอร์ทุกประการ ยกเว้นแต่ไม่ได้ถูกยกดอยู่กับที่ จึงพิจารณาได้ว่าขาด漉ดโรเตอร์สามารถหมุนเคลื่อนที่ไปที่มุมต่างๆ



รูปที่ 6.6 ขดลวดสเตเตอร์ของมอเตอร์เหนี่ยวนำสามเฟส



รูปที่ 6.7 ขดลวดโรเตอร์ของมอเตอร์เหนี่ยวนำสามเฟส

โดยที่

v_{as}, v_{ar}	คือ แรงดันของเฟส <i>a</i> ของขดลวดสเตเตอร์และโรเตอร์ตามลำดับ (V)
v_{bs}, v_{br}	คือ แรงดันของเฟส <i>b</i> ของขดลวดสเตเตอร์และโรเตอร์ตามลำดับ (V)
v_{cs}, v_{cr}	คือ แรงดันของเฟส <i>c</i> ของขดลวดสเตเตอร์และโรเตอร์ตามลำดับ (V)
i_{as}, i_{ar}	คือ แรงดันของเฟส <i>a</i> ของขดลวดสเตเตอร์และโรเตอร์ตามลำดับ (A)
i_{bs}, i_{br}	คือ แรงดันของเฟส <i>b</i> ของขดลวดสเตเตอร์และโรเตอร์ตามลำดับ (A)
i_{cs}, i_{cr}	คือ แรงดันของเฟส <i>c</i> ของขดลวดสเตเตอร์และโรเตอร์ตามลำดับ (A)

เมื่อพิจารณาแบบจำลองทางไฟฟ้าของมอเตอร์เหนี่ยวนำโดยคิดเทียบมาทางด้านสเตเตอร์ เราอาจเขียนสมการแสดงความสัมพันธ์ทางไฟฟ้าในขดลวดสเตเตอร์ได้ดังนี้

$$\begin{bmatrix} v_{as} \\ v_{bs} \\ v_{cs} \end{bmatrix} = r_s \begin{bmatrix} i_{as} \\ i_{bs} \\ i_{cs} \end{bmatrix} + \frac{d}{dt} \begin{bmatrix} \lambda_{as} \\ \lambda_{bs} \\ \lambda_{cs} \end{bmatrix} \quad (6.2)$$

โดยที่ λ_{as} , λ_{bs} และ λ_{cs} คือฟลักซ์เชื่อมโยง (flux linkage) ที่ขดลวดสเตเตอเร่ในเฟส a, b และ c ตามลำดับ และเขียนแสดงฟลักซ์เชื่อมโยงดังกล่าวในรูปความสัมพันธ์กับกระแสต่างๆ ได้ว่า

$$\begin{bmatrix} \lambda_{as} \\ \lambda_{bs} \\ \lambda_{cs} \end{bmatrix} = \begin{bmatrix} L_s + L_{ms} & -\frac{1}{2}L_{ms} & -\frac{1}{2}L_{ms} \\ -\frac{1}{2}L_{ms} & L_s + L_{ms} & -\frac{1}{2}L_{ms} \\ -\frac{1}{2}L_{ms} & -\frac{1}{2}L_{ms} & L_s + L_{ms} \end{bmatrix} \cdot \begin{bmatrix} i_{as} \\ i_{bs} \\ i_{cs} \end{bmatrix} +$$

$$L_{ms} \begin{bmatrix} \cos(\theta_R) & \cos(\theta_R + \frac{2\pi}{3}) & \cos(\theta_R - \frac{2\pi}{3}) \\ \cos(\theta_R - \frac{2\pi}{3}) & \cos(\theta_R) & \cos(\theta_R + \frac{2\pi}{3}) \\ \cos(\theta_R + \frac{2\pi}{3}) & \cos(\theta_R - \frac{2\pi}{3}) & \cos(\theta_R) \end{bmatrix} \cdot \begin{bmatrix} i'_{ar} \\ i'_{br} \\ i'_{cr} \end{bmatrix}$$

โดย $L_{ms} = \frac{2}{3}L_m$ เมื่อ L_m คือค่าความหนืดยาน้ำที่เกิดจากสนามแม่เหล็ก, θ_R คือมุมของโรเตอร์คิดเทียบกับแกนของขดลวดสเตเตอเร่ที่เฟส a และ' เป็นสัญลักษณ์เพื่อสื่อให้ทราบว่าคิดเทียบมาทางด้านสเตเตอเร่แล้ว ในทำนองเดียวกัน ความสัมพันธ์ทางไฟฟ้าในขดลวดโรเตอร์ อาจเขียนแสดงได้ดังต่อไปนี้

$$\begin{bmatrix} v'_{ar} \\ v'_{br} \\ v'_{cr} \end{bmatrix} = r'_r \begin{bmatrix} i'_{ar} \\ i'_{br} \\ i'_{cr} \end{bmatrix} + \frac{d}{dt} \begin{bmatrix} \lambda'_{ar} \\ \lambda'_{br} \\ \lambda'_{cr} \end{bmatrix} \quad (6.3)$$

โดยที่

$$\begin{bmatrix} \lambda'_{ar} \\ \lambda'_{br} \\ \lambda'_{cr} \end{bmatrix} = \begin{bmatrix} L'_r + L_{ms} & -\frac{1}{2}L_{ms} & -\frac{1}{2}L_{ms} \\ -\frac{1}{2}L_{ms} & L'_r + L_{ms} & -\frac{1}{2}L_{ms} \\ -\frac{1}{2}L_{ms} & -\frac{1}{2}L_{ms} & L'_r + L_{ms} \end{bmatrix} \cdot \begin{bmatrix} i'_{ar} \\ i'_{br} \\ i'_{cr} \end{bmatrix} +$$

$$L_{ms} \begin{bmatrix} \cos(\theta_R) & \cos(\theta_R - \frac{2\pi}{3}) & \cos(\theta_R + \frac{2\pi}{3}) \\ \cos(\theta_R + \frac{2\pi}{3}) & \cos(\theta_R) & \cos(\theta_R - \frac{2\pi}{3}) \\ \cos(\theta_R - \frac{2\pi}{3}) & \cos(\theta_R + \frac{2\pi}{3}) & \cos(\theta_R) \end{bmatrix} \begin{bmatrix} i_{as} \\ i_{bs} \\ i_{cs} \end{bmatrix}$$

จากปริภูมิสถานะในสมการที่ (6.2) และ (6.3) จะเขียนให้อยู่ในรูปเมทริกซ์ได้ดังนี้

$$\frac{d}{dt}[i] = [G]^{-1}[H][i] + [G]^{-1}[v] \quad (6.4)$$

เมื่อ

$$[i] = [i_{as} \quad i_{bs} \quad i_{cs} \quad i'_{ar} \quad i'_{br} \quad i'_{cr}]^T$$

$$[v] = [v_{as} \quad v_{bs} \quad v_{cs} \quad v'_{ar} \quad v'_{br} \quad v'_{cr}]^T$$

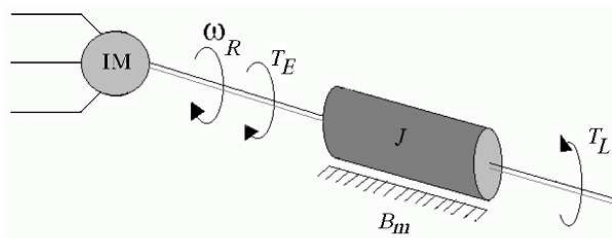
โดยที่

$$\begin{aligned}
[G] = & \begin{bmatrix} L_s + L_{ms} & -\frac{1}{2}L_{ms} & -\frac{1}{2}L_{ms} \\ -\frac{1}{2}L_{ms} & L_s + L_{ms} & -\frac{1}{2}L_{ms} \\ -\frac{1}{2}L_{ms} & -\frac{1}{2}L_{ms} & L_s + L_{ms} \\ L_{ms} \cos(\theta_R) & L_{ms} \cos\left(\theta_R - \frac{2\pi}{3}\right) & L_{ms} \cos\left(\theta_R + \frac{2\pi}{3}\right) \\ L_{ms} \cos\left(\theta_R + \frac{2\pi}{3}\right) & L_{ms} \cos(\theta_R) & L_{ms} \cos\left(\theta_R - \frac{2\pi}{3}\right) \\ L_{ms} \cos\left(\theta_R - \frac{2\pi}{3}\right) & L_{ms} \cos\left(\theta_R + \frac{2\pi}{3}\right) & L_{ms} \cos(\theta_R) \\ L_{ms} \cos(\theta_R) & L_{ms} \cos\left(\theta_R + \frac{2\pi}{3}\right) & L_{ms} \cos\left(\theta_R - \frac{2\pi}{3}\right) \\ L_{ms} \cos\left(\theta_R - \frac{2\pi}{3}\right) & L_{ms} \cos(\theta_R) & L_{ms} \cos\left(\theta_R + \frac{2\pi}{3}\right) \\ L_{ms} \cos\left(\theta_R + \frac{2\pi}{3}\right) & L_{ms} \cos\left(\theta_R - \frac{2\pi}{3}\right) & L_{ms} \cos(\theta_R) \\ L'_r + L_{ms} & -\frac{1}{2}L_{ms} & -\frac{1}{2}L_{ms} \\ -\frac{1}{2}L_{ms} & L'_r + L_{ms} & -\frac{1}{2}L_{ms} \\ -\frac{1}{2}L_{ms} & -\frac{1}{2}L_{ms} & L'_r + L_{ms} \end{bmatrix} \\
[H] = & \begin{bmatrix} -r_s & 0 & 0 \\ 0 & -r_s & 0 \\ 0 & 0 & -r_s \\ \omega_R L_{ms} \sin(\theta_R) & \omega_R L_{ms} \sin\left(\theta_R - \frac{2\pi}{3}\right) & \omega_R L_{ms} \sin\left(\theta_R + \frac{2\pi}{3}\right) \\ \omega_R L_{ms} \sin\left(\theta_R + \frac{2\pi}{3}\right) & \omega_R L_{ms} \sin(\theta_R) & \omega_R L_{ms} \sin\left(\theta_R - \frac{2\pi}{3}\right) \\ \omega_R L_{ms} \sin\left(\theta_R - \frac{2\pi}{3}\right) & \omega_R L_{ms} \sin\left(\theta_R + \frac{2\pi}{3}\right) & \omega_R L_{ms} \sin(\theta_R) \\ \omega_R L_{ms} \sin(\theta_R) & \omega_R L_{ms} \sin\left(\theta_R + \frac{2\pi}{3}\right) & \omega_R L_{ms} \sin\left(\theta_R - \frac{2\pi}{3}\right) \\ \omega_R L_{ms} \sin\left(\theta_R - \frac{2\pi}{3}\right) & \omega_R L_{ms} \sin(\theta_R) & \omega_R L_{ms} \sin\left(\theta_R + \frac{2\pi}{3}\right) \\ \omega_R L_{ms} \sin\left(\theta_R + \frac{2\pi}{3}\right) & \omega_R L_{ms} \sin\left(\theta_R - \frac{2\pi}{3}\right) & \omega_R L_{ms} \sin(\theta_R) \\ -r'_r & 0 & 0 \\ 0 & -r'_r & 0 \\ 0 & 0 & -r'_r \end{bmatrix}
\end{aligned}$$

ในงานวิจัยนี้ได้พิจารณาของเตอร์เหนี่ยวนำชนิดโรเตอร์กรุงกระอก ซึ่งปลายทั้งสองด้านของแท่งตัวนำจะถูกกลัดวงจรไว้ดังนั้นเทอม v'_{ar} , v'_{br} , และ v'_{cr} จะมีค่าเป็นศูนย์

6.3.2 แบบจำลองทางกลของมอเตอร์เหนี่ยวนำ

แบบจำลองทางกลของมอเตอร์เหนี่ยวนำสามเฟส เมื่อมอเตอร์ขับโหลดสามารถแสดงได้ดังรูปที่ 6.8



รูปที่ 6.8 แบบจำลองทางกลของมอเตอร์เหนี่ยวนำ

โดยที่

- ω_R คือ ความเร็วชิงมุมของโรเตอร์ (rad/sec)
- J คือ โมเมนต์ความเร็วของมอเตอร์ (Kg.m^2)
- B_m คือ สัมประสิทธิ์ความเสียดทานเชิงความหนาดของมอเตอร์ (N.m/rad/sec)
- T_E คือ แรงบิดที่มอเตอร์สร้างขึ้น (N.m)
- T_L คือ แรงบิดของโหลด (N.m)

สมการการเคลื่อนที่ของโรเตอร์อาจเขียนแสดงได้ดังนี้

$$\frac{d\omega_R}{dt} = \frac{P}{2J} T_E - \frac{B_m}{J} \omega_R - \frac{P}{2J} T_L \quad (6.5)$$

เมื่อ

$$T_E = \frac{3}{2} \frac{P}{2} L_m \cdot \text{Im} \left\{ i'_{abcr} i_{abcs} e^{-j\theta_R} \right\}$$

โดยที่

$$i_{abcs} = i_{as} + ai_{bs} + a^2 i_{cs}$$

$$i'_{abcr} = i'_{ar} + ai'_{br} + a^2 i'_{cr}$$

$$a = e^{-j\theta_R}$$

ซึ่ง P คือจำนวนขั้วแม่เหล็กของมอเตอร์ และ Im คือพจน์ของจำนวนจินตภาพ และ

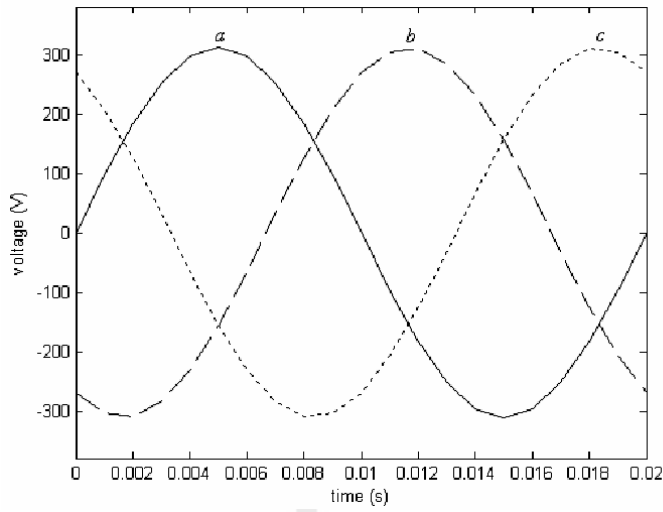
$$\frac{d\theta_R}{dt} = \omega_R \quad (6.6)$$

จากสมการที่(6.5) และ(6.6) จะเขียนให้อยู่ในรูปเมทริกซ์ได้ดังนี้

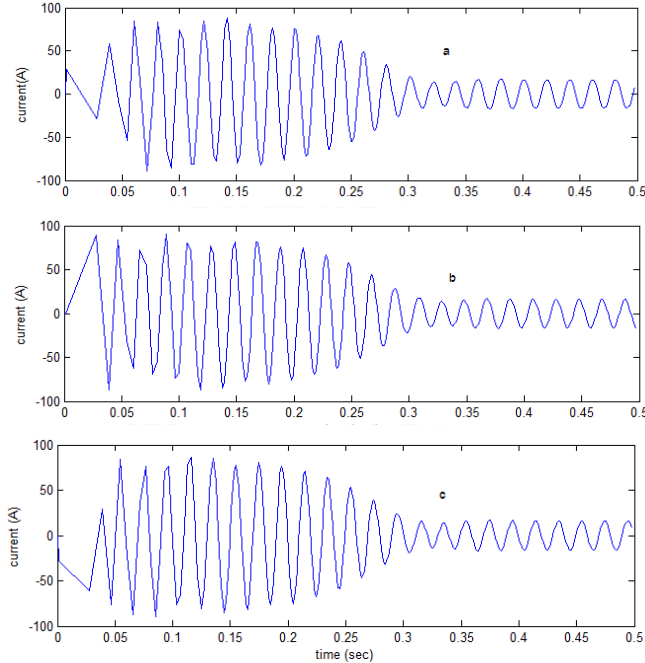
$$\begin{bmatrix} \frac{d\omega_R}{dt} \\ \frac{d\theta_R}{dt} \end{bmatrix} = \begin{bmatrix} -B_m \\ j \\ 1 \end{bmatrix} \begin{bmatrix} \omega_R \\ \theta_R \end{bmatrix} + \begin{bmatrix} P \\ 2J \\ 0 \end{bmatrix} [T_E - T_L] \quad (6.7)$$

6.3.3 การคำนวณกระแสของมอเตอร์เหนี่ยวนำสามเฟส

การคำนวณกระแสในแต่ละเฟสจะต้องอาศัยความสัมพันธ์ของสมการแบบจำลองของมอเตอร์ทั้งทางไฟฟ้าและทางกลดังสมการที่ (6.4) และ (6.7) ข้างต้นเมื่อป้อนแรงดันไฟฟ้ากระแสตรงสามเฟสดังแสดงในรูปที่ 6.9 ประกอบกับค่าพารามิเตอร์ต่างๆดังปรากฏในตารางที่ 6.1 จะได้ผลลัพธ์ของกระแสในแต่ละเฟสดังแสดงในรูปที่ 6.10 ซึ่งผลลัพธ์ที่ได้จะเป็นกระแสที่ใช้ในการคำนวณหาค่า J_0 ดังได้กล่าวไว้ข้างต้น

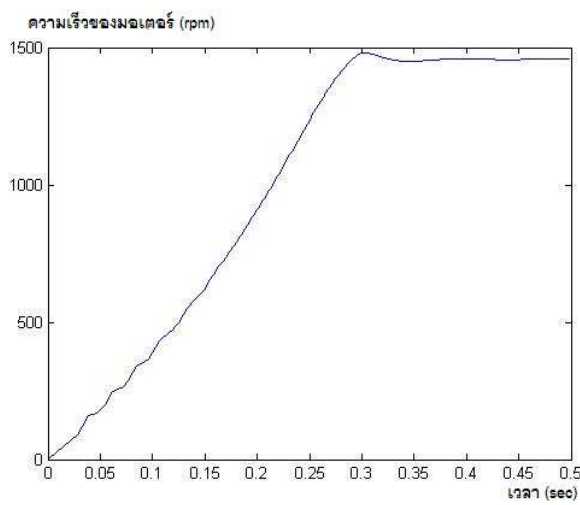


รูปที่ 6.9 รูปคลื่นแรงดันไฟฟ้าแต่ละเฟสที่จ่ายให้มอเตอร์

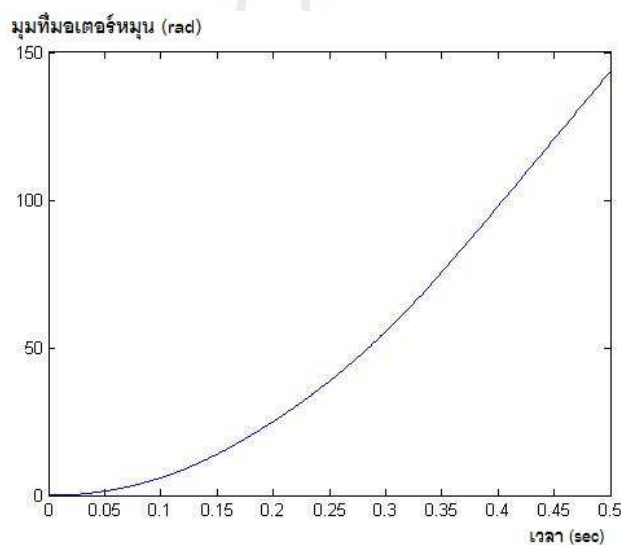


รูปที่ 6.10 รูปคลื่นกระแสไฟฟ้าแต่ละเฟสที่จ่ายให้มอเตอร์

จากสมการที่ (6.4) ผลลัพธ์ที่ได้จากการคำนวณออกจากค่า I_a , I_b และ I_c ที่เปลี่ยนแปลงตามเวลา แล้วขึ้นอยู่กับความเร็วของมอเตอร์ (N_r) และมุมที่มอเตอร์หมุน (θ) เปลี่ยนแปลงตามเวลาดังแสดงในรูปที่ 6.11 และรูปที่ 6.12 ตามลำดับ



รูปที่ 6.11 กราฟความเร็วรอบเปลี่ยนแปลงตามเวลาที่ได้จากการคำนวณ



รูปที่ 6.12 กราฟมุมที่มอเตอร์หมุนเปลี่ยนแปลงตามเวลาที่ได้จากการคำนวณ

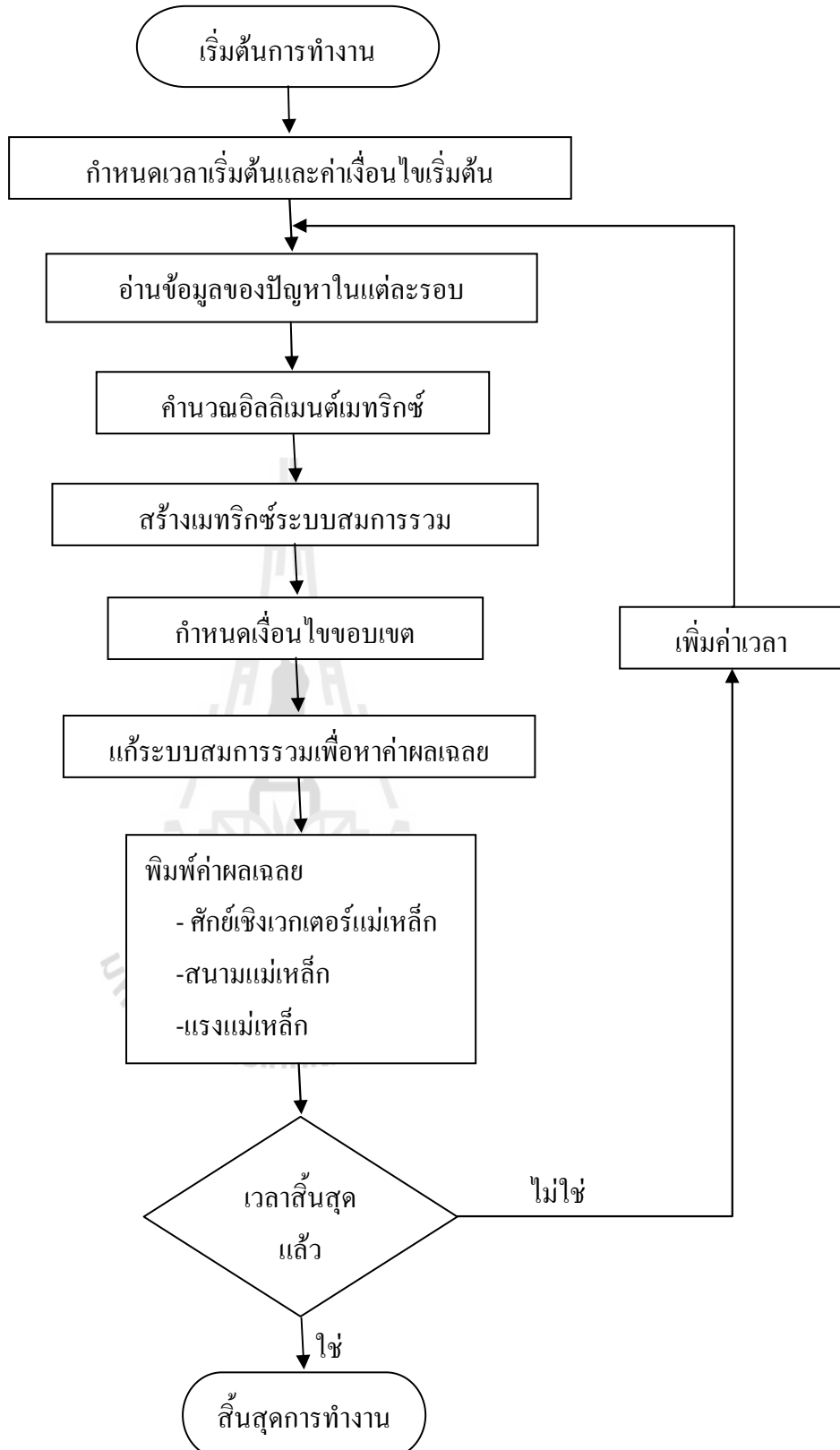
จากรูปที่ 6.11 ค่าความเร็วรอบจะมีค่าเป็นศูนย์ที่เวลาเริ่มต้นและจะมีค่าเพิ่มขึ้นอย่างรวดเร็วและคงที่ที่เวลาประมาณ 0.3 วินาที ด้วยค่าความเร็วรอบประมาณ 1455 rpm หรือคำนวนเป็นอัตราเร็วเชิงมุมได้จาก $\omega_r = N(2\pi)/60$ ซึ่งจะมีค่าอัตราเร็วเชิงมุมเท่ากับ 152.43 rad/sec จะเห็นได้ว่ามีค่าความเร็วรอบที่ได้จากการคำนวณใกล้เคียงกับค่าความเร็วพิกัดของมอเตอร์ซึ่งมีความเร็วพิกัดเท่ากับ 1455 rpm

6.4 โครงสร้างของโปรแกรมจำลองผล

โปรแกรมจำลองผลเพื่อศึกษาถึงการกระจายตัวของสนามแม่เหล็กและโปรแกรมจำลองผลเพื่อศึกษาถึงการสั่นสะเทือนของมอเตอร์เหนี่ยวนำเกิดจากการประดิษฐ์ไฟไนท์อิลิเมนต์ขึ้น เป็นโปรแกรมคอมพิวเตอร์ที่พัฒนาขึ้นด้วย MATLAB โดยกริดที่สร้างขึ้นเพื่อกำกับคุณลักษณะของจุดต่อและอิลิเมนต์ที่ป้อนให้แก่โปรแกรมไฟไนท์อิลิเมนต์เกิดจากการสร้างกริดโดยโปรแกรมสำเร็จรูปชื่อSolid Workซึ่งรายละเอียดของโปรแกรมดังกล่าวสามารถแสดงได้ดังนี้

6.4.1 โปรแกรมคำนวณสนามแม่เหล็ก

การคำนวณสนามแม่เหล็กของมอเตอร์เหนี่ยวนำสำหรับโรเตอร์หมุนเมื่อคำนึงถึงการเปลี่ยนแปลงตามเวลาค่อนข้างคำนวณได้ยากแต่ปัจจุบันคอมพิวเตอร์มีสมรรถนะสูงและมีหน่วยความจำขนาดใหญ่ จึงสามารถคำนวณสนามแม่เหล็กด้วยวิธีไฟไนท์อิลิเมนต์ได้ง่ายและรวดเร็วขึ้น โปรแกรมสำเร็จรูปสำหรับคำนวณค่าสนามแม่เหล็กที่ใช้กันอยู่ทั่วไปมีราคาแพง ประมาณผลข้าและไม่มีความคล่องตัวเมื่อพิจารณาถึงกรณีที่โรเตอร์หมุนดังนั้นงานวิจัยวิทยานิพนธ์นี้จึงประดิษฐ์ไฟไนท์อิลิเมนต์ขึ้นเป็นโปรแกรมคอมพิวเตอร์ที่พัฒนาขึ้นด้วย MATLAB เพื่อคำนวณค่าสนามแม่เหล็กของมอเตอร์เหนี่ยวนำ สำหรับโครงสร้างของโปรแกรมคำนวณ สนามแม่เหล็กอาจแทนได้ด้วยแผนภูมิในรูปที่ 6.13



รูปที่ 6.13 แผนภูมิแสดงการทำงานของโปรแกรมคำนวณสนามแม่เหล็ก

จากแผนภูมิในรูปที่ 6.13 ซึ่งแสดงโครงสร้างโปรแกรมจำลองผลของระบบโดยรวมเพื่อให้เกิดความเข้าใจถึงหน้าที่ของโปรแกรมแต่ละส่วนจะได้อธิบายถึงรายละเอียดหน้าที่ต่างๆ เป็นขั้นตอนดังต่อไปนี้

ขั้นตอนที่ 1 กำหนดเวลาเริ่มต้นและค่าเงื่อนไขเริ่มต้น: โปรแกรมจะเริ่มทำงานด้วยการกำหนดค่าเวลาเริ่มต้น $t = 0$ สำหรับการคำนวณในรอบแรกซึ่งจำนวนรอบหรือเวลาสิ้นสุดของ การคำนวณจะขึ้นอยู่กับจำนวนหรือเวลาที่ใช้ในการหมุนไปที่มุมต่างๆ ของมอเตอร์ โดยมีอุ่นอเตอร์หมุนไปลักษณะของอิลลิเมนต์และจุดต่อจะเปลี่ยนตามมุมที่หมุนไปด้วยโดยโปรแกรมยังมีหน้าที่ในการกำหนดค่าเงื่อนไขเริ่มต้นโดยงานวิจัยนี้มีค่าเงื่อนไขเริ่มต้นในรอบแรกคือการให้ค่าศักย์เชิงเวกเตอร์แม่เหล็กเป็นศูนย์ $A(t=0) = 0$ ส่วนการหมุนรอบถัดไปจะใช้คำตอบจากการอ่านมาเป็นค่าเงื่อนไขเริ่มต้นทั้งนี้เพื่อให้การถูกลากเข้าหากำตอบที่ถูกต้องคำนึงการได้รับเร็ว

ขั้นตอนที่ 2 อ่านข้อมูลของปัญหาในแต่ละรอบ: จากนั้นโปรแกรมจะรับค่าข้อมูลอินพุตซึ่งแสดงถึงลักษณะของอิลลิเมนต์และจุดต่อจากเอกสารพื้นที่ที่เกิดจากการสร้างกริดของโปรแกรมสำเร็จรูปชื่อ Solid Work ที่ซึ่งรายละเอียดในไฟล์ประกอบด้วยจำนวนและตำแหน่งของจุดต่อหมายเลขอุบัติที่ประกอบขึ้นเป็นอิลลิเมนต์จำนวนและหมายเลขอุลลิเมนต์เป็นต้น

ขั้นตอนที่ 3 คำนวณอิลลิเมนต์เมทริกซ์: ขั้นตอนนี้โปรแกรมจะใช้การคำนวณอิลลิเมนต์เมทริกซ์รูปทรงสี่เหลี่ยมสี่จุดต่อของทุกๆ อิลลิเมนต์ดังแสดงด้วยสมการที่ (4.41) จากบทที่ผ่านมาหรือนำมาแสดงใหม่ในบทที่ดังสมการที่ (6.8) โดยที่ $\{A\}_{4 \times 1}^{t+\Delta t}$ คือเวกเตอร์คำตอบของสมการที่ทำการคำนวณในแต่ละรอบ

$$\left(\frac{1}{\Delta t} [M]_{4 \times 4} + [K]_{4 \times 4} \right) \{A\}_{4 \times 1}^{t+\Delta t} = \frac{1}{\Delta t} [M]_{4 \times 4} \{A\}_{4 \times 1}^t + \{F\}_{4 \times 1}^{t+\Delta t} \quad (6.8)$$

สมการที่ (6.8) นี้จะต้องอาศัยความสัมพันธ์ของอิลลิเมนต์เมทริกซ์การนำทางไฟฟ้า $[M]_{4 \times 4}$ ดังแสดงด้วยสมการที่ (4.30) หรือนำมาแสดงใหม่ดังสมการที่ (6.9) อิลลิเมนต์เมทริกซ์ความชาบชีมได้ขึ้นแม่เหล็ก $[K]_{4 \times 4}$ ดังแสดงด้วยสมการที่ (4.34) หรือนำมาแสดงใหม่ดังสมการที่ (6.10) และโหลดเวกเตอร์กระแสที่ผลิตขึ้นเอง $\{F\}_{4 \times 1}^{t+\Delta t}$ ซึ่งยกกำลัง $t + \Delta t$ หมายถึงโหลดเวกเตอร์กระแสที่ผลิตขึ้นเองเวลาเดียวกันที่ต้องการคำนวณหากำตอบ ดังแสดงด้วยสมการที่ (4.37) หรือนำมาแสดงใหม่ดังสมการที่ (6.11) เมทริกซ์เหล่านี้จะถูกคำนวณทีละอิลลิเมนต์เพื่อนำไปสร้างเป็นระบบเมทริกซ์สมการรวม

$$[M]_{4 \times 4} = \frac{s\sigma V}{20} \begin{bmatrix} 2 & 1 & 1 & 1 \\ 1 & 2 & 1 & 1 \\ 1 & 1 & 2 & 1 \\ 1 & 1 & 1 & 2 \end{bmatrix} \quad (6.9)$$

$$[K]_{4 \times 4} = \frac{1}{36\mu V} \begin{bmatrix} b_1b_1 + c_1c_1 + d_1d_1 & b_1b_2 + c_1c_2 + d_1d_2 & b_1b_3 + c_1c_3 + d_1d_3 & b_1b_4 + c_1c_4 + d_1d_4 \\ b_2b_1 + c_2c_1 + d_2d_1 & b_2b_2 + c_2c_2 + d_2d_2 & b_2b_3 + c_2c_3 + d_2d_3 & b_2b_4 + c_2c_4 + d_2d_4 \\ b_3b_1 + c_3c_1 + d_3d_1 & b_3b_2 + c_3c_2 + d_3d_2 & b_3b_3 + c_3c_3 + d_3d_3 & b_3b_4 + c_3c_4 + d_3d_4 \\ b_4b_1 + c_4c_1 + d_4d_1 & b_4b_2 + c_4c_2 + d_4d_2 & b_4b_3 + c_4c_3 + d_4d_3 & b_4b_4 + c_4c_4 + d_4d_4 \end{bmatrix} \quad (6.10)$$

$$\{F\}_{4 \times 1} = \frac{\mathbf{J}_0 V}{4} \begin{bmatrix} 1 \\ 1 \\ 1 \\ 1 \end{bmatrix} \quad (6.11)$$

ขั้นตอนที่ 4 สร้างเมทริกซ์ระบบสมการรวม: โปรแกรมจะทำหน้าที่รวมอิลลิเมนต์ เมทริกซ์บ่อยๆ ที่คำนวณจากโปรแกรมบ่อย TRI เข้าเป็นเมทริกซ์ใหญ่ของระบบสมการรวมดังแสดงด้วยสมการที่ (4.42) หรือนำมาราดงไว้ดังสมการที่ (6.12) โดยมีหลักการคือหาหมายเลขจุดคู่ที่แท้จริงของอิลลิเมนต์ที่พิจารณาอยู่แล้วใส่ค่าสัมประสิทธิ์ของอิลลิเมนต์เมทริกซ์นั้นลงในเมทริกซ์ใหญ่ของระบบสมการรวมให้ถูกต้องดังแสดงรายละเอียดอยู่ในหัวข้อที่ 3.4 ของบทที่ 3 ซึ่งหากแบ่งลักษณะของปัญหาออกเป็นอิลลิเมนต์บ่อย n จุดต่อจึงก่อให้เกิดระบบสมการรวมซึ่งประกอบด้วยสมการบ่อยหังส์ n สมการ

$$[J]_{n \times n} [A]_{n \times 1} = [f]_{n \times 1} \quad (6.12)$$

ขั้นตอนที่ 5 กำหนดเงื่อนไขขอบเขต: โปรแกรมจะทำหน้าที่ประยุกต์เงื่อนไขขอบเขตก่อนทำการแก้ระบบสมการรวม โดยมีหลักการคือดัดแปลงระบบสมการรวมตามสมการที่ (6.12) ให้สอดคล้องกับค่าเงื่อนไขขอบเขตโดยงานวิจัยนี้จะกำหนดค่าเงื่อนไขขอบเขตให้คงในที่ติดกับเพลาและขอบอกของมอเตอร์มีค่าศักย์เชิงเวกเตอร์แม่เหล็กเป็นศูนย์ ($A = 0$)

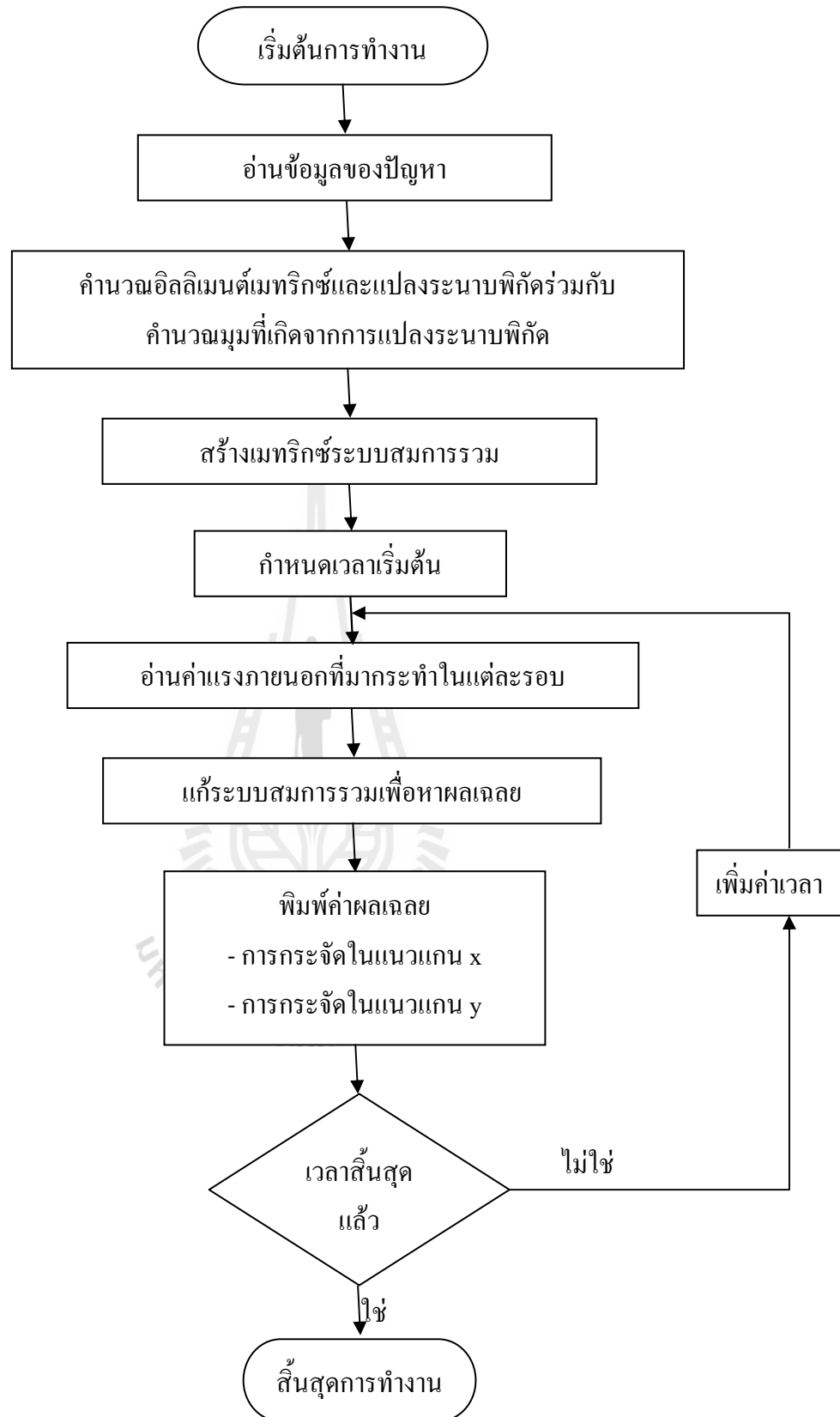
ขั้นตอนที่ 6 แก้ระบบสมการรวมเพื่อหาค่าผลเฉลย: โปรแกรมจะทำหน้าที่แก้สมการเชิงเส้นดังสมการที่ (6.12) เพื่อหาค่าผลเฉลยของระบบสมการรวม

ขั้นตอนที่ 7 พิมพ์ค่าผลเฉลย: จากนั้นโปรแกรมจะพิมพ์ค่าผลเฉลยออกมายืนกราฟแสดงขนาดซึ่งจะประกอบด้วยค่าศักย์เชิงเวกเตอร์แม่เหล็กค่าสนามแม่เหล็กและแรงแม่เหล็ก

ขั้นตอนที่ 8 เวลาสิ้นสุดแล้ว: ขั้นตอนนี้โปรแกรมจะพิจารณาถึงการคำนวณค่าในรอบถัดไป ถ้าหากเวลาที่กำหนดในการคำนวณยังไม่สิ้นสุด โปรแกรมก็จะย้อนกลับไปที่ขั้นตอนที่ 2 อ่านข้อมูลของปัญหาในแต่ละรอบ และกระทำซ้ำตามขั้นตอนที่ 2 ถึงขั้นตอนที่ 8 ดังเดิม แต่ถ้าหากสิ้นสุดเวลาที่กำหนดให้โปรแกรมก็จะหยุดการคำนวณ เป็นอันจบการทำงานของโปรแกรม

6.4.2 โปรแกรมคำนวณการสั่นสะเทือน

การคำนวณขนาดของการสั่นสะเทือนสำหรับมอเตอร์เห็นได้ชัดเจน โดยตัวอย่างที่แสดงอยู่ในรูปของการกระจัดที่ผิดเพี้ยนไปจากฐานปร่างดึงเดิมของมอเตอร์ก่อนที่จะไม่มีแรงกดดันจากกระทำค่อนข้างดำเนินการได้ยากเนื่องจากผลลัพธ์ของการกระจัดอย่างละเอียดที่ครอบคลุมตลอดทั้งพื้นที่หน้าตัดของมอเตอร์ต้องอาศัยการคำนวณที่มีความซับซ้อนสูงปัจจุบันคอมพิวเตอร์มีสมรรถนะสูงและมีหน่วยความจำขนาดใหญ่จึงสามารถคำนวณการสั่นสะเทือนของมอเตอร์ในทุกๆ ตำแหน่งด้วยวิธีไฟฟ้าในท่ออลิมิเนตต์ได้ดังนั้นงานวิจัยที่หานินพนธ์นี้จึงประดิษฐ์ไฟฟ้าในท่ออลิมิเนตต์ขึ้นเป็นโปรแกรมคอมพิวเตอร์ที่พัฒนาขึ้นด้วย MATLAB เพื่อคำนวณขนาดของการสั่นสะเทือนของมอเตอร์เห็นได้ชัดเจน สำหรับการคำนวณการสั่นสะเทือนสามารถแทนได้ด้วยแผนภูมิดังรูปที่ 6.14



รูปที่ 6.14 แผนภูมิแสดงการทำงานของโปรแกรมคำนวณการสั่นสะเทือน

จากแผนภูมิดังรูปที่ 6.14อาจเข้าใจได้ถึงลำดับการทำงานของโปรแกรมโดยโปรแกรมจะทำงานเป็นขั้นตอนและมีหน้าที่ต่างกันไปซึ่งจะอธิบายการทำงานของโปรแกรมได้ดังต่อไปนี้

ขั้นตอนที่ 1 อ่านข้อมูลของปัญหา: ขั้นตอนนี้โปรแกรมทำหน้าที่รับค่าข้อมูลต่างๆ ได้แก่จำนวนและตำแหน่งของจุดต่อหมายเลขอของจุดต่อที่ประกอบขึ้นเป็นอลิมิเนตจำนวนและหมายเลขอของอลิมิเนตและค่าพารามิเตอร์ทางวัสดุต่างๆ เช่น แกนสเตเตอร์และโครงสร้างของโมเตอร์เป็นต้นดังแสดงด้วยรูปที่ 5.1 ในบทที่ 5 ซึ่งเป็นข้อมูลอินพุตที่เรียกใช้ตอนเริ่มต้นของโปรแกรมเพียงครั้งเดียวเนื่องจากเมื่อพิจารณาการสั่นสะเทือนจะพิจารณาในส่วนของแกนสเตเตอร์ และโครงสร้างเท่านั้นซึ่งจะไม่ปรากฏการเปลี่ยนแปลงพิกัดใดๆ เลยก็เมื่อโอดอร์หมุนไป

ขั้นตอนที่ 2 คำนวณอลิมิเนตเมทริกซ์และแปลงระนาบพิกัดร่วมกับคำนวณมุมที่เกิดจากการแปลงระนาบพิกัด : จากนั้นโปรแกรมจะคำนวณอลิมิเนตเมทริกซ์รูปทรงสี่เหลี่ยมต่อของทุกๆ อลิมิเนตโดยมีสมการ \tilde{M} ให้เป็น M ตามที่แสดงได้ด้วยสมการที่ (5.1) จากบทที่ผ่านมาหรือนำมาแสดงใหม่ในบทที่ 6.13

$$[M]_{12 \times 12} \frac{\partial^2 \{x\}_{12 \times 1}}{\partial t^2} + [D]_{12 \times 12} \frac{\partial \{x\}_{12 \times 1}}{\partial t} + [K]_{12 \times 12} \{x\}_{12 \times 1} = \{F\}_{12 \times 1} \quad (6.13)$$

สมการที่ (6.13) นี้จะต้องอาศัยความสัมพันธ์ของอลิมิเนตเมทริกซ์มวล $[M]_{12 \times 12}$ ดังแสดงด้วยสมการที่ (5.32) หรือนำมาแสดงใหม่ดังสมการที่ (6.14) อลิมิเนตเมทริกซ์ความแข็งของสปริง $[K]_{12 \times 12}$ ดังแสดงด้วยสมการที่ (5.18) หรือนำมาแสดงใหม่ดังสมการที่ (6.15) โดยจะไม่พิจารณาถึงอลิมิเนตเมทริกซ์ความหน่วง $[D]_{12 \times 12}$

$$[M] = [R]^T [\tilde{M}] [R] \quad (6.14)$$

$$[K] = [R]^T [\tilde{K}] [R] \quad (6.15)$$

โดยที่เมทริกซ์ $[R]$ คือค่าที่ใช้สำหรับถ่ายโอนจากระนาบพิกัดเฉพาะถิ่นสู่ระนาบพิกัดวงกว้างดังแสดงด้วยสมการที่ (5.19) ของบทที่ 5 หรือนำมาแสดงใหม่ดังสมการที่ (6.16) ส่วน $[\tilde{M}]$ และ $[\tilde{K}]$ คือเมทริกซ์มวลและเมทริกซ์ความแข็งของสปริงในระนาบพิกัดเฉพาะถิ่นดังแสดงด้วยสมการที่ (5.31) และ (5.17) ของบทที่ 5 ตามลำดับ หรือนำมาแสดงใหม่ดังสมการที่ (6.17) และสมการที่ (6.18) ตามลำดับ ซึ่งโดยโปรแกรมจะทำหน้าที่ในการแปลงระนาบพิกัดวงกว้างไปเป็นระนาบพิกัด

เฉพาะถิ่นและแปลงกลับไปเป็นระบบพิกัดวงกว้างตามเดิมเพื่อนำไปสร้างเป็นระบบเมตริกซ์สมการรวม

$$[\tilde{M}] = \frac{\rho V_e}{20} \begin{bmatrix} 2 & 0 & 0 & 1 & 0 & 0 & 1 & 0 & 0 & 1 & 0 & 0 \\ 0 & 2 & 0 & 0 & 1 & 0 & 0 & 1 & 0 & 0 & 1 & 0 \\ 0 & 0 & 2 & 0 & 0 & 1 & 0 & 0 & 1 & 0 & 0 & 1 \\ 1 & 0 & 0 & 2 & 0 & 0 & 1 & 0 & 0 & 1 & 0 & 0 \\ 0 & 1 & 0 & 0 & 2 & 0 & 0 & 1 & 0 & 0 & 1 & 0 \\ 0 & 0 & 1 & 0 & 0 & 2 & 0 & 0 & 1 & 0 & 0 & 1 \\ 1 & 0 & 0 & 1 & 0 & 0 & 2 & 0 & 0 & 1 & 0 & 0 \\ 0 & 1 & 0 & 0 & 1 & 0 & 0 & 2 & 0 & 0 & 1 & 0 \\ 0 & 0 & 1 & 0 & 0 & 1 & 0 & 0 & 2 & 0 & 0 & 1 \\ 1 & 0 & 0 & 1 & 0 & 0 & 1 & 0 & 0 & 2 & 0 & 0 \\ 0 & 1 & 0 & 0 & 1 & 0 & 0 & 1 & 0 & 0 & 2 & 0 \\ 0 & 0 & 1 & 0 & 0 & 1 & 0 & 0 & 1 & 0 & 0 & 2 \end{bmatrix} \quad (6.17)$$

$$[\tilde{K}] = [\tilde{B}]^T [\tilde{D}] [\tilde{B}] V \quad (6.18)$$

สำหรับรายละเอียดต่างๆ ในสมการที่ (6.16), (6.17) และ (6.18) สามารถศึกษาได้จากหัวข้อ 5.2.2 พึงก์ชันการประมาณภายในและสมการของอัลกิเมนต์ในบทที่ 5

ขั้นตอนที่ 3 สร้างแมทริกซ์ระบบสมการรวม: จากนี้โปรแกรมจะทำหน้าที่รวมอัลกิเมนต์เมทริกซ์อย่างที่คำนวณจากได้จากโปรแกรมเข้าเป็นแมทริกซ์ใหญ่ของระบบสมการรวมดังแสดงด้วยสมการที่ (5.33) หรือนำมาแสดงใหม่ดังสมการที่ (6.19) โดยหากแบ่งลักษณะของปัญหาออกเป็นอัลกิเมนต์ย่อย n จุดต่อจึงก่อให้เกิดระบบสมการรวมสำหรับการเคลื่อนที่ของระบบซึ่งประกอบด้วยสมการบอยทิงส์ 3n สมการทั้งนี้เนื่องจากพิจารณาการกระจัดทั้งแนวแกน x y และ z

$$[M]_{3n \times 3n} \frac{\partial^2 \{x\}_{3n \times 1}}{\partial t^2} + [D]_{3n \times 3n} \frac{\partial \{x\}_{3n \times 1}}{\partial t} + [K]_{3n \times 3n} \{x\}_{3n \times 1} = \{F\}_{3n \times 1} \quad (6.19)$$

ขั้นตอนที่ 4 กำหนดเวลาเริ่มต้น : จากนี้โปรแกรมจะกำหนดแรงเริ่มต้น $F(t=0)=0$ และทำการคำนวณค่าผลลัพธ์ของการกระจัดทั้งแนวแกน x y และ z ซึ่งจะเป็นค่าเริ่มต้นในการคำนวณต่อไป

ขั้นตอนที่ 5 อ่านค่าแรงงานนอกที่มากระทำในแต่ละรอบ: โปรแกรมจะรับแรงที่ได้จากการคำนวณในเวลาเดียวกันกับที่จะคำนวณการสั่นในรอบนั้นๆ

ขั้นตอนที่ 6 แก้ระบบสมการรวมเพื่อหาผลเฉลย: จากนั้นโปรแกรมจะทำหน้าที่แก้สมการการเคลื่อนที่ในรูปของสมการสามัญอันดับสองเพื่อหาค่าผลเฉลยของระบบสมการรวมดังสมการที่ (6.19) โดยเลือกใช้วิธีผลต่างกaltung ดังที่ได้กล่าวไว้ในหัวข้อที่ 5.3 ในบทที่ 5 การแก้ระบบสมการเชิงเส้นตามสมการที่ (5.37), (5.38) และ (5.39) หรือนำมาแสดงใหม่ดังสมการที่ (6.20), (6.21) และ (6.22) ตามลำดับ

$$[M_{\text{eff}}] \{x\}^{t+\Delta t} = \{F_{\text{eff}}\} \quad (6.20)$$

โดยที่

$$[M_{\text{eff}}] = \left[\frac{1}{\Delta t^2} [M] + \frac{1}{2\Delta t} [D] \right] \quad (6.21)$$

$$\{F_{\text{eff}}\} = \{F\}^t - \left[[K] - \frac{2}{\Delta t^2} [M] \right] \{x\}^t - \left[\frac{1}{\Delta t^2} [M] - \frac{1}{2\Delta t} [D] \right] \{x\}^{t-\Delta t} \quad (6.22)$$

ขั้นตอนที่ 7 พิมพ์ค่าผลเฉลย : จากนั้นจะพิมพ์ค่าผลเฉลยที่ต้องการออกมารชีงประกอบด้วยค่าการกระจัดในแนวแกน x y และ z ที่เปลี่ยนแปลงไปจากตำแหน่งเดิมของทุกๆ จุด ต่อ

ขั้นตอนที่ 8 เวลาสิ้นสุดแล้ว: ขั้นตอนนี้โปรแกรมจะพิจารณาถึงการคำนวณค่าในรอบถัดไป ถ้าหากเวลาที่กำหนดในการคำนวณยังไม่สิ้นสุดโปรแกรมก็จะซ่อนกลับไปที่ขั้นตอนที่ 5 อ่านค่าแรงงานอกที่มากระทำในแต่ละรอบและกระทำซ้ำตามขั้นตอนที่ 5 ถึงขั้นตอนที่ 8 ถึงเดิม แต่ถ้าหากสิ้นสุดเวลาที่กำหนดให้โปรแกรมก็จะหยุดการคำนวณ เป็นอันจบการทำงานของโปรแกรม

6.5 สรุป

การวิเคราะห์สนามแม่เหล็กและการสั่นสะเทือนของมอเตอร์เนี้ยวนำเมื่อพิจารณาปัญหาในสถานะชั่วครู่ค่อนข้างดำเนินการได้ยากและมีความซับซ้อนการทำความเข้าใจอย่างละเอียดและลึกซึ้งต่อค่าสนามแม่เหล็กและขนาดของการสั่นสะเทือนที่เปลี่ยนไปในขณะที่มอเตอร์หมุนจึงยากเกินกว่าที่จะนึกหรือจินตนาการได้เป็นเหตุให้ต้องพึงพาเทคนิคการจำลองผลกระทบด้วยคอมพิวเตอร์ดังที่บันทึกไว้ในโปรแกรมจำลองผลสนามแม่เหล็กและการสั่นสะเทือนใน

บทนี้ได้รับการพัฒนาขึ้นด้วย MATLAB โดยมีโครงสร้างของโปรแกรมจำลองผลสนามแม่เหล็ก และโปรแกรมจำลองผลการสั่นสะเทือนดังที่อธิบายด้วยแผนภูมิในรูปที่ 6.13 และ 6.14 ตามลำดับ โปรแกรมดังกล่าวจะรับค่าอินพุตซึ่งแสดงตำแหน่งของอลิเมนต์และจุดต่อจากโปรแกรมสำเร็จรูป ชื่อ Solid Work และจะส่งค่าผลลัพธ์ที่ได้ให้โปรแกรม MATLAB เพื่อการคำนวณและแสดงผลในรูปกราฟฟิก



บทที่ 7

ผลการจำลองสนา�แม่เหล็กและการสั่นสะเทือนของมอเตอร์เหนี่ยวนำเมื่อพิจารณาร่องโรเตอร์เนียง

7.1 บทนำ

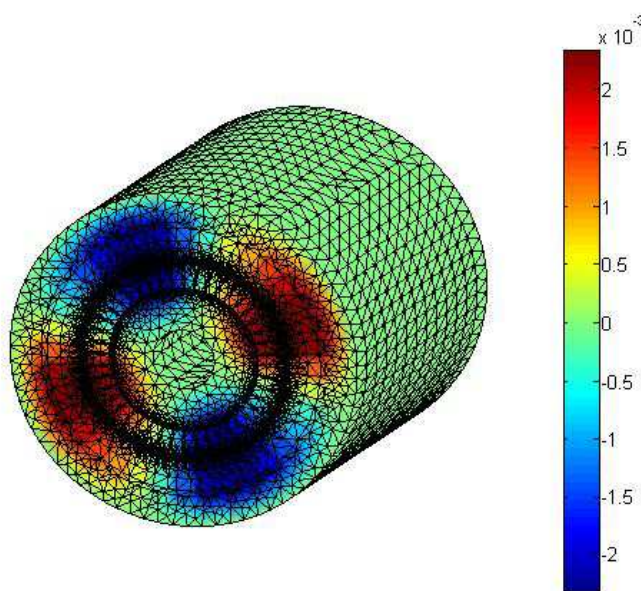
ในบทที่ผ่านๆ มาของงานวิจัยวิทยานิพนธ์นี้ได้อธิบายถึงทฤษฎีต่างๆ ของมอเตอร์เหนี่ยวนำสามเฟสตลอดจนวิธีการคำนวณสนา�แม่เหล็กและการคำนวณการสั่นสะเทือนของมอเตอร์ สำหรับในบทที่ 7 นี้ มีวัตถุประสงค์เพื่อจำลองผลการคำนวณสนา�แม่เหล็กและการคำนวณการสั่นสะเทือนของมอเตอร์เหนี่ยวนำ จากบทที่ผ่านมาพร้อมทั้งอภิปรายผลการจำลองในกรอบความรู้ที่ศึกษาจากการวิจัยที่เคยมีผู้ได้ศึกษาก่อนหน้านี้ ตลอดจนเปรียบเทียบผลการคำนวณการสั่นสะเทือนเมื่อพิจารณาร่องโรเตอร์แบบร่องตรงและร่องโรเตอร์แบบเนียง สำหรับงานวิจัยวิทยานิพนธ์นี้ ได้แบ่งการพิจารณาลักษณะร่องโรเตอร์ออกเป็น 3 แบบ ได้แก่ 1) ร่องโรเตอร์แบบร่องตรง, 2) ร่องโรเตอร์แบบเนียงครึ่งร่อง, และ 3) ร่องโรเตอร์แบบเนียงเต็มร่อง

7.2 ผลการจำลองสนา�แม่เหล็กและอภิปรายผล

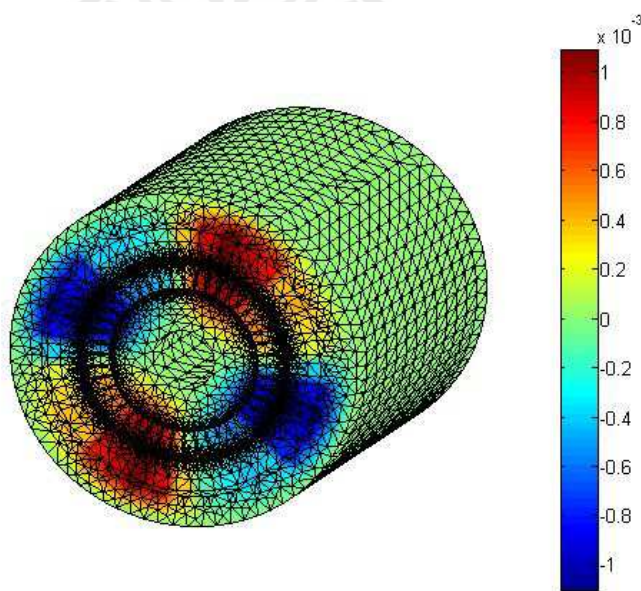
จากทฤษฎีในบทที่ 3 จะทราบได้ว่าการคำนวณการสั่นสะเทือนของมอเตอร์เหนี่ยวนำนั้น จะต้องคำนวณค่าศักย์เชิงเวกเตอร์แม่เหล็กที่กระจายตัวตามปริมาตรของมอเตอร์ก่อน จากนั้นจึงคำนวณค่าสนา�แม่เหล็กซึ่งถือว่าเป็นอิทธิพลหลักที่ก่อให้เกิดแรงสั่นสะเทือนของมอเตอร์ ซึ่งในท้ายข้อต่อไปนี้จะได้นำเสนอผลการคำนวณค่าศักย์เชิงเวกเตอร์แม่เหล็กและค่าสนา�แม่เหล็กพร้อมทั้งอภิปรายผลการจำลอง

7.2.1 ผลการจำลองสนา�แม่เหล็กเมื่อพิจารณาร่องโรเตอร์แบบร่องตรง

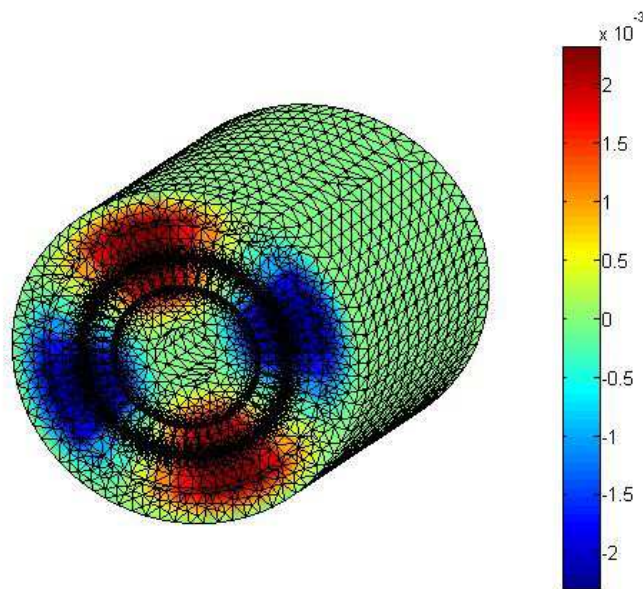
การจำลองผลการกระจายตัวของศักย์เชิงเวกเตอร์แม่เหล็กตลอดปริมาตรของมอเตอร์เมื่อมอเตอร์หมุนด้วยอัตราเร็วคงที่ ด้วยมุมต่างๆ ที่โรเตอร์หมุนใน 360 องศา ดังแสดงด้วยรูปที่ 7.1 - 7.12 แสดงถึงการกระจายตัวของศักย์เชิงเวกเตอร์แม่เหล็กเริ่มตั้งแต่มุม 0 องศา ถึง 359.9992 องศา โดยแต่ละรูปโรเตอร์หมุนในทิศทางทวนเข็มนาฬิกาต่างกันด้วยมุมที่ละ 32.7272 องศา



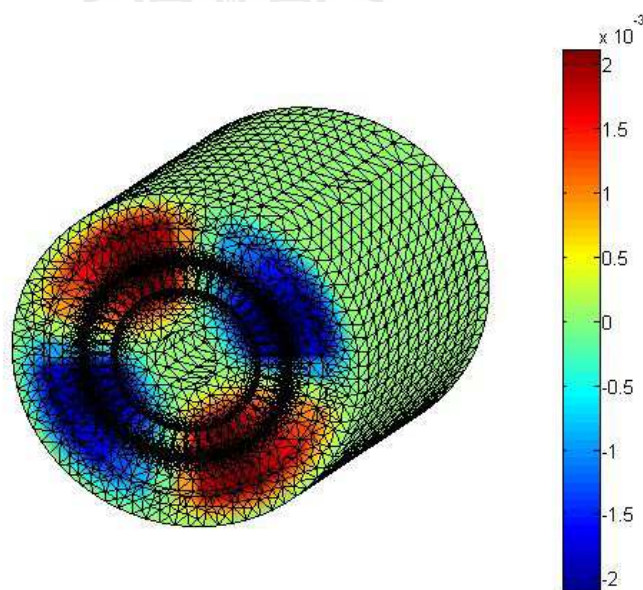
รูปที่ 7.1 การกระจายตัวศักย์เชิงเวกเตอร์แม่เหล็ก (Wb/m) เมื่อพิจารณาร่องโรเตอร์แบบร่องตรงเมื่อโรเตอร์หมุนไปเป็นมุม 0 องศา



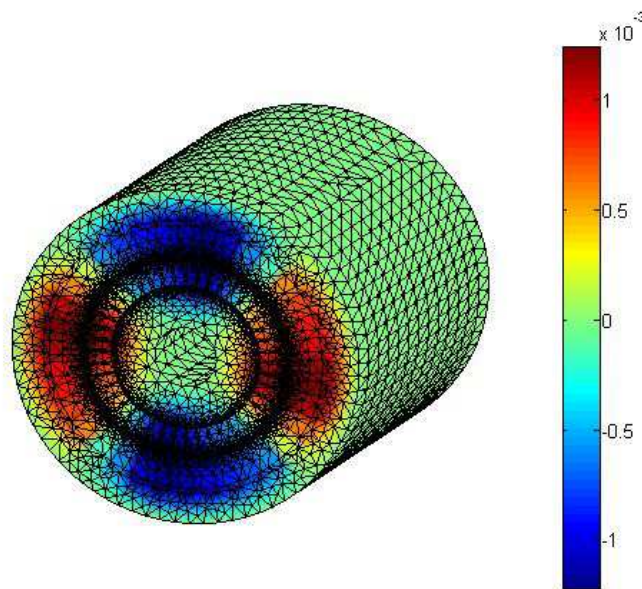
รูปที่ 7.2 การกระจายตัวศักย์เชิงเวกเตอร์แม่เหล็ก (Wb/m) เมื่อพิจารณาร่องโรเตอร์แบบร่องตรงเมื่อโรเตอร์หมุนไปเป็นมุม 32.7272 องศา



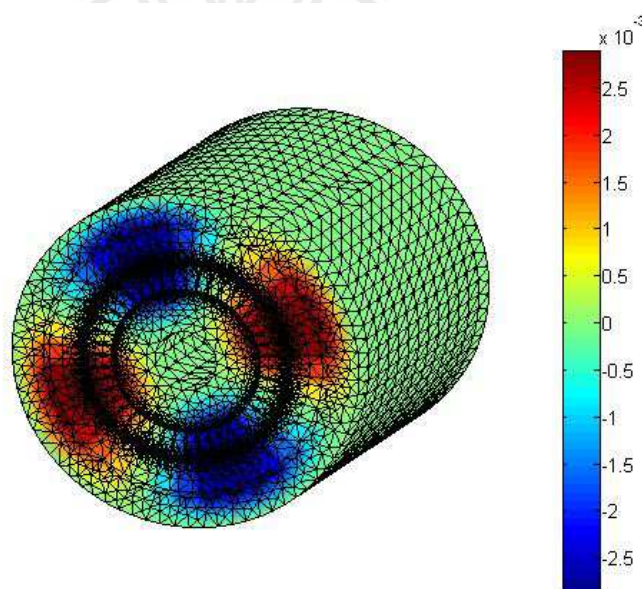
รูปที่ 7.3 การกระจายตัวสักย์เชิงเวกเตอร์แม่เหล็ก (Wb/m) เมื่อพิจารณาองโเรเตอร์แบบร่องตรงเมื่อโรเตอร์หมุนไปเป็นมุม 65.4544 องศา



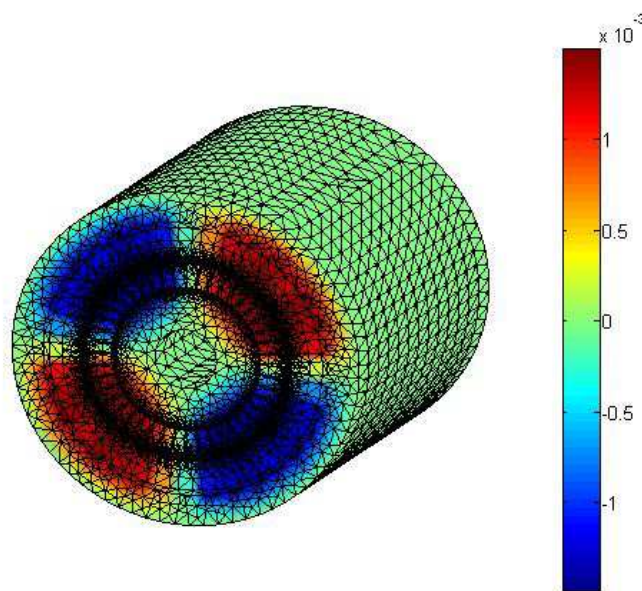
รูปที่ 7.4 การกระจายตัวสักย์เชิงเวกเตอร์แม่เหล็ก (Wb/m) เมื่อพิจารณาองโเรเตอร์แบบร่องตรงเมื่อโรเตอร์หมุนไปเป็นมุม 98.1816 องศา



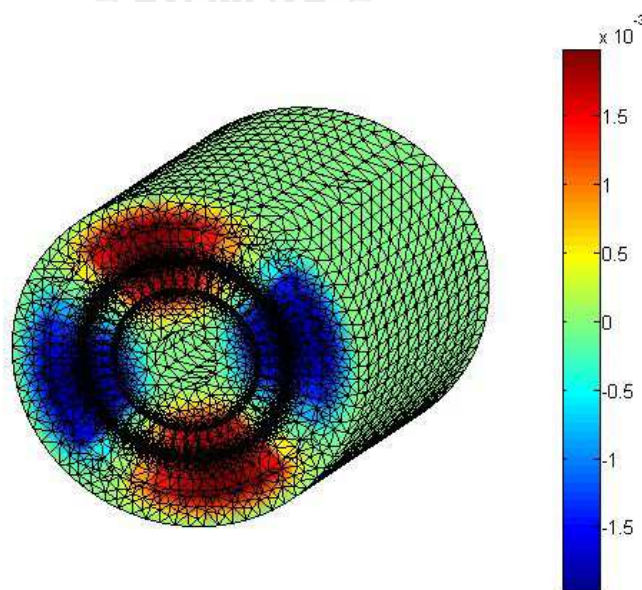
รูปที่ 7.5 การกระจายตัวศักย์เชิงเวกเตอร์แม่เหล็ก (Wb/m) เมื่อพิจารณาร่องโรเตอร์แบบร่องตรง เมื่อโรเตอร์หมุนไปเป็นมุม 130.9088 องศา



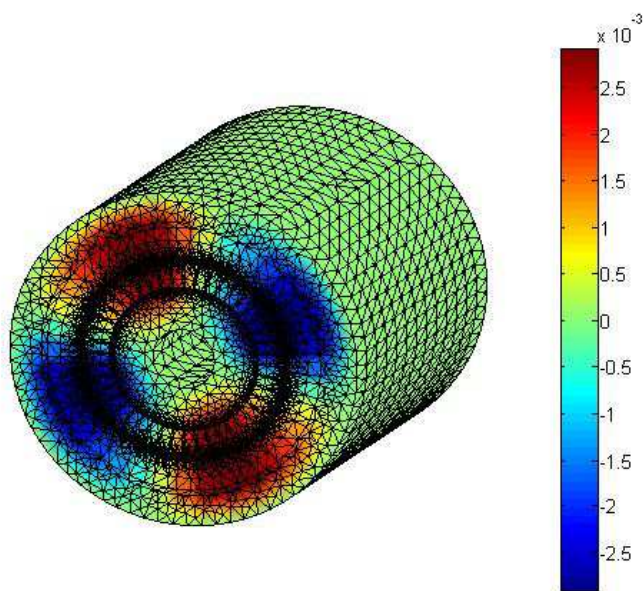
รูปที่ 7.6 การกระจายตัวศักย์เชิงเวกเตอร์แม่เหล็ก (Wb/m) เมื่อพิจารณาร่องโรเตอร์แบบร่องตรง เมื่อโรเตอร์หมุนไปเป็นมุม 163.6360 องศา



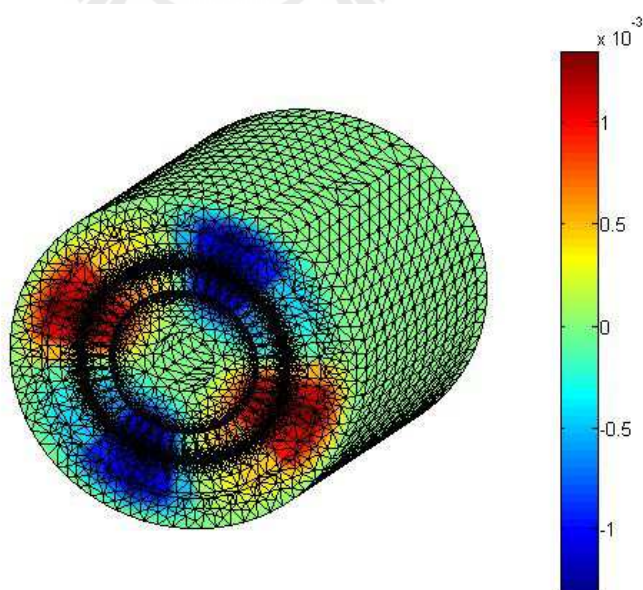
รูปที่ 7.7 การกระจายตัวศักย์เชิงเวกเตอร์แม่เหล็ก (Wb/m) เมื่อพิจารณาร่องโรเตอร์แบบร่องตรงเมื่อโรเตอร์หมุนไปเป็นมุม 196.3632 องศา



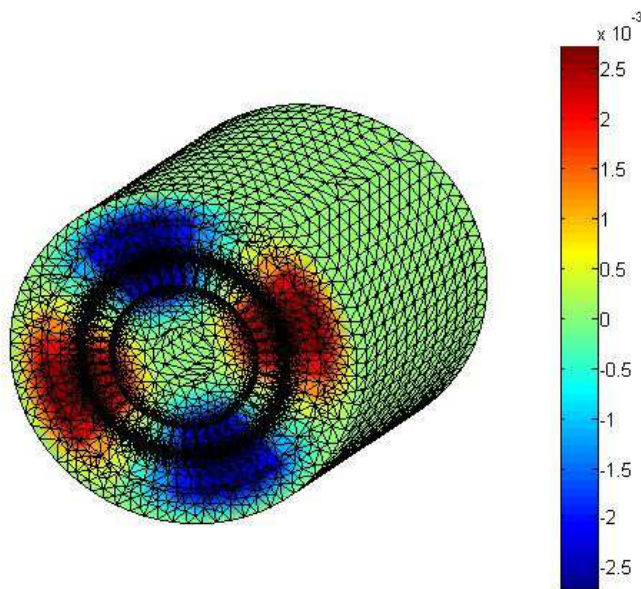
รูปที่ 7.8 การกระจายตัวศักย์เชิงเวกเตอร์แม่เหล็ก (Wb/m) เมื่อพิจารณาร่องโรเตอร์แบบร่องตรงเมื่อโรเตอร์หมุนไปเป็นมุม 229.0904 องศา



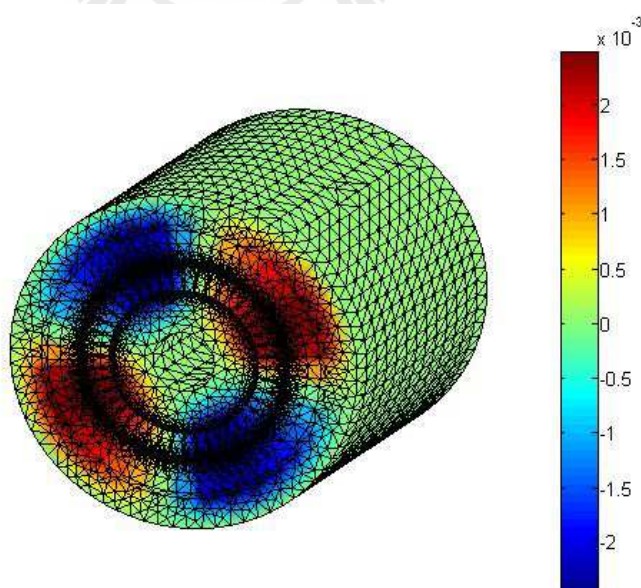
รูปที่ 7.9 การกระจายตัวศักย์เชิงเวกเตอร์แม่เหล็ก (Wb/m) เมื่อพิจารณาร่องโรเตอร์แบบร่องตรงเมื่อโรเตอร์หมุนไปเป็นมุม 261.8176 องศา



รูปที่ 7.10 การกระจายตัวศักย์เชิงเวกเตอร์แม่เหล็ก (Wb/m) เมื่อพิจารณาร่องโรเตอร์แบบร่องตรงเมื่อโรเตอร์หมุนไปเป็นมุม 294.5448 องศา



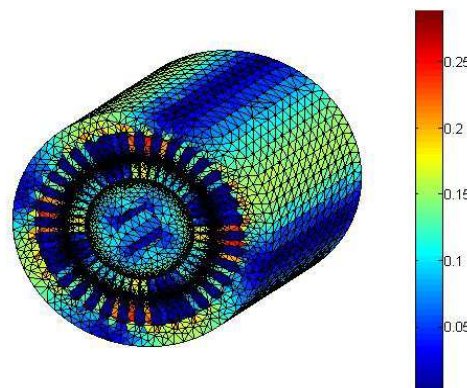
รูปที่ 7.11 การกระจายตัวศักย์เชิงเวกเตอร์แม่เหล็ก (Wb/m) เมื่อพิจารณาเรื่อง โกรเตอร์แบบร่องตรง เมื่อ โกรเตอร์หมุนไปเป็นมุม 327.2720 องศา



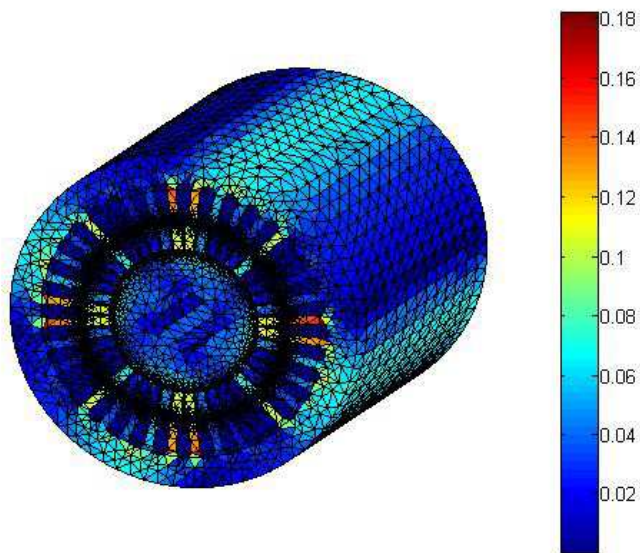
รูปที่ 7.12 การกระจายตัวศักย์เชิงเวกเตอร์แม่เหล็ก (Wb/m) เมื่อพิจารณาเรื่อง โกรเตอร์แบบร่องตรง เมื่อ โกรเตอร์หมุนไปเป็นมุม 359.9992 องศา

จากรูปที่ 7.1 - 7.12 จะสังเกตเห็นว่า ทางเดินของศักย์เชิงเวกเตอร์แม่เหล็กที่กระจายตัวอยู่บนพื้นที่หน้าตัดของมอเตอร์ เมื่อพิจารณาตามอเตอร์หมุนในสถานะอยู่ตัวและมีโหลดเต็มพิกัดปรากฏให้เห็นถึงจำนวนขั้วแม่เหล็ก N (สีแดง) และ S (สีน้ำเงิน) สลับกันไปจำนวน 4 ขั้ว เท่ากับจำนวนขั้วของมอเตอร์ที่ใช้ในการจำลองผลอย่างเด่นชัด ซึ่งพิจารณาควบคู่กับค่าแอบสีทางด้านขวาเมื่อมีทั้งค่าบวกและค่าลบ โดยค่าบวกที่มีขนาดสูงสุดจะแทนได้ด้วยสีแดงเข้ม และค่าลบที่มีขนาดสูงสุดจะแทนด้วยสีน้ำเงินเข้ม ดังแสดงอยู่ในรูปที่ 7.1 - 7.12 ซึ่งจากรูปจะสังเกตเห็นศักย์เชิงเวกเตอร์แม่เหล็กแบ่งออกเป็น 2 แบบสีหลักๆ คือ แดงและน้ำเงินสลับกันไป 4 กลุ่ม ซึ่งจำนวนกลุ่มนี้เปรียบเสมือนจำนวนขั้วแม่เหล็ก โดยกลุ่มสีแดงหมายถึงขั้ว N ซึ่งมีทิศทางของศักย์เชิงเวกเตอร์แม่เหล็ก A มีทิศผุ่งเข้าหาหน้ากระดาษ ส่วนกลุ่มน้ำเงินหมายถึงขั้ว S ซึ่งมีทิศทางของ A ผุ่งออกจากหน้ากระดาษ โดยศักย์เชิงเวกเตอร์แม่เหล็กจะเริ่มขึ้นทางเดินเมื่อโรเตอร์หมุนผ่านไปประมาณ 180° (ในกรณีที่พิจารณาในสภาวะไร้โหลดจะมีค่าเท่ากับ 180° พอดี (Ishibashi, Noda, and Mochizuki, 1998)) และศักย์เชิงเวกเตอร์แม่เหล็กจะแสดงพฤติกรรมที่เรียกว่าสนามแม่เหล็กหมุนโดยมีทิศทางการหมุนทวนเข็มนาฬิกาไปในทิศทางเดียวกับการหมุนของโรเตอร์ที่ใช้ในการจำลองผล

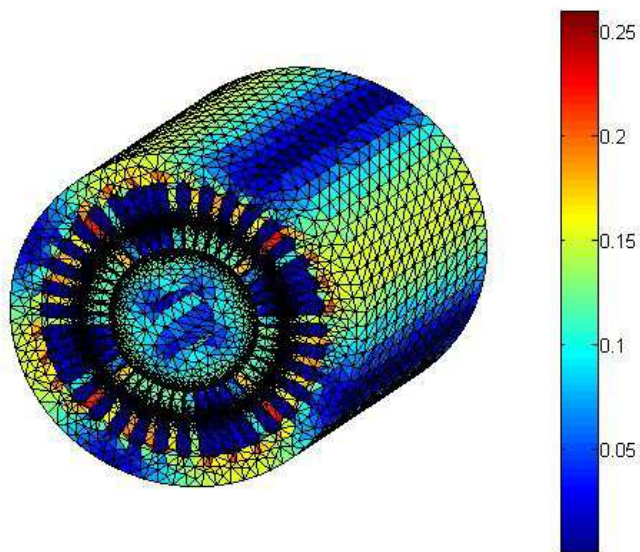
เมื่อทราบค่าศักย์เชิงเวกเตอร์แม่เหล็กที่สามารถนำไปคำนวณค่าสนามแม่เหล็กได้ การคำนวณค่าสนามแม่เหล็กของมอเตอร์นั้นสามารถกระทำได้ด้วยการเครื่องศักย์เชิงเวกเตอร์แม่เหล็ก ดังได้กล่าวมาแล้วในบทที่ 3 รูปที่ 7.13 - 7.24 แสดงการกระจายตัวของสนามแม่เหล็ก ตามปริมาตรของมอเตอร์เหนี่ยวนำเมื่อโรเตอร์หมุนไปจากมุม 0 องศา ถึง 359.9992 องศา โดยโรเตอร์หมุนในทิศทางทวนเข็มนาฬิกาด้วยมุมต่างกัน 32.7272 องศา



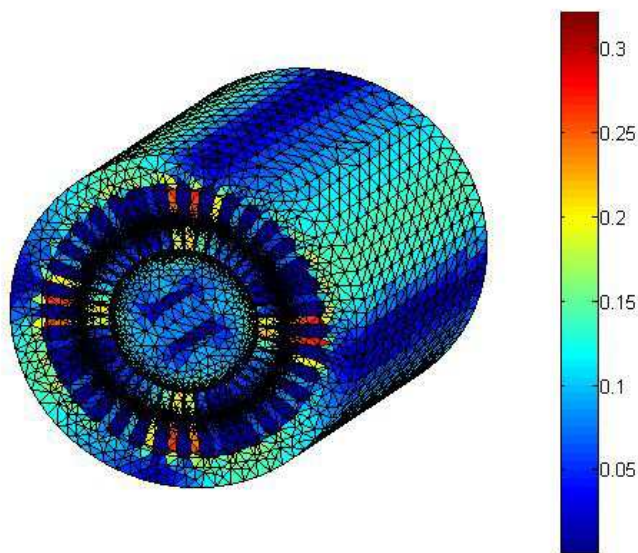
รูปที่ 7.13 การกระจายตัวสนามแม่เหล็ก (T) เมื่อพิจารณาองโรเตอร์แบบร่องตรง เมื่อโรเตอร์หมุนไปเป็นมุม 0 องศา



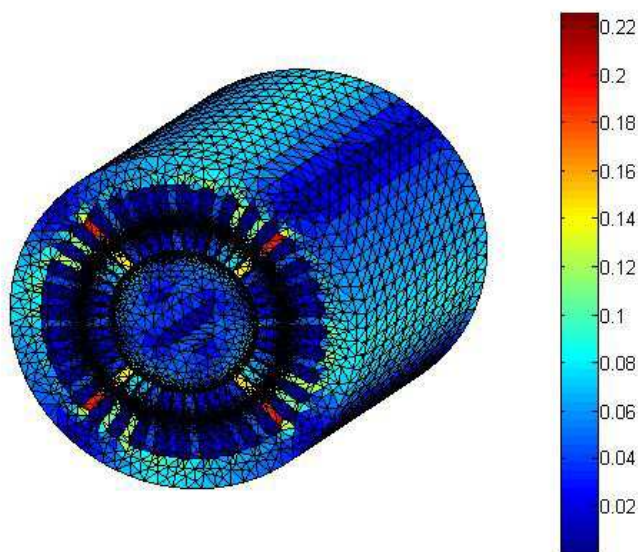
รูปที่ 7.14 การกระจายตัวสนามแม่เหล็ก (T) เมื่อพิจารณาร่องโรเตอร์แบบร่องตรง เมื่อโรเตอร์หมุนไปเป็นมุม 32.7272 องศา



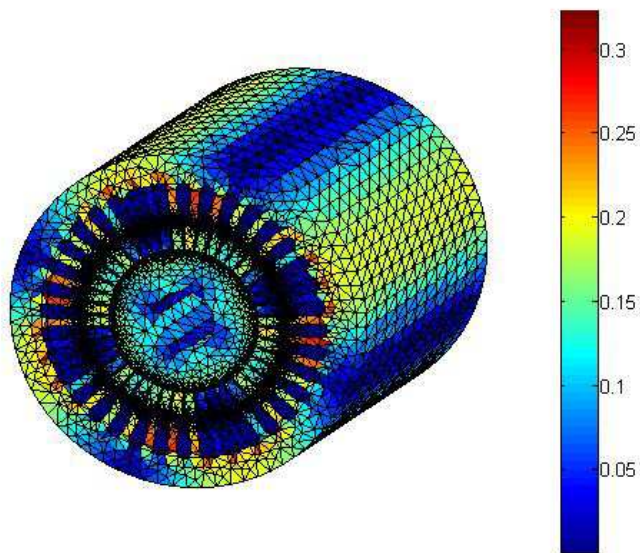
รูปที่ 7.15 การกระจายตัวสนามแม่เหล็ก (T) เมื่อพิจารณาร่องโรเตอร์แบบร่องตรงเมื่อโรเตอร์หมุนไปเป็นมุม 65.4544 องศา



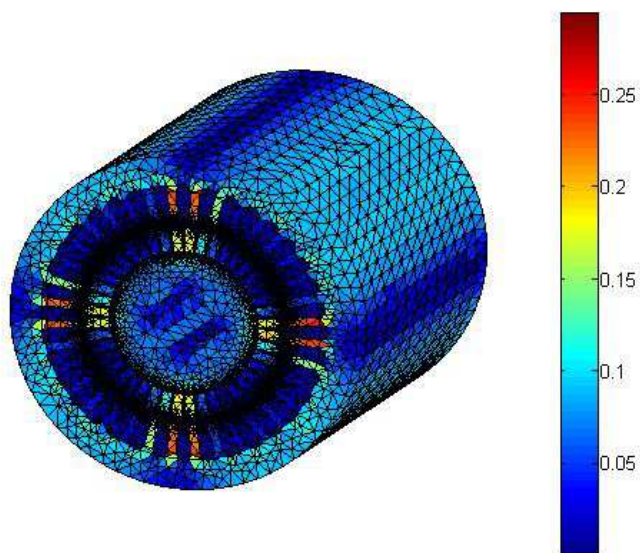
รูปที่ 7.16 การกระจายตัวสนามแม่เหล็ก (T) เมื่อพิจารณาเรื่องໂຣເຕອຣີແບນຮ່ອງຕຽງ
ເມື່ອໂຣເຕອຣີໜຸນໄປເປັນນຸ່ມ 98.1816 ອົກາ



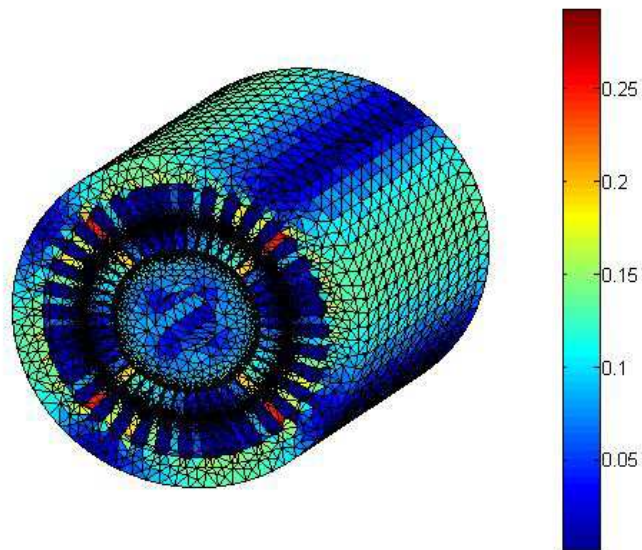
รูปที่ 7.17 การกระจายตัวสนามแม่เหล็ก (T) เมื่อพิจารณาเรื่องໂຣເຕອຣີແບນຮ່ອງຕຽງ
ເມື່ອໂຣເຕອຣີໜຸນໄປເປັນນຸ່ມ 130.9088 ອົກາ



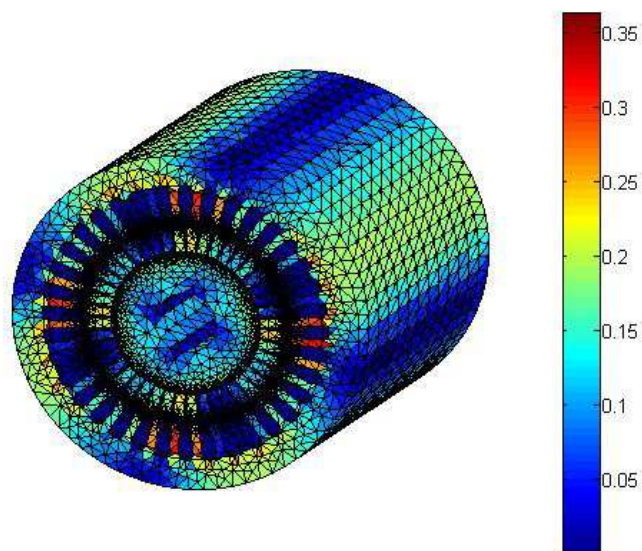
รูปที่ 7.18 การกระจายตัวสนามแม่เหล็ก (T) เมื่อพิจารณาเรื่องໂຣເຕອຣີແບບຮ່ອງຕຽງ
ເມື່ອໂຣເຕອຣີໜຸນໄປເປັນນູນ 163.6360 ອົກາ



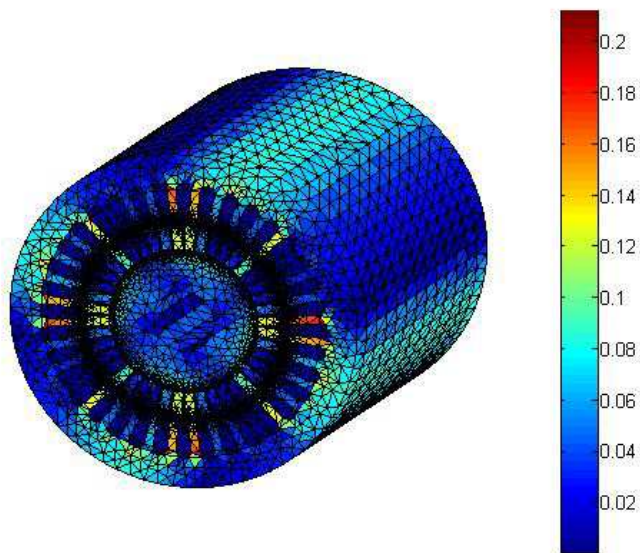
รูปที่ 7.19 การกระจายตัวสนามแม่เหล็ก (T) เมื่อพิจารณาเรื่องໂຣເຕອຣີແບບຮ່ອງຕຽງ
ເມື່ອໂຣເຕອຣີໜຸນໄປເປັນນູນ 196.3632 ອົກາ



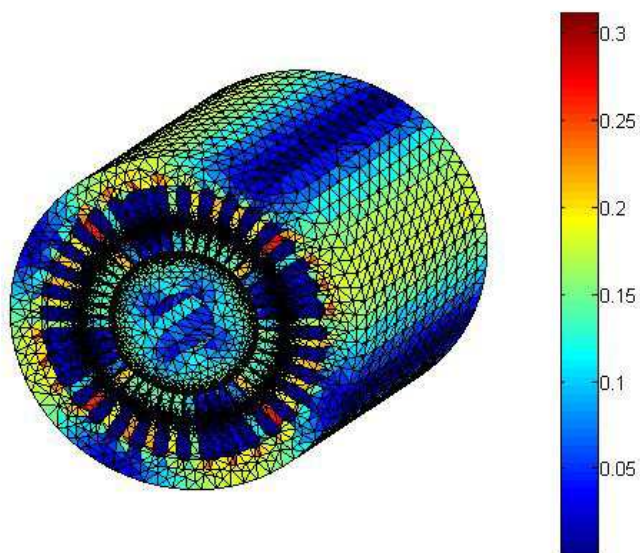
รูปที่ 7.20 การกระจายตัวสนามแม่เหล็ก (T) เมื่อพิจารณาเรื่องโรเตอร์แบบร่องตรง เมื่อโรเตอร์หมุนไปเป็นมุม 229.0904 องศา



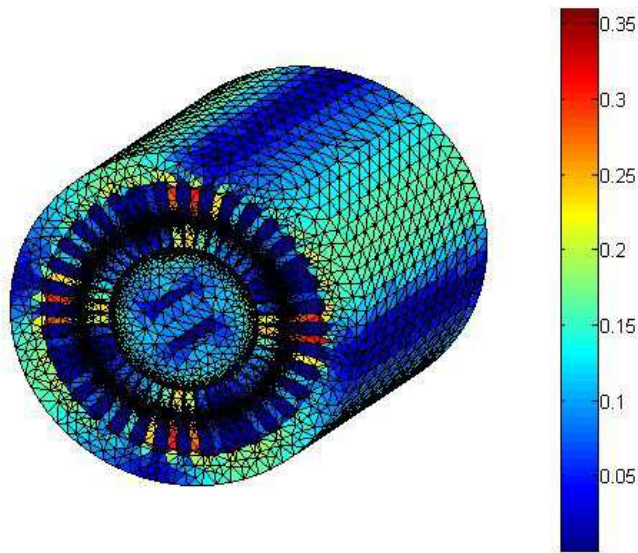
รูปที่ 7.21 การกระจายตัวสนามแม่เหล็ก (T) เมื่อพิจารณาเรื่องโรเตอร์แบบร่องตรง เมื่อโรเตอร์หมุนไปเป็นมุม 261.8176 องศา



รูปที่ 7.22 การกระจายตัวสนามแม่เหล็ก (T) เมื่อพิจารณาเรื่องໂຣເຕອຣີແບບຮ່ອງຕຽງ
ເມື່ອໂຣເຕອຣີໜຸນໄປເປັນນຸ່ມ 294.5448 ອົກາ



รูปที่ 7.23 การกระจายตัวสนามแม่เหล็ก (T) เมื่อพิจารณาเรื่องໂຣເຕອຣີແບບຮ່ອງຕຽງ
ເມື່ອໂຣເຕອຣີໜຸນໄປເປັນນຸ່ມ 327.2720 ອົກາ

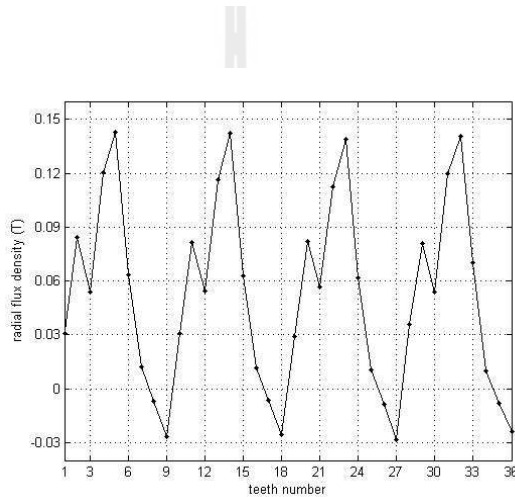


รูปที่ 7.24 การกระจายตัวสนามแม่เหล็ก (T) เมื่อพิจารณาเรื่องโรเตอร์แบบร่องตรง เมื่อโรเตอร์หมุนไปเป็นมุม 359.9992 องศา

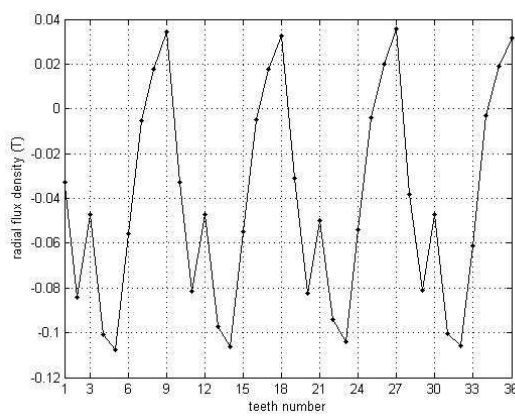
ค่าศักย์เชิงเวกเตอร์แม่เหล็กที่ได้จากการจำลองผลในแต่ละจุดต่อที่กระจายบนพื้นที่หน้าตัดตามแนวแกน z ของมอเตอร์ (A_z) จะนำไปใช้ในการคำนวณหาค่าความหนาแน่นสนามแม่เหล็กในแนวรัศมี (B_r) ที่กระทำกับช่องอากาศของมอเตอร์ตรงส่วนของฟันสเตเตอร์ในแต่ละชีทั้ง 36 ชีท ที่มีมุมการหมุนของโรเตอร์เปลี่ยนไป โดยรูปที่ 7.25 เป็นการแสดงค่า B_r ที่กระทำการฟันของสเตเตอร์ในแต่ละชีที่ซึ่งเป็นการพิจารณาเรื่องโรเตอร์แบบร่องตรงเมื่อพิจารณาโรเตอร์หมุนไป 0° , 90° และ 180° (ซีที่ 1 คือตำแหน่ง 0° เทียบกับแกน $x+$ พอดี และซีทั้งไปจะวางตัวเป็นลำดับในทิศทางทวนเข็มนาฬิกา) จากรูปที่ 7.25 จะสังเกตเห็นว่า รูปภาพของ B_r จะมีลักษณะคล้ายรูปคลื่นไอน์แอมเพลจูดสูงสุดประมาณ 0.14 tesla ที่มีความเป็นคริ่งหนึ่งของจำนวนซีทั้งหมด โดยภาพ B_r จะมีลักษณะเหมือนเดิมเมื่อโรเตอร์หมุนผ่านไปประมาณ 180° และเมื่อพิจารณาภาพของ B_r เมื่อโรเตอร์หมุนทำมุม 0° ดังรูปที่ 7.25(ก) เทียบกับรูปของการกระจายตัวศักย์เชิงเวกเตอร์แม่เหล็กเมื่อโรเตอร์หมุนทำมุม 0° เช่นกัน ดังรูปที่ 7.1 จะสังเกตเห็นว่าค่า B_r ในรูปที่ 7.25(ก) จะมีขนาดสูงสุด ณ ตำแหน่งฟันของสเตเตอร์ซีที่ 5 , 14 , 23 และ 32 และจะมีค่าเป็นศูนย์ ณ ตำแหน่งฟันของสเตเตอร์ซีที่ 8 , 17 , 26 และ 35 โดยระยะห่างในแต่ละซีที่ปรากฏจะมีค่าเป็น 9 ซึ่งเท่ากับ 1 พิเศษขั้วแม่เหล็กพอดี (1 pole pitch) ซึ่งจะสอดคล้องกับรูปที่ 7.1 โดยศักย์เชิงเวกเตอร์แม่เหล็ก A จะมีค่าเป็นศูนย์ ณ ซีที่ 5 , 14 , 23 และ 32 และจะมีขนาดสูงสุด ณ ซีที่ 8 , 17 , 26 และ 35

ทั้งนี้เป็นผลเนื่องมาจากการค่าสนามแม่เหล็ก B_r ได้จากการเครื่องสักย์เชิงเวกเตอร์แม่เหล็ก A ซึ่งรูปที่ 7.25(ข) และ 7.25(ค) สามารถพิจารณาเทียบได้ในทำนองเดียวกัน

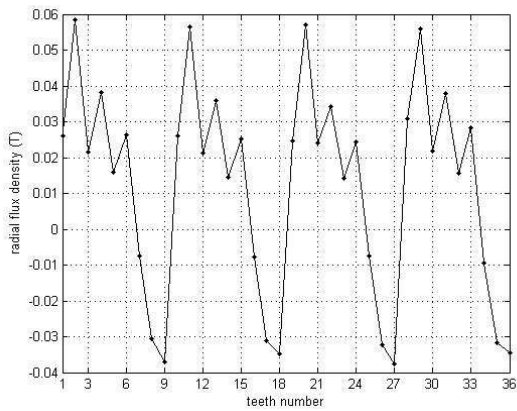
เมื่อคำนวณหาค่าสนามแม่เหล็กแล้ว จากนั้นจึงใช้สมการความเกินของแมกซ์เวลล์หาค่าแรงแม่เหล็กไฟฟ้าในแนววาร์ค미 (F_r) ที่กระทำกับช่องอากาศตรงฟันสเตเตอร์ในแต่ละชี๊ด ซึ่ง $F_r \propto B_r^2$ โดยรูปที่ 7.26 เป็นการแสดงค่า F_r เทียบกับเวลา โดยพิจารณา F_r กระทำกับช่องอากาศตรงส่วนของฟันสเตเตอร์เมื่อrotate หมุนครบ 1 รอบ เนพาะในชี๊ดที่ 1 ถึงชี๊ดที่ 9 จากทั้งหมด 36 ชี๊ด เนื่องจากผลของ F_r จะเริ่มซ้ำเป็นค่าในทุกๆ 9 ชี๊ด ซึ่งสอดคล้องกับระยะ 1 พิตซ์ขั้วแม่เหล็ก ดังที่ได้กล่าวถึงข้างต้น



(ก)

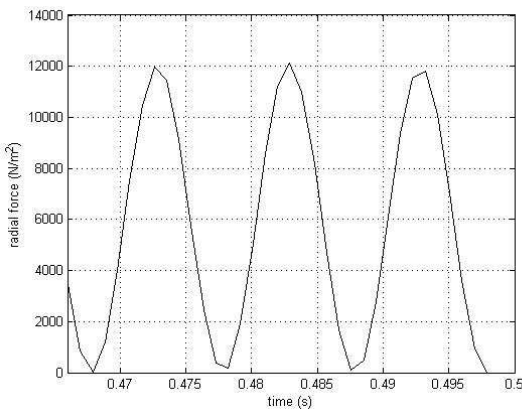


(ก)

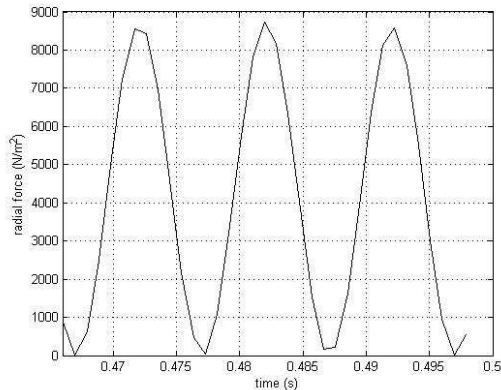


(ก)

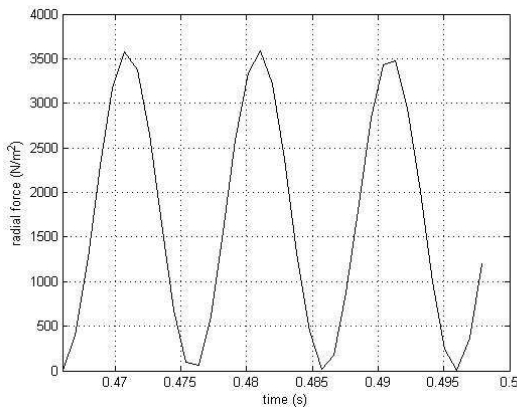
รูปที่ 7.25 สนามแม่เหล็กตามแนวรัศมีที่กระทำกับฟันสเตเตอร์เมื่อพิจารณาองศาสตร์แบบร่องตรงเมื่อโรเตอร์หมุนไป (ก) 0° , (ข) 90° และ (ค) 180°



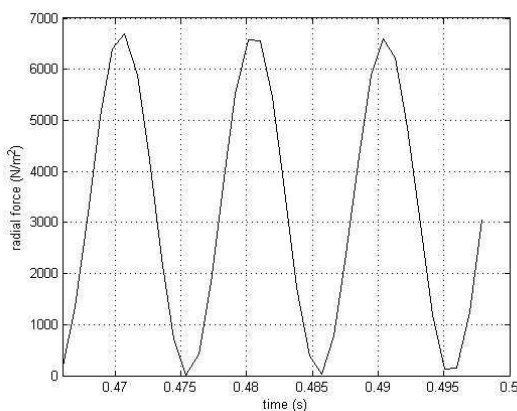
(ก)



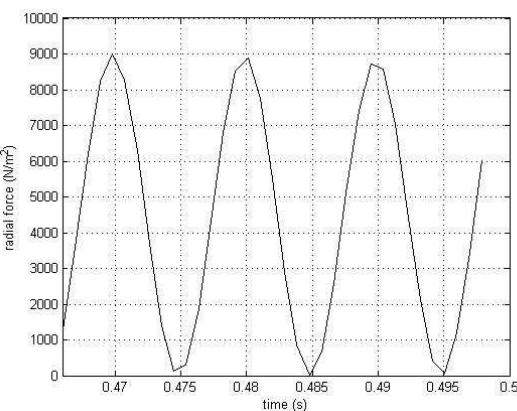
(ข)



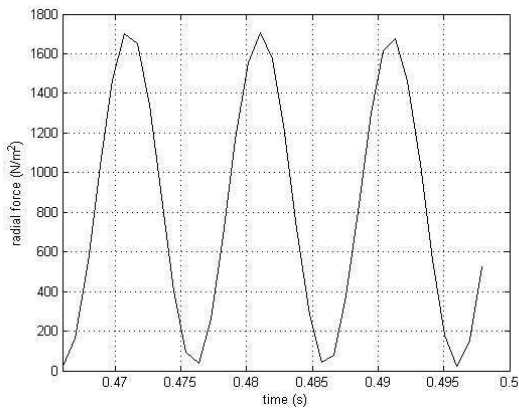
(n)



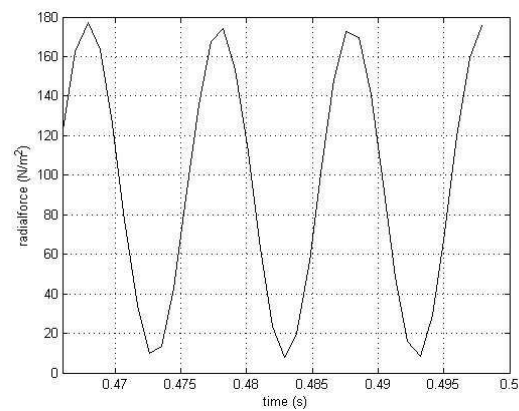
(d)



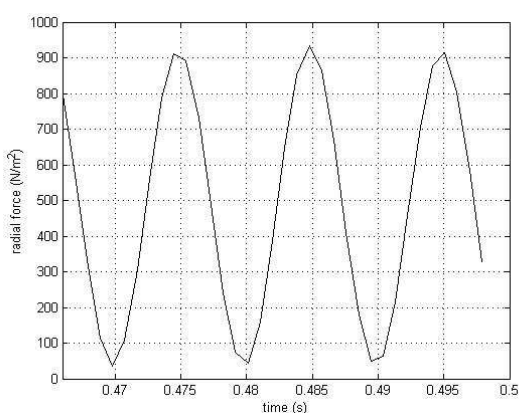
(v)



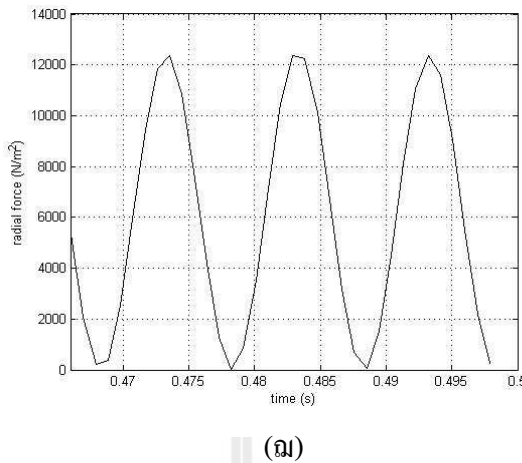
(n)



(y)



(ff)

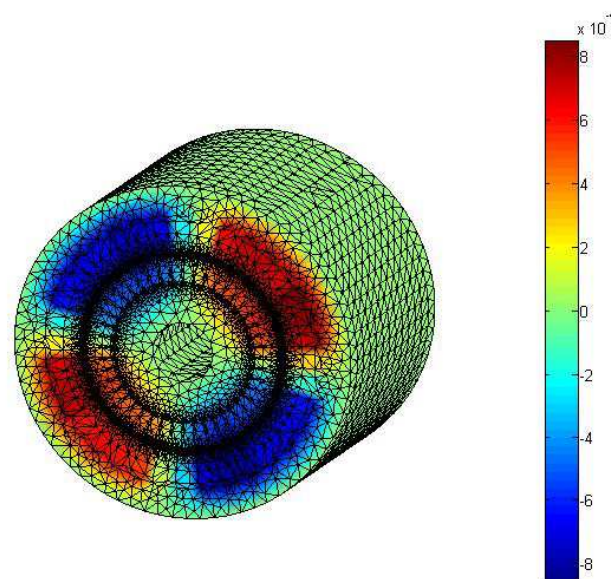


รูปที่ 7.26 แรงแม่เหล็กไฟฟ้าที่กระทำกับฟันสเตเตอร์เมื่อพิจารณาเรื่องโรเตอร์แบบบ่องตรง (ก) ซึ่งที่ 1, (ข) ซึ่งที่ 2, (ค) ซึ่งที่ 3, (ง) ซึ่งที่ 4, (จ) ซึ่งที่ 5, (น) ซึ่งที่ 6, (ฉ) ซึ่งที่ 7, (ช) ซึ่งที่ 8, (ณ) ซึ่งที่ 9

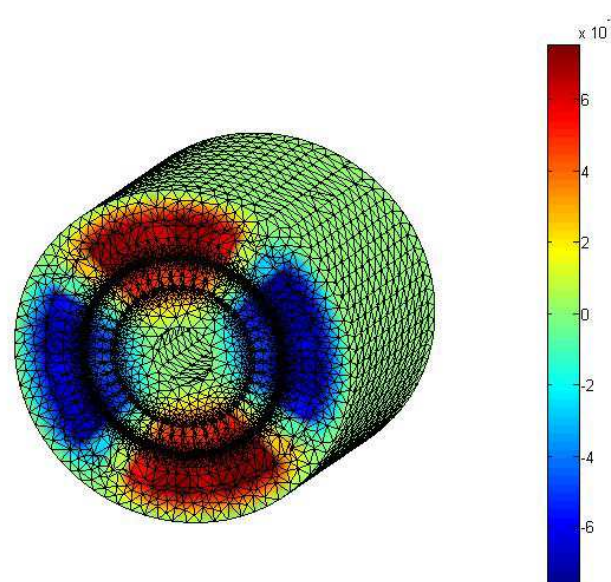
จากรูปที่ 7.26 จะสังเกตเห็นว่ารูปกราฟของ F_r เทียบกับเวลาจะมีลักษณะคล้ายรูปคลื่นไซน์ครึ่งคลื่นบวก ที่มีขนาดแตกต่างกันไปตามแรงที่มากระทำกับฟันสเตเตอร์ในแต่ละซี และมีความประมาน 0.01 วินาที หรือ 100 Hz (ในกรณีที่พิจารณาในสภาพว่าไร้โหลดจะมีค่าเท่ากับ 0.01 วินาที พอดี ซึ่ง F_r จะมีความถี่เป็น 2 เท่าของแหล่งจ่ายไฟฟ้า (Ishibashi, Noda, and Mochizuki, 1998)) โดยแรงแม่เหล็กไฟฟ้าที่กระทำกับฟันสเตเตอร์ในซีที่ 1 ดังแสดงในรูปที่ 7.26(ก) จะมีค่าทั้งขนาดและเฟสเท่ากันกับแรงที่กระทำในซีที่ 10, 19 และ 28 ทุกประการ ซึ่งสอดคล้องกับระยะ 1 พิตซ์ ข้ามแม่เหล็กของมอเตอร์ที่ใช้ในการจำลองผล และแรงแม่เหล็กไฟฟ้าที่กระทำกับฟันสเตเตอร์ในซีที่อื่นๆ ก็มีลักษณะเป็นอย่างนี้เช่นกัน

7.2.2 ผลการจำลองสนามแม่เหล็กเมื่อพิจารณาเรื่องโรเตอร์แบบเดียงครึงร่อง

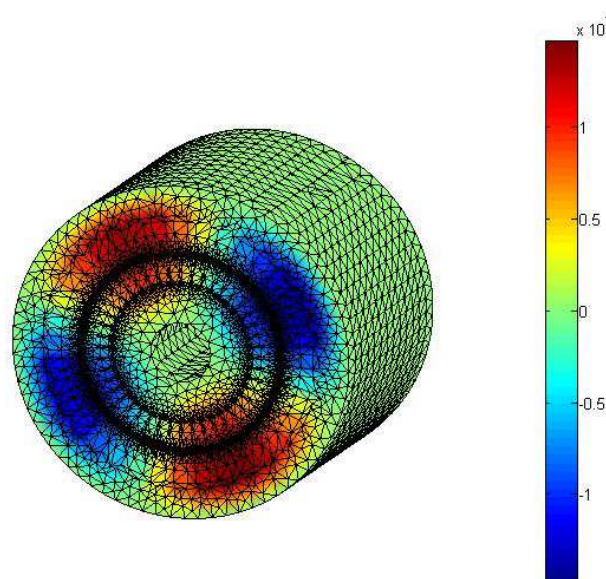
การจำลองผลการกระจายตัวของศักย์เชิงเวกเตอร์แม่เหล็กตลอดปริมาตรของมอเตอร์เมื่อมอเตอร์หมุนด้วยอัตราเร็วคงที่ ด้วยมุมต่างๆ ที่โรเตอร์หมุนใน 360 องศา ดังแสดงด้วยรูปที่ 7.27 - 7.38 แสดงถึงการกระจายตัวของศักย์เชิงเวกเตอร์แม่เหล็กเริ่มตั้งแต่มุม 0 องศา ถึง 359.9992 องศา โดยแต่ละรูปโรเตอร์หมุนในทิศทางทวนเข็มนาฬิกาต่างกันด้วยมุมที่ละ 32.7272 องศา



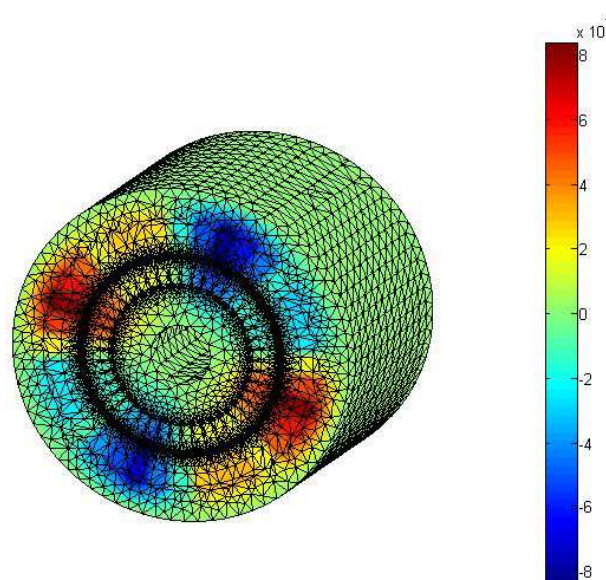
รูปที่ 7.27 การกระจายตัวศักย์เชิงเวกเตอร์แม่เหล็ก (Wb/m) เมื่อพิจารณาเรื่อง โรเตอร์แบบเฉียงครึ่งร่องเมื่อ โรเตอร์หมุนไปเป็นมุม 0 องศา



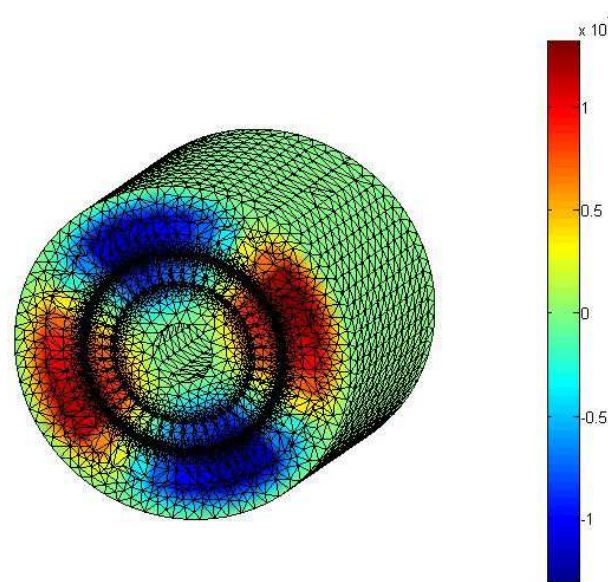
รูปที่ 7.28 การกระจายตัวศักย์เชิงเวกเตอร์แม่เหล็ก (Wb/m) เมื่อพิจารณาเรื่อง โรเตอร์แบบเฉียงครึ่งร่องเมื่อ โรเตอร์หมุนไปเป็นมุม 32.7272 องศา



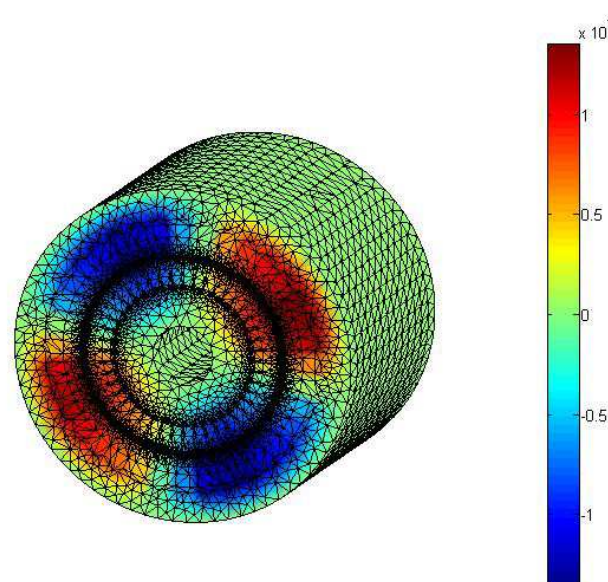
รูปที่ 7.29 การกระจายตัวศักย์เชิงเวกเตอร์แม่เหล็ก (Wb/m) เมื่อพิจารณาร่องโรเตอร์แบบเฉียงครึ่งร่องเมื่อโรเตอร์หมุนไปเป็นมุม 65.4544 องศา



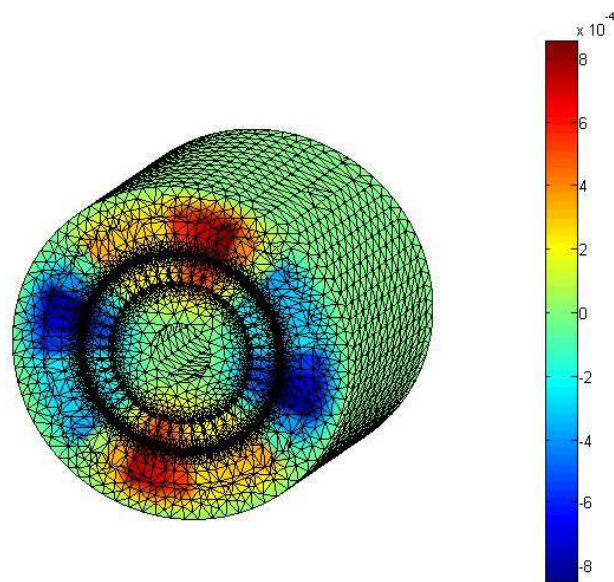
รูปที่ 7.30 การกระจายตัวศักย์เชิงเวกเตอร์แม่เหล็ก (Wb/m) เมื่อพิจารณาร่องโรเตอร์แบบเฉียงครึ่งร่องเมื่อโรเตอร์หมุนไปเป็นมุม 98.1816 องศา



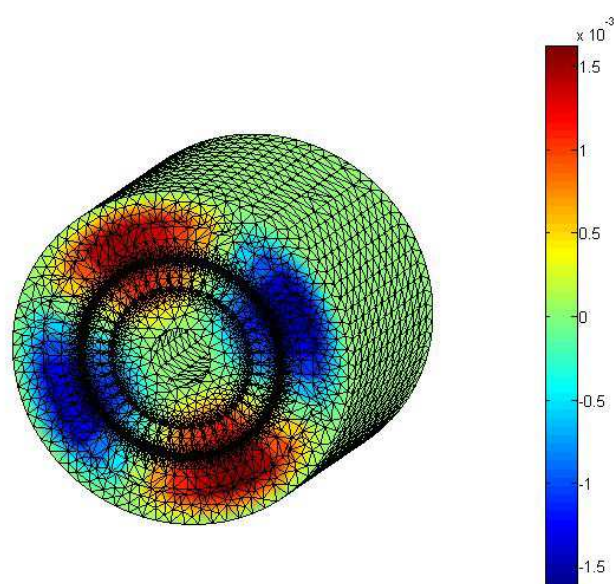
รูปที่ 7.31 การกระจายตัวศักย์เชิงเวกเตอร์แม่เหล็ก (Wb/m) เมื่อพิจารณา rotor แบบเนียงครึ่งร่องเมื่อ rotor หมุนไปเป็นมุม 130.9088 องศา



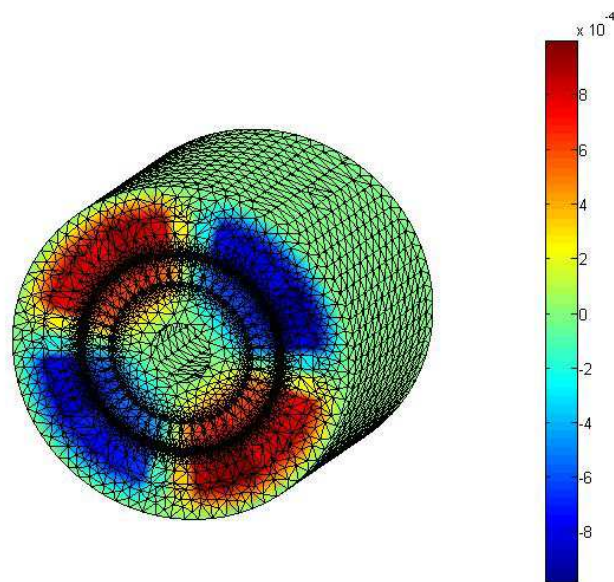
รูปที่ 7.32 การกระจายตัวศักย์เชิงเวกเตอร์แม่เหล็ก (Wb/m) เมื่อพิจารณา rotor แบบเนียงครึ่งร่องเมื่อ rotor หมุนไปเป็นมุม 163.6360 องศา



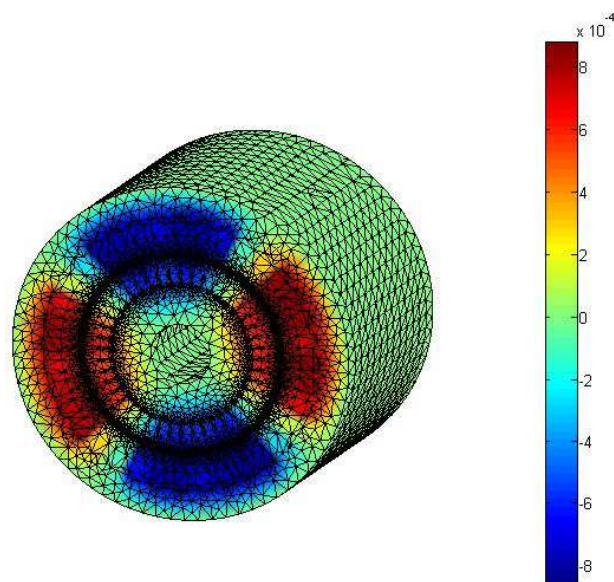
รูปที่ 7.33 การกระจายตัวสักย์เชิงเวกเตอร์แม่เหล็ก (Wb/m) เมื่อพิจารณาร่องโรเตอร์แบบเฉียงครึ่งร่องเมื่อโรเตอร์หมุนไปเป็นมุม 196.3632 องศา



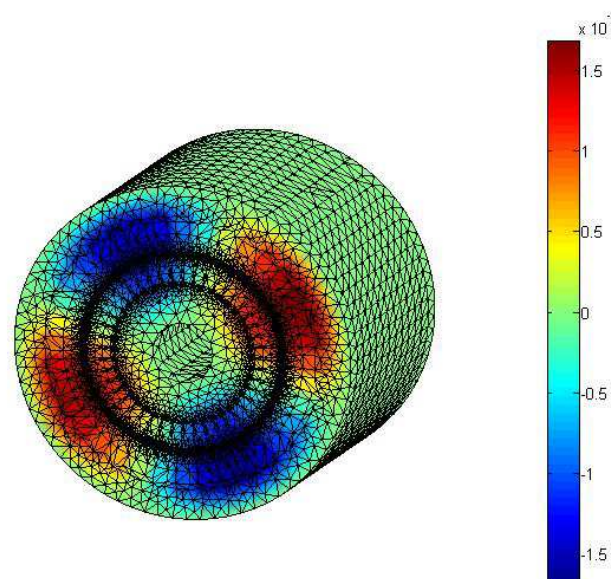
รูปที่ 7.34 การกระจายตัวสักย์เชิงเวกเตอร์แม่เหล็ก (Wb/m) เมื่อพิจารณาร่องโรเตอร์แบบเฉียงครึ่งร่องเมื่อโรเตอร์หมุนไปเป็นมุม 229.0904 องศา



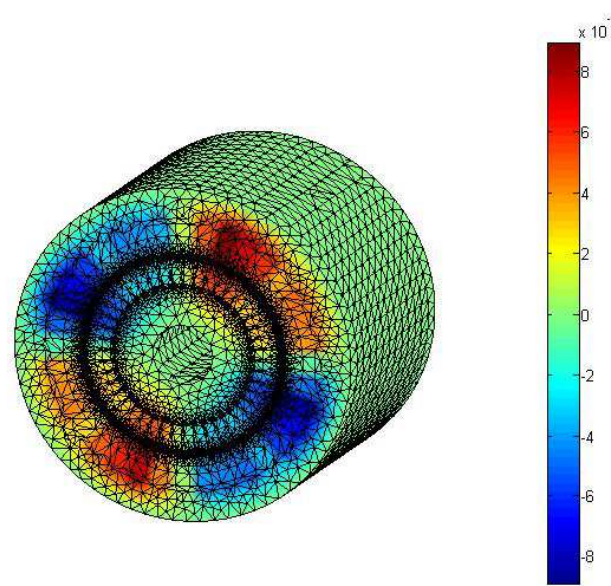
รูปที่ 7.35 การกระจายตัวศักย์เชิงเวกเตอร์แม่เหล็ก (Wb/m) เมื่อพิจารณาเรื่องโรเตอร์แบบเฉียงครึ่งร่องเมื่อโรเตอร์หมุนไปเป็นมุม 261.8176 องศา



รูปที่ 7.36 การกระจายตัวศักย์เชิงเวกเตอร์แม่เหล็ก (Wb/m) เมื่อพิจารณาเรื่องโรเตอร์แบบเฉียงครึ่งร่องเมื่อโรเตอร์หมุนไปเป็นมุม 294.5448 องศา



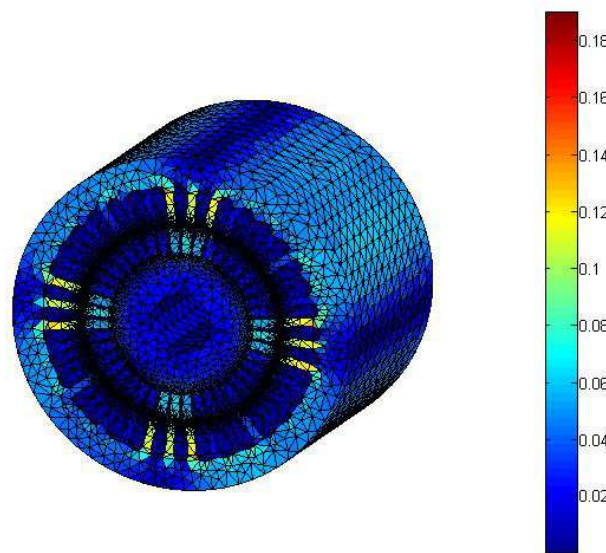
รูปที่ 7.37 การกระจายตัวสักย์เชิงเวกเตอร์แม่เหล็ก (Wb/m) เมื่อพิจารณาร่องโรเตอร์แบบเฉียงครึ่งร่องเมื่อโรเตอร์หมุนไปเป็นมุม 327.2720 องศา



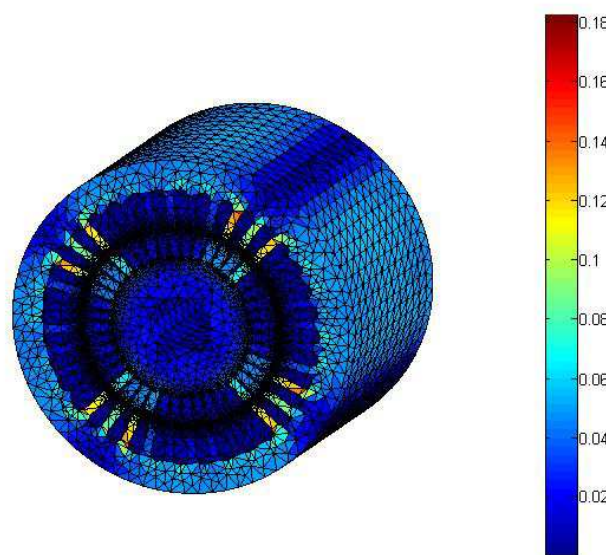
รูปที่ 7.38 การกระจายตัวสักย์เชิงเวกเตอร์แม่เหล็ก (Wb/m) เมื่อพิจารณาร่องโรเตอร์แบบเฉียงครึ่งร่องเมื่อโรเตอร์หมุนไปเป็นมุม 359.9992 องศา

จากรูปที่ 7.27 - 7.38 จะสังเกตเห็นว่า ทางเดินของศักย์เชิงเวกเตอร์แม่เหล็กที่กระ雅ยตัวอยู่บนพื้นที่หน้าตัดของมอเตอร์ เมื่อพิจารณาตามมอเตอร์หมุนในสถานะอยู่ตัวและมีโหลดเต็มพิกัดปรากฏให้เห็นถึงจำนวนขั้วแม่เหล็ก N (สีแดง) และ S (สีน้ำเงิน) สลับกันไปจำนวน 4 ขั้ว เท่ากับจำนวนขั้วของมอเตอร์ที่ใช้ในการจำลองผลอย่างเด่นชัด ซึ่งพิจารณาควบคู่กับค่าแอบสีทางด้านขวามือที่มีทั้งค่าบวกและค่าลบ โดยค่าบวกที่มีขนาดสูงสุดจะแทนได้ด้วยสีแดงเข้ม และค่าลบที่มีขนาดสูงสุดจะแทนด้วยสีน้ำเงินเข้ม ดังแสดงอยู่ในรูปที่ 7.27 - 7.38 ซึ่งจากรูปจะสังเกตเห็นศักย์เชิงเวกเตอร์แม่เหล็กแบ่งออกเป็น 2 แบบสีหลักๆ คือ แดงและน้ำเงินสลับกันไป 4 กลุ่ม ซึ่งจำนวนกลุ่มนี้เปรียบเสมือนจำนวนขั้วแม่เหล็ก โดยกลุ่มสีแดงหมายถึงขั้ว N ซึ่งมีทิศทางของศักย์เชิงเวกเตอร์แม่เหล็ก A มีทิศผุ่งเข้าหาหน้ากระดาษ ส่วนกลุ่มน้ำเงินหมายถึงขั้ว S ซึ่งมีทิศทางของ A ผุ่งออกจากหน้ากระดาษ โดยศักย์เชิงเวกเตอร์แม่เหล็กจะเริ่มซ้ำทางเดินเมื่อrotate หมุนผ่านไปประมาณ 180° (ในกรณีที่พิจารณาในสภาวะไร้โหลดจะมีค่าเท่ากับ 180° พอดี (Ishibashi, Noda, and Mochizuki, 1998)) และศักย์เชิงเวกเตอร์แม่เหล็กจะแสดงพฤติกรรมที่เรียกว่าสนามแม่เหล็กหมุนโดยมีทิศทางการหมุนทวนเข็มนาฬิกาไปในทิศทางเดียวกับการหมุนของrotate ที่ใช้ในการจำลองผล

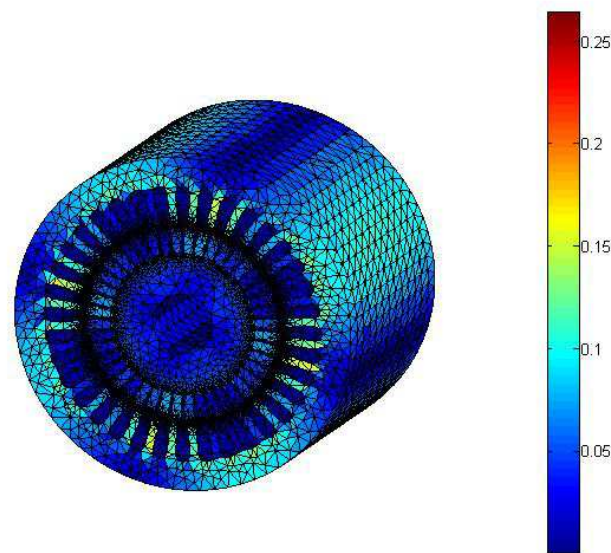
เมื่อทราบค่าศักย์เชิงเวกเตอร์แม่เหล็กที่สามารถนำไปคำนวณค่าสนามแม่เหล็กได้ การคำนวณค่าสนามแม่เหล็กของมอเตอร์นั้นสามารถกระทำได้ด้วยการเครื่องศักย์เชิงเวกเตอร์แม่เหล็ก ดังได้กล่าวมาแล้วในบทที่ 3 รูปที่ 7.39 - 7.50 แสดงการกระ雅ยตัวของสนามแม่เหล็ก ตามปริมาตรของมอเตอร์เหนี่ยวนำเมื่อrotate หมุนไปจากมุม 0 องศา ถึงมุม 359.9992 องศา โดยrotate หมุนในทิศทางทวนเข็มนาฬิกาด้วยมุมต่างกัน 32.7272 องศา



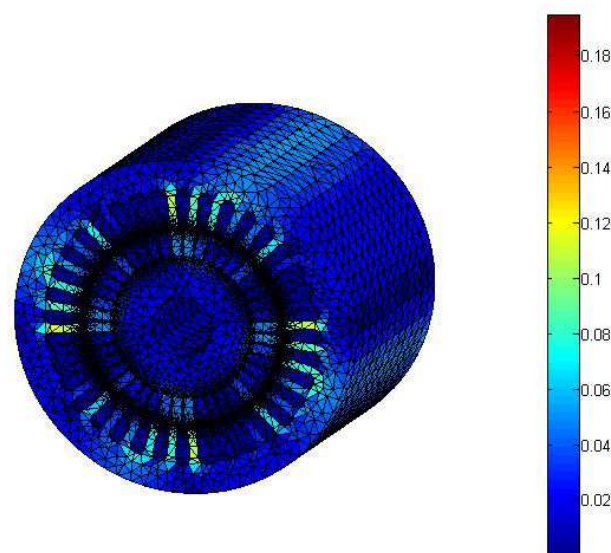
รูปที่ 7.39 การกระจายตัวสนามแม่เหล็ก (T) เมื่อพิจารณาเรื่องโรเตอร์แบบเฉียงครึ่งร่องเมื่อโรเตอร์หมุนไปเป็นมุม 0 องศา



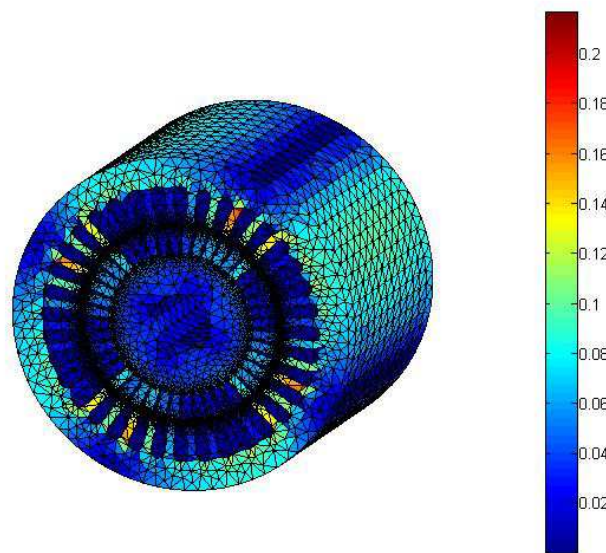
รูปที่ 7.40 การกระจายตัวสนามแม่เหล็ก (T) เมื่อพิจารณาเรื่องโรเตอร์แบบเฉียงครึ่งร่องเมื่อโรเตอร์หมุนไปเป็นมุม 32.7272 องศา



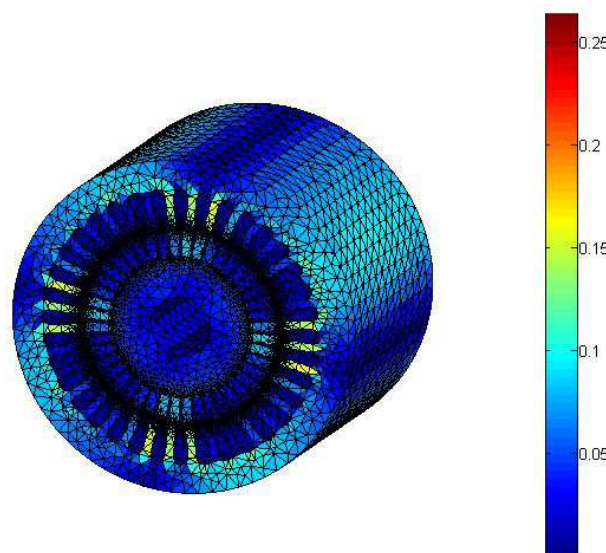
รูปที่ 7.41 การกระจายตัวสนามแม่เหล็ก (T) เมื่อพิจารณาร่องโรเตอร์แบบเฉียงครึ่งร่องเมื่อ โรเตอร์หมุนไปเป็นมุม 65.4544 องศา



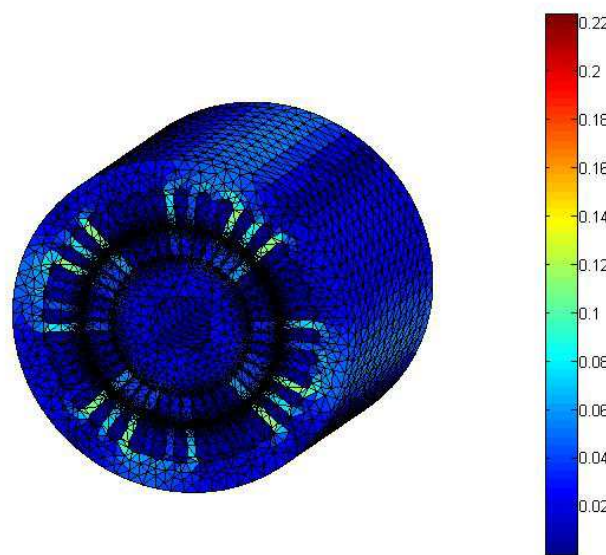
รูปที่ 7.42 การกระจายตัวสนามแม่เหล็ก (T) เมื่อพิจารณาร่องโรเตอร์แบบเฉียงครึ่งร่องเมื่อ โรเตอร์หมุนไปเป็นมุม 98.1816 องศา



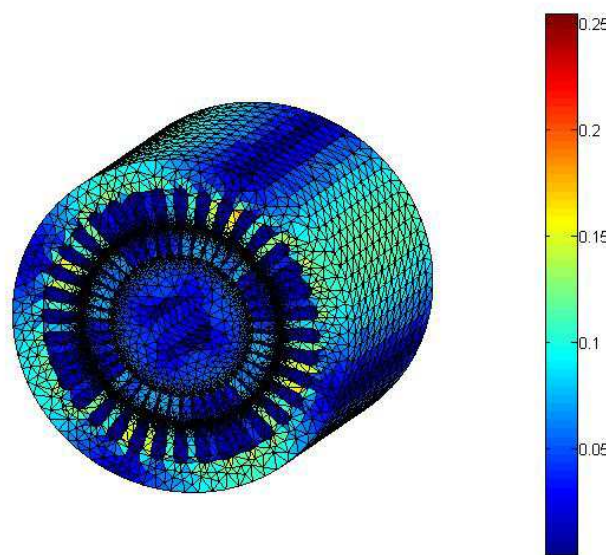
รูปที่ 7.43 การกระจายตัวสนามแม่เหล็ก (T) เมื่อพิจารณาร่องโรเตอร์แบบเฉียงครึ่งร่องเมื่อโรเตอร์หมุนไปเป็นมุม 130.9088 องศา



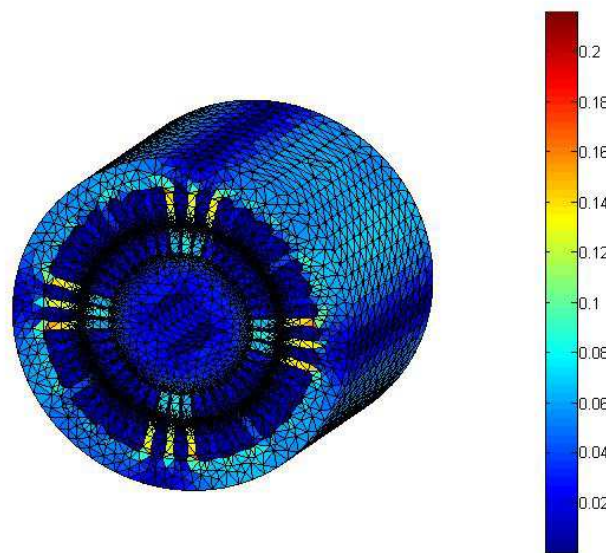
รูปที่ 7.44 การกระจายตัวสนามแม่เหล็ก (T) เมื่อพิจารณาร่องโรเตอร์แบบเฉียงครึ่งร่องเมื่อโรเตอร์หมุนไปเป็นมุม 163.6360 องศา



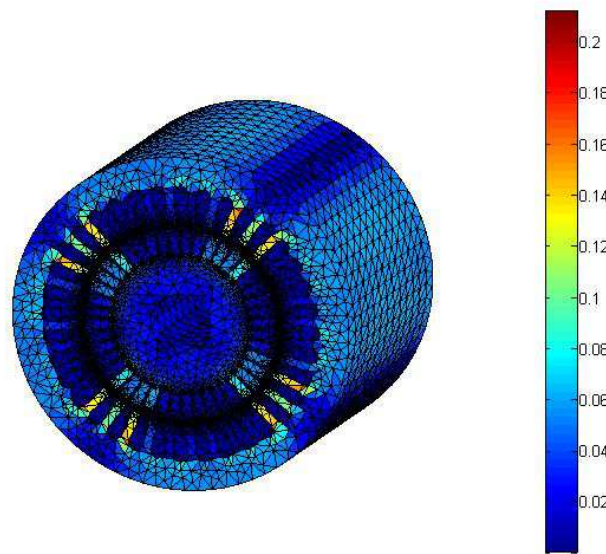
รูปที่ 7.45 การกระจายตัวสนามแม่เหล็ก (T) เมื่อพิจารณาเรื่องໂຣເຕອຣ
ແບນເລີຍຄວິງຮ່ອງເມື່ອໂຣເຕອຣໜຸນໄປເປັນນຸ່ມ 196.3632 ອົກາ



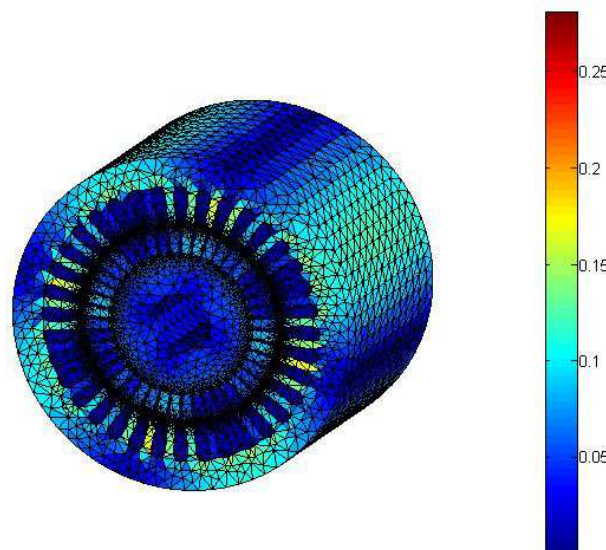
รูปที่ 7.46 การกระจายตัวสนามแม่เหล็ก (T) เมื่อพิจารณาเรื่องໂຣເຕອຣແບນເລີຍຄວິງຮ່ອງ
ເມື່ອໂຣເຕອຣໜຸນໄປເປັນນຸ່ມ 229.0904 ອົກາ



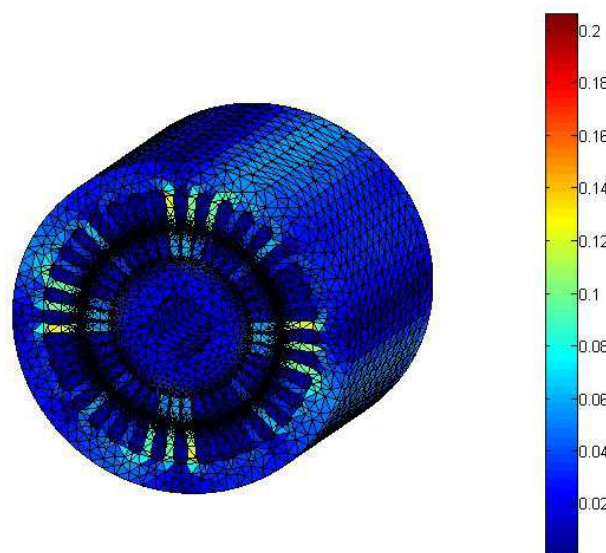
รูปที่ 7.47 การกระจายตัวสนามแม่เหล็ก (T) เมื่อพิจารณาร่องโรเตอร์แบบเฉียงครึ่งร่องเมื่อ
โรเตอร์หมุนไปเป็นมุม 261.8176 องศา



รูปที่ 7.48 การกระจายตัวสนามแม่เหล็ก (T) เมื่อพิจารณาร่องโรเตอร์แบบเฉียงครึ่งร่องเมื่อ
โรเตอร์หมุนไปเป็นมุม 294.5448 องศา



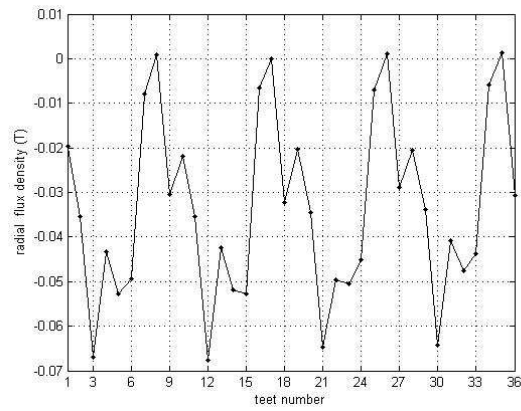
รูปที่ 7.49 การกระจายตัวสนามแม่เหล็ก (T) เมื่อพิจารณาร่องโรเตอร์แบบเฉียงครึ่งร่องเมื่อ
โรเตอร์หมุนไปเป็นมุม 327.2720 องศา



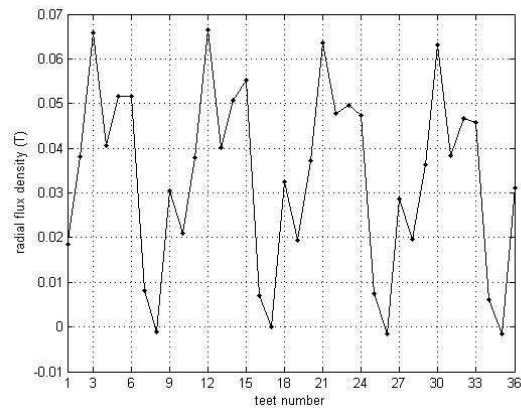
รูปที่ 7.50 การกระจายตัวสนามแม่เหล็ก (T) เมื่อพิจารณาร่องโรเตอร์แบบเฉียงครึ่งร่องเมื่อ
โรเตอร์หมุนไปเป็นมุม 359.9992 องศา

ค่าศักย์เชิงเวกเตอร์แม่เหล็กที่ได้จากการจำลองผลในแต่ละจุดต่อที่กระจายบนพื้นที่หน้าตัดตามแนวแกน z ของมอเตอร์ (A_z) จะนำไปใช้ในการคำนวณหาค่าความหนาแน่นสนามแม่เหล็กในแนวรัศมี (B_r) ที่กระทำกับช่องอากาศของมอเตอร์ตรงส่วนของฟันสเตเตเตอร์ในแต่ละชีทั้ง 36 ชีที่มีมุนการหมุนของโรเตอร์เปลี่ยนไป โดยรูปที่ 7.51 เป็นการแสดงค่า B_r ที่กระทำตรงฟันของสเตเตเตอร์ในแต่ละชีที่ซึ่งเป็นการพิจารณาเรื่องโรเตอร์แบบเฉียงครึ่งร่องเมื่อพิจารณาโรเตอร์หมุนไป 0° , 90° และ 180° (ชีที่ 1 คือตำแหน่ง 0° เทียบกับแกน x+ พอดี และชีที่ถัดไปจะวางตัวเป็นลำดับในทิศทางทวนเข็มนาฬิกา) จากรูปที่ 7.51 จะสังเกตเห็นว่า รูปภาพของ B_r จะมีลักษณะคล้ายรูปคลื่นไอน์แอมเพลจูดสูงสุดประมาณ 0.07 tesla ที่มีค่าเป็นครึ่งหนึ่งของจำนวนชีทั้งหมด โดยภาพ B_r จะมีลักษณะเหมือนเดิมเมื่อโรเตอร์หมุนผ่านไปประมาณ 180° และเมื่อพิจารณารูปภาพของ B_r เมื่อโรเตอร์หมุนทำมุม 0° ดังรูปที่ 7.51(g) เทียบกับรูปของการกระจายตัวศักย์เชิงเวกเตอร์แม่เหล็กเมื่อโรเตอร์หมุนทำมุม 0° เช่นกัน ดังรูปที่ 7.27 จะสังเกตเห็นว่าค่า B_r ในรูปที่ 7.51(g) จะมีขนาดสูงสุด ณ ตำแหน่งฟันของสเตเตเตอร์ชีที่ 3, 12, 21 และ 30 และจะมีค่าเป็นศูนย์ ณ ตำแหน่งฟันของสเตเตเตอร์ชีที่ 8, 17, 26 และ 35 โดยระยะห่างในแต่ละชีที่ปรากฏจะมีค่าเป็น 9 ซึ่งเท่ากับ 1 พิเศษขั้วแม่เหล็กพอดี (1 pole pitch) ซึ่งจะสอดคล้องกับรูปที่ 7.27 โดยศักย์เชิงเวกเตอร์แม่เหล็ก A จะมีค่าเป็นศูนย์ ณ ชีที่ 3, 12, 21 และ 30 และจะมีขนาดสูงสุด ณ ชีที่ 8, 17, 26 และ 35 ทั้งนี้เป็นผลเนื่องมาจากค่าสนามแม่เหล็ก B ได้จากการเครื่องศักย์เชิงเวกเตอร์แม่เหล็ก A ซึ่งรูปที่ 7.51(u) และ 7.51(c) สามารถพิจารณาเทียบได้ในทำนองเดียวกัน จะพบว่าสนามแม่เหล็กจะมีค่าลดลงเมื่อเทียบกับการพิจารณาร่องโรเตอร์แบบร่องตรง

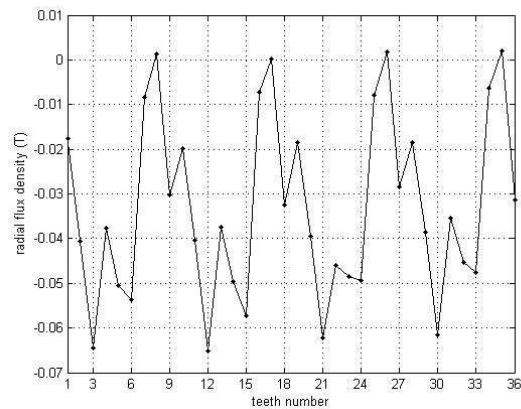
เมื่อคำนวณหาค่าสนามแม่เหล็กแล้ว จากนั้นจึงใช้สมการความเกินของแมกซ์เวลล์ท่าค่าแรงแม่เหล็กไฟฟ้าในแนวรัศมี (F_r) ที่กระทำกับช่องอากาศตรงฟันสเตเตเตอร์ในแต่ละชีที่ซึ่ง $F_r \propto B_r^2$ โดยรูปที่ 7.52 เป็นการแสดงค่า F_r เทียบกับเวลา โดยพิจารณา F_r กระทำกับช่องอากาศตรงส่วนของฟันสเตเตเตอร์เมื่อโรเตอร์หมุนครบ 1 รอบ เนพาะในชีที่ 1 ถึงชีที่ 9 จากทั้งหมด 36 ชีที่เนื่องจากผลของ F_r จะเริ่มขึ้นเป็นค่าในทุกๆ 9 ชีท ซึ่งสอดคล้องกับระยะ 1 พิเศษขั้วแม่เหล็ก ดังที่ได้กล่าวถึงข้างต้น จะพบว่าแรงแม่เหล็กในแนวรัศมีจะมีค่าลดลงเมื่อเทียบกับการพิจารณาร่องโรเตอร์แบบร่องตรง



(n)

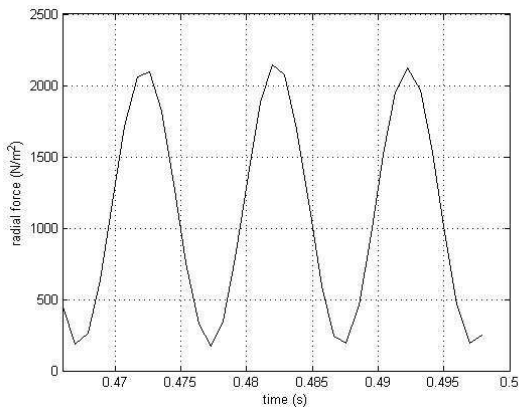


(u)

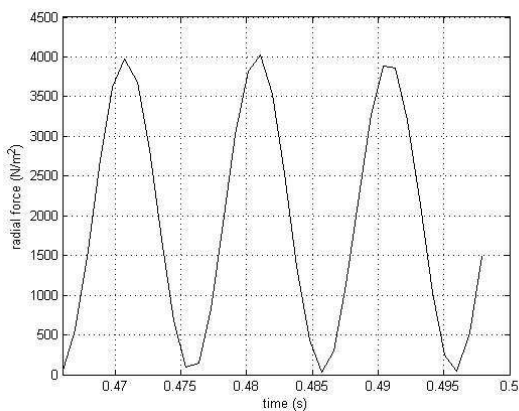


(v)

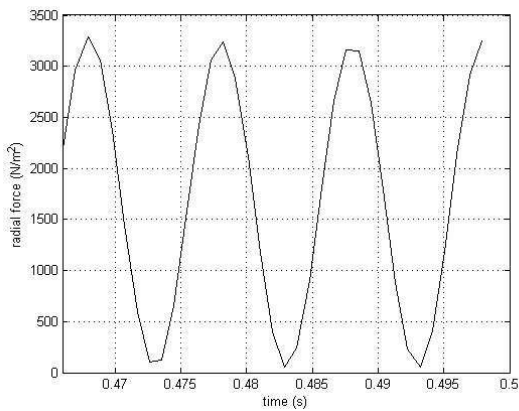
รูปที่ 7.51 สนามแม่เหล็กตามแนววัสดุที่กระทำกับฟันสเตเตอร์เมื่อพิจารณาองศาสตร์แบบเฉียงครึ่งร่องเมื่อองศาสตร์หมุนไป (ก) 0° , (ข) 90° และ (ค) 180°



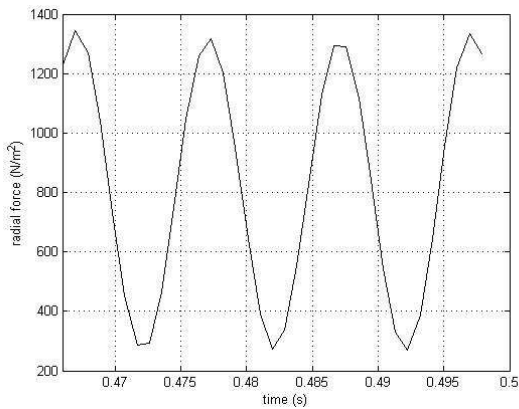
(n)



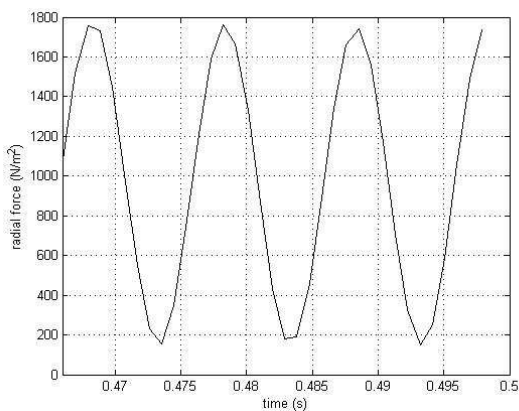
(u)



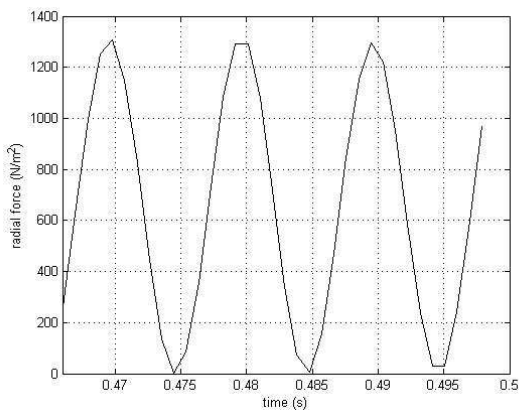
(n)



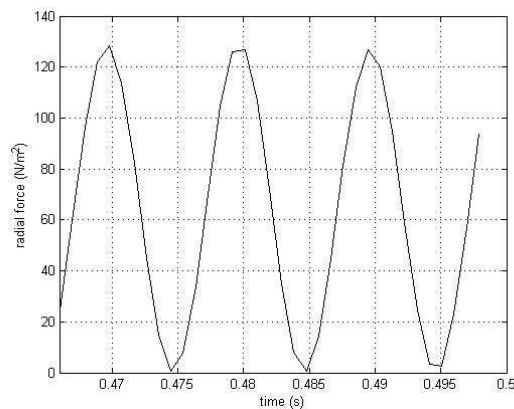
(I)



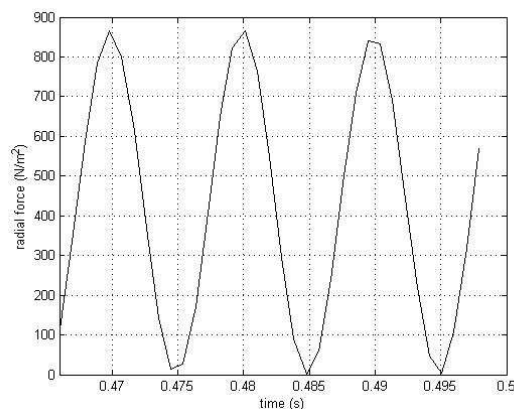
(II)



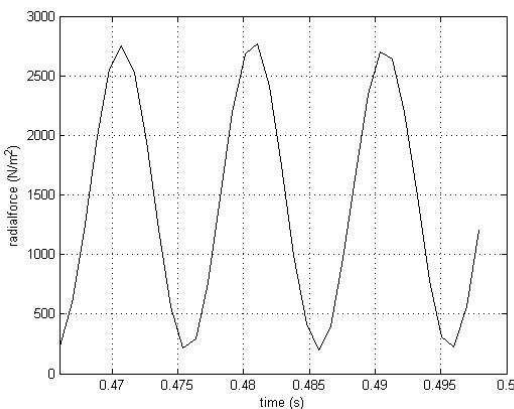
(III)



(ก)



(ข)



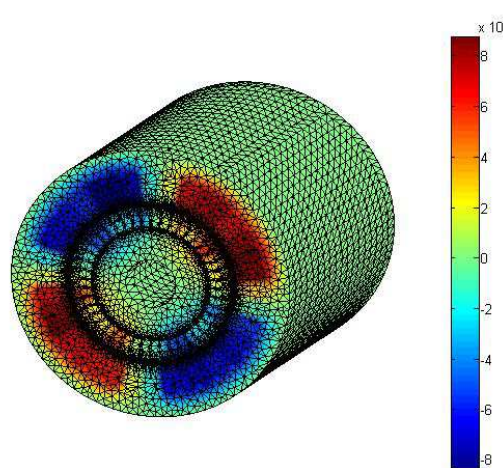
(ค)

รูปที่ 7.52 แรงแม่เหล็กไฟฟ้าที่กระทำกับพื้นสเตเดอร์เมื่อพิจารณาเรื่องโวเตอร์แบบเฉียงครึ่งร่อง (ก)

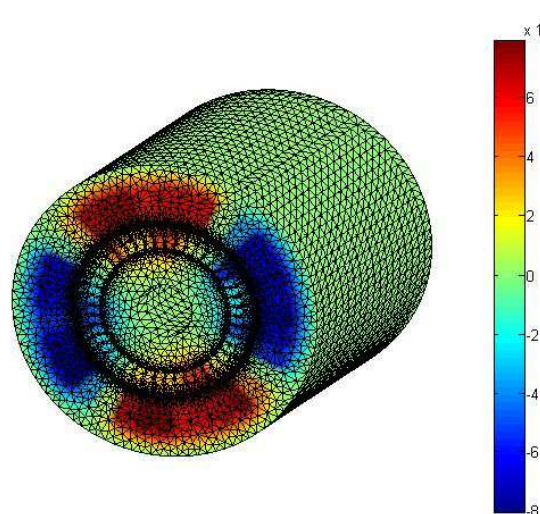
(ข) ชีที่ 1, (ค) ชีที่ 2, (ก) ชีที่ 3, (จ) ชีที่ 4, (ก) ชีที่ 5, (น) ชีที่ 6, (ช) ชีที่ 7, (ช) ชีที่ 8, (ณ) ชีที่ 9

7.2.3 ผลการจำลองสนามแม่เหล็กเมื่อพิจารณาร่องโรเตอร์แบบเฉียงเต็มร่อง

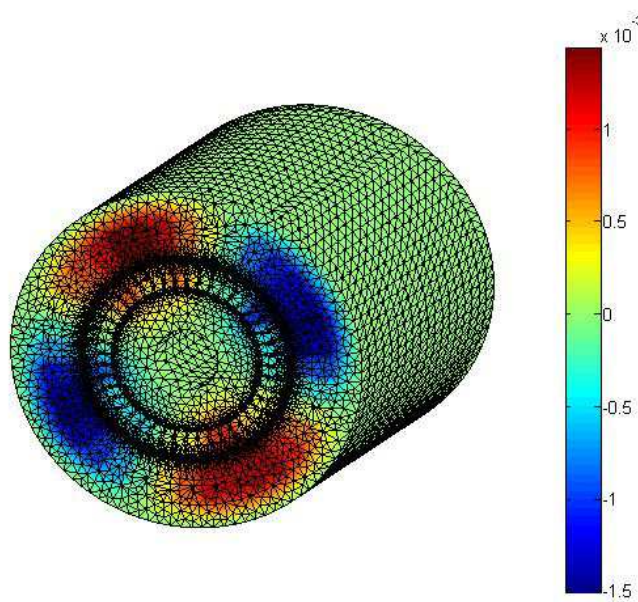
การจำลองผลการกระจายตัวของศักย์เชิงเวกเตอร์แม่เหล็กตลอดปริมาตรของมอเตอร์เมื่อมอเตอร์หมุนด้วยอัตราเร็วคงที่ ด้วยมุมต่างๆ ที่โรเตอร์หมุนใน 360 องศา ดังแสดงด้วยรูปที่ 7.53 - 7.64 แสดงถึงการกระจายตัวของศักย์เชิงเวกเตอร์แม่เหล็กเริ่มตั้งแต่มุม 0 องศา ถึง 359.9992 องศา โดยแต่ละรูปโรเตอร์หมุนในทิศทางทวนเข็มนาฬิกาต่างกันด้วยมุมทีละ 32.7272 องศา



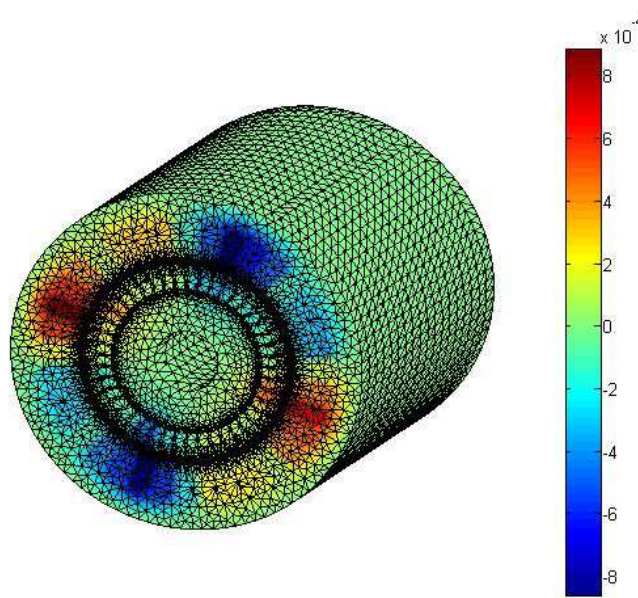
รูปที่ 7.53 การกระจายตัวศักย์เชิงเวกเตอร์แม่เหล็ก (Wb/m) เมื่อพิจารณาร่องโรเตอร์แบบเฉียงเต็มร่องเมื่อโรเตอร์หมุนไปเป็นมุม 0 องศา



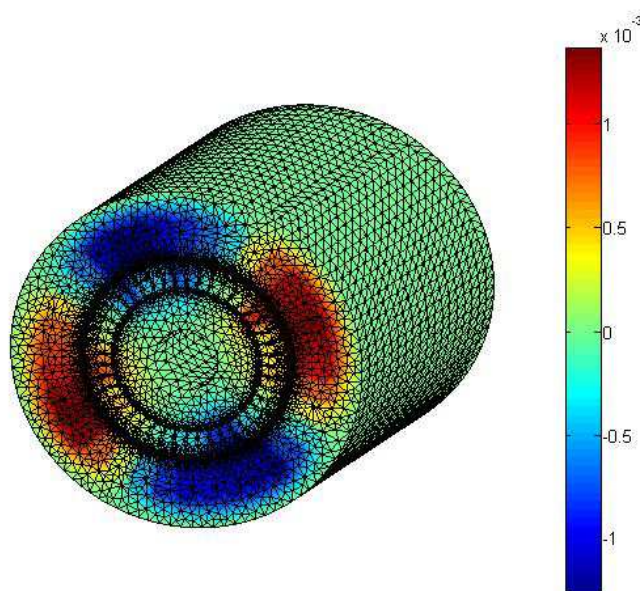
รูปที่ 7.54 การกระจายตัวศักย์เชิงเวกเตอร์แม่เหล็ก (Wb/m) เมื่อพิจารณาร่องโรเตอร์แบบเฉียงเต็มร่องเมื่อโรเตอร์หมุนไปเป็นมุม 32.7272 องศา



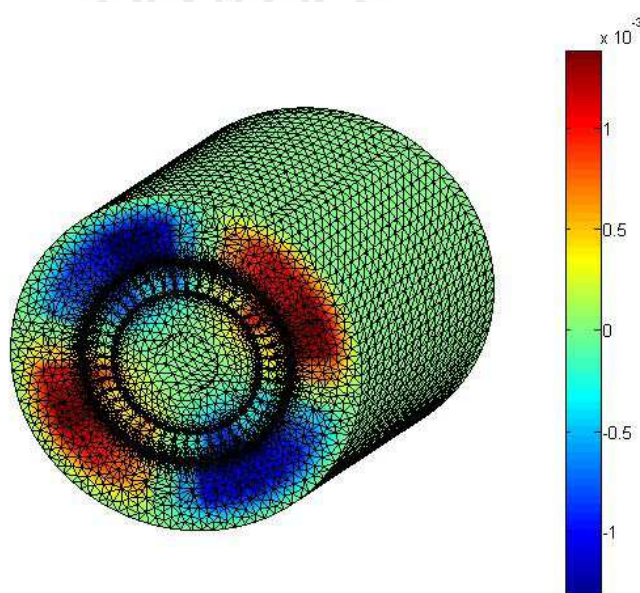
รูปที่ 7.55 การกระจายตัวศักย์เชิงเกาเดอร์แม่เหล็ก (Wb/m) เมื่อพิจารณาเรื่อง โรเตอร์แบบเฉียงเต็มร่องเมื่อ โรเตอร์หมุนไปเป็นมุม 65.4544 องศา



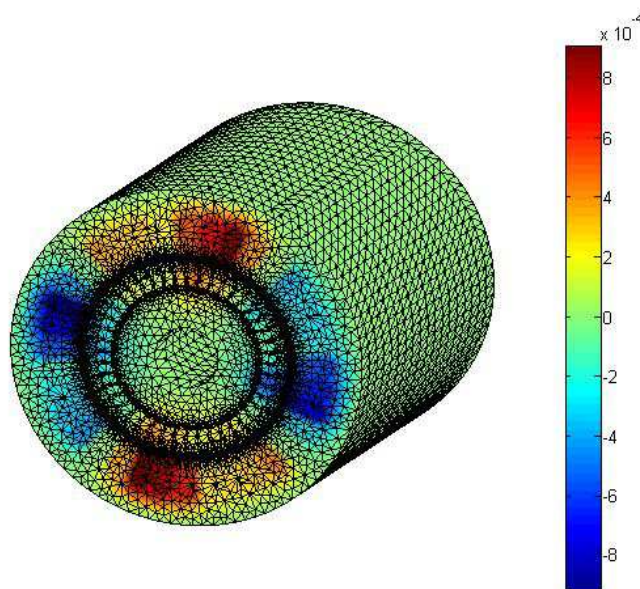
รูปที่ 7.56 การกระจายตัวศักย์เชิงเกาเดอร์แม่เหล็ก (Wb/m) เมื่อพิจารณาเรื่อง โรเตอร์แบบเฉียงเต็มร่องเมื่อ โรเตอร์หมุนไปเป็นมุม 98.1816 องศา



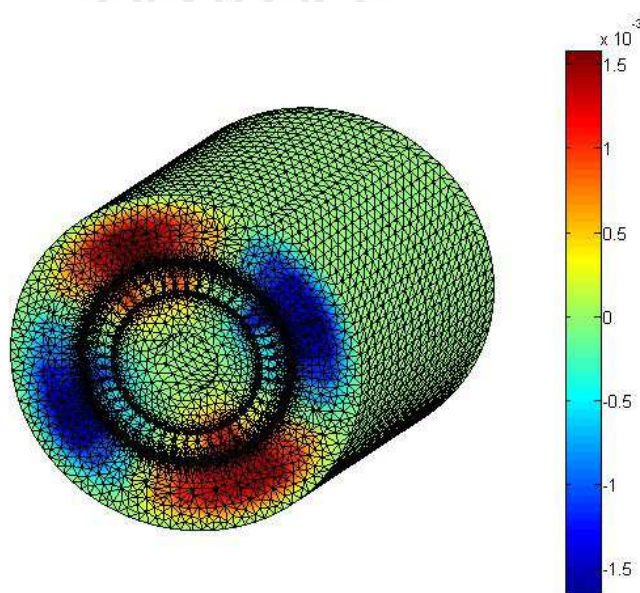
รูปที่ 7.57 การกระจายตัวศักย์เชิงเกาเดอร์แม่เหล็ก (Wb/m) เมื่อพิจารณาเรื่องโรเตอร์แบบเฉียงเต็มร่องเมื่อโรเตอร์หมุนไปเป็นมุม 130.9088 องศา



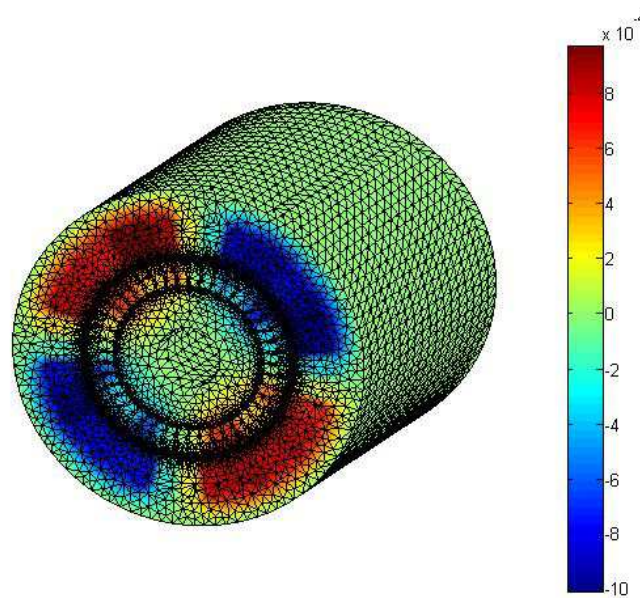
รูปที่ 7.58 การกระจายตัวศักย์เชิงเกาเดอร์แม่เหล็ก (Wb/m) เมื่อพิจารณาเรื่องโรเตอร์แบบเฉียงเต็มร่องเมื่อโรเตอร์หมุนไปเป็นมุม 163.6360 องศา



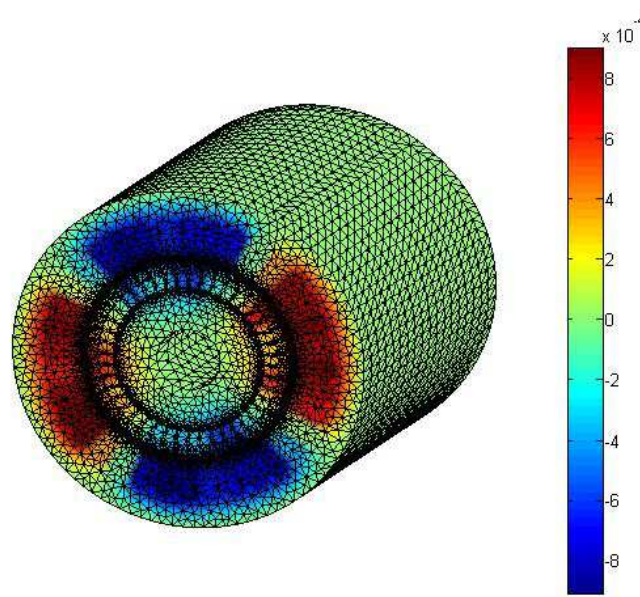
รูปที่ 7.59 การกระจายตัวศักย์เชิงเกาเดอร์แม่เหล็ก (Wb/m) เมื่อพิจารณาเรื่อง โรเตอร์
แบบเลียงเต็มร่องเมื่อ โรเตอร์หมุนไปเป็นมุม 196.3632 องศา



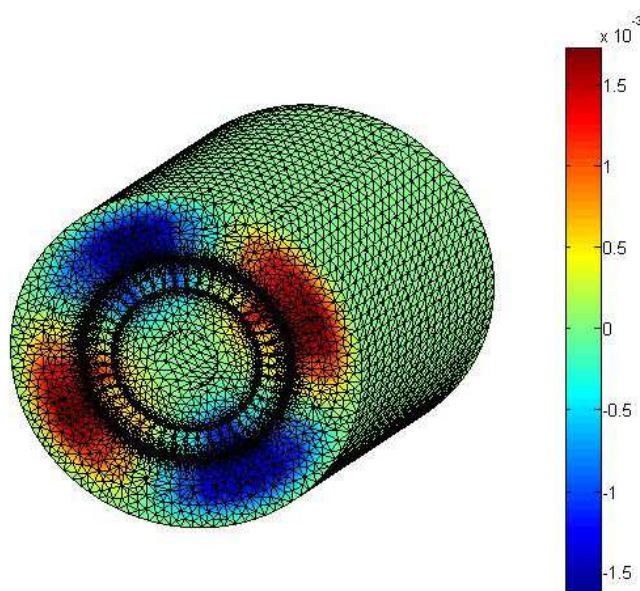
รูปที่ 7.60 การกระจายตัวศักย์เชิงเกาเดอร์แม่เหล็ก (Wb/m) เมื่อพิจารณาเรื่อง โรเตอร์
แบบเลียงเต็มร่องเมื่อ โรเตอร์หมุนไปเป็นมุม 229.0904 องศา



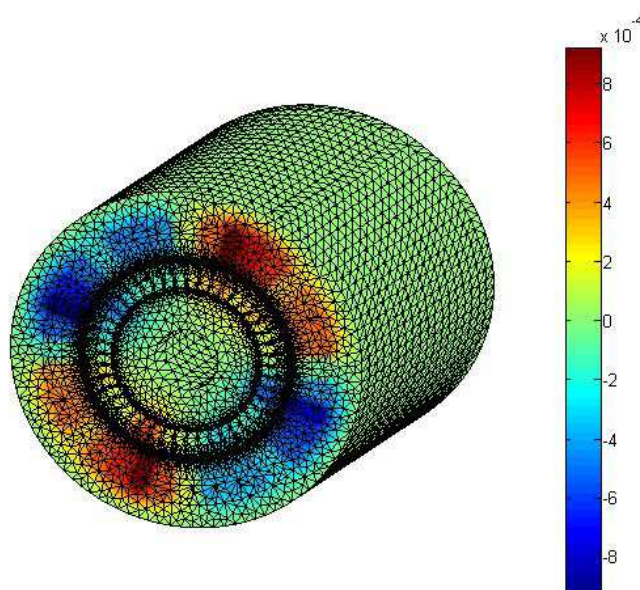
รูปที่ 7.61 การกระจายตัวศักย์เชิงเวกเตอร์แม่เหล็ก (Wb/m) เมื่อพิจารณาเรื่อง โรเตอร์
แบบเลียงเต็มร่องเมื่อ โรเตอร์หมุนไปเป็นมุม 261.8176 องศา



รูปที่ 7.62 การกระจายตัวศักย์เชิงเวกเตอร์แม่เหล็ก (Wb/m) เมื่อพิจารณาเรื่อง โรเตอร์
แบบเลียงเต็มร่องเมื่อ โรเตอร์หมุนไปเป็นมุม 294.5448 องศา



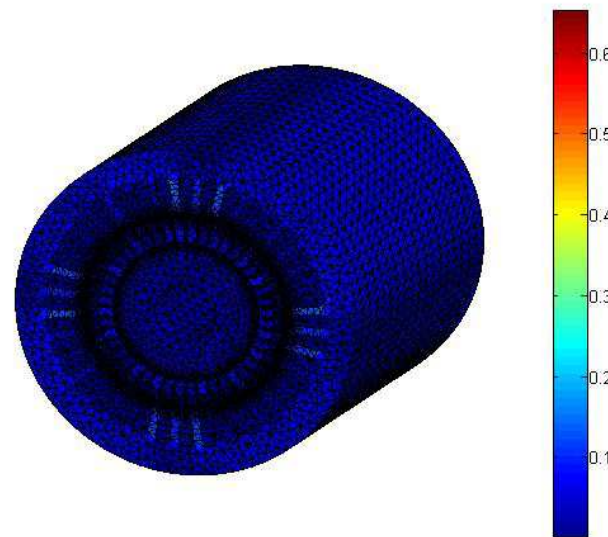
รูปที่ 7.63 การกระจายตัวศักย์เชิงเวกเตอร์แม่เหล็ก (Wb/m) เมื่อพิจารณาเรื่อง โรเตอร์แบบเลียงเต็มร่องเมื่อ โรเตอร์หมุนไปเป็นมุม 327.2720 องศา



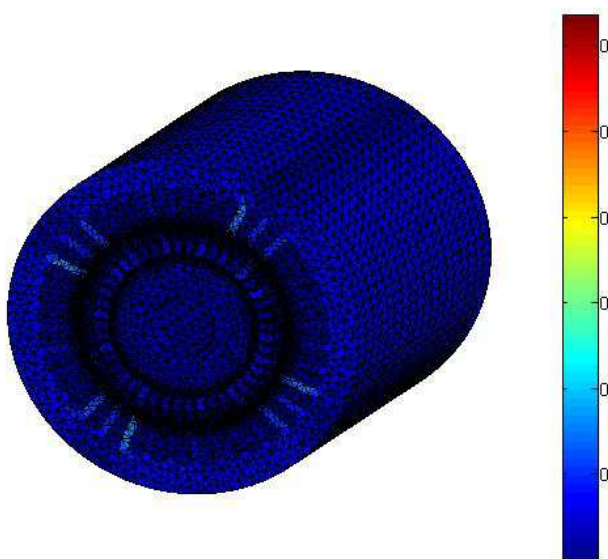
รูปที่ 7.64 การกระจายตัวศักย์เชิงเวกเตอร์แม่เหล็ก (Wb/m) เมื่อพิจารณาเรื่อง โรเตอร์แบบเลียงเต็มร่องเมื่อ โรเตอร์หมุนไปเป็นมุม 359.9992 องศา

จากรูปที่ 7.53 - 7.64 จะสังเกตเห็นว่า ทางเดินของศักย์เชิงเวกเตอร์แม่เหล็กที่กระชาตัวอยู่บนพื้นที่หน้าตัดของมอเตอร์ เมื่อพิจารณาตามมอเตอร์หมุนในสถานะอยู่ตัวและมีโหนดเต็มพิกัดปรากฏให้เห็นถึงจำนวนขั้วแม่เหล็ก N (สีแดง) และ S (สีน้ำเงิน) สลับกันไปจำนวน 4 ขั้ว เท่ากับจำนวนขั้วของมอเตอร์ที่ใช้ในการจำลองผลอย่างเด่นชัด ซึ่งพิจารณาควบคู่กับค่าแอบสีทางด้านขวามือที่มีทั้งค่าบวกและค่าลบ โดยค่าบวกที่มีขนาดสูงสุดจะแทนໄได้ด้วยสีแดงเข้ม และค่าลบที่มีขนาดสูงสุดจะแทนด้วยสีน้ำเงินเข้ม ดังแสดงอยู่ในรูปที่ 7.53 - 7.64 ซึ่งจากรูปจะสังเกตเห็นศักย์เชิงเวกเตอร์แม่เหล็กแบ่งออกเป็น 2 แบบสีหลักๆ คือ แดงและน้ำเงินสลับกันไป 4 กลุ่ม ซึ่งจำนวนกลุ่มนี้เปรียบเสมือนจำนวนขั้วแม่เหล็ก โดยกลุ่มสีแดงหมายถึงขั้ว N ซึ่งมีทิศทางของศักย์เชิงเวกเตอร์แม่เหล็ก A มีทิศผุ่งเข้าหาหน้ากระดาษ ส่วนกลุ่มน้ำเงินหมายถึงขั้ว S ซึ่งมีทิศทางของ A ผุ่งออกจากหน้ากระดาษ โดยศักย์เชิงเวกเตอร์แม่เหล็กจะเริ่มซ้ำทางเดินเมื่อโรเตอร์หมุนผ่านไปประมาณ 180° (ในกรณีที่พิจารณาในสภาวะไร้โหนดจะมีค่าเท่ากับ 180° พอดี(Ishibashi, Noda, and Mochizuki, 1998)) และศักย์เชิงเวกเตอร์แม่เหล็กจะแสดงพฤติกรรมที่เรียกว่าสนามแม่เหล็กหมุนโดยมีทิศทางการหมุนทวนเข็มนาฬิกาไปในทิศทางเดียวกับการหมุนของโรเตอร์ที่ใช้ในการจำลองผล

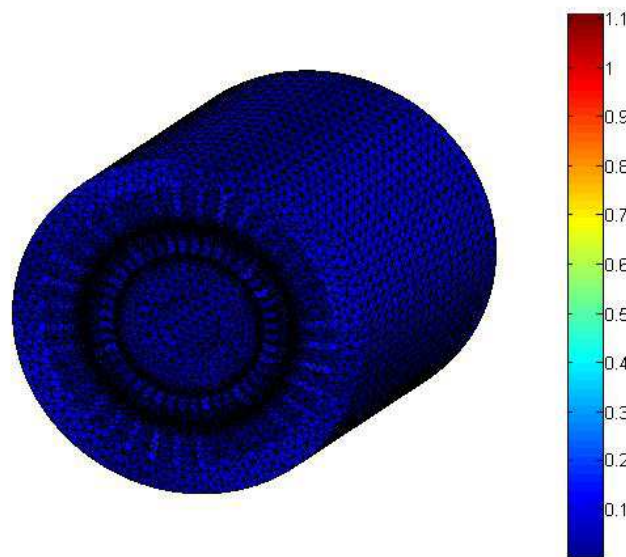
เมื่อทราบค่าศักย์เชิงเวกเตอร์แม่เหล็กที่สามารถนำไปคำนวณค่าสนามแม่เหล็กได้ การคำนวณค่าสนามแม่เหล็กของมอเตอร์นั้นสามารถกระทำได้ด้วยการเครื่องศักย์เชิงเวกเตอร์แม่เหล็ก ดังได้กล่าวมาแล้วในบทที่ 3 รูปที่ 7.65 - 7.76 แสดงการกระชาตัวของสนามแม่เหล็ก ตามปริมาตรของมอเตอร์เหนี่ยวนำเมื่อโรเตอร์หมุนไปจากมุม 0 องศา ถึง 359.9992 องศา โดยโรเตอร์หมุนในทิศทางทวนเข็มนาฬิกาด้วยมุมต่างกัน 32.7272 องศา



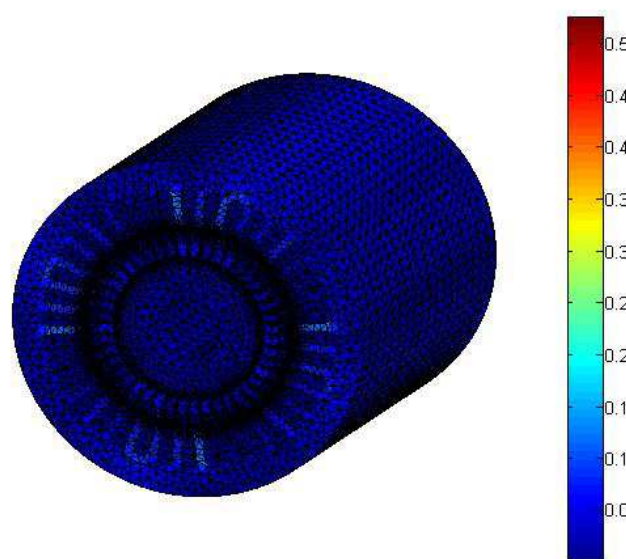
รูปที่ 7.65 การกระจายตัวสนามแม่เหล็ก (T) เมื่อพิจารณาร่องโรเตอร์แบบเฉียงเต็มร่องเมื่อโรเตอร์หมุนไปเป็นมุม 0 องศา



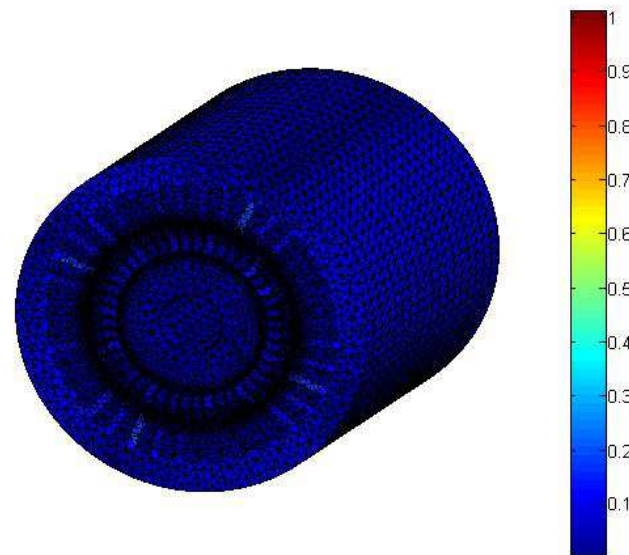
รูปที่ 7.66 การกระจายตัวสนามแม่เหล็ก (T) เมื่อพิจารณาร่องโรเตอร์แบบเฉียงเต็มร่องเมื่อโรเตอร์หมุนไปเป็นมุม 32.7272 องศา



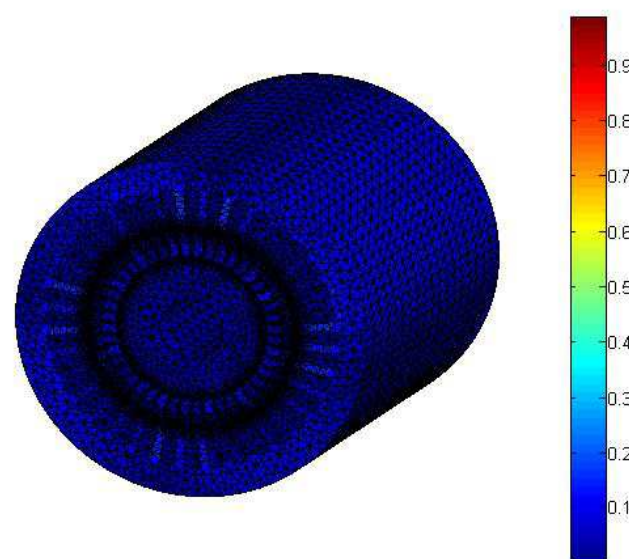
รูปที่ 7.67 การกระจายตัวสนามแม่เหล็ก (T) เมื่อพิจารณาร่องโรเตอร์แบบเฉียงเต็มร่องเมื่อ
โรเตอร์หมุนไปเป็นมุม 65.4544 องศา



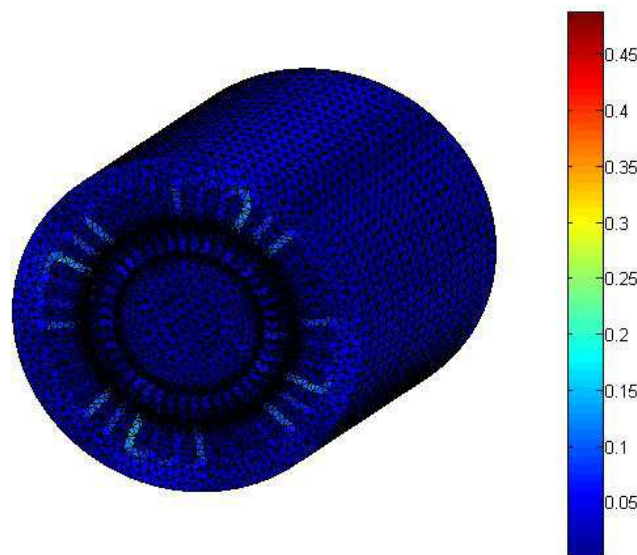
รูปที่ 7.68 การกระจายตัวสนามแม่เหล็ก (T) เมื่อพิจารณาร่องโรเตอร์แบบเฉียงเต็มร่องเมื่อ
โรเตอร์หมุนไปเป็นมุม 98.1816 องศา



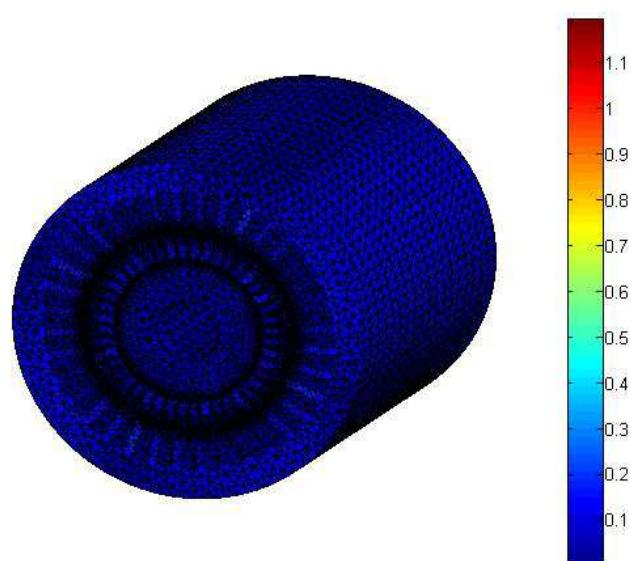
รูปที่ 7.69 การกระจายตัวสนามแม่เหล็ก (T) เมื่อพิจารณาร่องโรเตอร์แบบเฉียงเต็มร่องเมื่อ
โรเตอร์หมุนไปเป็นมุม 130.9088 องศา



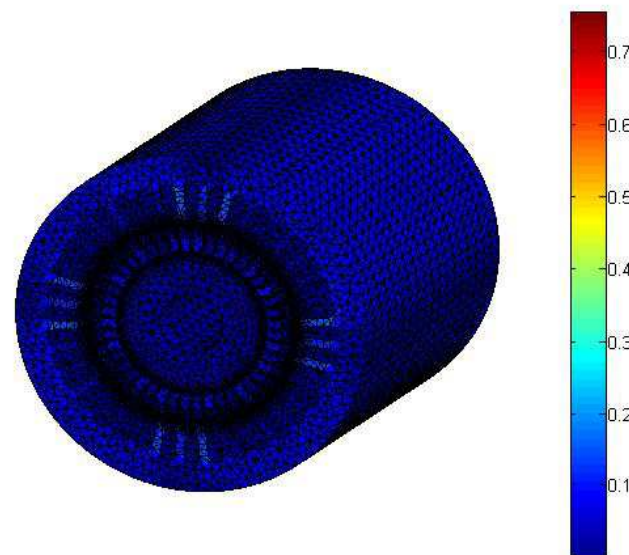
รูปที่ 7.70 การกระจายตัวสนามแม่เหล็ก (T) เมื่อพิจารณาร่องโรเตอร์แบบเฉียงเต็มร่องเมื่อ
โรเตอร์หมุนไปเป็นมุม 163.6360 องศา



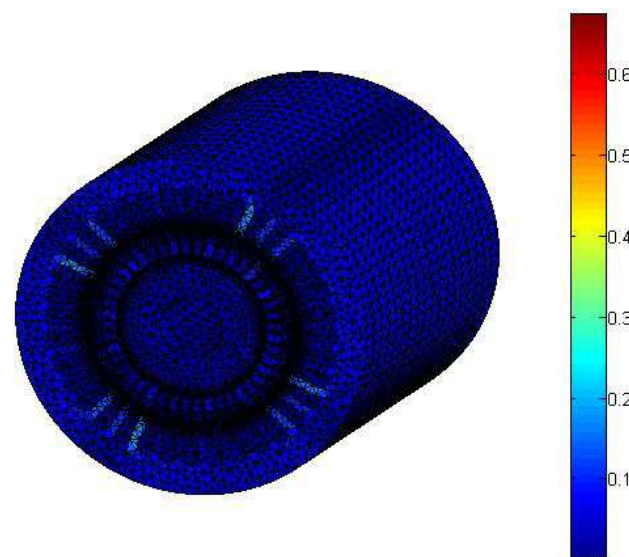
รูปที่ 7.71 การกระจายตัวสนามแม่เหล็ก (T) เมื่อพิจารณาร่องโรเตอร์แบบเฉียงเต็มร่องเมื่อ
โรเตอร์หมุนไปเป็นมุม 196.3632 องศา



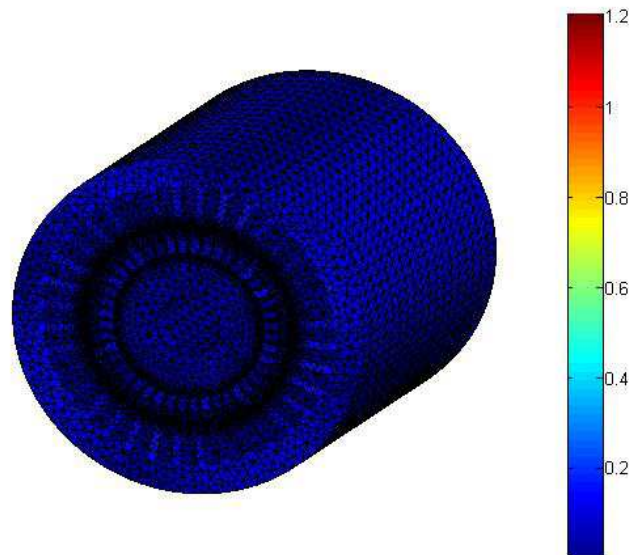
รูปที่ 7.72 การกระจายตัวสนามแม่เหล็ก (T) เมื่อพิจารณาร่องโรเตอร์แบบเฉียงเต็มร่องเมื่อ
โรเตอร์หมุนไปเป็นมุม 229.0904 องศา



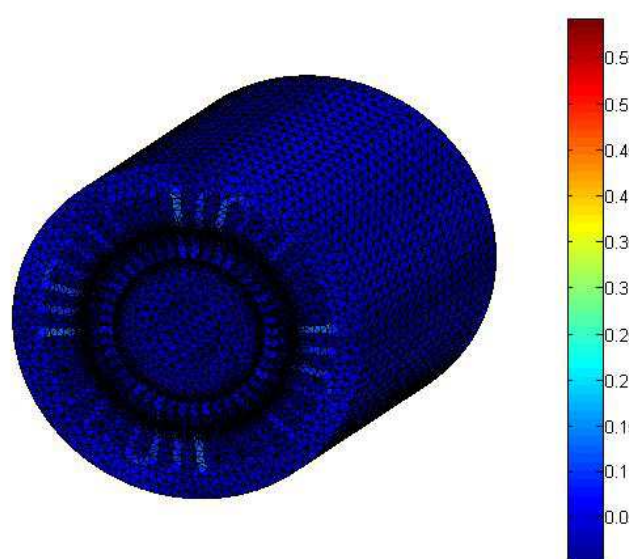
รูปที่ 7.73 การกระจายตัวสนามแม่เหล็ก (T) เมื่อพิจารณาร่องโรเตอร์แบบเฉียงเต็มร่องเมื่อ
โรเตอร์หมุนไปเป็นมุม 261.8176 องศา



รูปที่ 7.74 การกระจายตัวสนามแม่เหล็ก (T) เมื่อพิจารณาร่องโรเตอร์แบบเฉียงเต็มร่องเมื่อ
โรเตอร์หมุนไปเป็นมุม 294.5448 องศา



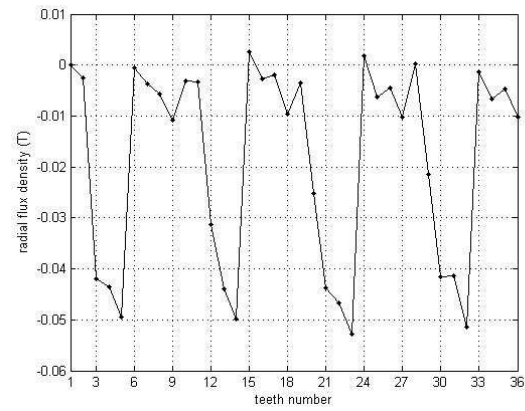
รูปที่ 7.75 การกระจายตัวสนามแม่เหล็ก (T) เมื่อพิจารณาร่องโรเตอร์แบบเฉียงเต็มร่องเมื่อ
โรเตอร์หมุนไปเป็นมุม 327.2720 องศา



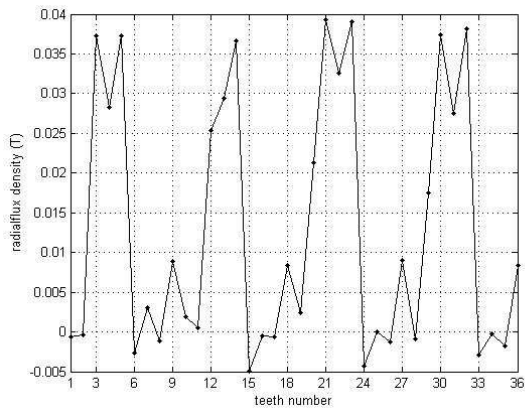
รูปที่ 7.76 การกระจายตัวสนามแม่เหล็ก (T) เมื่อพิจารณาร่องโรเตอร์แบบเฉียงเต็มร่องเมื่อ
โรเตอร์หมุนไปเป็นมุม 359.9992 องศา

ค่าสักย์เชิงเวกเตอร์แม่เหล็กที่ได้จากการจำลองผลในแต่ละจุดต่อที่กระจายบนพื้นที่หน้าตัดตามแนวแกน z ของมอเตอร์ (A_z) จะนำไปใช้ในการคำนวณหาค่าความหนาแน่นสนามแม่เหล็กในแนวรัศมี (B_r) ที่กระทำกับช่องอากาศของมอเตอร์ตรงส่วนของฟันสเตเตเตอร์ในแต่ละชีทั้ง 36 ชีที่มีมุนการหมุนของโรเตอร์เปลี่ยนไป โดยรูปที่ 7.77 เป็นการแสดงค่า B_r ที่กระทำตรงฟันของสเตเตเตอร์ในแต่ละชีที่ซึ่งเป็นการพิจารณาเรื่องโรเตอร์แบบเฉียงครึ่งร่องเมื่อพิจารณาโรเตอร์หมุนไป 0° , 90° และ 180° (ชีที่ 1 คือตำแหน่ง 0° เทียบกับแกน x+ พอดี และชีที่ถัดไปจะวางตัวเป็นลำดับในทิศทางทวนเข็มนาฬิกา) จากรูปที่ 7.77 จะสังเกตเห็นว่า รูปภาพของ B_r จะมีลักษณะคล้ายรูปคลื่นไอน์แอมเพลจูดสูงสุดประมาณ 0.05 tesla ที่มีค่าเป็นครึ่งหนึ่งของจำนวนชีทั้งหมด โดยภาพ B_r จะมีลักษณะเหมือนเดิมเมื่อโรเตอร์หมุนผ่านไปประมาณ 180° และเมื่อพิจารณารูปภาพของ B_r เมื่อโรเตอร์หมุนทำมุม 0° ดังรูปที่ 7.77(g) เทียบกับรูปของการกระจายตัวสักย์เชิงเวกเตอร์แม่เหล็กเมื่อโรเตอร์หมุนทำมุม 0° เช่นกัน ดังรูปที่ 7.53 จะสังเกตเห็นว่าค่า B_r ในรูปที่ 7.51(g) จะมีขนาดสูงสุด ณ ตำแหน่งฟันของสเตเตเตอร์ชีที่ 5, 14, 23 และ 32 และจะมีค่าเป็นศูนย์ ณ ตำแหน่งฟันของสเตเตเตอร์ชีที่ 6, 15, 24 และ 33 โดยระยะห่างในแต่ละชีที่ปรากฏจะมีค่าเป็น 9 ซึ่งเท่ากับ 1 พิเศษขั้วแม่เหล็กพอดี (1 pole pitch) ซึ่งจะสอดคล้องกับรูปที่ 7.53 โดยสักย์เชิงเวกเตอร์แม่เหล็ก A จะมีค่าเป็นศูนย์ ณ ชีที่ 5, 14, 23 และ 32 และจะมีขนาดสูงสุด ณ ชีที่ 6, 15, 24 และ 33 ทั้งนี้เป็นผลเนื่องมาจากค่าสนามแม่เหล็ก B ได้จากการเครื่องสักย์เชิงเวกเตอร์แม่เหล็ก A ซึ่งรูปที่ 7.77(u) และ 7.77(c) สามารถพิจารณาเทียบได้ในทำนองเดียวกัน จะพบว่าสนามแม่เหล็กจะมีค่าน้อยที่สุดเมื่อเทียบกับการพิจารณาเรื่องโรเตอร์แบบร่องตรง

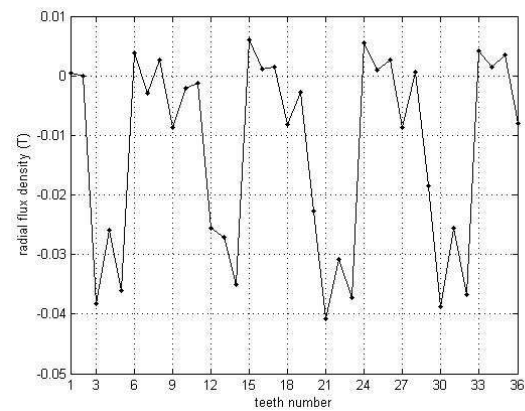
เมื่อคำนวณหาค่าสนามแม่เหล็กแล้ว จากนั้นจึงใช้สมการความเกินของแมกซ์เวลล์ท่าค่าแรงแม่เหล็กไฟฟ้าในแนวรัศมี (F_r) ที่กระทำกับช่องอากาศตรงฟันสเตเตเตอร์ในแต่ละชีที่ซึ่ง $F_r \propto B_r^2$ โดยรูปที่ 7.78 เป็นการแสดงค่า F_r เทียบกับเวลา โดยพิจารณา F_r กระทำกับช่องอากาศตรงส่วนของฟันสเตเตเตอร์เมื่อโรเตอร์หมุนครบ 1 รอบ เนพาะในชีที่ 1 ถึงชีที่ 9 จากทั้งหมด 36 ชีที่เนื่องจากผลของ F_r จะเริ่มขึ้นเป็นค่าในทุกๆ 9 ชีท ซึ่งสอดคล้องกับระยะ 1 พิเศษขั้วแม่เหล็ก ดังที่ได้กล่าวถึงข้างต้น จะพบว่าแรงแม่เหล็กในแนวรัศมีจะมีค่าน้อยที่สุดเมื่อเทียบกับการพิจารณาเรื่องโรเตอร์แบบร่องตรง



(n)

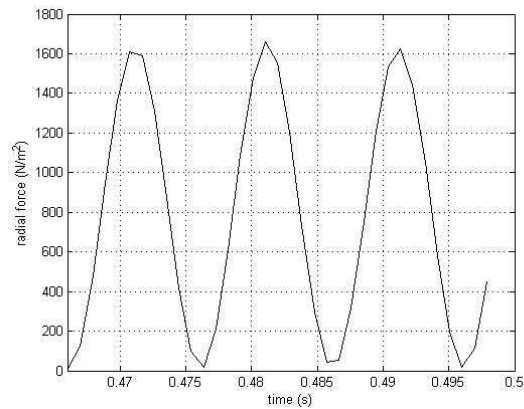


(u)

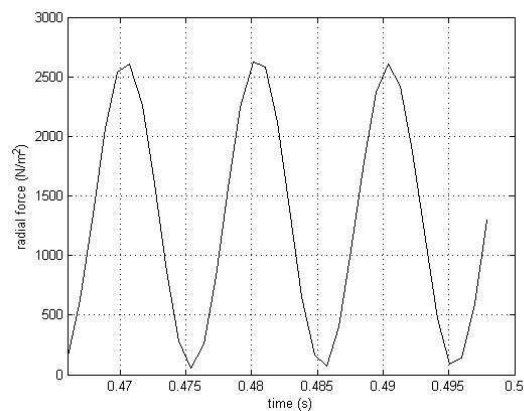


(k)

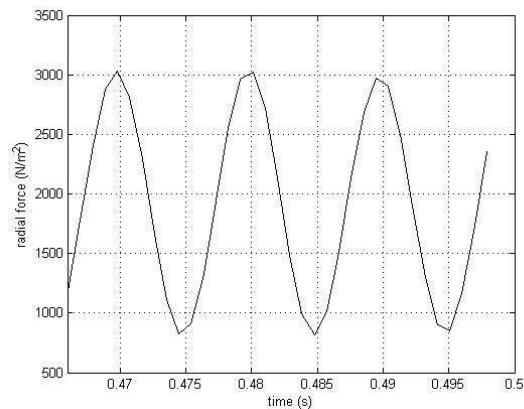
รูปที่ 7.77 สนามแม่เหล็กตามแนวรัศมีที่กระทำกับฟันสเตเตอร์มีพิจารณาองโกรเตอร์แบบเฉียงเต็มร่องเมื่อโกรเตอร์หมุนไป (n) 0° , (u) 90° และ (k) 180°



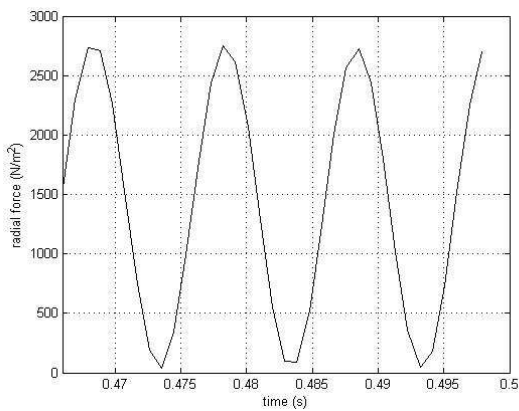
(n)



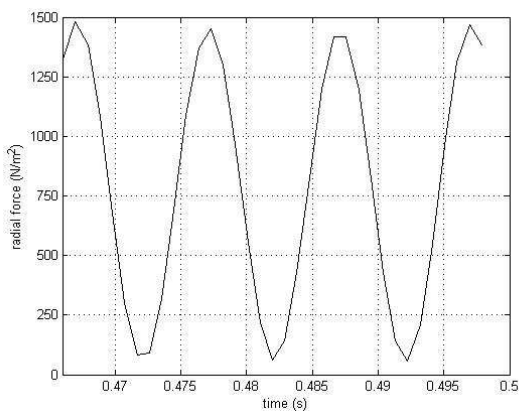
(u)



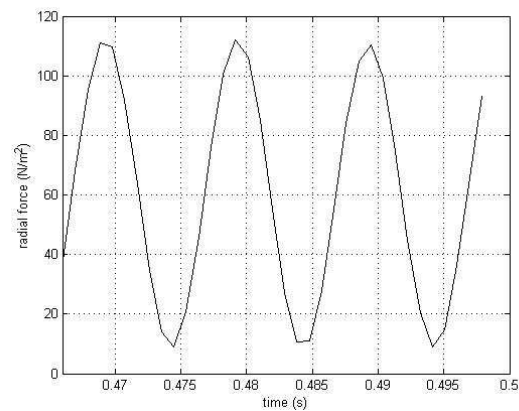
(n)



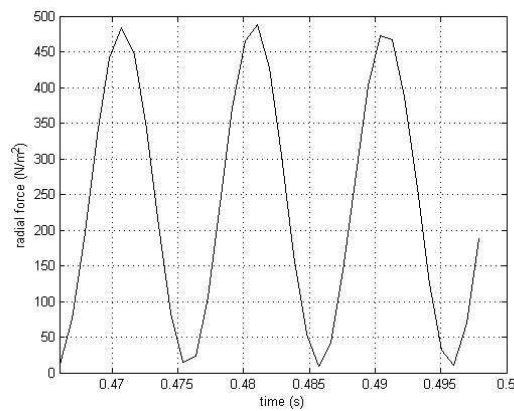
(I)



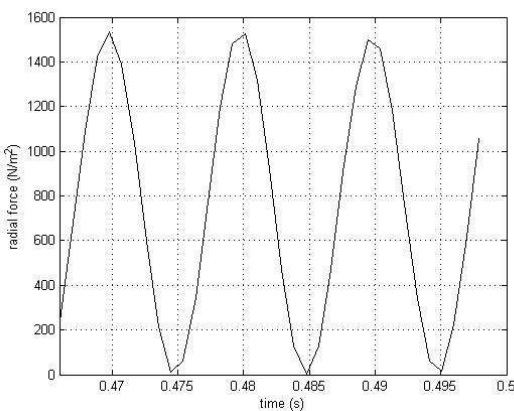
(II)



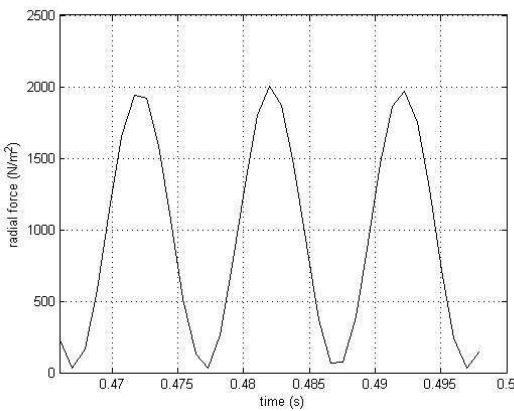
(III)



(ก)



(ก)



(ก)

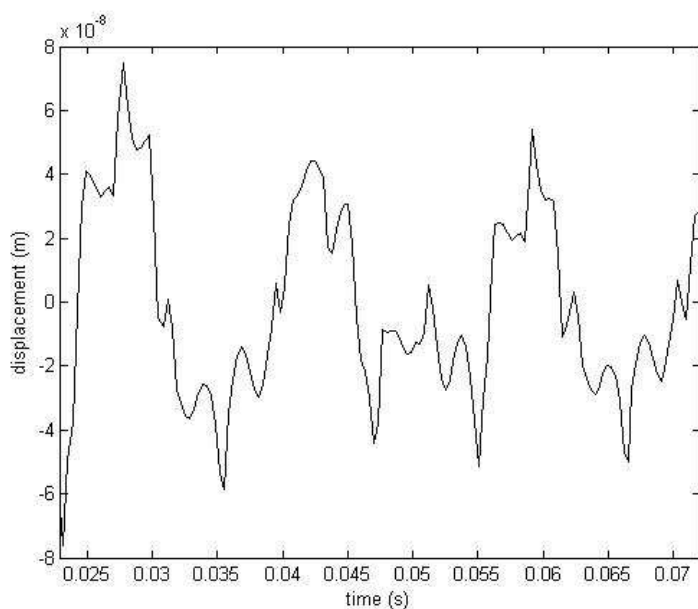
รูปที่ 7.78 แรงแม่เหล็กไฟฟ้าที่กระทำกับพื้นสเตเตอร์มีอิฐารณาร่อง ໂຣເຕອຣ໌ແບບເນື້ອງເຄີມຮ່ອງ (ກ)
 ທີ່ທີ່ 1, (ຂ) ທີ່ທີ່ 2, (ຄ) ທີ່ທີ່ 3, (ງ) ທີ່ທີ່ 4, (ຈ) ທີ່ທີ່ 5, (ນ) ທີ່ທີ່ 6, (ຫ) ທີ່ທີ່ 7, (ຊ) ທີ່ທີ່ 8, (ມ) ທີ່ທີ່ 9

7.3 ผลการจำลองการสั่นสะเทือนและอภิปรายผล

การสั่นสะเทือนในมอเตอร์มีสาเหตุมาจากแรงแม่เหล็กไฟฟ้าดังที่อธิบายไว้ในหัวข้อที่ 7.2.1 ซึ่งเป็นแรงภายใต้ความต้องการที่เกิดการสั่นสะเทือน ในงานวิจัยวิทยานิพนธ์นี้ได้คำนวณการสั่นสะเทือนเมื่อพิจารณาบนแบบอิเล็กทรอนิกส์ซึ่งหมายความว่าสำหรับพิจารณาการสั่นสะเทือนในรูปของการบิดเบี้ยวของสเตเตอร์

7.3.1 ผลการจำลองการสั่นสะเทือนเมื่อพิจารณาองร์โโรเตอร์แบบร่องตรง

การจำลองการสั่นสะเทือน จะใช้โปรแกรมจำลองผลการสั่นสะเทือนดังแสดงรายละเอียดอยู่ในหัวข้อที่ 6.4.2 ของบทที่ 6 ซึ่งใช้วิธีไฟโนท์อิลลิเมนต์เป็นเครื่องมือในการแก้ปัญหา วิธีการนี้สามารถนำมาซึ่งผลลัพธ์ของการกระจัดที่ละเอียดและครอบคลุมตลอดทั้งพื้นที่หน้าตัดของมอเตอร์ จากโปรแกรมจำลองผลการสั่นสะเทือน ผลลัพธ์ที่ปรากฏคือผลของการสั่นสะเทือนที่เป็นการกระจัดแสดงอยู่ในรูปการกระจัดตามแนวรัศมี รูปที่ 7.79 เป็นการแสดงผลการจำลองของ การกระจัดตามแนวแกนรัศมีเทียบกับเวลาตรงตำแหน่งส่วนโกรงสเตเตอร์ของมอเตอร์ เมื่อพิจารณาองร์โโรเตอร์แบบร่องตรง



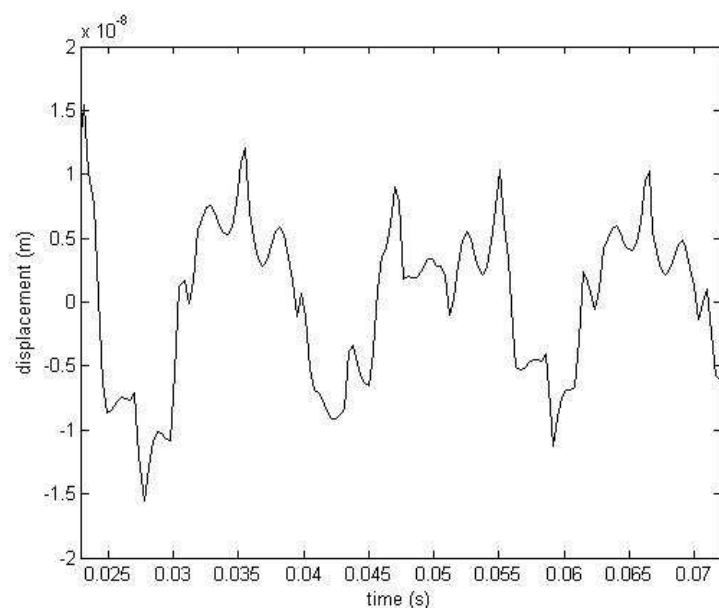
รูปที่ 7.79 การกระจัดตามแนวแกนรัศมีของมอเตอร์เมื่อพิจารณาองร์โโรเตอร์แบบร่องตรง

รูปที่ 7.79 เป็นผลการจำลองการสั่นสะเทือนของมอเตอร์เหนี่ยวนำที่สภาวะคงตัว จะเห็นว่าการสั่นสะเทือนตรงตำแหน่งส่วนโกรงสเตเตอร์ของมอเตอร์ในแนวแกนตามแนวแกนรัศมี จะมี

การสั่นขึ้นลงในลักษณะที่เป็นรายคาน (ระยะกระจัคที่ 0 m คือตำแหน่งที่อ้างอิง) โดยแอมเพลิจูดของการกระจัคเฉลี่ยในสภาวะคงตัวมีค่าประมาณ $5.6524 \times 10^{-8}\text{ m}$ และจากรูปจะสังเกตเห็นว่ามีคาบของการสั่นขึ้นลง $T = 0.01\text{ sec}$ โดยหากความถี่การสั่นได้จาก $f = 1/T$ ซึ่งจะได้ความถี่ประมาณ 100 Hz ทั้งนี้ เพราะความถี่ที่เกิดการสั่นสะเทือนจะมีค่าเท่ากับความถี่ของแรงภายนอกที่มากระทำ ตามทฤษฎีแล้วแรงแม่เหล็กไฟฟ้าซึ่งเป็นแรงภายนอกที่มากระทำจะต้องมีความถี่เป็น 100 Hz เพราะความถี่จากแหล่งจ่ายไฟคือ 50 Hz ซึ่งจากผลการจำลองถ้าพิจารณาจากความถี่ที่ได้รับได้ลักษณะเดียวกัน

7.3.2 ผลการจำลองการสั่นสะเทือนเมื่อพิจารณาร่องโรเตอร์แบบเฉียงครึ่งร่อง

การจำลองการสั่นสะเทือน จะใช้โปรแกรมจำลองผลการสั่นสะเทือนดังแสดงรายละเอียดอยู่ในหัวข้อที่ 6.4.2 ของบทที่ 6 ซึ่งใช้วิธีไฟไนท์อิคลิเมนต์เป็นเครื่องมือในการแก้ปัญหา วิธีการนี้สามารถนำมาซึ่งผลลัพธ์ของการกระจัคที่ละเอียดและครอบคลุมตลอดทั้งพื้นที่หน้าตัดของมอเตอร์ จากโปรแกรมจำลองผลการสั่นสะเทือน ผลลัพธ์ที่ปรากฏคือผลของการสั่นสะเทือนที่เป็นการกระจัคแสดงอยู่ในรูปการกระจัคตามแนวรัศมี รูปที่ 7.80 เป็นการแสดงผลการจำลองของการกระจัคตามแนวแกนรัศมีเทียบกับเวลาตรงตำแหน่งส่วนโคงสเตเตอร์ของมอเตอร์ เมื่อพิจารณาร่องโรเตอร์แบบเฉียงครึ่งร่อง

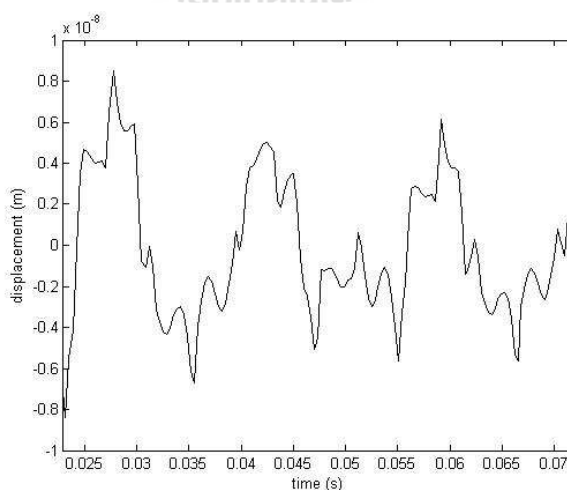


รูปที่ 7.80 การกระจัคตามแนวแกนรัศมีของมอเตอร์เมื่อพิจารณาร่องโรเตอร์แบบเฉียงครึ่งร่อง

รูปที่ 7.80 เป็นผลการจำลองการสั่นสะเทือนของมอเตอร์เห็นได้ชัดเจนที่สภาวะคงตัว จะเห็นว่าการสั่นสะเทือนตรงตัวแห่งส่วนโครงสร้างเดตอร์ในแนวแกนตามแนวแกนรัศมี จะมีการสั่นขึ้นลงในลักษณะที่เป็นรายคาน (ระยะกระชั้ดที่ 0 m คือตัวแห่งที่อ้างอิง) โดยแอมเพลิจูดของการกระชั้ดเฉลี่ยในสภาวะคงตัวมีค่าประมาณ $1.1375 \times 10^{-8} \text{ m}$ และจากรูปจะสังเกตเห็นว่ามีคาบของการสั่นขึ้นลง $T = 0.01 \text{ sec}$ โดยหากความถี่การสั่นได้จาก $f = 1/T$ ซึ่งจะได้ความถี่ประมาณ 100 Hz ทั้งนี้เพราความถี่ที่เกิดการสั่นสะเทือนจะมีค่าเท่ากับความถี่ของแรงภายนอกที่มากระทำ ตามทฤษฎีแล้วแรงแม่เหล็กไฟฟ้าซึ่งเป็นแรงภายนอกที่มากระทำจะต้องมีความถี่เป็น 100 Hz เพราความถี่จากแหล่งจ่ายไฟคือ 50 Hz ซึ่งจากผลการจำลองถ้าพิจารณาจากความถี่ที่ได้รับว่าใกล้เคียงกับทฤษฎี พบร่วมแอมเพลิจูดการกระชั้ดเฉลี่ยจะมีค่าคล่องเมื่อเทียบกับการพิจารณาร่องโรเตอร์แบบเฉียงเต็มร่อง

7.3.3 ผลการจำลองการสั่นสะเทือนเมื่อพิจารณาร่องโรเตอร์แบบเฉียงเต็มร่อง

การจำลองการสั่นสะเทือน จะใช้โปรแกรมจำลองผลการสั่นสะเทือนดังแสดงรายละเอียดอยู่ในหัวข้อที่ 6.4.2 ของบทที่ 6 ซึ่งใช้วิธีไฟโนท์อิลดิเมนต์เป็นเครื่องมือในการแก้ปัญหา วิธีการนี้สามารถนำมาซึ่งผลลัพธ์ของการกระชั้ดที่ละเอียดและครอบคลุมตลอดทั้งพื้นที่หน้าตัดของมอเตอร์ จากโปรแกรมจำลองผลการสั่นสะเทือน ผลลัพธ์ที่ปรากฏคือผลของการสั่นสะเทือนที่เป็นการกระชั้ดแสดงอยู่ในรูปการกระชั้ดตามแนวแกนรัศมี รูปที่ 7.81 เป็นการแสดงผลการจำลองของการกระชั้ดตามแนวแกนรัศมีเทียบกับเวลาตรงตัวแห่งส่วนโครงสร้างเดตอร์ของมอเตอร์ เมื่อพิจารณาร่องโรเตอร์แบบเฉียงเต็มร่อง



รูปที่ 7.81 การกระชั้ดตามแนวแกนรัศมีของมอเตอร์เมื่อพิจารณาร่องโรเตอร์แบบเฉียงเต็มร่อง

รูปที่ 7.81 เป็นผลการจำลองการสั่นสะเทือนของมอเตอร์เหนี่ยวนำที่สภาพวงตัว จะเห็นว่า การสั่นสะเทือนตรงตำแหน่งส่วนโครงสร้างของมอเตอร์ในแนวแกนตามแนวแกนรัศมี จะมีการ สั่นขึ้ลงในลักษณะที่เป็นรายคาน (ระยะกระฉัດที่ 0 m คือตำแหน่งที่อ้างอิง) โดยแอมเพลจูดของ การกระฉัดเฉลี่ยในสภาพวงตัวมีค่าประมาณ $0.6372 \times 10^{-8} m$ และจากรูปจะสังเกตเห็นว่ามีความ ของการสั่นขึ้ลง $T = 0.01$ sec โดยหากความถี่การสั่นได้จาก $f = 1/T$ ซึ่งจะได้ความถี่ประมาณ 100 Hz ทั้งนี้ เพราะความถี่ที่เกิดการสั่นสะเทือนจะมีค่าเท่ากับความถี่ของแรงภายนอกที่มาระทำ ตามทฤษฎีแล้วแรงแม่เหล็กไฟฟ้าซึ่งเป็นแรงภายนอกที่มาระทำจะต้องมีความถี่เป็น 100 Hz เพราะ ความถี่จากแหล่งจ่ายไฟคือ 50 Hz ซึ่งจากผลการจำลองถ้าพิจารณาจากความถี่ที่ได้ไว้แล้วก็คือ พบว่าแอมเพลจูดการกระฉัดเฉลี่ยจะมีค่าน้อยที่สุดเมื่อเทียบกับการพิจารณาร่องโรเตอร์ แบบร่องตรงลดลงคิดเป็นร้อยละ 88

7.4 สรุป

ในบทที่ 7 นี้ได้ดำเนินการจำลองผลของสนามแม่เหล็กและการสั่นสะเทือนของมอเตอร์ เมื่อพิจารณาร่องโรเตอร์คี่ของอุปกรณ์เป็น 3 แบบ ได้แก่ ร่องโรเตอร์แบบร่องตรง, ร่องโรเตอร์แบบเนียง ครึ่งร่อง และ ร่องโรเตอร์แบบเนียงเต็มร่อง โดยมีวัตถุประสงค์เพื่อศึกษานาดของ การสั่นสะเทือน ในมอเตอร์เมื่อพิจารณาร่องโรเตอร์แต่ละแบบ ซึ่งการกระฉัดเฉลี่ยที่เป็นตัวชี้วัดถึงนาดของการ สั่นสะเทือนในมอเตอร์จะมีค่าน้อยที่สุดเมื่อพิจารณาร่องโรเตอร์แบบเนียงเต็มร่อง โดยคิดเป็นร้อย ละ 88 เมื่อเทียบกับร่องโรเตอร์แบบร่องตรง

บทที่ 8

สรุปและข้อเสนอแนะ

8.1 สรุป

งานวิจัยวิทยานิพนธ์นี้ ได้นำเสนอแบบจำลองทางคณิตศาสตร์และการจำลองผลสนามแม่เหล็กและการสั่นสะเทือนทางกลของมอเตอร์เห็นี่ยวน้ำสามเฟส เพื่อศึกษาและเปรียบเทียบถึงการสั่นสะเทือนของมอเตอร์เห็นี่ยวน้ำเมื่อพิจารณาองโโรเตอร์เนียงออกเป็น 3 แบบ ได้แก่ ร่องโรเตอร์แบบดึงเดิม ร่องโรเตอร์แบบเนียงครึ่งร่อง และร่องโรเตอร์แบบเนียงเต็มร่อง การจำลองผลได้ใช้ชีวิชไฟฟ้าในท่ออลลิเมนต์แบบ 3 มิติ ที่มีการเปลี่ยนแปลงตามเวลาประกอบกับการเลือกใช้ค่าพารามิเตอร์จากหนังสือและบทความทางวิชาการจำนวนมาก ที่มีการดำเนินงานกับมอเตอร์ขนาดพิกัดใกล้เคียงกันกับงานวิจัยวิทยานิพนธ์นี้ เพื่อให้ได้มาซึ่งค่าพารามิเตอร์ของมอเตอร์ที่สมบูรณ์และเพียงพอต่อการจำลองผล เพื่อศึกษาถึงแรงแม่เหล็กไฟฟ้าที่เป็นแรงภายใต้ภาระทำกับมอเตอร์ให้เกิดการสั่นสะเทือน โดยคำนวณผลการสั่นสะเทือนจากการจำลองด้วยคอมพิวเตอร์ การประดิษฐ์ไฟฟ้าในท่ออลลิเมนต์ขึ้นเป็นโปรแกรมคอมพิวเตอร์ได้ใช้โปรแกรม MATLAB โดยรับค่าอินพุตจากโปรแกรมการสร้างกริดสำหรับรูปชื่อ Solid Work พร้อมแสดงผลลัพธ์ด้วยภาพกราฟฟิกต่างๆ ที่แสดงให้เห็นถึงคุณลักษณะทางไฟฟ้าและทางกลของมอเตอร์ เพื่อย่างต่อการวิเคราะห์ผล

การดำเนินงานวิจัยวิทยานิพนธ์ อาศัยรากฐานจากการสำรวจปริทัศน์วรรณกรรมและงานวิจัยที่เกี่ยวข้อง เพื่อเป็นแนวทางสำหรับการประยุกต์และพัฒนาต่อขององค์ความรู้ ซึ่งบทที่ 2 ของวิทยานิพนธ์ได้นำเสนอทบทวนวรรณกรรมเหล่านั้น พร้อมทั้งศึกษาทฤษฎีและหลักการต่างๆ ที่เกี่ยวข้องกับงานวิจัย เพื่อเป็นพื้นฐานความรู้และความเข้าใจในการดำเนินงานวิจัย ดังที่ได้อธิบายไว้ในบทที่ 3 ซึ่งต้องพึงพิจารณาแบบจำลองทางคณิตศาสตร์ของสนามแม่เหล็กในมอเตอร์ และประยุกต์ชีวิชไฟฟ้าในท่ออลลิเมนต์เพื่อใช้ในการจำลองผล การดำเนินงานในบทที่ 4 เป็นขั้นการพัฒนาแบบจำลองทางคณิตศาสตร์ของสนามแม่เหล็กดังกล่าว ส่วนการคำนวณขนาดของการสั่นสะเทือนในมอเตอร์ในรูปของการกระจายตัวที่ครอบคลุมตลอดทั้งพื้นที่หน้าตัดของมอเตอร์ต้องอาศัยการคำนวณที่มีความซับซ้อนสูง ทำให้ต้องพึงพิจารณาแบบจำลองทางคณิตศาสตร์และการจำลองผลด้วยการประยุกต์ชีวิชไฟฟ้าในท่ออลลิเมนต์เช่นกัน แบบจำลองทางคณิตศาสตร์ของการสั่นสะเทือนในมอเตอร์

และขั้นตอนต่างๆ ในการประยุกต์ใช้ไฟฟ้าในท่ออิเล็กทรอนิกส์เพื่อคำนวณหาค่าการสั่นสะเทือนดังกล่าว ได้แสดงรายละเอียดไว้ในบทที่ 5 เนื้อหาในบทที่ 6 นำเสนอการอธิบายโครงสร้างของโปรแกรมเพื่อใช้จำลองผลสนามแม่เหล็กและจำลองผลการสั่นสะเทือน การดำเนินงานในบทที่ 7 เป็นการศึกษา และวิเคราะห์ผลลัพธ์ทางไฟฟ้าและทางกลที่ได้จากการจำลองผลค่าศักย์เชิงเวกเตอร์แม่เหล็ก สนามแม่เหล็กและการสั่นสะเทือนในมอเตอร์ ซึ่งผลการศึกษาในครั้งนี้ได้เปรียบเทียบผลการ สั่นสะเทือนของมอเตอร์เหนี่ยวนำเมื่อพิจารณาการวางแผนตัวของร่องโรเตอร์เฉียงแบบต่างๆ ซึ่งผลที่ ปรากฏชัดเจนได้ว่า ร่องโรเตอร์แบบเฉียงเต็มร่องให้การสั่นสะเทือนของมอเตอร์มีค่าน้อยที่สุดส่วน ร่องโรเตอร์แบบร่องตรงให้การสั่นสะเทือนของมอเตอร์มีค่าสูงสุด

8.2 ข้อเสนอแนะและงานวิจัยในอนาคต

1. พัฒนางานวิจัย เพื่อทำการวางแผนตัวของร่องโรเตอร์ให้ได้ค่าที่เหมาะสมที่สุดในการลด การสั่นสะเทือนในมอเตอร์
2. นำลักษณะการมีความสมมาตรของรูปทรงมอเตอร์มาร่วมพิจารณา ซึ่งอาจใช้การ ประมวลผลโดยวิธีไฟฟ้าในท่ออิเล็กทรอนิกส์เพียง 1/4 ของรูปทรงกลมของมอเตอร์ จึงสามารถ ประหยัดเวลาและหน่วยความจำของคอมพิวเตอร์ในการจำลองผลลัพธ์ได้มาก

รายการอ้างอิง

- เฉลิมพล นำค้าง. (2538). **ทฤษฎีสนามไฟฟ้าและสนามแม่เหล็ก** (พิมพ์ครั้งที่ 4). กรุงเทพฯ: ศูนย์ส่งเสริมกรุงเทพ.
- ถาวร อมตกิตติ์. (2545). มอเตอร์ประستิทิฟฟ้าสูง. **ไฟฟ้าและอุตสาหกรรม**. 1(3): 27-36.
- ปราโมทย์ เดชะอ่อนไฟ. (2542). **ไฟฟ้าในอิเล็กเมนต์ในงานวิศวกรรม** (พิมพ์ครั้งที่ 2). กรุงเทพฯ: จุฬาลงกรณ์มหาวิทยาลัย.
- ปราโมทย์ เดชะอ่อนไฟ. (2544). **ระบบอิเล็กทรอนิกส์เชิงตัวเลขในงานวิศวกรรม** (พิมพ์ครั้งที่ 3). กรุงเทพฯ: จุฬาลงกรณ์มหาวิทยาลัย.
- พิรศักดิ์ วรสุนทรรถ และ มนูชิ มาการิชา瓦. (2538). **เทคนิคการซ่อมแซมเลือกประเภทและติดตั้งมอเตอร์เหนี่ยวนำ**. กรุงเทพฯ: ชีเอ็คยูเคชั่น.
- เพ็ชร เพ่าละออ. (2548). การออกแบบแนวใหม่ของมอเตอร์เหนี่ยวนำเพื่อลดการสั่นสะเทือนโดยวิธีไฟฟ้าในอิเล็กเมนต์. วิทยานิพนธ์คณิตศาสตร์บัณฑิต. สาขาวิชาวิศวกรรมไฟฟ้า มหาวิทยาลัยเทคโนโลยีสุรนารี.
- อานันท์ อิศรอมคงรักษ์. (2552). การออกแบบอุปกรณ์กำลังสนามแม่เหล็กไฟฟ้าที่มีผลต่อผู้ปฏิบัติงานที่ทำงานใต้สายส่งกำลังไฟฟ้าด้วยวิธีไฟฟ้าในอิเล็กเมนต์แบบ 3 มิติ. วิทยานิพนธ์มหาบัณฑิต. สาขาวิชาวิศวกรรมไฟฟ้า มหาวิทยาลัยเทคโนโลยีสุรนารี.
- Alfredo, M. R., and Carlos, A. L. (1994). Magnetic vibration of three-phase induction motors supplied by inverters. **International Symposium on Industrial Electronics**, IEEE. 210-213.
- Alger, P. L. (1970). **Induction machines: their behavior and uses** (2nd ed.). New York:Gordon and Breach Publishers.
- Bickford, W. B. (1994). **A first course in the finite element method** (2nd ed.). USA: IRWIN.
- Belmans, R. J. M., D'Hondt, L., Vandenput, A. J., and Geysen, W. (1987). Analysis of the audible noise of three-phase squirrel-cage induction motors supplied by inverters. **IEEE Transactions on Industry Applications**. 23 (5): 842-847.

- Belmans, R. J. M., Verdyck, D., Geysen, W., and Findlay, R. D. (1991). Electro-mechanical analysis of the audible noise of an inverter-fed squirrel-cage induction motor. **IEEE Transactions on Industry Applications**. 27 (3): 539-544.
- Berman, M. (1993). On the reduction of magnetic pull in induction motors with off-centre rotor. **Industry Applications Society Annual Meeting, IEEE**. 1: 343-350.
- Brunelli, B., Casadei, D., Reggiani, U., and Serra, G. (1983). Transient and steady-state behaviour of solid rotor induction machines. **IEEE Transactions on Magnetics**. 19 (6): 2650-2654.
- Chapman, S. J. (1998). **Electric machinery fundamentals** (3rd ed.). Singapore:McGraw-Hill.
- Chari, M. V. K., and Silvester, P. P. (1980). **Finite elements in electrical and magnetic field problems**. New York: John Wiley & Sons.
- Cochran, P. L. (1989). **Polyphase induction motors: analysis, design, and application**. New York:Marcel Dekker.
- Davis, J. T., and Bryant, R. A. (1993). NEMA induction motor vibration measurement: a comparison of methods with analysis. **Petroleum and Chemical Industry Conference, Industry Applications Society 40th Annual, IEEE**. 205-209.
- Demerdash, N. A., and Gillott, D. H. (1974). A new approach for determination of eddy current and flux penetration in nonlinear ferromagnetic materials. **IEEE Transactions on Magnetics**. 74: 682-685.
- Dorrell, D. G. (1996). Calculation of unbalanced magnetic pull in small cage induction motors with skewed rotors and dynamic rotor eccentricity. **IEEE Transactions on Energy Conversion**. 11(3): 483-488.
- Dorrell, D. G., Thomson, W. T., and Roach, S. (1995). Analysis of airgap flux, current and vibration signals as a function of the combination of static and dynamic airgap eccentricity in 3-phase induction motors. **Industry Applications Conference, Thirtieth IAS Annual Meeting, IEEE**. 1: 563-570.
- Durantay, L., Laurent, F., Messin, Y., and Kromer, V. (1999). Large band reduction of magnetic vibrations of induction machines with “breaking of impedance” interface. **Electric Machines and Drives International Conference, IEEE**. 475-477.

- Finley, W. R. (1991). Noise in induction motors-causes and treatments. **IEEE Transactions on Industry Applications.** 27 (6): 1204-1213.
- Finley, W. R., Hodowanec, M. M., and Holter, W. G. (1999). An analytical approach to solving motor vibration problems. **Petroleum and Chemical Industry Conference, Industry Applications Society 46th Annual, IEEE.** 217-232.
- Fu, W. N. (1999). **Electromagnetic field analysis of induction motors by finite element method and its application to phantom loading.** Ph.D. Dissertation, Hong Kong Polytechnic University, China.
- George, A., and Liu, J. W. (1981). **Computer solution of large sparse linear positive definite systems.** Prentice-Hall.
- Guldemir, H. (2003). Detection of airgap eccentricity using line current spectrum of induction motors. **Electric Power Systems Research.** 64:109-117.
- Hameyer, K., and Belmans, R. (1999). **Numerical modelling and design of electrical machines and devices.** Southampton, Boston: WIT Press.
- Henneberger, G., Sattler, Ph. K., Hadrys, W., and Shen, D. (1992). Procedure for the numerical computation of mechanical vibrations in electrical machines. **IEEE Transactions on Magnetics.** 28 (2): 1351-1354.
- Hirotsuka, I., Tsuboi, K., and Ishibashi, F. (1997). Effect of slot-combination on electromagnetic vibration of squirrel-cage induction motor under loaded condition. **Power Conversion Conference-Nagaoka, IEEE.** 2: 843-848.
- Ho, S. L., Li, H. L., Fu, W. N., and Wong, H. C. (2000). A novel approach to circuit-field-torque coupled time stepping finite element modeling of electric machines. **IEEE Transactions on Magnetics.** 36 (4): 1886-1889.
- Huebner, K. H., Dewhirst, D. L., Smith, D. E., and Byrom, T. G. (2001). **The finite element method for engineers** (4th ed.). USA: John Wiley & Sons, Inc.
- Im, D. H., et al. (1997). Analysis of radial force as a source of vibration in an induction motor with skewed slots. **IEEE Transactions on Magnetics.** 33 (2): 1650-1653.
- Ishibashi, F., Noda, S., and Mochizuki, M. (1998). Numerical simulation of electromagnetic vibration of small induction motors. **IEE Proc.-Electr. Power Appl.** 145 (6): 1998.

- Ishibashi, F., Kamimoto, K., Noda, S., and Itomi, K. (2003). Small induction motor noise calculation. **IEEE Transactions on Energy Conversion**. 18 (3): 357-361.
- Kako, F., Tsuruta, T., Nagaishi, K., and Kohmo, H. (1983). Experimental study on magnetic noise of large induction motors. **IEEE Transactions on Power Apparatus and Systems**. 102 (8): 2805-2810.
- Kenjo, T. (1991). **Electric motors and their controls**. New York: Oxford University Press.
- Kim, B. T., Kwon, B. I., and Park, S. C. (1999). Reduction of electromagnetic force harmonics in asynchronous traction motor by adapting the rotor slot number. **IEEE Transactions on Magnetics**. 35 (5): 3742-3744.
- Kobayashi, T., Tajima, F., Ito, M., and Shibukawa, S. (1997). Effects of slot combination on acoustic noise from induction motors. **IEEE Transactions on Magnetics**. 33 (2): 2101-2104.
- Kulworawanichpong, T. (2003). **Optimising ac electric railway power flows with power electronic control**. Ph.D. Thesis, The University of Birmingham, UK.
- Kurihara, K., and Rahman, M. A. (2004). Transient Performance analysis for permanent-magnet hysteresis synchronous motor. **IEEE Transactions on Industry Applications**. 40 (1): 135-142.
- Kwon, Y. W., and Bang H. (2000). **The finite element method using MATLAB** (2nd ed.). Boca Raton: CRC Press.
- Mikami, H., Ide, K., Takahashi M., and Kajiwara, K. (1999). Dynamic harmonic field analysis of an inverter-fed induction motor for estimating harmonic secondary current and electromagnetic force. **IEEE Transactions on Energy Conversion**. 14 (3): 464-470.
- Munoz, A. R., and Araya, C. L. (1994). Magnetic vibration of three-phase induction motors supplied by inverters. **International Symposium on Industrial Electronics, IEEE**. 210-213.
- Nagwa, M. E., Anthony, R. E., and Graham, E. D. (1992). Detection of broken bars in the cage rotor on an induction machine. **IEEE Transactions on Industry Applications**. 28 (1): 165-171.

- Nau, S. L. (1997). The influence of the skewed rotor slots on the magnetic noise of three-phase induction motors. **Eighth International Conference on Electrical Machines and Drives, IEE.** 396-399.
- Neves, C. G. C., Carlson, R., Sadowski, N., and Bastos, J. P. A. (1998). A study on magnetic vibration sources identification in induction motors by FEM simulation and experimental procedures. **Industry Applications Conference, Thirty-Third IAS Annual Meeting, IEEE.** 1: 237-242.
- Preston, T. W., Reece, A. B. J., and Sangha, P. S. (1988). Induction motor analysis by time-stepping techniques. **IEEE Transactions on Magnetics.** 24 (1): 471-474.
- R. Carlson, C. A. da Silva, N. Sadowski, Y. Lefèvre, and M. Lajoie-Mazenc. (2002). The effect of the stator-slot opening on the interbar currents of skewed cage induction motor. **IEEE Transactions on Magnetics.** 38 (2): 1285-1288.
- Rao, J. S., (1999). **Dynamics of plates.** New Delhi:Narosa Publishing House.
- S. L. Ho, Shuangxia Niu, and W. N. Fu. (2010). A novel solid-rotor induction motor with skewed slits in radial and axial directions and its performance analysis using finite element method. **IEEE Transactions on Applied Superconductivity.** 20 (3): 1089-1092.
- S. L. Ho, W. N. Fu, H.C. Wong. (1999). Direct modeling of the starting process of skewed rotor induction motors using a multi-slice technique. **IEEE Transactions on Energy Conversion.** 14 (4): 1253-1258.
- S. L. Nau. (1997). The influence of the skewed rotor slots on the magnetic noise of three-phase induction motors. **IEE Conference Publication.** 444: 396-399
- Sakamoto, S., Hirata, T., Kobayashi, T., and Kajiwara, K. (1999). Vibration analysis considering higher harmonics of electromagnetic forces for rotating electric machines. **IEEE Transactions on Magnetics.** 35 (3): 1662-1665.
- Salon, S. J. (1995). **Finite element analysis of electrical machines.** USA: Kluwer Academic Publishers.
- Shen, L. C., and Kong, J. A. (1995). **Applied electromagnetism** (3rd ed.). Boston: PWS Publishing Company.
- Silvester, P. P., and Ferrari, R. L. (1996). **Finite elements for electrical engineers** (3rd ed.). New York: Cambridge University Press.

- Tadashi Yamaguchi, Yoshihiro Kawase, and Shinya Sano. (2004). 3-D finite-element analysis of skewed squirrel-cage induction motor. **IEEE Transactions on Magnetics**. 40 (2): 969-972.
- Tarnhuvud, T., and Reichert, K. (1988). Accuracy problems of force and torque calculation in FEsystems. **IEEE Transactions on Magnetics**. 24 (1): 443-446.
- Timar, P. L., Fazekas, A., Kiss, J., Miklos, A., and Yang, S. J. (1989). **Noise and vibration of electrical machines**. Hungary: Elsevier Science Publishers.
- Vassent, E., Meunier, G., and Foggia, A. (1991). Simulation of induction machines-using complex magnetodynamic finite element method coupled with the circuit equations. **IEEE Transactions on Magnetics**. 27 (5): 4246-4249.
- Verma, S. P., and Balan, A. (1994). Determination of radial-forces in relation to noise and vibration problems of squirrel-cage induction motors. **IEEE Transactions on Energy Conversion**. 9 (2): 404-412.
- Vinay, K. I., and John, G. P. (2000). **Digital signal processing using MATLAB**. USA: Brooks/Cole Publishing Company.
- Wang, C., and Lai, J. C. S. (1999). Vibration analysis of an induction motor. **Journal of Sound and Vibration**. 224(4): 733-756.
- William, H. H., Jr. (1989). **Engineering electromagnetics** (5th ed.). Singapore: McGraw-Hill.
- Yacamini, R., and Chang, S. C. (1995). Noise and vibration from induction machines fed from harmonic sources. **IEEE Transactions on Energy Conversion**. 10 (2): 286-292.
- Yang, S. J. (1981). **Low-noise electrical motors**. New York: Oxford University Press.
- Yoshihiro Kawase¹, Tadashi Yamaguchi¹, Zhipeng Tu¹, Naotaka Toida¹, Norimoto Minoshima², and Kou Hashimoto². (2009). Effects of skew angle of rotor in squirrel-cage induction motor on torque and loss characteristics. **IEEE Transactions on magnetics**. 45 (3): 1700-1703.

ภาคผนวก ก

บทความวิชาการที่ได้รับการตีพิมพ์เผยแพร่ในระหว่างศึกษา

มหาวิทยาลัยเทคโนโลยีสุรินทร์

รายชื่อบทความวิชาการที่ได้รับการตีพิมพ์เผยแพร่ในระหว่างศึกษา

อาจารย์ บุญมาตย์ และ เพ็ชร ผ่าละออ (2556). การจำลองสนามแม่เหล็กของมอเตอร์เหนี่ยววนิ่มเมื่อพิจารณาเรื่อง โรเตอร์โดยใช้วิธีไฟน์ทอลิเมนท์แบบ 3 มิติ. ในรายงานการประชุมวิชาการวิศวกรรมไฟฟ้าแห่งประเทศไทย ครั้งที่ 36 (EECON36). กาญจนบุรี : EECON.

Bunmat,A., and Pao-la-or,P. (2012).Modeling and Simulation for Magnetic Field of an Induction Motor Using Time-Stepping 3-D Finite Element Method.**The World Academy of Science Engineering and Technology**, issue 63, March 2012. pp. 176-182



Modeling and Simulation for Magnetic Field of an Induction Motor Using Time-Stepping 3-D Finite Element Method

A. Bunmat, and P. Pao-la-or

Abstract—This paper presents a mathematical model of magnetic fields in an induction motor. A time-stepping three-dimensional finite element method (3-D FEM) is used for the magnetic field analysis in an induction machine operating with full load steady-state rotor movement. To solve this time-dependent system, a step-by-step numerical integration of the backward difference algorithm is applied. To evaluate its use, a three-phase, four-pole 5-hp squirrel-cage induction motor with double layer winding was tested. As a result, the magnetic field distribution through the volume of the induction motor was well described. Moreover, the paper discusses about the space distribution of electromagnetic forces resulting from the magnetic field acting on the stator teeth around the air-gap. The computer simulation based on the use of the 3-D FEM has been developed in MATLAB programming environment.

Keywords—Induction Motor, 3-D Finite Element Method (3-D FEM), Magnetic Field, Time Stepping Method

I. INTRODUCTION

TO design induction machines requires accurate prediction of the machine behaviors, e.g. magnetic field, electromagnetic force, etc. These are based on magnetic field distribution through the volume of the motor. To analyze magneto-dynamic of the motor, there are two main methods of magnetic field calculation: i) permeance wave theory and ii) numerical approximation methods (e.g. finite difference: FD or finite element methods: FEM) [1]. With lack of accuracy, the first approach is not often used for this purpose, especially when nonlinearity of magnetic cores is involved. The FEM is applicable to a broad range of solving electromagnetic problems due to its flexibility, and accuracy. Application of the FEM to analyze induction motors is inclusive. In addition, this method is more efficient than the FD method due to flexibility and accuracy, and it can gain several advantages when it is applied to induction motors. In this paper, a time-dependent system in an induction motor is used for test. The time dependence of the field and the motion of the rotor are modeled by the backward-difference scheme. This results in a set of partial differential equations (PDE).

A. Bunmat is with the School of Electrical Engineering, Institute of Engineering, Suranaree University of Technology, Nakhon Ratchasima, THAILAND (e-mail: arak.bunmat@gmail.com).

P. Pao-la-or is with the School of Electrical Engineering, Institute of Engineering, Suranaree University of Technology, Nakhon Ratchasima, THAILAND (corresponding author to provide phone: 0-4422-4407; fax: 0-4422-4601; e-mail: padej@sut.ac.th).

In this paper, Section II presents the mathematical model of magnetic fields in induction motors based on a set of Maxwell's equations, while Section III describes the 3-D FEM by using Galerkin approach applied to induction motors for the purpose of obtaining magnetic field distribution and electromagnetic force wave. The domain of study with the 3-D FEM can be discretized by using linear tetrahedron elements. The simulation conducted herein is based on the 3-D FEM method given in Section III. All the programming instructions are coded in MATLAB program environment. Information of the test example and simulation results are shown in Section IV. Finally, the last section provides the conclusion.

II. MODELING OF MAGNETIC FIELD FOR AN INDUCTION MOTOR

In magnetic field calculations, the magnetic vector potential \mathbf{A} carries a bundle of information consisting of magnetic field \mathbf{B} , and induced electromagnetic forces \mathbf{F} . For convenience, some assumptions are made as follows: the magnetic materials are isotropic, and the displacement currents are negligible due to low supply frequency (50 Hz) [1]. Hence, (1) describes the temporal and spatial variations of \mathbf{A} of induction motor when considering the problem of three dimensions in cartesian coordinate (x,y,z) based on a set of Maxwell's equations [2], [3]

$$\frac{\partial}{\partial x} \left(\frac{1}{\mu} \frac{\partial \mathbf{A}}{\partial x} \right) + \frac{\partial}{\partial y} \left(\frac{1}{\mu} \frac{\partial \mathbf{A}}{\partial y} \right) + \frac{\partial}{\partial z} \left(\frac{1}{\mu} \frac{\partial \mathbf{A}}{\partial z} \right) - s\sigma \left(\frac{\partial \mathbf{A}}{\partial t} \right) + \mathbf{J}_0 = 0 \quad (1)$$

, where μ is the permeability of the magnetic material, σ is the conductivity of the conducting media in the rotor, s is the slip at a specific operating condition of the rotor, and \mathbf{J}_0 is the applied current density.

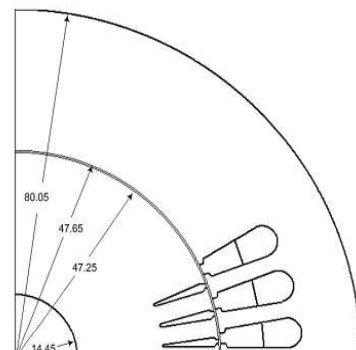
Analytically, there is no simple exact solution of the above equation. Therefore, in this paper the 3-D FEM is chosen to be a potential tool for finding approximate magnetic field solutions for the partial differential equation described as in (1) [4], [5].

World Academy of Science, Engineering and Technology 63 2012

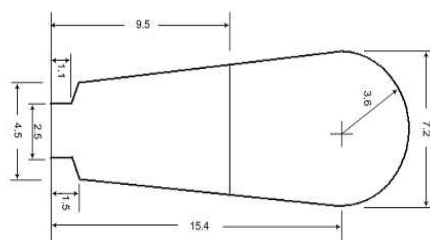
III. TIME-STEPPING 3-D FEM FOR AN INDUCTION MOTOR

A. Discretization

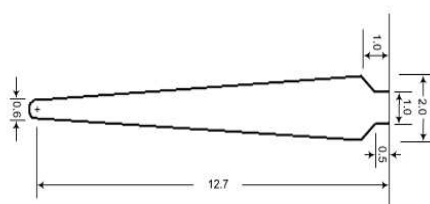
This paper determines a three-phase, four-pole, induction motor with a double layer winding of 7/9 pitch coil. The motor possesses 36 stator slots and 44 un-skewed rotor slots. Fig. 1 depicts the detail of the induction motor [6]. The test specimens have 160.1 mm of diameter and 230 mm of the total length. The domain of study with the 3-D FEM can be discretized by using linear tetrahedron elements. This can be accomplished by using Solidworks for 3-D grid generation. Fig. 2 displays grid representation of the test system. The region domain consists of 42,635 nodes and 220,353 elements.



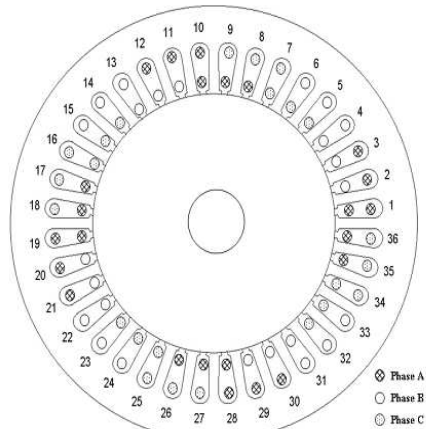
a) Geometry of the tested induction motor



b) Geometry of a stator slot



c) Geometry of a rotor slot



d) Three-phase winding distribution in 36 slots

Fig. 1 Detail of the tested induction motor with dimension (mm)



Fig. 2 Discretization of the induction motor

B. 3-D FEM Formulation

An equation governing each element is derived from the Maxwell's equations directly by using Galerkin approach, which is the particular weighted residual method for which the weighting functions are the same as the shape functions. The shape function for 3-D FEM used in this research is the application of 4-node tetrahedron element (three-dimensional linear element) [7]-[9]. According to the method, the magnetic vector potential is expressed as follows

$$A(x, y, z) = A_1 N_1 + A_2 N_2 + A_3 N_3 + A_4 N_4 \quad (2)$$

..., where N_i , $i = 1, 2, 3, 4$ is the element shape function and the A_i , $i = 1, 2, 3, 4$ is the approximation of the magnetic vector potential at each node (1, 2, 3, 4) of the elements, which is

$$N_i = \frac{1}{6V} (a_i + b_i x + c_i y + d_i z) \quad [M]\dot{A} + [K]A = \{F\} \quad (3)$$

..., where V is the volume of the tetrahedron element, which is expressed as

$$V = \frac{1}{6} \begin{vmatrix} 1 & x_1 & y_1 & z_1 \\ 1 & x_2 & y_2 & z_2 \\ 1 & x_3 & y_3 & z_3 \\ 1 & x_4 & y_4 & z_4 \end{vmatrix}$$

and

$$a_1 = x_4(y_2z_3 - y_3z_2) + x_3(y_4z_2 - y_2z_4) + x_2(y_3z_4 - y_4z_3)$$

$$a_2 = x_4(y_3z_1 - y_1z_3) + x_3(y_1z_4 - y_4z_1) + x_1(y_4z_3 - y_3z_4)$$

$$a_3 = x_4(y_1z_2 - y_2z_1) + x_2(y_4z_1 - y_1z_4) + x_1(y_2z_4 - y_4z_2)$$

$$a_4 = x_3(y_2z_1 - y_1z_2) + x_2(y_1z_3 - y_3z_1) + x_1(y_3z_2 - y_2z_3)$$

$$b_1 = y_4(z_3 - z_2) + y_3(z_2 - z_4) + y_2(z_4 - z_3)$$

$$b_2 = y_4(z_1 - z_3) + y_1(z_3 - z_4) + y_3(z_4 - z_1)$$

$$b_3 = y_4(z_2 - z_1) + y_2(z_1 - z_4) + y_1(z_4 - z_2)$$

$$b_4 = y_3(z_1 - z_2) + y_1(z_2 - z_3) + y_2(z_3 - z_1)$$

$$c_1 = x_4(z_2 - z_3) + x_2(z_3 - z_4) + x_3(z_4 - z_2)$$

$$c_2 = x_4(z_3 - z_1) + x_3(z_1 - z_4) + x_1(z_4 - z_3)$$

$$c_3 = x_4(z_1 - z_2) + x_1(z_2 - z_4) + x_2(z_4 - z_1)$$

$$c_4 = x_3(z_2 - z_1) + x_2(z_1 - z_3) + x_1(z_3 - z_2)$$

$$d_1 = x_4(y_3 - y_2) + x_3(y_2 - y_4) + x_2(y_4 - y_3)$$

$$d_2 = x_4(y_1 - y_3) + x_1(y_3 - y_4) + x_3(y_4 - y_1)$$

$$d_3 = x_4(y_2 - y_1) + x_2(y_1 - y_4) + x_1(y_4 - y_2)$$

$$d_4 = x_3(y_1 - y_2) + x_1(y_2 - y_3) + x_2(y_3 - y_1)$$

The method of the weighted residue with Galerkin approach is then applied to the differential equation, refer to (1), where the integrations are performed over the element domain Ω .

$$\int_{\Omega} N_i \left(\frac{\partial}{\partial x} \left(\frac{1}{\mu} \frac{\partial A}{\partial x} \right) + \frac{\partial}{\partial y} \left(\frac{1}{\mu} \frac{\partial A}{\partial y} \right) + \frac{\partial}{\partial z} \left(\frac{1}{\mu} \frac{\partial A}{\partial z} \right) \right) d\Omega - \int_{\Omega} N_i \left(s\sigma \frac{\partial A}{\partial t} \right) d\Omega + \int_{\Omega} (N_i J_0) d\Omega = 0$$

, or in the compact matrix form

$$M = s\sigma \int_{\Omega} N_i N_j d\Omega$$

$$= \frac{s\sigma V}{20} \begin{bmatrix} 2 & 1 & 1 & 1 \\ 1 & 2 & 1 & 1 \\ 1 & 1 & 2 & 1 \\ 1 & 1 & 1 & 2 \end{bmatrix}$$

$$\{F\} = J_0 \int_{\Omega} N_i d\Omega = \frac{J_0 V}{4} \begin{bmatrix} 1 \\ 1 \\ 1 \\ 1 \end{bmatrix}$$

$$K = \frac{1}{\mu} \int_{\Omega} \left(\frac{\partial N_i}{\partial x} \frac{\partial N_j}{\partial x} + \frac{\partial N_i}{\partial y} \frac{\partial N_j}{\partial y} + \frac{\partial N_i}{\partial z} \frac{\partial N_j}{\partial z} \right) d\Omega$$

$$= \frac{1}{36\mu V} \begin{bmatrix} b_1 b_1 + c_1 c_1 + d_1 d_1 & b_1 b_2 + c_1 c_2 + d_1 d_2 \\ b_1 b_2 + c_1 c_2 + d_1 d_2 & b_2 b_2 + c_2 c_2 + d_2 d_2 \\ b_1 b_3 + c_1 c_3 + d_1 d_3 & b_2 b_3 + c_2 c_3 + d_2 d_3 \\ b_1 b_4 + c_1 c_4 + d_1 d_4 & b_2 b_4 + c_2 c_4 + d_2 d_4 \\ b_1 b_3 + c_1 c_3 + d_1 d_3 & b_1 b_4 + c_1 c_4 + d_1 d_4 \\ b_2 b_3 + c_2 c_3 + d_2 d_3 & b_2 b_4 + c_2 c_4 + d_2 d_4 \\ b_3 b_3 + c_3 c_3 + d_3 d_3 & b_3 b_4 + c_3 c_4 + d_3 d_4 \\ b_3 b_4 + c_3 c_4 + d_3 d_4 & b_4 b_4 + c_4 c_4 + d_4 d_4 \end{bmatrix}$$

To simulate the motor movement, we need to discretize (3). The method of discretization used herein is based on (4). Therefore, a time-dependent field is solved by discretizing the time at short time interval Δt . Although there are three basic methods of the time discretization: forward difference method ($\beta=0$), backward difference method ($\beta=1$), and Crank-Nicholson method ($\beta=1/2$), the backward difference is used due to its convergence [10].

$$\beta \dot{A}^{t+\Delta t} + (1-\beta) \dot{A}^t = \frac{\{A\}^{t+\Delta t} - \{A\}^t}{\Delta t} \quad (4)$$

For this technique, (3) can be rewritten at time $t+\Delta t$. Thus, (3) becomes (5). Insert (4) into (5), (6) can be obtained.

$$[M]\dot{A}^{t+\Delta t} + [K]A^{t+\Delta t} = \{F\}^{t+\Delta t} \quad (5)$$

$$\left(\frac{1}{\Delta t} [M] + [K] \right) \dot{A}^{t+\Delta t} = \frac{1}{\Delta t} [M]A^t + \{F\}^{t+\Delta t} \quad (6)$$

For one element containing 4 nodes, the expression of the FEM approximation is a 4×4 matrix. With the account of all elements in the system of n nodes, the system equation is sizable as the $n \times n$ matrix.

IV. 3-D FEM SIMULATION RESULT

The boundary conditions applied here are zero magnetic vector potentials at the outer surface of the stator core and the inner surface of the rotor core. In the time-stepping FEM, the information from the last time update can be successfully used as the initial solution to reduce the computing time when solving the FEM equations. The size of each time step is the time needed for the rotor to turn fixed at $\Delta\theta = (360/44)^\circ$ (44 is number of rotor slot). The machine used in this paper is a three-phase, four-pole, Y-connected, 5-hp squirrel cage induction motor with a double layer winding of 7/9 pitch coil. The motor is fed by a 380-V, 50-Hz sinusoidal source at full load (slip=0.03). The motor possesses 36 stator slots and 44 un-skewed rotor slots. Also, current flowing through a coil in each slot is assumed to distribute sinusoidal and can be simply obtained from the well-known equivalent circuit of induction motors. The conductivity is $\sigma = 4.90 \times 10^7$ S/m in the rotor bars, and the relative permeability of the stator and rotor cores $\mu_r = 5000$. It notes that the free space permeability (μ_0) is $4\pi \times 10^{-7}$ H/m.

The test system previously described is simulated by a 3-D FEM solver written in MATLAB programming. The curl of the magnetic vector potential \mathbf{A} is magnetic field \mathbf{B} ($\mathbf{B} = \nabla \times \mathbf{A}$). Its components along x and y axes are computed by (the induced current appears as z -component)

$$B_x = \frac{\partial A_z}{\partial y} = \frac{c_1 A_1 + c_2 A_2 + c_3 A_3 + c_4 A_4}{6V} \quad (7)$$

$$B_y = -\frac{\partial A_z}{\partial x} = -\left(\frac{b_1 A_1 + b_2 A_2 + b_3 A_3 + b_4 A_4}{6V} \right) \quad (8)$$

Moreover, radial flux density B_r and tangential flux density B_t acting on the air-gap can be expressed in cylindrical coordinate as a function of B_x and B_y , i.e.

$$B_r = B_x \cos \phi + B_y \sin \phi,$$

$$B_t = -B_x \sin \phi + B_y \cos \phi$$

where ϕ is the counter-clockwise angle of a stator-tooth center with respect to the positively horizontal axis. The first stator tooth is assigned to the tooth between the slots 1 and 36.

For which 3-D FEM result, it can be graphically presented in the filled polygon of magnetic vector potential \mathbf{A} and magnetic field \mathbf{B} dispersed thoroughly the volume of induction motor. Fig. 3-6 show the magnetic vector potential distribution

of the induction motor at full load resulting from the change of rotor position of 0, 30, 60 and 90 degrees clockwise, respectively. To be consistent, Fig. 7-10 show the magnetic field distribution resulting from the change of rotor position of 0, 30, 60 and 90 degrees clockwise, respectively.

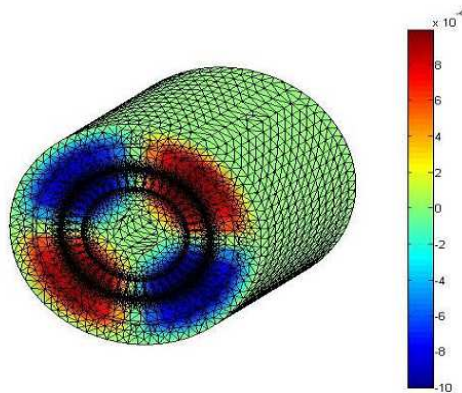


Fig. 3 Magnetic vector potential distribution (wb/m)
at rotor position 0°

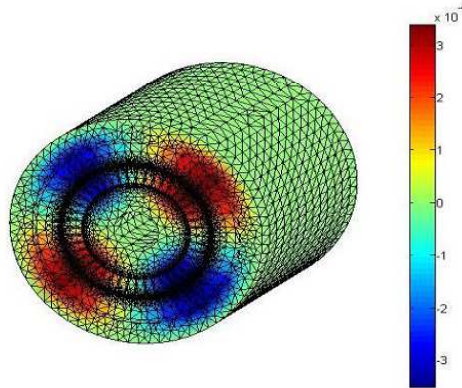


Fig. 4 Magnetic vector potential distribution (wb/m)
at rotor position 30°

World Academy of Science, Engineering and Technology 63 2012

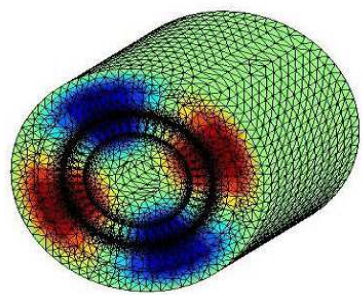


Fig. 5 Magnetic vector potential distribution (wb/m)
at rotor position 60°

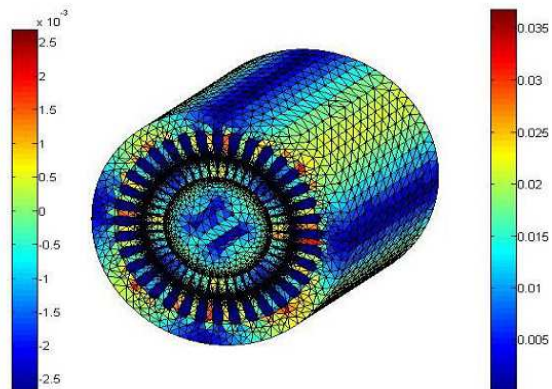


Fig. 8 Magnetic field distribution (T)
at rotor position 30°

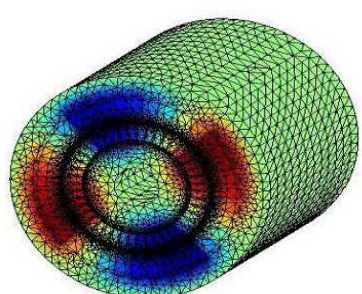


Fig. 6 Magnetic vector potential distribution (wb/m)
at rotor position 90°

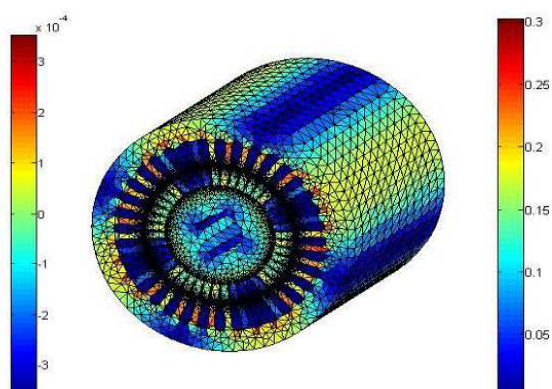


Fig. 9 Magnetic field distribution (T)
at rotor position 60°

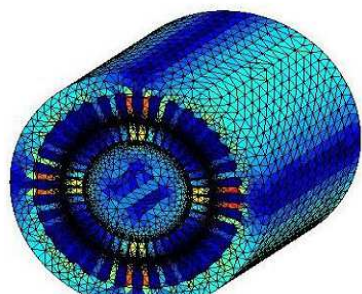


Fig. 7 Magnetic field distribution (T)
at rotor position 0°

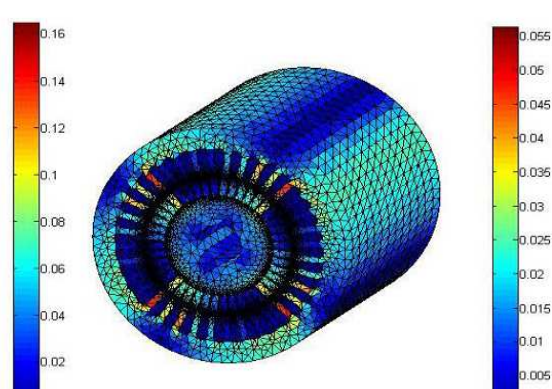


Fig. 10 Magnetic field distribution (T)
at rotor position 90°

From which the results of magnetic vector potential that distribute throughout the induction motor for the change of rotor position of 0, 30, 60 and 90 degrees clockwise as shown in Fig. 3-6. As can be seen, the zero magnetic vector potential occur at the outer surface of the stator core and the inner surface of the rotor core which are boundary conditions. There are four regions of magnetic flux lines circulating the slot with the highest current density, so-called the magnetic pole. This explains that permeance of the magnetic path of the regions around the magnetic pole is low. Interestingly, the movement of the flux line plot in these four rotor positions also show the magnetic fields revolving in clockwise direction. In Fig. 7-10, the magnetic field distributed in the induction motor when considering the change of rotor position of 0, 30, 60 and 90 degrees clockwise. As can be seen, the lowest magnetic field occur at all of the stator slot, the magnetic field is relative to the magnetic vector potential. In other word, the magnetic field is the rate of change in the magnetic vector potential.

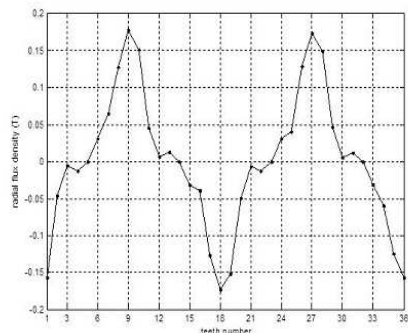


Fig. 11 Space magnetic field wave

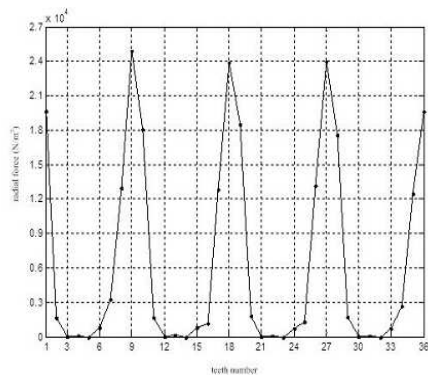


Fig. 12 Space electromagnetic force wave

The magnetic flux density acting on the air gap in the radial direction can be depicted as shown in Fig. 11 which

corresponds to Fig. 7. As can be seen, the curve in Fig. 11 resembles to sinusoid. The peak values of the magnetic flux density appear at the stator teeth 9, 18, 27 and 36, which correspond to zero magnetic vector potential. Whilst, the magnetic flux densities of the stator teeth 5, 14, 23 and 32 are approximately zero, and their corresponding magnetic vector potentials are peaks. Maxwell's stress equations were also used to determine the distribution of the electromagnetic forces across the air gap obtained from

$$F_r = (1/2\mu_0)(B_r^2 - B_t^2) [11]$$

V. CONCLUSION

This paper describes the modeling and simulation technique of the magnetic field distribution in induction motors by using the 3-D Finite Element Method (3-D FEM) instructed in MATLAB programming codes. The results show that this method is simple and effective to illustrate how magnetic field throughout the volume of the induction motor. With this advantage, further work based on magnetic field calculation to analyze the induction motors, e.g. magnetic vibration, noise, harmonic, heat losses, etc, can be developed and, with this simplification, difficulty of computing is considerably reduced or eliminated.

REFERENCES

- [1] N.A. Demerdash and D.H. Gillott, "A new approach for determination of eddy current and flux penetration in nonlinear ferromagnetic materials," *IEEE Transactions on Magnetics*, Vol.74, pp. 682-685, 1974.
- [2] E. Vassent, G. Meunier, and A. Foggia, "Simulation of induction machines using complex magnetodynamic finite element method coupled with the circuit equations," *IEEE Transactions on Magnetics*, Vol. 27, No. 5, pp. 4246-4249, 1991.
- [3] M.E. Nagwa, R.E. Anthony, and E.D. Graham, "Detection of broken bars in the cage rotor on an induction machine," *IEEE Transactions on Industry Applications*, Vol.28, No.1, pp. 165-171, 1992.
- [4] P. Pao-la-or, T. Kulworawanichpong, S. Sujitjorn and S. Peaiyoung, "Distributions of Flux and Electromagnetic Force in Induction Motors: A Finite Element Approach," *WSEAS Transactions on Systems*, Vol. 5, No. 3, pp.617-624, 2006.
- [5] P. Pao-la-or, A. Isaramongkolrak and T. Kulworawanichpong, "Finite Element Analysis of Magnetic Field Distribution for 500-kV Power Transmission Systems," *Engineering Letters*, Vol. 18, No. 1, pp.1-9, 2010.
- [6] C. Wang and J.C.S. Lai, "Vibration analysis of an induction motor," *Journal of Sound and Vibration*, Vol. 224, No. 4, pp.733-756, 1999.
- [7] R.W. Lewis, P. Nithiarasu and K.N. Seetharamu, *Fundamentals of the Finite Element Method for Heat and Fluid Flow*, John Wiley & Sons, USA, 2004.
- [8] M.A. Bhatti, *Advanced Topics in Finite Element Analysis of Structures*, John Wiley & Sons, USA, 2006.
- [9] P.I. Kattan, *MATLAB Guide to Finite Elements (2nd edition)*, Springer Berlin Heidelberg, USA, 2007.
- [10] M.A. Jabbar, H.N. Phyu, Z.J. Liu and C. Bi, "Modeling and numerical simulation of a brushless permanent-magnet dc motor in dynamic conditions by time-stepping technique," *IEEE Transactions on Industrial Applications*, Vol. 40, No. 3, pp. 763-769, 2004.
- [11] S. Sakamoto, T. Hirata, T. Kobayashi and K. Kajiwara, "Vibration analysis considering higher harmonics of electromagnetic forces for rotating electric machines," *IEEE Transaction on Magnetic*, Vol. 35, No. 3, pp. 1662-1665, 1999.

World Academy of Science, Engineering and Technology 63 2012



Arak Bunmat is a pursuing master degree of the School of Electrical Engineering, Institute of Engineering, Suranaree University of Technology, Nakhon Ratchasima, THAILAND. He received B.Eng. (2009) in Electrical Engineering from Suranaree University of Technology, Thailand. His fields of research interest include a broad range of power systems, electrical drives, FEM simulation and artificial intelligent techniques.



Padej Pao-la-or is an assistant professor of the School of Electrical Engineering, Institute of Engineering, Suranaree University of Technology, Nakhon Ratchasima, THAILAND. He received B.Eng. (1998), M.Eng. (2002) and D.Eng. (2006) in Electrical Engineering from Suranaree University of Technology, Thailand. His fields of research interest include a broad range of power systems, electrical drives, FEM simulation and artificial intelligent techniques. He has joined the school since December 2005 and is currently a member in Power System Research, Suranaree University of Technology.

การจำลองสถานะแม่เหล็กของมอเตอร์หนี่ยวน้ำเมื่อพิจารณาเรื่องโกรเตอร์ดึงโดยใช้ไฟฟ้าที่อิเล็กทรอนิกส์แบบ 3 มิติ

Simulation for Magnetic Field of an Induction Motor with Skewed Rotor Slots

Using 3-D Finite Element Method

อารักษ์ บุญมาตย์ และ เพ็ชร์ เพ่าละออง

สาขาวิชาภาระนี้เป็นส่วนหนึ่งของหลักสูตรบัณฑิตศึกษาในสาขาวิชานักวิชาการบริหารธุรกิจ

111 หมู่ที่ 6 ถนนมหาวิทยาลัย ต.สรนารี อ.เมือง จ.นครราชสีมา 30000 โทรศัพท์: 044-224400 E-mail: arak.bunmat@gmail.com, padej@sut.ac.th

บทคัดย่อ

บทความนิ่งได้นำเสนอแบบจำลองทางคณิตศาสตร์ของ
สถานะแม่เหล็กในมอเตอร์หนึ่งชิ้น ในปัจจุบันขั้นตอนเวลาได้นำร่วมไฟฟ้าที่อยู่ใน
อิเล็กทรอนิกส์แบบ 3 มิติ (3-D FEM) นำมานำใช้ในการคำนวณค่าสำหรับสถานะแม่เหล็ก
ไฟฟ้าของมอเตอร์หนึ่งชิ้นในขณะที่ได้รับแรงดันไฟฟ้า 3 伏ต ที่ต้องการ สำหรับการคำนวณ
ในสถานะคงด้วยและให้ผลเดียวกับการแก้ปัญหาของระบบที่เขียนอุปัต्तิ
เวลาที่ กระบวนการผลิตด้วยส่วนที่สองของหลักไฟดูถูกน้ำมานำใช้ในการนี้
งานวิจัยนี้ได้นำมอเตอร์หนึ่งชิ้นมา 3 ไฟ 4 ชี้ 3 แรงม้า ชนิดกระบอก
และคลาวด์พัฒนาแบบ 2 ชั้นและเปลี่ยนให้ร่วงได้เรื่องต่อไป 1 ว่องไว
พิจารณา ซึ่งผลลัพธ์ที่ปรากฏ เป็นการแสดงให้เห็นถึงค่าของ
สถานะแม่เหล็กที่กระจายตัวตามที่พิสูจน์ได้ทันทีของมอเตอร์หนึ่งชิ้น
ซึ่ง
อธิบายได้ด้วยรูปภาพกราฟฟิกของกระบวนการที่สามารถดูข้อมูลของมอเตอร์หนึ่งชิ้น
อิเล็กทรอนิกส์ที่ต้องการ สำหรับการคำนวณค่าสำหรับสถานะแม่เหล็ก อีกทั้ง
ผลลัพธ์ของสถานะแม่เหล็กที่ได้ซึ่งถูกน้ำมานำใช้เพื่อหารากค่าของแรง
แม่เหล็กไฟฟ้าที่ทำให้เก็บหินพื้นของสัดสอดหรือห้องของอาหา

คำสำคัญ: มองเดอร์เห็นข่าวดี, วิธีไฟน์ก็อตมันท์, สนานแม่เหล็ก, ร่องโภ
เดอร์เดิง

Abstract

This paper presents a mathematical model of magnetic fields in an induction motor. A time-stepping three-dimensional finite element method (3-D FEM) is used for the magnetic field analysis in an induction machine operating with full load steady-state rotor movement. To solve this time-dependent system, a step-by-step numerical integration of the backward difference algorithm is applied. To evaluate its use, a three-phase, four-pole 3-hp squirrel-cage induction motor with double layer winding and adjust slot rotor skew to one slot was tested. As a result, the magnetic field distribution through the volume of the induction motor was well described. Moreover, the paper discusses about the space distribution of electromagnetic forces resulting from the magnetic field acting on the stator teeth around the air-gap.

Keywords: Induction motors, Finite element method, Magnetic field, skewed rotor slots

1. պահ

มอดิเครชีฟไฟฟ้าเป็นอุปกรณ์หนึ่งที่สำคัญในระบบไฟฟ้ากำลัง ในปัจจุบันเทคโนโลยีด้านคอมพิวเตอร์มีหน่วยความจำขนาดใหญ่และมีประสิทธิภาพในการคำนวณสูง ในการออกแบบแนวโน้มอื่นที่อาจนำไปสู่ คำนึงถึงตัวถ่วงๆ เช่น ความหนาแน่นของสารน้ำแม่เหล็ก แรงแม่เหล็กไฟฟ้า ซึ่งก่อให้เกิดข้อข้อจำกัดของการตรวจดักของสารน้ำแม่เหล็ก ที่ผ่านพื้นที่ที่ต้องตรวจของมอเตอร์ ใน การวิเคราะห์มอดิเครชีฟ 2 วิธีหลักใน การคำนวณศักย์เชิงกล (finite element method : FEM) คือ 1) ทฤษฎีคลื่นความน่า และ 2) การคำนวณเชิงกล (finite element method : FEM) ซึ่ง วิธีนี้สามารถนำมาใช้กับปัญหาที่มีรูปร่างลักษณะซับซ้อนได้ ก็ได้โดย สามารถจำลองรูปร่างลักษณะด้วยคืนที่มีเท็จ ได้แก่ ได้แก่คือเรียงและต่อกันของ จากปัญหาดังกล่าวศูนย์จึงได้นำเสนอวิธีการคำนวณเชิงกลเดียววิธีไฟฟ้า ในทฤษฎิ์ที่ของแบบจำลองทางคณิตศาสตร์ของสารน้ำแม่เหล็กใน มองเห็นของมนุษย์ เมื่อจ้างวิธีไฟฟ้าทฤษฎิ์ที่มีความซับซ้อน และมีความถูกต้องในการคำนวณ ซึ่งในบทความนี้จะแบ่ง ออกเป็น 3 หัวข้อ (1) แบบจำลองทางคณิตศาสตร์ (2) การสร้างสมการไฟฟ้า ในทฤษฎิ์ที่สำคัญรับปัญหาใน 3 มิติ และ (3) การแก้ปัญหาในสถานะที่

2. แบบจำลองทางคณิตศาสตร์

แบบจำลองทางคณิตศาสตร์ของสถานะแม่ที่ลืมใน模เดอร์ เนื่องจากเป็นสถานะที่บานในวงจรโดยเครื่องจักรอยู่กับ ค่าสโลป s ของ模เดอร์ด้วย เมื่อพิจารณา模เดอร์ในสมมติความระนาบ พิกัด xz ซึ่งเป็นผืนดินเวลา จึงสามารถคำนวณได้จากการ ให้สมการจะประกอบด้วยในรูปสมการอนุพันธ์ช่วง (partial differential equation: PDE)[1] อันดังนี้

$$\frac{\partial u}{\partial t} = s \frac{\partial u}{\partial x} + \frac{\partial^2 u}{\partial z^2} \quad (1)$$

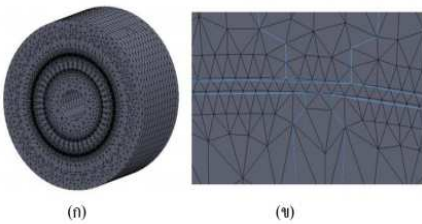
$$\frac{\partial}{\partial x} \left(\frac{1}{\mu} \frac{\partial \mathbf{A}}{\partial x} \right) + \frac{\partial}{\partial y} \left(\frac{1}{\mu} \frac{\partial \mathbf{A}}{\partial y} \right) - s \sigma \left(\frac{\partial \mathbf{A}}{\partial t} \right) = J_0 \quad (1)$$

โดยที่ \mathbf{A} คือ ศักย์ชิงวากเตอร์แม่เหล็กที่เปลี่ยนแปลงตามเวลา, μ คือ ความชื้บซึ่งได้ของแม่เหล็ก (magnetic permeability), σ คือ สภาพนำไฟฟ้า (electrical conductivity), s คือ ค่าสลิป (slip) ของมอเตอร์, J_0 คือ ความหนาแน่นของกระแสภายนอก (external current density)

3. การสร้างสมการไฟฟ้าในท่ออิเล็กทรอนิกส์หัวหัวแม่ขูดภายใน 3 มิติ

3.1 การแบ่งพื้นที่ศึกษา

เริ่มจากการแบ่งพื้นที่ท่อของปั๊มหาดออกเป็นอิเล็กเมนท์ชั้นในที่นี้จะใช้อิเล็กเมนท์รูปทรงสี่เหลี่ยม (tetrahedral) เนื่องจากเป็นรูปทรงที่มีจำนวนในครึ่งจุดซึ่งต้องห้ามอยู่ในจุดเดียว จึงสามารถประมวลผลได้เป็นรูปทรงอื่นๆ ได้ โดยค่าผลเฉลยโดยประมาณที่มีจำนวนนับที่จะคำนวณอุณหภูมิและความแปรผันของอุณหภูมิที่ต้องคำนึงถึงกันขนาด และจำนวนอิเล็กเมนท์ที่ใช้ในการแก้ปัญหา โดยขยายผลลัพธ์แบบการประมาณของผลลัพธ์โดยประมาณ ณ จุดเด่นๆ ได้ตามน้ำหนักอิเล็กเมนท์ที่เป็นแบบชิ้นส่วนชั้น งานวิจัยนี้จะดำเนินการแบ่งพื้นที่ท่อโดยอาศัยโปรแกรมสำหรับ Solid works 2010 ซึ่งประกอบด้วย 220,353 อิเล็กเมนท์ 42,635 จุดต่อส่วนหัวร่องไรมอเตอร์คง และ 318,783 อิเล็กเมนท์ 61,274 จุดต่อส่วนหัวร่องไรมอเตอร์เฉียง และได้ผลลัพธ์ออกมากดังรูปที่ 1



รูปที่ 1 (a) การแบ่งอิเล็กเมนท์และจุดต่อของมอเตอร์

(b) ภาพอิเล็กเมนท์ที่ริบบิ้งช่องอากาศ

3.2 การสร้างสมการไฟฟ้าในท่ออิเล็กเมนท์

รูปแบบของฟังก์ชันการประมาณภายในอิเล็กเมนท์ (element interpolation function)[2] โดยมีอสมมติลักษณะการกระจายของผลเฉลยบนอิเล็กเมนท์เป็นแบบชิ้นส่วน ประดิษฐ์ชื่อว่าไดอิตรวงจาระการเชิงอนุพันธ์ซึ่งโดยการประดิษฐ์วิธีการวิ่งท่อหัวหัวแม่ขูด (method of weighted residuals) โดยวิธีของกานาเลอร์กิน (Galerkin) ซึ่งได้ผลเฉลยโดยประมาณของศักย์ชิงวากเตอร์แม่เหล็กดังสมการที่ (2)

$$A(x, y, z) = A_1 N_1 + A_2 N_2 + A_3 N_3 + A_4 N_4 \quad (2)$$

โดยที่ N_n , $n = 1, 2, 3, 4$ คือฟังก์ชันการประมาณภายในอิเล็กเมนท์ และ A_i , $i = 1, 2, 3, 4$ คือผลลัพธ์ของศักย์ชิงวากเตอร์แม่เหล็กในแต่ละจุดต่อ ($1, 2, 3, 4$) ของอิเล็กเมนท์ ซึ่ง

$$N_i = \frac{1}{6V} (a_i + b_i x + c_i y + d_i z) \quad (3)$$

V คือปริมาตรของรูปทรงสี่เหลี่ยมของแต่ละอิเล็กเมนท์ และ

$$a_1 = x_4(y_2 z_3 - y_3 z_2) + x_3(y_4 z_2 - y_2 z_4) + x_2(y_3 z_4 - y_4 z_3)$$

$$a_2 = x_4(y_3 z_1 - y_1 z_3) + x_3(y_1 z_4 - y_4 z_1) + x_1(y_4 z_3 - y_3 z_4)$$

$$a_3 = x_4(y_1 z_2 - y_2 z_1) + x_2(y_4 z_1 - y_1 z_4) + x_1(y_2 z_4 - y_4 z_2)$$

$$a_4 = x_3(y_2 z_1 - y_1 z_2) + x_2(y_1 z_3 - y_3 z_1) + x_1(y_3 z_2 - y_2 z_3)$$

$$b_1 = y_4(z_3 - z_2) + y_3(z_2 - z_4) + y_2(z_4 - z_3)$$

$$b_2 = y_4(z_3 - z_2) + y_1(z_3 - z_4) + y_3(z_4 - z_1)$$

$$b_3 = y_4(z_3 - z_2) + y_2(z_1 - z_4) + y_1(z_4 - z_2)$$

$$b_4 = y_3(z_3 - z_2) + y_1(z_2 - z_3) + y_2(z_3 - z_1)$$

$$c_1 = x_4(z_2 - z_3) + x_2(z_3 - z_4) + x_3(z_4 - z_2)$$

$$c_2 = x_4(z_3 - z_1) + x_3(z_1 - z_4) + x_1(z_4 - z_3)$$

$$c_3 = x_4(z_1 - z_2) + x_1(z_2 - z_4) + x_2(z_4 - z_1)$$

$$c_4 = x_3(z_2 - z_1) + x_2(z_1 - z_3) + x_1(z_3 - z_2)$$

$$d_1 = x_4(y_3 - y_2) + x_3(y_2 - y_4) + x_2(y_4 - y_3)$$

$$d_2 = x_4(y_1 - y_3) + x_1(y_3 - y_4) + x_3(y_4 - y_1)$$

$$d_3 = x_4(y_2 - y_1) + x_2(y_1 - y_4) + x_1(y_4 - y_2)$$

$$d_4 = x_3(y_1 - y_2) + x_1(y_2 - y_3) + x_2(y_3 - y_1)$$

ประยุกต์วิธีการอ่อนน้อมถ่อมตนโดยใช้ฟังก์ชันการลดอิเล็กเมนท์ในสมการที่ (1) แล้วนำการอินทิเกรตของปริมาตร V

$$\int_V N_n \left(\frac{\partial}{\partial x} \left(\frac{1}{\mu} \frac{\partial \mathbf{A}}{\partial x} \right) + \frac{\partial}{\partial y} \left(\frac{1}{\mu} \frac{\partial \mathbf{A}}{\partial y} \right) + \frac{\partial}{\partial z} \left(\frac{1}{\mu} \frac{\partial \mathbf{A}}{\partial z} \right) \right) dv - \int_V N_n s \sigma \left(\frac{\partial \mathbf{A}}{\partial t} \right) dv + \int_V (N_n J_0) dv = 0 \quad (4)$$

ซึ่งนั่นหมายความว่าในท่ออิเล็กเมนท์หัวหัวแม่ขูดแต่ละอิเล็กเมนท์ที่ประมวลผลทั้ง 3 สมการดังนี้

$$[M][A] + [K][A] = \{F\} \quad (5)$$

$$[M] = s\sigma \int_v N_n N_m dv = \frac{s\sigma V}{20} \begin{bmatrix} 2 & 1 & 1 & 1 \\ 1 & 2 & 1 & 1 \\ 1 & 1 & 2 & 1 \\ 1 & 1 & 1 & 2 \end{bmatrix}$$

$$\left(\frac{1}{\Delta t} [M] + [K] \right) \{A\}^{t+\Delta t} = \frac{1}{\Delta t} [M] \{A\}^t + \{F\}^{t+\Delta t} \quad (9)$$

$$[K] = V \int_V \left(\frac{\partial N_n}{\partial x} \frac{\partial N_m}{\partial x} + \frac{\partial N_n}{\partial y} \frac{\partial N_m}{\partial y} + \frac{\partial N_n}{\partial z} \frac{\partial N_m}{\partial z} \right) dv$$

$$= \frac{v}{36V} \begin{bmatrix} b_1b_1 + c_1c_1 + d_1d_1 & b_1b_2 + c_1c_2 + d_1d_2 & b_1b_3 + c_1c_3 + d_1d_3 & b_1b_4 + c_1c_4 + d_1d_4 \\ b_2b_1 + c_2c_1 + d_2d_1 & b_2b_2 + c_2c_2 + d_2d_2 & b_2b_3 + c_2c_3 + d_2d_3 & b_2b_4 + c_2c_4 + d_2d_4 \\ b_3b_1 + c_3c_1 + d_3d_1 & b_3b_2 + c_3c_2 + d_3d_2 & b_3b_3 + c_3c_3 + d_3d_3 & b_3b_4 + c_3c_4 + d_3d_4 \\ b_4b_1 + c_4c_1 + d_4d_1 & b_4b_2 + c_4c_2 + d_4d_2 & b_4b_3 + c_4c_3 + d_4d_3 & b_4b_4 + c_4c_4 + d_4d_4 \end{bmatrix}$$

$$\{F\}_{4 \times 1} = J_0 \int_v N_n dv = \frac{J_0 V}{4} \begin{bmatrix} 1 \\ 1 \\ 1 \\ 1 \end{bmatrix}$$

3.3 การแก้ปัญหานิสตานะชั่วคราว

การแก้ปัญหาทางคณิตศาสตร์ที่ใช้วิธีความสัมพันธ์เรียบ
นั้นเกิด โดยจะมีลักษณะของผลลัพธ์ที่ขึ้นอยู่กับตัว β ที่เลือกใช้ ดังแสดง
ในสมการที่ (6) โดย Δt คือค่าของช่วงเวลา (time step) โดยที่เลือกใช้ $\beta = 0$ จะเป็นวิธีของออยเลอร์ (Euler) ถ้า $\beta = 1/2$ เป็นวิธีของครังค์-นิโคลสัน (Crank-Nicolson) ถ้า $\beta = 2/3$ เป็นวิธีของการเลอร์คิน (Galerkin) และถ้า $\beta = 1$ จะเรียกว่าวิธีผลดัดที่เรียบ (backward difference) ในงานวิชาชีว์เลือกใช้วิธีผลดัดที่เรียบเพื่อขจัดหลัก
ดังสมการที่ (7) เมื่อจากวิธีนี้รับประทานการถูรีเข้าของผลลัพธ์ และ^{3]}
ผลลัพธ์จะมีการเปลี่ยนแปลงของตัวอย่างนี้

$$\beta \dot{\{A\}}^{t+\Delta t} + (1-\beta) \dot{\{A\}} = \frac{\{A\}^{t+\Delta t} - \{A\}^t}{\Delta t} \quad (6)$$

$$\dot{\{A\}}^{t+\Delta t} = \frac{\{A\}^{t+\Delta t} - \{A\}^t}{\Delta t} \quad (7)$$

จาก การเลือกใช้ชื่อผลิตภัณฑ์ของขอนหลัง สมการที่ (5) จึงพัฒนามาเป็นสมการที่ (8) จากนั้นแทนค่าสมการที่ (7) ลงในสมการที่ (8) จึงได้ผลลัพธ์ของสมการ ໄไฟในห้องอิมแพ็คเมื่อจุดการเผาปุ่นใหญ่ในสถานะชั่วครู่ ดังสมการที่ (9)

$$[M]\{\dot{A}\}^{t+\Delta t} + [K]\{A\}^{t+\Delta t} \equiv \{F\}^{t+\Delta t} \quad (8)$$

4. ผลการจำลองและอภิปรายผล

ประยุกต์เงื่อนไขเริ่มต้นและเงื่อนไขข้อมบท (initial and boundary condition) ที่สอดคล้องเข้าหากันอย่างในสมการรวมของระบบ (constraints) ซึ่งงานวิจัยนี้มีค่าเงื่อนไขเริ่มต้นในรอบแรกที่พิจารณาการหมุนของเหลวคือ $A(0) = 0$ ส่วนการหมุนรอบตัวไปใช้คำศوبจากรอบที่เด็กปืนเงื่อนไขเริ่มต้น เนื่องประหัดเวลาในการรู้เพื่อทำสำเร็จ คำศوبที่ถูกต้อง ส่วนก่ามเงื่อนไขข้อมบท จะกำหนดให้ขึ้นในที่ติดกับเพลาและขอบนอกของเหลวคือ $A = 0$ ในงานวิจัยนี้ใช้ระเบียบวิธีไฟฟ้าในที่อิเล็กทรอนิกส์ในการแก้ปัญหาสำหรับหมอดิอร์ทเนื่องจากสามารถลดความผิดพลาดได้มากกว่า 4 ชั้ว ต่อแบบ Y การรันดัง漉ลามเป็นแบบสองชั้น ระยะพิดคือ 7/9 โดยผลแห่งจ่ายของหมอดิอร์ทเป็นรูปคลื่นไซร์ 380-V, 50 Hz, (*slip*=0.03) นำจำนวนร่องสเกเตอร์ 36 ร่อง, ร่องໄว์เดอร์ 44 ร่อง เมื่อพิจารณากระแสไฟที่ไม่ให้กับหมอดิอร์ทเป็นรูปคลื่นไซร์โดยสมบูรณ์

ในการจำลองผลไฟคุณพิวเตอร์ Intel(R) Core (TM) i3 CPU M370 @ 2.4GHz, 2 GB RAM, 500 GB HD ดำเนินการที่ภาวะคงทัวจำลองด้วย ($M = 0.7$ ms สำหรับ $\Delta t = 360/44^\circ$ เมื่อไหร่หูบุนไป) และเวลาในคำนวณสำหรับแต่ละครั้งที่เข้าลงเป็นเวลา 10 นาที ในการคำนวณใช้งานลักษณะที่ได้ดีของสมการแม่เหล็กโดยใช้ MATLAB™ ดังแสดงในรูปที่ 2 (ก) – (ข) เป็นภาพการกระจายตัวของสักก์ชิ้นวงเดือนรัศมีที่เล็กของร่องไหรเดอร์ตรง เมื่อไหรเดอร์หูบุนท่านุ 30, 60 องศาเมื่อหูบุนวนเพื่อ รูปที่ 2 (ก) – (ข) เป็นภาพการกระจายตัวของสักก์ชิ้นวงเดือนรัศมีที่เล็กของร่องไหรเดอร์เฉียง เมื่อไหรเดอร์หูบุนท่านุ 30, 60 องศาเพื่อหูบุนวนเพื่อ

เมื่อทราบค่าทั้งๆ ซึ่งวากัดอร์แม่เหล็ก A ที่ติดต่ำๆ แล้ว จึงสามารถคำนวณหาค่าสนามแม่เหล็ก B ที่จะกระดิ่งด้วยในระบบพิกัด笛卡尔 (ระบบ xyz) ของมุมอุดอต์สามารถคำนวณได้จาก $B = \nabla \times A$ ดังนั้นเมื่อพิจารณาอนุเครื่องใน 3 มิติ ค่านะวนานพิกัด xyz จึงได้ค่าสนามแม่เหล็กในแนวแกน x (B_x) และค่าสนามแม่เหล็กในแนวแกน y (B_y) ดังแสดงด้วยสมการที่ (10) และ (11) ตามลักษณะ

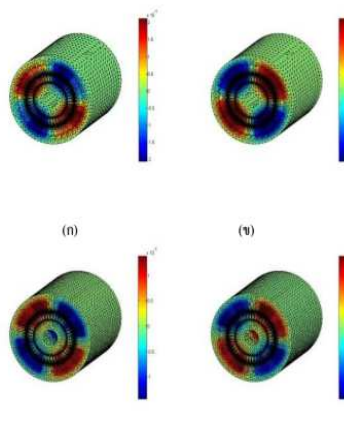
$$B_x = \frac{\partial A_z}{\partial y} = \frac{c_i A_i + c_j A_j + c_k A_k + c_l A_l}{6V} \quad (10)$$

$$B_y = -\frac{\partial A_z}{\partial x} = -\left(\frac{b_i A_i + b_j A_j + b_k A_k + b_l A_l}{6V} \right) \quad (11)$$

จากนั้นแปลงระบบจากพิกัด笛卡儿ไปเป็นพิกัดทรงกระบอก
เพื่อใช้ค่าวนวัลหน่วยรadianแบบหลักในแนวราบซึ่ง ($\text{radial flux density}$, B_r)

และสนามแม่เหล็กในแนวรัมฟล์ด (tangential flux density, B_t) ที่กระทำกับช่องอากาศของมอเตอร์ครองตัวของฟีนสเตเดอร์ในแต่ละชีวิตมุน ϕ เป็นไปตามผลแสดงได้ดังนี้

$$B_r = B_x \cos \phi + B_y \sin \phi, \quad B_t = -B_x \sin \phi + B_y \cos \phi$$

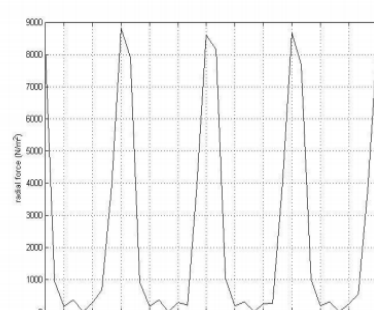


รูปที่ 2 เปรียบเทียบการกระจายตัวของศักย์ชีวนิเวศด้วยมุมหักกึ่งระหว่างช่องร่องไมโครครองและช่องไมโครเพียง

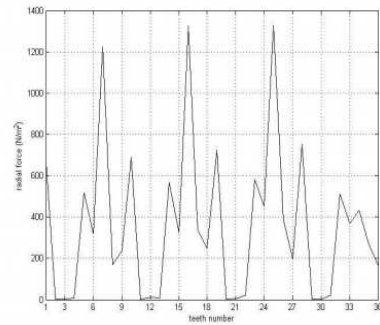
$$(a) 0^\circ, (b) 60^\circ, (c) 0^\circ, (d) 60^\circ$$

เมื่อกำหนดหาค่า B_r และ B_t แล้ว จากนั้นจึงใช้สมการความเก็บข้อมูลช่วงเวลาค่าตัวเร่งแม่เหล็กในฟีนสเตเดอร์ที่กระทำกับช่องอากาศของมอเตอร์ครองตัวของฟีนสเตเดอร์ในแต่ละชีวิต ซึ่งจะมีผลต่อการสั่นสะเทือนในมอเตอร์หนึ่งนานา แต่ให้ทำการเปรียบเทียบแรงแม่เหล็กของช่องไมโครครองและช่องไมโครเพียงที่มีค่าสูงสุด 8900 N, 1300 N เมื่อพิจารณาช่องไมโครครองและช่องที่ของค่าดัชนีแสดงตัวอย่าง $F_r = (1/2\mu_0)(B_r^2 - B_t^2)$ [4] ดังแสดงด้วยรูปที่ 3 (ก),

(ก)



(ก)



(ห)

รูปที่ 3 (ก) แรงแม่เหล็กในแนวรัมฟล์ดของไมโครครอง

(ห) แรงแม่เหล็กในแนวรัมฟล์ดของไมโครเพียง

5. สรุป

บทความนี้นำเสนอการกระจายตัวของสนามแม่เหล็กในมอเตอร์หนึ่งช่องที่กระทำให้ช่องที่มีเปลี่ยนแปลงสนามมิติ (3-D FEM) จะเห็นได้ว่าเป็นวิธีที่มีประสิทธิภาพสูงในการคำนวณสนามแม่เหล็กในมอเตอร์หนึ่งช่อง ซึ่งเป็นประโยชน์ต่อการนำไปประยุกต์ใช้ในงานวิศวกรรมไฟฟ้า เช่น การสั่นสะเทือน เสียง สารสนับสนุน กำลัง สูญเสีย ความถี่ธรรมชาติ และความร้อน เป็นต้น

6. เอกสารอ้างอิง

- [1] N. A. Demerdash, and D. H. Gillott, "A new approach for determination of eddy current and flux penetration in nonlinear ferromagnetic materials," *IEEE Transactions on Magnetics*, Vol. 74, pp. 682-685, 1974.
- [2] T. W. Preston, A. B. J. Reece, and P. S. Sangha, "Induction motor analysis by time-stepping techniques," *IEEE Transactions on Magnetics*, Vol. 24, No. 1, pp. 471-474, 1988.
- [3] M.A. Jabbar, H.N. Phyu, Z.J. Liu, and C. Bi, "Modeling and numerical simulation of a brushless permanent-magnet dc motor in dynamic conditions by time-stepping technique," *IEEE Transactions on Industrial Applications*, Vol. 40, No. 3, pp. 763-769, 2004.
- [4] S. Sakamoto, T. Hirata, T. Kobayashi, and K. Kajiwara, "Vibration analysis considering higher harmonics of electromagnetic forces for rotating electric machines," *IEEE Transaction on Magnetic*, Vol. 35, No. 3, pp. 1662-1665, 1999.

ประวัติผู้เขียน

นายอรักษ์ บุญมาตย์ เกิดเมื่อวันที่ 15 ตุลาคม พ.ศ.2529 เกิดที่อำเภอเมืองน้อย จังหวัดขอนแก่น สำเร็จการศึกษาระดับปริญญาตรีวิศวกรรมศาสตรบัณฑิต (วิศวกรรมไฟฟ้า) จากมหาวิทยาลัยเทคโนโลยีสุรนารี จังหวัดนครราชสีมา เมื่อ พ.ศ.2551 และได้เข้าศึกษาต่อในระดับปริญญาโทวิศวกรรมศาสตรมหาบัณฑิต (วิศวกรรมไฟฟ้า) จากมหาวิทยาลัยเทคโนโลยีสุรนารี เมื่อ พ.ศ.2553 โดยขณะกำลังศึกษาระดับปริญญาโทได้เป็นผู้ช่วยสอนในวิชาปฏิบัติการต่างๆ ของสาขาวิชาวิศวกรรมไฟฟ้า มหาวิทยาลัยเทคโนโลยีสุรนารี มีผลงานตีพิมพ์ดังปรากฏรายละเอียดในภาคผนวก ก

